

Н. В. ОЛЕНЕВА

МОНГОЛ АЛТАЙН
ДЕВОНЫ ГАЛАВЫН
МОР ХОЛТОН
БИОСТРАТИГРАФИ

ОРОС-МОНГОЛЫН ХАМТАРСАН
ПАЛЕОНТОЛОГИЙН ЭКСПЕДИЦИ

Бутээл, цуврал 47

1974 онд үндэслэгдсэн

ЭРХЛЭХ ЗӨВЛӨЛ

академик Л. П. ТАТАРИНОВ,
академик Б. ЛУВСАНДАНЗАЙ,
академик Р. БАРСЕОЛД,
Р. Е. АЛЯКСЕЕВА (хархицлагатай эрхлагч),
А. Ю. РОЗАНОВ, Т. А. АФАНАСЬЕВА, И. П. МОРСОНОВА

Н. В. ОЛЕНЕВА

БРАХИОПОДЫ
И БИОСТРАТИГРАФИЯ
ДЕВОНА
МОНГОЛЬСКОГО АЛТАЯ

СОВМЕСТНАЯ РОССИЙСКО-МОНГОЛЬСКАЯ
ПАЛЕОНТОЛОГИЧЕСКАЯ ЭКСПЕДИЦИЯ

Труды, вып. 47

Основаны в 1974 году

РЕДАКЦИОННАЯ КОЛЛЕГИЯ:

академик РАН Л. П. ТАТАРИНОВ,
академик АП МНР Б. ЛУВСАНДАНЗАН,
академик АН МНР Р. БАРСЕОЛД,
Р. Е. АЛЯКСЕЕВА (ответственный редактор),
А. Ю. РОЗАНОВ, Т. А. АФАНАСЬЕВА, И. П. МОРСОНОВА



МОСКВА «НАУКА» 2000

МОСКВА «НАУКА» 2000

Oleneva N.V.

BRACHIOPODS AND BIOSTRATIGRAPHY OF DEVONIAN DEPOSITS IN MONGOLIAN ALTAY REGION

THE JOINT RUSSIAN-MONGOLIAN PALEONTOLOGICAL EXPEDITION

(Transaction, vol. 47)

Based in 1974

Editor board:

academician L.P. TATARINOV, academician R. BARSBOLD, academician B. LUVSANDANSAN, A.Yu. ROSANOV, G.A. AFANASIEVA, I.P. MOROSOVA

Editor-in-chief R.E. ALEKSEEVA

References: L.A. NEVESSKAYA, A.A. SHEVYREV

Рецензенты:

Л.А. НЕВЕССКАЯ, А.А. ШЕВЫРЕВ

Оленева Н.В.Брахиоподы и биостратиграфия девона Монгольского Алтая. –
М.: Наука, 2000. – 152 с., ил.
ISBN 5-02-004417-2

Впервые на площади двух крупных тектонических структур – Алтайской подзоны и Делюно-Юстыдского прогиба выполнено биостратиграфическое расчленение девонских отложений. Приводится полный список ископаемых остатков фауны и флоры, найденных на этой территории. По брахиоподам, относящимся к 22 семействам и 43 видам, выделены разновозрастные комплексы – 4 в Алтайской подзоне и 5 в Делюно-Юстыдском прогибе. Приведена широкая межрегиональная корреляция выделенных стратиграфических подразделений с подразделениями Международной стратиграфической шкалы.

Для палеонтологов, геологов, биостратиграфов.

ТП 99-II-№ 203

ISBN 5-02-004417-2

- © Издательство "Наука", 2000
- © Российской академии наук и издательство "Наука",
серия "Труды Российской-Монгольской палеонтологической экспедиции (разработка, оформление),
1974 (год основания). 2000

Издательство "Наука"
Биостратиграфическое
расчленение девонских
отложений Монгольского
Алтая
Н.В. Оленева
1974

ВВЕДЕНИЕ

В настоящей работе описаны девонские брахиоподы, собранные из послойно изученных разрезов двух крупных структурных подразделений Монгольского Алтая, а именно Алтайской подзоны и Делюно-Юстыдского прогиба. На этой территории девонские отложения имеют большие мощности, широко распространены и представлены породами всех трех отделов девонской системы. Из них наиболее широкое распространение получили отложения среднего девона.

Монографическое описание брахиопод проведено по материалу, собранному автором во время полевых исследований 1988–1990 годов, проводившихся в составе экспедиции "Совгео в МНР". В работу также вошли коллекции, любезно переданные автору Р.Е. Алексеевой и Л.М. Улитиной, а также материалы А.Б. Дергунова и К.Л. Волочковича, переданные в разные годы Р.Е. Алексеевой на определение. При детальном изучении морфологии брахиопод был использован сравнительный материал из других районов Монголии, находящихся в Палеонтологическом институте РАН, просмотрены монографические коллекции силурийских и девонских брахиопод, хранящиеся в ЦНИГРИ музее им. Н.Ф. Чернышева (Санкт-Петербург) и СНИИГГИМС музее (Новосибирск).

В стратиграфической части работы тектоническое районирование принято по А.Б. Дергунову и Н.Г. Марковой (1974), А.Б. Дергунову и др. (1980). Кроме того, учтены материалы из отчетов геологических партий (Г. Бомбороо и др., 1983; Ц. Оргилл и др., 1985; А.Н. Демин и др., 1990; В.П. Филоненко и др., 1991; В.Т. Бобровский и др. 1991). Разрезы девонских отложений были изучены мною совместно с геологами А.Л. Будниковым, Г.И. Беломестных, В.Ю. Пережогиным, В.А. Соколовым. В процессе работы сопутствующие ископаемые организмы передавались на определение ведущим специалистам: табуляты – И.И. Чудиновой, ругозы – Л.М. Улитиной (ПИН РАН, Москва), двустворчатые моллюски – В.Ф. Куликовой, криноиди – Г.А. Стукалиной, растительные остатки – Н.М. Петросян (ВСЕГЕИ, Санкт-Петербург). Всем названным специалистам автор выражает глубокую признательность.

При анализе стратиграфического распространения фауны были использованы также некоторые материалы предыдущих исследований за период с 1973 по 1985 год: отчет Улэгейской партии, ПГО "Запсибгеология" (Шубин и др.); учтены определения, выполненные по табулятам В.Н. Дубатоловым и С.В. Чернышевой, по ругозам – В.А. Желтоноговой, по трилобитам – Е.А. Ёлкиным (СНИИГГИМС, Новосибирск), по мишанкам – Г.В. Копаевич (ПИН РАН, Москва).

При параллелизации существенно карбонатных разрезов Алтайской подзоны и терригенных разрезов Делюно-Юстыдского прогиба, содержащих несопоставимые палеонтологические комплексы, использовался метод ступенчатой корреляции. В качестве промежуточных служили опорные разрезы карбонатных и терригенных фаций нижнего–среднего девона Монголии и средне-верхнедевонские разрезы Алтас-Саянской складчатой области. Корреляция с этими хорошо изученными разрезами позволила установить соответствие местных стратиграфических единиц зональным подразделениям региональных стратиграфических схем названных областей.

В палеонтологической части использовалась система брахиопод, изложенная в "Treatise on Invertebrate Paleontology", дополненная по публикациям, вышедшим по-

сле 1965 г. Монографическое изучение девонских брахиопод показало, что они представлены 43 видами и 13 не определимыми до вида формами, относящимися к 32 родам, 22 семействам и 7 отрядам, среди которых 1 род и 8 видов новых. В целом изученная коллекция насчитывает более 1000 экземпляров. В настоящей работе описания видов даны с разной степенью детальности, что прежде всего зависело от количества и сохранности материала. В целом же материал давал возможность изучить как внешнюю форму раковины, так и элементы ее внутреннего строения. При полном растворении известковистого вещества раковины ее внешнее и внутреннее строение изучалось по слепкам, изготовленным из пасты КЛТ и латекса. В случае, когда известковистое вещество раковины сохранилось, строение ее скелетных структур изучалось в прозрачных шлифах и на серийных поперечных срезах. Для исследования внутреннего строения раковин пришлифовано около 50 экземпляров, по отпечаткам и ядрам раковин выполнено более 20 слепков. Описанная коллекция хранится в Палеонтологическом институте РАН (Москва) под № 4427.

За внимание, неоценимую помощь и критические замечания в процессе работы я искренне благодарю доктора геолого-минералогических наук Р.Е. Алексееву. В процессе подготовки работы я постоянно пользовалась консультациями специалистов лаборатории брахиопод Палеонтологического института: Г.А. Афанасьевой, Е.А. Ивановой, С.С. Лазарева, И.Н. Мананкова и О.А. Эрлангер. Работы по фотографированию брахиопод выполнены В.Т. Антоновой (ПИН РАН). Считаю приятным долгом выразить им свою искреннюю благодарность и уважение. Оригинальные текстовые рисунки выполнены автором. Также выражаю свою признательность всем геологам экспедиции "Совгео в МНР" за помощь в сборе палеонтологического материала.

Часть I

БИОСТРАТИГРАФИЯ

Глава 1

ИСТОРИЧЕСКИЙ ОЧЕРК

Впервые фаунистически охарактеризованные отложения девона на исследуемой территории Монгольского Алтая были установлены в 20-х годах при проведении геологических исследований, организованных Комитетом наук МНР при активной помощи Геологической экспедиции АН СССР. Работами экспедиции руководил И.П. Рачковский. В это время в ходе маршрутных пересечений в системе р. Буянту и в районе оз. Тал нур были найдены остатки табулят, брахиопод, мшанок, которые по определениям Б.Б. Чернышева (1937), Н.Е. Чернышевой (1937) и В.П. Некорошева (1926) отвечали среднему девону.

В 50–60-е годы на территории Западной Монголии были поставлены планомерные мелкомасштабные геолого-съемочные и тематические исследования. Последние проводились Совместной Советско-Монгольской геологической экспедицией АН СССР и АН МНР. В это время было намечено тектоническое районирование Западной Монголии на крупные структурные элементы, ограниченные глубинными разломами (Амантов и др., 1962; Дергунов, Маркова, 1974; Дергунов и др., 1980). На исследуемой площади было установлено широкое распространение мощных девонских отложений и их несогласное залегание на разновозрастных подстилающих толщах, а также резко выраженная фациальная изменчивость как по простирианию, так и по разрезу. Рядом исследователей мощные девонские толщи были подразделены на крупные литостратиграфические подразделения. В работах А.Х. Иванова и др. (1953), П.С. Матросова (1959) расчленение девонских толщ рассматривалось в целом для территории Монгольского Алтая. Позднее было выявлено, что разрезы девона в Алтайской структурнофациальной подзоне и Дельюно-Юстыдском прогибе (=Дельюно-Сагсайский) существенно отличаются по вещественному составу. Поэтому были составлены раздельные стратиграфические схемы девона для названных структур (Филиппова, Лувсанданзан, 1973; Дергунов и др., 1980). Во всех упомянутых стратиграфических схемах геологический возраст выделяемых подразделений датировался по предварительным определениям фауны и флоры.

Первая сводная работа, в которой авторы систематизировали весь имеющийся материал по стратиграфии, магматизму и тектонике на территории Западной Монголии, вышла в 1980 г. (Дергунов и др., 1980). Целью этого труда было восстановление истории геологического развития территории Западной Монголии, входившей в состав крупного палеозойского бассейна с момента его возникновения до замыкания и превращения в складчатую структуру.

В 70–80-х годах территория Монгольского Алтая была покрыта сетью среднемасштабных геолого-съемочных работ (отчеты съемочных партий: Г. Бомбороо и др., 1981–1983 г.; Ц. Оргил и др., 1985 г.; Шубин и др., 1973–1985 гг.). В результате этих работ на территории Монгольского Алтая были уточнены мощности девонских образований, выделен ряд свит, составлены более детальные стратиграфические схемы палеозойских отложений.

В последние годы (1987–1991) экспедицией "Совгео в МНР" на территории Монгольского Алтая была организована крупномасштабная геологическая съемка

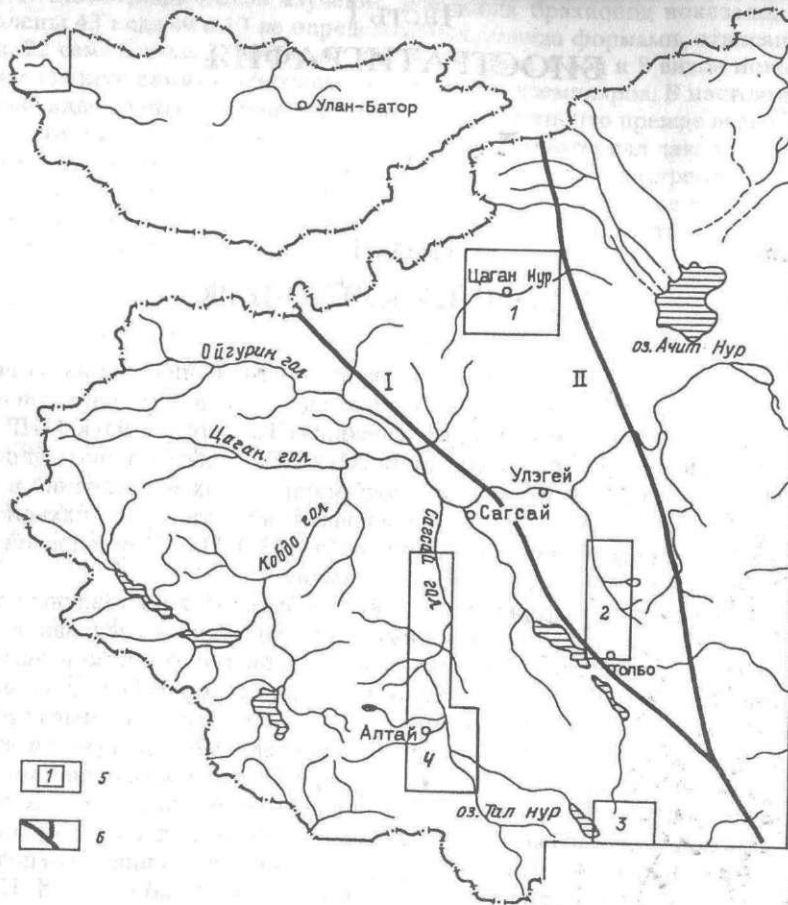


Рис. 1. Схема расположения района и участков работ

Участки работ: 1 – Цаганнурский; 2 – Хатугольский; 3 – Талнурский; 4 – Сагсайский; 5 – границы участков работ; 6 – глубинные разломы: I – Толбонурский, II – Кобдинский

(отчеты съемочных партий: Демин и др., 1990 г.; Бобровский и др., 1991 г.; Стороженко и др., 1991 г.; Филоненко и др., 1991). В составе этой экспедиции работала автор настоящей работы, в обязанности которой входили изучение геологических разрезов и сбор палеонтологического материала. Основные разрезы изучались на площади участков: Цаганнурский, Хатугольский, Талнурский и Сагсайский (рис. 1).

В процессе работы сотрудниками экспедиции было проведено расчленение палеозойских, в том числе и девонских, толщ на ряд свит, найдены новые местонахождения фауны и флоры. При этом датировка геологического возраста выделенных свит в отчетах была дана, как и прежде, в основном по предварительным определениям палеонтологического материала.

В данной работе сохранены почти все свиты, выделенные геологами. Однако после монографического изучения брахиопод был существенно изменен их геологический возраст и в составе некоторых свит выделены разновозрастные слои.

В заключение необходимо отметить, что стратиграфия девонских отложений в исследуемых структурах Монгольского Алтая оставалась наименее изученной в стране. Причиной этому были сложное тектоническое строение, фациальная неустойчивость девонских образований и отсутствие геологических карт необходимого

масштаба для проведения биостратиграфических исследований. Из палеонтологических остатков, найденных на исследуемой площади, к моменту настоящей работы были описаны 11 новых видов мшанок (Копаевич, 1984), а из брахиопод – 2 известных вида спириферид (Менданяр, 1976). На остальной территории Монголии биостратиграфические исследования велись с 1969 г. сотрудниками Совместной Советско-Монгольской палеонтологической экспедиции АН СССР и АН МНР.

Первые работы по биостратиграфии девона Монголии появились в начале 80-х годов (Алексеева и др., 1981; Шаркова, 1981). В это время было установлено, что терригенные и карбонатные толщи нижнего девона содержат фауну, резко отличающуюся по составу. Поэтому были созданы раздельные биостратиграфические схемы для терригенных и карбонатных разрезов нижнего девона. Основой для создания биостратиграфической схемы терригенных отложений нижнего девона послужили разрезы, находящиеся в Кобдинской подзоне, смежной с исследуемой площадью. Позднее была разработана унифицированная биостратиграфическая схема нижнего и среднего девона Монголии (Алексеева, 1990, 1993). Эта схема, принятая Межведомственным стратиграфическим комитетом Монголии (1990 г.), признается в настоящей работе.

В рассматриваемой схеме выделяются 5 горизонтов: бортэгский (лохков), бигэрский (прага), чулунский (эмс), цаганхалгинский (эмс-эйфель) и цаганнурский (живет). Стратотип последнего избран на исследуемой площади и характеристика его дана в основном по материалам, собранным в северной части Делюно-Юстыдского прогиба. На остальной территории Монголии одновозрастные отложения этого горизонта представлены либо только терригенными породами с редкими остатками флоры (восточные районы), либо вулканогенными толщами (южные районы).

Глава 2. СТРАТИГРАФИЯ ДЕВОНСКИХ ОТЛОЖЕНИЙ АЛТАЙСКОЙ ПОДЗОНЫ И ДЕЛЮНО-ЮСТЬДСКОГО ПРОГИБА

Исследуемые площади в пределах Алтайской подзоны и Делюно-Юстыдского прогиба находятся в западной части Монгольско-Алтайской структурно-тектонической зоны, занимающей все пространство к западу от Кобдинского разлома (рис. 2).

В Алтайской подзоне девонские отложения выполняют ряд наложенных мульд, развитых в бассейнах рек Цаган и Сагсай (Лувсандаанзан, Матросов, 1959; Дергунов, Лувсандаанзан, 1970, 1971; Дергунов, Маркова, 1974). Эти мульды, как правило, локализуются вдоль разломов северо-западного простирания в виде небольших полей, которые серией мелких разломов разбиты на небольшие тектонические блоки. Мною девонские образования изучались только на площади Сагсайской и Баинтуинской мульд.

Сагсайская мульда находится в центральной части Алтайской подзоны в среднем течении реки Сагсай, занимая значительную часть ее левобережья, прослеживааясь с юга на север на 20–25 км. Девонские образования этой мульды представляют собой изолированные тектонические блоки, разбитые разрывными нарушениями и смятые в складки, отложения в блоках имеют основное направление на восток и северо-восток под углами 10–60°, трассируют, главным образом, зону Сагсайского глубинного разлома.

Баинтуинская мульда находится на правобережье реки Сагсай, восточнее сомона Баинту. С запада и северо-востока границы мульды обозначены разломами ме-

Таблица 1

Соотношение стратиграфических схем девонских отложений Алтайской подзоны

Филиппова, Лувсандаанзан, 1973	Дергунов и др., 1980	Отчеты: Демин и др., 1990; Бобровский и др., 1991		В настоящей работе
		Алтайская подзона	Алтайская подзона	
Монгольско-Алтайская зона	Монгольско-Алтайская п/зона	живет - фран	осадочно-вулканогенная толща	фран - фамен
		живет	осадочно-вулканогенная толща	хухульская свита
			фран - живет	холдзатийская свита
				живет
				хухульская свита
				холдзатийская свита
ЭМС	сагсайская свита	ЭМС - Эйфель	бардамгольская свита	верхняя подсвита
			нижний ЭМС-Эйфель	нижняя подсвита
			бастульская свита	бастульская свита
			отугийская свита	отугийская свита
			прага	
			ЭМС	бардамгольская свита
			уланхусская свита	уланхусская свита
			Ложков	

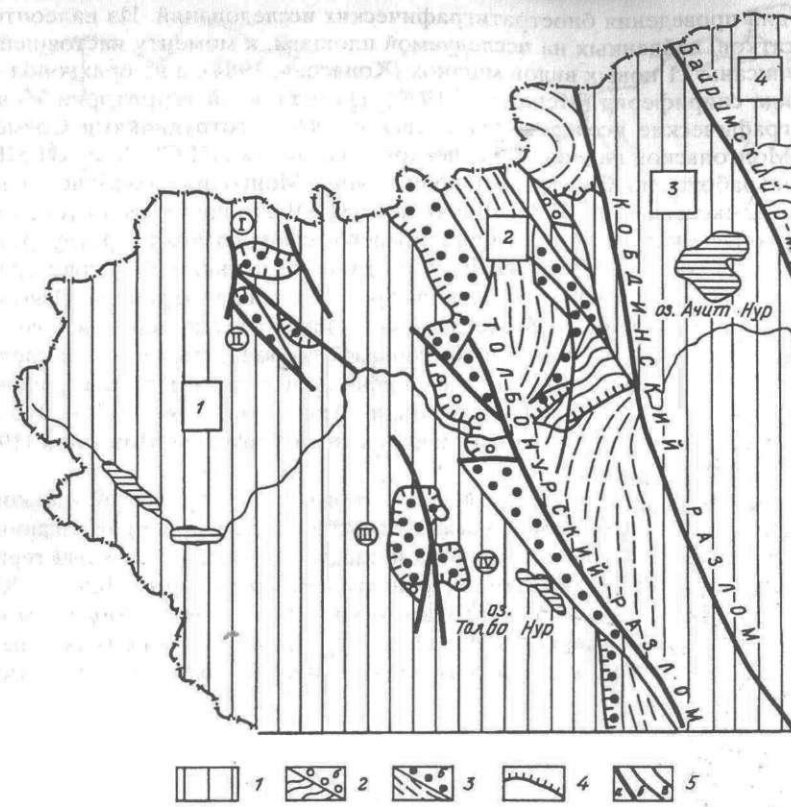


Рис. 2. Тектоническая схема Алтайской подзоны (по А.Б. Дергунову, Н.Г. Марковой, 1974)

1 – рифейско-кембрийский складчатый комплекс; 2 – ордовик – силурийский складчатый комплекс (*a* – в геосинклинальных прогибах, *b* – наложенных мульдах); 3 – девонский складчатый комплекс (*a* – в региональных прогибах, *b* – наложенных мульдах); 4 – границы наложенных структур; 5 – разломы (*a* – глубинные, *b* – надвиги, *c* – прочие)

Цифрами на схеме обозначены: структурные подзоны:

I – Алтайская подзона, 2 – Дельюно-Юстыдский прогиб, 3 – Кобдинская подзона, 4 – Цаганшибетинская подзона; наложенные мульды: I – Ойгуринская, II – Цагангольская, III – Сагсайская, IV – Байнтуйинская

ридиального и северо-северо-восточного простирания, в связи с чем ее очертания приобретают форму неправильного треугольника протяженностью 10–15 км.

Алтайская и Байнтуйинская мульды относятся к типичным наложенным структурам, заполненным сходными по составу морскими, вулканогенно-осадочными толщами, богато охарактеризованными многочисленной и разнообразной фауной – кораллами (тетракораллы, табуляты), брахиоподами, морскими лилиями. В терригенных толщах впервые были найдены обильные остатки ископаемой флоры. Среди перечисленной фауны брахиоподы, которые встречаются в различных фациях, являются наиболее широко распространенной, наиболее изученной и стратиграфической группой среди остальных бентосных животных. Важное значение для датировки геологического возраста вмещающих толщ имеют также растительные остатки, занимающие господствующее положение на некоторых уровнях разрезов, а также другие группы фауны.

В Алтайской подзоне, благодаря работам предшественников (Лувсандаанзан, Матросов, 1959; Филиппова, Лувсандаанзан, 1973; Дергунов, Маркова, 1974; Дергунов, 1980), разрез вулканогенно-осадочного комплекса девона был расчленен на

три разнофациальные комплексы (снизу-вверх): вулканогенный, существенно-терригенный и осадочно-вулканогенный (табл. 1). Из них, нижний выделен П.С. Матросовым в ойгуринскую свиту, отложения которой отличаются значительной фациальной неустойчивостью и представлены различными лавами, пирокластами преимущественно кислого и реже среднего состава. По предварительным определениям кораллов, мшанок и брахиопод, возраст свиты датировался в интервале верхов нижнего девона – эйфельским ярусом. Второму комплексу отвечает сагсайская свита, описанная Б. Лувсандаанзаном и П.С. Матросовым по левому берегу долины реки Сагсай, в ее среднем течении, а также в верховьях реки Ойгурин. В нижних горизонтах сагсайской свиты преобладают грубокластические породы ярко-красные, розовые, белые гравелиты, конгломераты, кварцевые песчаники, часто косослоистые. Средняя часть сложена сероцветными и пестроцветными песчаниками, алевролитами с горизонтами биогермных известняков. В верхней ее части снова появляются грубобломочные красноцветные породы, подобные нижним горизонтам. По предварительному заключению табулят и мшанок отложения сагсайской свиты также датировались в интервале конца нижнего девона – эйфельского яруса. Девонские образования ойгуринской и сагсайской свит трансгрессивно залегают на разновозрастных додевонских и девонских толщах, а между собой обнаруживают локальное несогласие, подтверждаемое наличием конгломератов в основании разреза сагсайской свиты. По последним материалам отчетов геолого-съемочных экспедиций "Совгэо в МНР" за 1990–1991 годы, отложения нижнего, осадочно-вулканогенного комплекса (ойгуринская свита) датировались эмским и эмс-эй-

Таблица 2

Соотношение стратиграфических схем девонских отложений
Дельюно-Юстыдского прогиба

Дергунов и др., 1980	Отчет Бомборо и др., 1983; Оргил и др., 1985	Отчеты: Демин и др., 1990; Филоненко и др., 1991; Бобровский и др., 1991		В настоящей работе
		нижний фран-фамен	талнурская свита	
живет - фран	терригенный черносланцевый комплекс	цагансаласская свита	цагансаласская свита	талнурская свита
		хатугольская свита	хатугольская свита	цагансаласская свита
		Эмс	кошкарлыгская свита	зээгтийские слои
Эмс - эйфель	осадочно-вулканогенный комплекс	сагайская свита	тунгэтская свита	дундтолгойские слои
		ойгуринская свита	авиарынская свита	кошкарлыгские слои
		нижний девон	буратская свита	
			Эмс	тунгэтская свита

ми кислых эффузивов. В этой части прогиба вулканогенная толща практически выклинивается. Ее мощность сокращается до 300–400 м.

В Дельюнской котловине, кроме средних и кислых вулканитов, девонские отложения представлены пластами сероцветных, кремнистых алевролитов, которые чередуются с "черносланцевыми" породами, намечая, таким образом постепенный переход к верхней терригенной толще. На этом участке мощность нижне-среднедевонской кремнисто-вулканогенной толщи достигает 2000 м.

Верхний, "черносланцевый" комплекс, характеризуется, отсутствием эффузивов, характерным "черносланцевым" обликом и однообразным, выдержаным, песчано-алевролитовым составом. Наиболее развиты в составе комплекса темно-серые алевролиты, черные сланцы, местами с известняками, серыми мелко- и среднезернистыми кварцплагиоклазовыми песчаниками, по разрезу часты находки флоры и фауны. При прослеживании по простирианию с юга на север изменяются структурно-стратиграфические взаимоотношения нижнего, осадочно-вулканогенного комплекса с перекрывающими, терригенными образованиями верхнего комплекса. Если в северной части прогиба, на подстилающую, терригенно-вулканогенную толщу согласно залегает типичная "черносланцевая" толща, то на юге, нижний – вулканогенный и верхний – терригенный "черносланцевый" комплексы связаны между собой постепенным переходом.

В результате геолого-съемочных работ, проведенных экспедицией "Совгеко в МНР", возраст нижнего, осадочно-вулканогенного комплекса был определен как нижний девон, в составе верхнего – выделены отложения эмского, живот-франского и фран-фаменского возрастов.

В настоящей работе уточнены мощности и значительно изменен геологический возраст рассматриваемых отложений. Возраст нижнего, осадочно-вулкано-

фельским возрастами. Отложения среднего комплекса (сагайская свита) датированы как эмс-эйфель.

В настоящей работе уточнены мощности и значительно изменен возраст рассматриваемых отложений. В составе ойгуринской свиты (вулканогенной толщи) нами выделены образования, отвечающие лохковскому и пражскому ярусам, в составе сагайской свиты – эмскому и эмс-эйфельскому ярусам.

Отложения выделенного ранее третьего комплекса с размывом залегают на подстилающие образования и подразделяются на две толщи: нижнюю – терригенную и верхнюю – вулканогенную. Нижняя толща представлена базальными конгломератами, чередованием красноцветных и серых гравелитов, разнозернистых песчаников с редкими горизонтами алевролитов. Верхняя, вулканогенная, толща в нижней части представлена горизонтами лав основного состава, сменяющимися буровато-серыми лавами и лавобрекчиями кислого состава. По материалам отчетов (Демин и др., 1990, Бобровский и др., 1991) возраст нижней, терригенной, толщи третьего комплекса определен как живот-франский, верхней, вулканогенной – как фран-фаменский.

В настоящей работе, отложения третьего комплекса, венчающие разрез девонских отложений, относятся к животскому ярусу и, кроме того, содержат отложения верхнего девона неустановленной ярусной принадлежности.

Алтайская подзона граничит на востоке с Дельюно-Юстыдским моногеосинклинальным прогибом (Дергунов, Лувсандаан 1971; Дергунов, Маркова, 1974; Дергунов и др., 1980), который представляет собой линейную структуру северо-северо-западного простириания, протягивающуюся более, чем на 400 км, при ширине до 50 км. Границами прогиба являются на юге Толбонурский, а на западе Кобдинский глубинные разломы. Северное его окончание находится на территории России, в долине р. Юстыд, и почти совпадает с контуром Ануиско-Чуйской котловины. Часть прогиба, расположенная на территории России, описывалась как Юстыдский прогиб (Дергунов, 1967). Основное место в строении Дельюно-Юстыдского прогиба занимают флишоидные терригенные образования девона. Они имеют широкое площадное распространение, слагая в основном центральную часть прогиба и, в целом, представляют собой моноклинально залегающую толщу с падением пластов на северо-запад под углами 5–15°, осложненную всбросово-надвиговыми дислокациями. Эта толща с резким угловым несогласием залегает на более древних сериах. Морские терригенные образования девона здесь богато охарактеризованы разнообразной фауной брахиопод, двустворчатых моллюсков, морских лилий, трилобитов, и остатками флоры.

Девонские образования Дельюно-Юстыдского прогиба были подразделены на два крупных разновозрастных комплекса (Дергунов, Лувсандаан, 1970, 1971; Дергунов и др. 1980). Нижне-среднедевонский комплекс представлен пестроцветными осадочно-вулканогенными образованиями, средне-верхнедевонский – терригенными "черносланцевыми" образованиями (табл. 2). Нижний комплекс, налегает с резким несогласием на подстилающие толщи. Состав и строение этого вулканогенного комплекса при прослеживании его по простирианию с юга на север подвержены сильным фациальным изменениям. По своему составу этот комплекс близок к вулканогенным образованиям нижней толщи Алтайской подзоны. Также по простирианию прогиба изменяются его мощности. В северной части прогиба, в районе сомона Цаганчур, разрез вулканогенной толщи представлен преимущественно красноцветными лавами и пирокластами кислого и среднего состава с горизонтами туфогенно-осадочных пород. Мощность толщи составляет 1200 м. Выше согласно залегает сероцветная песчаниково-алевролитовая "черносланцевая" толща.

Южнее, в районе сомона Толбо, также с резким несогласием на кембрийско-ордовикских образованиях залегает нижне-среднедевонская толща, представленная красноцветными терригенными породами, известняками с редкими горизонта-

генного комплекса, определен как эмсский. В верхнем, терригенном, "черносланцевом" комплексе выделены стратиграфические подразделения, отвечающие интервалу верхнего эмса-эйфеля, живетского и франского ярусов. Венчает разрез верхнего комплекса пестроцветная, карбонатно-терригенная толща фаменского яруса.

Надо заметить, что на площади Делюно-Юстыдского прогиба, фаунистически охарактеризованные отложения франского и фаменского ярусов выделяются впервые.

Таким образом, в Делюно-Юстыдском прогибе седиментация девонских отложений началась с эмса, то есть значительно позднее, чем в Алтайской структурной подзоне. Кроме этого, накопление мощных разновозрастных толщ в этом морском бассейне происходило продолжительное время без перерывов.

2.1. АЛТАЙСКАЯ ПОДЗОНА

В настоящей работе признаются стратиграфические подразделения, установленные позднее в процессе геологической съемки, проведенной экспедицией "Совгэ в МНР" (Демин и др. 1990 г.; Бобровский и др. 1991 г.; Стороженко и др., 1991 г.; Филоненко и др., 1991 г.). В Алтайской подзоне в составе девона были выделены следующие свиты (снизу-вверх): уланхусская, отугийская, бастульская, бардамгольская, холдзатийская и хухульская. Из них первые четыре свиты были отнесены к эмсскому и эмско-эйфельскому ярусам, две последние к живетско-фаменскому.

В результате монографического изучения брахиопод изменены возрастные датировки всех свит, отнесенных к интервалу эмс-эйфель и уточнен геологический возраст верхних свит – холдзатийской и хухульской (см. табл. 1). По новым данным нижняя, уланхусская свита отвечает ложковскому ярусу, а отугийская и бастульская свиты – пражскому. В составе бардамгольской свиты признаются нижне-бардамгольская подсвита, как соответствующая нижней половине эмса и верхне-бардамгольская, содержащая отложения нерасчлененной толщи верхнего эмса-эйфеля. Холдзатийская и хухульская свиты относятся к живетскому ярусу. Для верхнедевонских отложений, найденных в тектоническом блоке, определение точной ярусной датировки не представляется возможным.

НИЖНИЙ ДЕВОН

В составе нижнего девона рассматриваются уланхусская, отугийская и бастульская свиты и нижнебардамгольская подсвита.

Уланхусская свита (ложков) включает наиболее древние отложения девона на исследуемой территории. Структурно несогласно, как правило, в виде покровов и "наплесок" она залегает на средне верхнекембрийских породах и стратиграфически согласно перекрывается вулканогенными образованиями отугийской свиты. Отложения уланхусской свиты представлены небольшими маломощными выходами (редко до 450 м) буровато-серых, красноцветных песчаников, гравелитов, конгломератов, с прослоями и линзами органогенных известняков. В известняках были найдены брахиоподы *Chalimochonetes huuhiurensis* (Aleks.), *Hebetoechia vagranica mongolica* O. Erl., *Howellella angustiplicata* (Kozl.), *H. laeviplicata* (Kozl.), *Eoreticularia* sp., двустворки *Cypriocardella?* cf. *bellatula* Wil. et Breg., *Praectenodonta?* cf. *Iedaefornmis* (Khalf.), *Ptychopteria* (*Ptychopteria*) sp., криноиды *Mediocrinus medius* Yelt. et Stuk., *Asperocrinus* sp., *Pandocrinus pandus* Stuk., *Costatocrinus bicostatus* (Stuk.).

В характерный комплекс фауны уланхусской свиты входят брахиоподы *Ch. huuhiurensis*, *Heb. vagranica mongolica*, *How. angustiplicata*, *How. laeviplicata* и криноиды *M. medius*, *P. pandus*, *C. bicostatus*. Названные виды широко распространены в ложковском ярусе Монголии и смежных областей, а также в других регионах. На основании этого уланхусская свита отнесена к ложкову.

Ниже дано описание разреза на плато подножия горы Цахир Дэл. Он был изучен Л.М. Улитиной (1974, 1988 гг.) в полосе распространения уланхусской свиты на правом берегу реки Сагсай, в районе перевала Бугучий Даваа. Хорошо обнаженные выходы свиты расположены к северу от перевала в 0.8 и 1.5 км и северо-северо-восточнее в 1.4 км. Здесь свита сложена следующими породами (снизу вверх):

	Мощность, м
1. Кварцитовидные, крупнозернистые песчаники.....	1
2. Сланцы серовато-палевые, известковые, тонкоплитчатые, листовые, мергелистые.....	5
3. Известняки серые, песчанистые, плитчатые, в основании слоя с брахиоподами <i>Chalimochonetes huuhiurensis</i> , <i>Hebetoechia vagranica mongolica</i> , <i>Howellella angustiplicata</i> , <i>H. laeviplicata</i> , <i>Eoreticularia</i> sp., тенетакулиты. Вверх по разрезу увеличивается количество известковистого материала, появляются табуляты, ветвистые и одиночные ругозы, строматопороиды.....	7
4. Известняки серые, толстоплитчатые с кораллами.....	7
5. Пересяживание алевролитов, пестроцветных песчаников.....	100
	Общая мощность 120 м.

Из этих же отложений в 1700 м западнее-юго-западнее от горы Цахир Дэл Толгой, в небольшом тектоническом блоке, мною найден сходный комплекс брахиопод.

В 21 км к юго-юго-западу от сомона Улэгей, севернее озера Шара нур, в 550 м от абс. отм. 2410, среди вулканитов в небольшом тектоническом блоке наблюдаются (снизу вверх):

	Мощность, м
1. Конгломераты, красноцветные песчаники существенно кварцевого состава	0.1-0.2
2. Песчаники красноцветные, полимиктовые, переслаивающиеся с алевролитами серыми, зеленовато-серыми	1-2
3. Известняки буровато-серые с брахиоподами, неопределимыми до родов строфоменидами и атрипидами, криноидами <i>Mediocrinus medius</i> , <i>Asperocrinus</i> sp., <i>Pandocrinus pandus</i> , <i>Costatocrinus bicostatus</i> двустворками <i>Cypriocardella?</i> cf. <i>bellatula</i> , <i>Praectenodonta?</i> cf. <i>Iedaefornmis</i> , <i>Ptychopteria</i> (<i>Ptychopteria</i>) sp.....	150
	Общая мощность 152 м

Отугийская свита (прага) состоит из вулканогенных отложений, которые согласно залегают на терригенно-уланхусской свите и с локальным размывом перекрываются риолитами и туфами бастульской свиты. Наиболее полно она представлена на правобережье реки Сагсай, южнее озера Тал нур. В низах свиты преобладают андезиты, переслаивающиеся с грубообломочными туфоловавами андезитов. Выше наблюдается постепенное повышение основности вулканогенного материала до базальтов с прослоями дацитов и риодицитов. В верхних частях разреза преобладают андезиты с пачками и слоями крупнообломочных туфов андезитов, туфолов и игнимбритов. Мощность свиты достигает 2500 м.

Бастульская свита (прага) в районе Нарин-Нуринского гранитного комплекса представлена риолитами, их туфами и игнимбритами мощностью до 250 м. Она залегает на эродированной поверхности вулканитов отугийской свиты и несогласно перекрывается терригенно-бардамгольской свитой.

Отугийская и бастульская свиты относятся к пражскому ярусу по их стратиграфическому положению в разрезе. Так, первую из них подстилает уланхусская свита с фауной ложковского яруса. Вышележащая бастульская свита перекрывает ся отложениями, содержащими нижнеэмскую фауну.

Бардамгольская свита (эмс, эмс-эйфель) залегает несогласно на вулканогенных породах бастульской и более древних сериях. Ранее она была разделена на нижнюю и верхнюю подсвиты и отнесена в целом к эйфельскому ярусу (Демин и др., 1990). В настоящей работе нижнебардамгольская подсвита отвечает нижнему эмсу, а верхнебардамгольская – верхнему эмсу-эйфелью.

Нижнебардамгольская подсвита (нижний эмс). В ее основании развиты вишневые, светло-серые песчаники средне-крупнозернистые, гравелиты, конгломера-

ты, кварцевые, полевошпатово-кварцевые (50 м). Выше залегает пачка песчаников кварцевых, светло-серых с прослойми мелкогалечных конгломератов, зеленовато-серых, вишневых, известняков алевристистых, пелитоморфных зеленовато-светло-серого цвета (250 м). Мощность нижней подсвиты от 200 до 500 м. В отложениях подсвиты в прослоях и линзах известняков найдены табуляты Favosites cf. goldfussi Orb., F. shengi Lin., Pachyfavosites cf. preplacenta Dubat., P.cf. karcevae Dubat., Thamnopora compacta minima Shark., Pachypora tortuosa Schark., P. tomchumyshensis Miron., Dendropora ganinensis Miron., Egosiella lecomptei Miron.; ругозы Lyrielsasma ariadnae Tcherep., Tryplasma hercynica (Roem.), T. aequabilis Lonsd., Rhizophyllum enorme Ether., Chlamydophyllum obscurum Pocta, Pseudochonophyllum pseudohelianthoides (Scherz.), Martinophyllum virgatum (Tcherep.); брахиоподы Leptagonia cf. orientalis Aleks., Leptostraphiella bayrimica Aleks., Tastaria sp., Wilsoniella prima Khalf., W. tchrenyshevae O. Erl.

Возраст нижнебардамгольской подсвиты определяют табуляты P. tortuosa, E. lecomptei и брахиоподы L. orientalis, Lept. bayrimica, W. prima, W. tchrenyshevae и представители Tastaria. Эти формы характерны для нижних лон чулунского горизонта, выделенных в разнофациальных толщах, а именно – Uncinulus tsakhirinicus (карбонатная фация) и Maoristrophia kailensis (терригенная фация). Названные лоны по составу донной и пелагической фауны относятся к нижнему эмсу. (Алексеева, 1993; Алексеева и др., 1995).

В наиболее полном разрезе бардамгольской свиты, приведенном далее, ее нижняя подсвита в основном сложена терригенными породами, не содержащими органических остатков. Комплексы кораллов и брахиопод были найдены в местонахождениях, описанных ниже.

В 11 км к югу от сомона Баинту, в 1,8 км к юго-западу от абс. отм. 2538,0 на правом берегу ручья Холдзатийн, левого притока реки Сагсай, Е.В. Головченко и О.Д. Суетенко в 1987 г. в карбонатно-терригенных отложениях мощностью 130 м были найдены табуляты Favosites cf. goldfussi, F. shengi Lin., Pachyfavosites cf. preplacenta, P.cf. karcevae; ругозы Lyrielsasma ariadnae, L.sp., Tryplasma hercynica, Rhizophyllum enorme, Chlamydophyllum obscurum, Pseudochonophyllum pseudohelianthoides, Martinophyllum virgatum; брахиоподы Leptagonia cf. orientalis, Leptostraphiella bayrimica, Tastaria sp., Wilsoniella prima, W. tchrenyshevae.

Из этих же отложений, на правом берегу ручья Холдзатийн, в 2,5 км к юго-западу от абс. отм. 2488,8 в серых известняках мощностью 50 м Л.М. Улитина собрали многочисленных Wilsoniella prima.

В среднем течении реки Кобдо, в левом борту, на излучине реки, в 16 км к юго-западу от сомона Улэгей, в 1 км к западу от абс. отм. 1735,0, среди эфузивов из небольшого выхода плитчатых, сильно трещиноватых, темно-серых известняков мощностью 50 м были найдены табуляты Pachypora tortuosa, P. tomchumyshensis, Dendropora ganinensis, Egosiella lecomptei и ругозы Tryplasma aequabilis.

НЕРАСЧЛЕНЕННЫЕ ОТКЛОНЕНИЯ НИЖНЕГО-СРЕДНЕГО ДЕВОНА И СРЕДНИЙ ДЕВОН

К нерасчлененным образованиям верхнего эмса–эйфеля относится верхнебардамгольская подсвита, а живетского – холдзатийская и хухульская свиты. В бардамгольской свите отсутствуют отложения, отвечающие в Монголии верхней лоне чулунского горизонта, выделенной как в терригенных (Trigonirhynchus oshigiensis), так и карбонатных разрезах (Spinatrypa (Spinatrypa) galinae – Cyrtinopsis nalivkini). Верхнебардамгольская подсвита залегает на подстилающей толще с базальными конгломератами в основании. Таким образом, в Алтайской подзоне, как и на всей остальной территории Монголии, нерасчлененные отложения верхнего эмса–эйфеля залегают трансгрессивно на подстилающих толщах.

Верхнебардамгольская подсвита (верхний эмс–эйфель)

В ее нижней части развиты преимущественно мелкогалечные конгломераты, гравелиты и крупнозернистые кварцевые песчаники. По разрезу они сменяются преимущественно пелитоморфными и алевритистыми известняками, известняками с прослойми туфов и единичными покровами дацитов. В верхней части разреза встречаются алевролиты кварц-полевошпатовые, с прослойми туфов и туффитов. В кровле подсвиты в алевролитовых известняках отмечается “плавающая галька” кремнистых образований. Мощность составляет более 1200 м. Отсюда в карбонатных прослоях найдены табуляты Favosites ex gr. goldfussi Orb., Pachyfavosites polymorphus (Gold.), Squameofavosites ex gr. obliquospinus (Tchern.), Caliapora cf. elegans Yanet., C. ex gr. tenuisquamata Dubat., Coenites cf. bachatensis Dubat., Egosiella ex gr. orbiculata Dubat., Heliolites cf. vulgaris Tchern.; ругозы Tryplasma hercynica (Roem.), T. aequabilis Lonsd., T. ex gr. devoniana Soshk., Chlamydophyllum obscurum Pocta, Lyrielsasma sp., Barrandeophyllum perplexum Pocta, Syringaxon salairica Zhelt., Taimyrophyllum carinatum Bulv., Gurievskilla cylindrica Zhelt., Pseudochonophyllum pseudo-helianthoides (Sherz.), Xystriphyllum ex gr. uralicum Soshk.; мшанки Fenestella mongolica Kor. брахиоподы Schizophoria (Schizophoria) sp., Protoleptostrophia explanata (Sow.), Eucharitina dobrovi O. Erl., Areella barunica O. Erl., Atrypa (Atrypa) sp. I, A. (Atrypa) sp. II, Desquamatia (Desquamatia) minussinensis Aleks., Cyrtina sp.; трилобиты Proetus ex gr. myops Barr., Neoprobolium altaicum (Khalf.), Phacops cf. subcricostata Khalf.

В нижней половине разреза, сложенной терригенными породами, найдены расщепления Caudophyton aquatilis S.Stp., Barrandeinopsis beliakovi Krysht., Hostimella hostimensis P. et B.

По присутствию названных кораллов, брахиопод и растений верхнебардамгольская подсвита, залегающая стратиграфически несогласно на нижней подсвите, относится к нерасчлененным отложениям верхнего эмса–эйфеля. Учитывая, что холдзатийская свита (живет) залегает с размытием на всех нижележащих образованиях, можно полагать, что объем верхнебардамгольской подсвиты скорее всего охватывает нижнюю половину эйфеля.

Наиболее полный разрез бардамгольской свиты изучен на левобережье р. Сагсай, севернее сомона Алтай, в районе горы Гэрэлтэнхэтэл. Здесь она несогласно залегает на метапесчаниках среднего-верхнего кембрия и характеризуется следующим составом (снизу вверх):

Нижнебардамгольская подсвита

Мощность, м

1. Песчаники средне-крупнозернистые, гравелиты, мелкогалечные конгломераты кварцевые, полевошпатово-кварцевые, светло-серые с прослойми вишневых, вишнево-светло-серых песчаников 50
2. Известняки алевритистые, буровато-зеленовато-серые с прослойми полимиктовых, мелко-среднезернистых, буровато-светло-серых, существенно кварцевых песчаников 70
3. Песчаники крупнозернистые, конгломераты полимиктовые зеленые, зеленовато-вишневые 60
4. Известняки пелитоморфные, в кровле слоя зеленовато-серые витрокластические туфы 70

Общая мощность 240 м

Верхнебардамгольская подсвита

5. Песчаники кварцевые, зеленовато-светло-серые (20 м), конгломераты мелкогалечные, вишнево-серые, выше крупнозернистые кварцевые песчаники (50 м), серые кварцевые песчаники 160
6. Аргиллиты алевритистые, зеленовато-серые с маломощными прослойми зеленовато-светло-серых, кремнисто-карбонатных алевролитовых пород (2–3 м) 185
7. Известняки алевролитовые, пелитоморфные, комковато-густковые, пестроокрашенные от зеленого до вишневого цветов с отпечатками флоры Caudophyton aquatilis, Barrandeinopsis beliakovi, Hostimella hostimensis 170
8. Кремнисто-карбонатные, зеленовато-серые алевролитовые породы 30
9. Алевролиты с прослойми известняков, зеленовато-серых кремнисто-карбонатных алевролитовых пород 90
10. Известняки алевритовые с прослойми тонкообломочного туфа, в кровле слоя маломощный покров (2 м) дацитового порфира 180

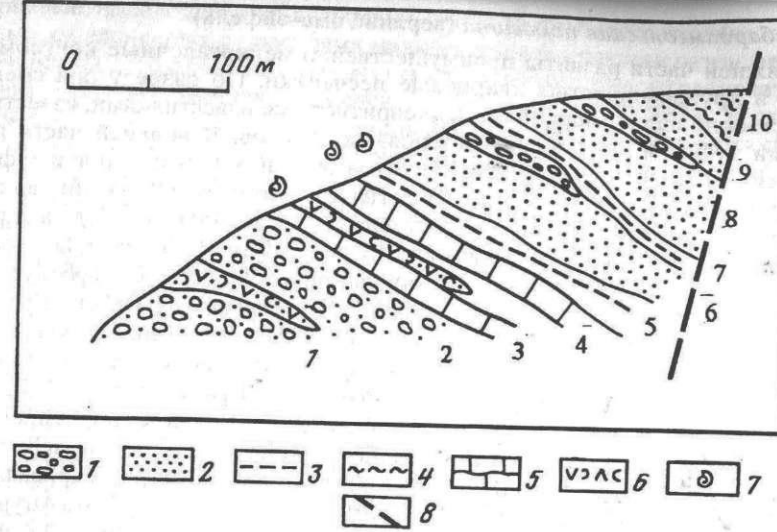


Рис. 3. Расположение местонахождений фауны и флоры в р-не правого борта руч. Шара Гоби (левого притока р. Сагсай), 3,9 км юго-западнее горы Ашила; верхнебардамгольская подсвита

1 – конгломераты; 2 – песчаники; 3 – алевролиты; 4 – аргиллиты; 5 – известняки; 6 – эфузивы; 7 – находки фауны; 8 – структурный разлом

11. Алевролиты вишневые, карбонатно-кварц полевошпатовые с прослойками алевропесчаников	70
12. Известняки алевритистые с прослойками песчанистых алевролитов.....	40
13. Кремнисто-карбонатные породы, вишневые, зеленые, с маломощными прослойками известняков	60
14. Песчаники мелкозернистые, кварц-полевошпатовые, зеленые, зеленовато-серые с прослойками буро-ватых алевролитов и маломощных прослоев кристаллокластических туфов	110
15. Алевролиты кварц-полевошпатовые, слюдисто кварц-полевошпатовые, с прослойками туфов, туффитов, известняков, витрокластических туфов	210
16. Туффиты гравелистые, на карбонатном цементе, зеленовато-вишнево-светло-серые	90
17. Известняки пелитоморфные, алевритовые	30
18. Алевролиты полевошпатовые, кварцевые, зеленовато-светло-серые с прослойками алевритовых известняков. В кровле галька кремнистых образований, размером 7-12 см.....	170

Общая мощность 1595 м

Общая мощность всей свиты 1835 м

Выходы верхнебардамгольской подсвиты хорошо обнажены в долине р. Сагсай. Ниже приводится описание разреза, изученного и составленного Л.М. Улитиной в районе правого борта ручья Шара Гоби (левого притока р. Сагсай), 3,9 км юго-западнее горы Ашила; (рис. 3). Характер контактов с подстилающими и перекрывающими отложениями по разрезу не наблюдался.

Разрез сложен следующими породами (снизу вверх):

Мощность, м
1. Переслаивание серых и желтых песчаников, мелко и грубозернистых, кварцевых крупноплитчатых и конгломератов.....
2. Переслаивание желтых и серых песчаников, конгломератов и эфузивов. В кровле слоя зеленоватые туфы.....
3. Переслаивание серовато-коричневых дегритусовых известняков, серых глинистых известняков и зеленых песчаников. Слой прорван эфузивами. В известняках рузы: Tryplasma hercynica, Rhizophyllum epogae, Chlamydophyllum obscurum, Pseudochonophyllum pseudohelianthoides, Barrandeophyllum perplexum, Syringaxon salairica, Gurievskielia cylindrica, Lytielasma sp; брахиоподы Schizophoria (Schizophoria) sp., Eucharitina dobrovii, Atrypa (Atrypa) sp.I, Atrypa (Atrypa) sp. II, Desquamatia (Desquamatia) minussinskensis ...30

4. Переслаивание серых массивных известняков и зеленых алевролитов с табуляциями, гастроподами, строматопоратами, ветвистыми мшанками, брахиоподами Eucharitina dobrovii, Atrypa (Atrypa) sp. I, Atrypa (Atrypa) sp. II, Desquamatia (Desquamatia) minussinskensis.....13
5. Серые, кварцевые, мелкозернистые песчаники с прослойками зеленоватых алевролитов, переходящие в известковистые песчаники и алевролиты с сетчатыми мшанками, строматопоратами, брахиоподами, криноидиями (здесь и далее состав фауны не был определен по причине утери коллекции в процессе перевозки).....15
6. Массивные, кварцевые, грубозернистые песчаники с прослойками конгломератов до 3 м мощностью.....25
7. Серые, кварцевые, мелкозернистые песчаники с прослойками серых плитчатых алевролитов6
8. Грубозернистый, кварцевый желтый песчаник с прослойками конгломератов50
9. Серые, мелкозернистые, кварцевые песчаники.....30
10. Переслаивание мелкозернистых зеленоватых песчаников и аргиллитов20

Видимая мощность 304 м

Кроме вышеописанных разрезов, сборы фауны проводились из следующих местонахождений: с правой стороны от дороги Ульгий-Толбо: 1) в 10,5 км юго-западнее от сомона Улэгей, в 2,2 км северо-восточнее от абс. отм. 2402; 2) в 3 км южнее сомона Улэгей; 3) в 20 км южнее сомона Улэгей, слева от дороги, в 1,4 км северо-восточнее от абс. отм. 2347.

В среднем девоне, помимо эйфельских отложений, входящих в состав бардамгольской свиты, выделены еще две свиты: пестроцветная терригенная – холдзатийская и вулканогенная – хухульская. Обе свиты отвечают живетскому ярусу.

Холдзатийская свита (живет) обнажается в основном на правобережье р. Сагсай, в районе перевала Бугучийн Даваа, горы Улаан и, кроме того, развита на левом берегу реки Сагсай, в районе горы Хурэн Толгой. В подошве свиты залегают базальные буровато-красные конгломераты с галькой подстилающих пород (30 м). В нижней части преобладают красноцветные и серые гравелиты, конгломераты и песчаники. Далее свита сложена буровато-зеленоватыми, реже серыми песчаниками, темно-серыми, буроватыми и желтыми известняками, песчанистыми и доломитизированными известняками, пестроцветными алевролитами, туфами, местами с прослойками красноватых и лиловых лав. Мощность свиты до 900 м. В карбонатных породах найдены табуляты Thamnopora proba acrospina Dubat., Thecostegites firmus Sok. (in Dubat.); рузы Cystiphyloides ex gr. radugini Ivania, Altaiphylum belgebasicum Ivania, Heliophyllum aff. aiense Soshk.; мшанки Fistulipora dzolenensis Kop. F. indigena Moroz., F. subsphaerica Nekh., Cheilotrypa copiosa Kop., Cyclotrypa circularis Kop., Sulcoretepora densa Kop., Lioclema zonata Kop., L. yakovlevi (Schloen.), Neotrematopora cristiformis Kop., Minussina spinosa Moroz., M. maculosa Moroz., Leptotrypa fragilis Kop., Leptotrypella uniserialis Kop., Eostenopora cyphtotropoides Kop., E. nicholsoni (Duncan), Eridotrypella ornata Moroz., E. kwangsiensis Yang and Hu, E. mutabilis Kop., Kisylschinipora formosa Kop., Petalotrypa perforata Nekh., Semicoscinium hastatum Kop., S. altaicum Nekh., Hemitrypa mongolica Nekh., Fenestella pentagona Wash.; брахиоподы Leptagonia sp. I, Schizophoria (Schizophoria) striatula (Schlot.), Sibirat-rypa lebedjanica (Rzon.), Protoleptostrophia? sp., Euryspirifer pseudocheehiel (Hou Hunfe), E. mesolobus (Korov.), Spinocyrtia martianofi (Stuck.), S. carinata Ehl. and Wright, S. cedarensis (Owen), S. kizylschinica Gratz., S. mongolica Olen., S. sp., Athyris concentrica (Buch), Retzia tschernyschewi Peetz; криноидии Formosocrinus pentamerus (Yelt. et Sis.). Среди названных форм табуляты Thamnopora proba acrospina, Thecostegites firmus, рузы Altaiphylum belgebasicum, брахиоподы Euryspirifer pseudocheehiel, представители Spinocyrtia характерны для живетского яруса и в основном для верхней его части – алчедатского горизонта и его эквивалентов в Алтае-Саянской области на Дальнем Востоке и др. Из мшанок 11 видов впервые были найдены и описаны из этого района, остальные характеризуют в основном живет Горного Алтая, Кузбасса, Минусинской котловины. В основном по составу брахиопод холдзатийская свита отнесена к верхней части живета.

Выходы холдзатийской свиты имеют ограниченное распространение, прослеживаясь в основном на правобережье р. Сагсай, где они образуют небольшие

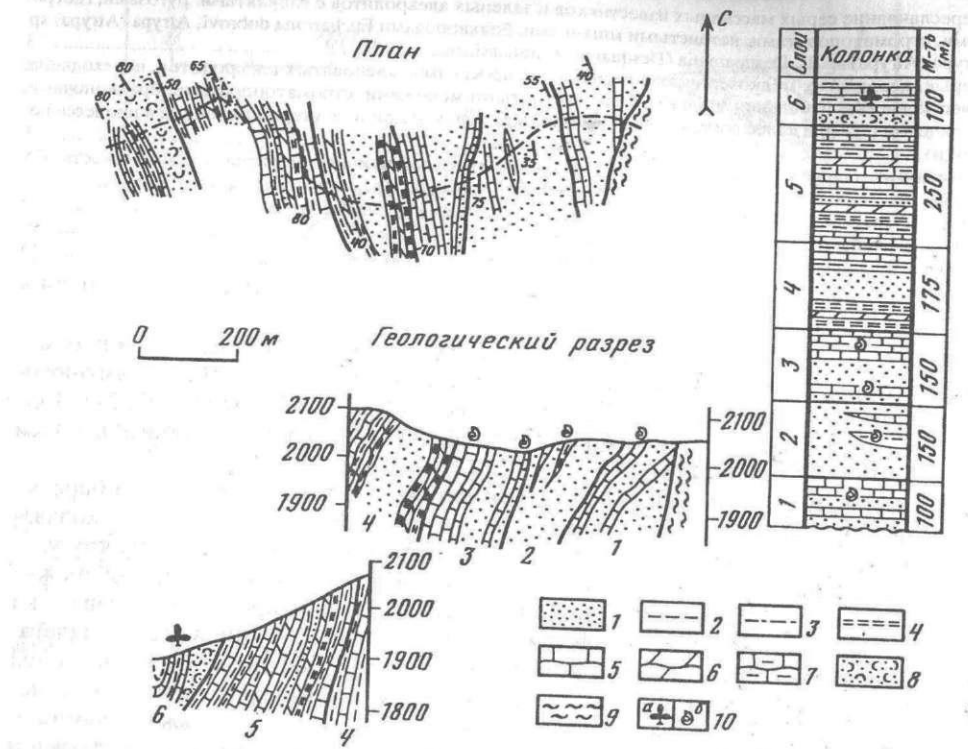


Рис. 4. Расположение местонахождений фауны и флоры на правобережье р. Сагсай, в районе горы Улаан (абс. отм. 2089,5); холдзатийская свита

1 - песчаники; 2 - алевропесчаники; 3 - алевролиты; 4 - кремнистые алевролиты; 5 - известняки; 6 - известковистые алевролиты; 7 - сланцы, метаморфические сланцы; 8 - туфопесчаники; 9 - метаморфические сланцы; 10 - находки: а) - флоры, б) - фауны

текtonические блоки линзовидной формы, вытянутые вдоль Сагсайского разлома. Образования свиты повсеместно с угловым несогласием залегают на хлоритовых сланцах кембрия – ордовика. Ниже приводятся описания изученных разрезов:

На правобережье р. Сагсай, в районе горы Улаан (абс. отм. 2089,5) (рис. 4) девонские отложения представлены (снизу вверх):

- Мощность, м
- Песчаники известковистые, полимиктовые с прослойками и линзами (1–6 м) известняков песчанистых с мшанками: *Fistulipora indigena* Moroz., *Cheilotrypa copiosa* Kop., *Liochema zonale* Kop., *Minussina maculosa* Motoz., *Eridotrypella ornata* Moroz., брахиоподами: *Schizophoria (Schizophoria) striatula*, *Spinocystia martianofi*, *Athyris concentrica* 100
 - Темно-серые песчаники, массивные, с редкими прослойками алевропесчаников и песчанистых известняков с криноидиями, брахиоподами: *Spinocystia martianofi* (Stuck.), *S. cedrensis* (Owen), *S. sp.*, *Atrypis concentrica* (Buch), криноидии *Formosocrinus pentamerus* (Yelt. et Sis.) 150
 - Пачка органогенных известняков темно-серых, буровато-серых, в нижней части песчаники известковистые с ругозами, мшанками, брахиоподами 150
 - Переслаивание серых, темно-серых известняков и черных кремнистых пород, песчаники серые, мелкозернистые, в верхней части пачки буровато-зеленые алевролиты 175
 - Переслаивание коричневато-серых известняков, серых, буровато-серых алевролитов и розовато-серых алевро-песчаников 250
 - Песчаники полимиктовые, серые, в верхней части пачки алевролиты розовато-серые, бурые с маломощными прослойками известняков, в алевролитах отпечатки флоры 100
- Общая мощность 925 м.

Наиболее полный разрез свиты изучен на левобережье р. Сагсай в районе горы Хурэн Толгой, где обнажаются (снизу вверх):

Мощность, м

- Известняки, песчанистые известняки светло-серого, желтовато-серого цвета с обломками ругоз и тянутеля 100
- Песчаники, известковистые песчаники серого, желтоватого цвета с прослойками и линзами известняков серого цвета, содержащие табуляты *Thamnopora proba acropina*, *Thecostegites firmus*, ругозы *Cystiphyloides ex gr. radugini*, *Altaiphllum belgebaschicum*, *Heliphllum aff. aiense* 70
- Песчаники темно-серого цвета, мелкозернистые, кварц-полевошпатовые. В основании пачки криноидии *Formosocrinus pentamerus* 130
- Органогенные известняки серого цвета с табулятами, ругозами, мшанками, брахиоподами *Euryspirifer pseudocheehiel*, *Spinocystia martianofi* и криноидиями, редкие прослои песчаников, серых, темно-серых, мелкозернистых, кварц-полевошпатового состава 100
- Доломиты, доломитизированные известняки, известняки серого буровато-серого цвета, тонкослонистые, в известняках брахиоподы: *Leptagonia* sp., *L. sp. I*, *Schizophoria (Schizophoria) striatula*, *Euryspirifer pseudocheehiel*, *Spinocystia martianofi*, *S. carinata*, *S. cedrensis*, *S. kizylschinica*, *S. mongolica*, *S. sp. I*, *Athyris concentrica* 70
- Частое переслаивание черных кремнистых пород, доломитов, алевритистых доломитов. Кремни образуют прослои, линзы, округлые стяжения 110
- Туфопесчаники, песчаники серого, зеленовато-серого цвета, мелкозернистые с прослойками, линзами доломитов, доломитизированных известняков серого, желтовато-серого цвета с брахиоподами: *Leptagonia* sp. I, *Protoleptostrophia?* sp. 200
- Туфопесчаники серого, светло-серого цвета, мелкозернистые, карбонатизированные, с прослойками (3–10 м) риолитов и туфов риолитового состава красного, вишнево-красного цвета 60
- Алевролиты лиловые, зеленые, зеленовато-серые, с прослойками (от 3 см до 1 м) известняков, доломитизированных известняков. В алевролитах отпечатки флоры 50

Общая мощность 890–900 м.

На левобережье р. Сагсай, 550 м северо-северо-западнее от горы Хурэн Толгой описана толща, которая наращивает вышеописанный разрез и характеризуется следующим составом (снизу вверх):

Мощность, м

- Известняки органогенные, серого желтовато-серого цвета с брахиоподами: *Schizophoria (Schizophoria) striatula*, *Euryspirifer pseudocheehiel*, *Eur. mesolobus*, *Spinocystia martianofi*, *S. kizylschinica*, *Spinocystia mongolica*, *Spinocystia* sp., *Athyris concentrica* 70
- Туфолавы риолитов тёмно-вишневого и буровато-красного цвета, в основании которых горизонт (20 м) конгломератов с галькой риолитов, трахитов, сланцев, известняков 250
- Кристаллокластические туфы риолитов буровато-красного, вишнево-красного, серого цвета 25
- Песчаники, туфопесчаники аркозового состава, крупнозернистые, гравелистые песчаники красного и красновато-серого цвета. Прослои (до 1 м) алевролитов и туфоалевролитов ярко-вишневого цвета 50
- Туфы, туфолавы риолитов тонкофлюидальные, серого и вишнево-серого цвета 75
- Гравелиты, песчаники, туфоалевролиты, туффиты вишневого, буровато-красного цвета тонкослонистой текстуры 55
- Конгломераты красного и буровато-красного цвета, в гальке вулканиты риолитового состава 80
- Известняки темно-серые, серые с ругозами: *Heliphllum aff. aiense*; *Altaiphllum belgebaschicum*, *Cystiphyloides* sp.; мшанками *Fistulipora dzolensis*, *F. indigena*, *Cheilotrypa copiosa*, *Cyclotrypa circularis*, *Sulcoretopora densa*, *Lioclema zonale*, *Neotrematopora cristiformis*, *Minussina maculosa*, *Eostenopora cyphotrypoidea*, *E. nicholsoni*, *Eridotrypella ornata*, *E. kwangsiensis*, *Kisylschinipora formosa*, *Petalotrypa perforata*, *Semicoscincium hastatum*, *S. altaicum*, *Hemitrypa mongolica*, *Fenestella dispaniformis*; брахиоподами *Leptagonia* sp. I, *Euryspirifer pseudocheehiel*, *E. mesolobus*, *Spinocystia martianofi*, *S. mongolica*, *Athyris concentrica*, *Retzia tschernyschewi* 70

Общая мощность 675 м

Хухульская свита (живет). Ее вулканогенные породы согласно залегают на отложениях холдзатийской свиты (Гаврилова, 1983). Вулканогенная толща в основании представлена темными, почти черными лавами базальтового состава, часто с миндалекаменной структурой (200 м). Выше залегает покров буровато-серых лав и лавобрекций риолитового состава (300 м). Мощность свиты 500 м. Верхняя ее граница не установлена. Хухульская свита отнесена к живетскому ярусу в связи с тем, что она залегает согласно на холдзатийской, а также с учетом того, что формирование вулканогенных толщ происходит в геологически короткое время.

Образования, содержащие верхнедевонскую фауну, найдены в тектоническом блоке. Они представлены в основном темноцветными, карбонатизированными терригенными породами небольшой мощности (порядка 100 м). Этот блок находится на правом берегу р. Сагсай, в 6,2 км северо-северо-восточнее от перевала Бугучийн Даваа (абс. отм. 2236,6) (рис. 5). Здесь найдены *Sibiratrypa* sp., *Mucrospirifer mesacostalis* (Hall), *M. mesacostalis tricostatus* (Rzon.), *Retzia tscherneyschewi* Peetz, *R. ulentica* Nal. и продукты, близкие представителям семейства Araksalosiidae. Из них первый род, а также *M. mesacostalis tricostatus* широко распространены в нижнефранских горизонтах Кузбасса. Из монгольских ретцид первых видов известен из нижнефранских отложений Кузбасса, второй – из фаменских в Казахстане. Араксалозииды описаны в верхней половине фаменского яруса. Таким образом, имеющийся материал свидетельствует только о том, что на исследуемой площади существовал позднедевонский морской бассейн.

В заключение отмечу главные особенности в строении девона на площади Алтайской структурно-фаунистической подзоны.

1. Седиментация девонских отложений началась с ложкока.

2. Перерывы в осадконакоплении происходили в Праге, начале и в конце эмса, и, по-видимому, в интервале позднего эйфеля – раннего живота, так как в нижней половине холдзатийской свиты, залегающей трансгрессивно, найдена фауна, характерная только для верхней части животского яруса.

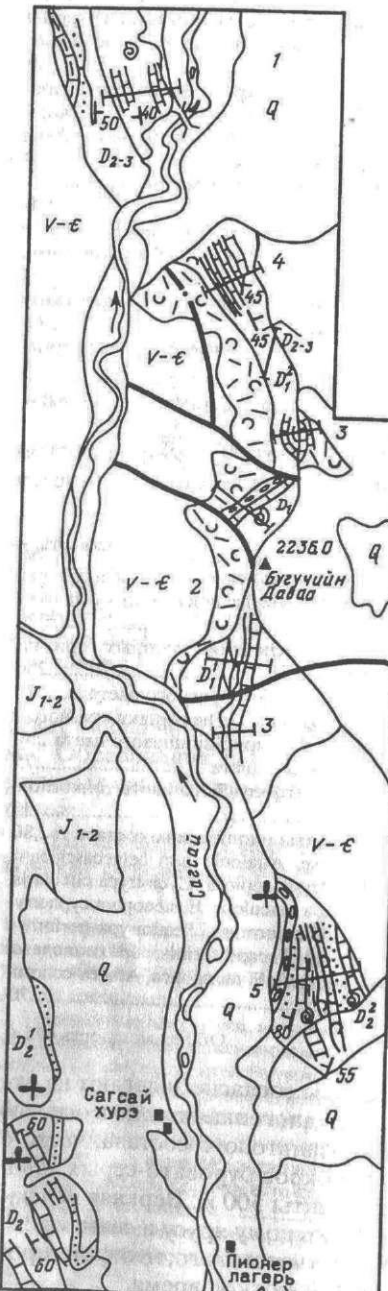
3. Нерасчлененные отложения верхнего эмса – эйфеля залегают трансгрессивно на все подстилающие толщи.

4. Впервые на палеонтологическом материале установлены морские осадки верхнего девона.

5. Впервые в Монголии найдены разрезы, содержащие фауну, характерную как для терригенных, так и карбонатных фаций. (В нижнебардамгольской подсвите встречаются табуляты и брахиоподы, известные до сих пор в нижней части эмса, соответственно только в карбонатных и терригенных разрезах.)

Рис. 5. Схема расположения изученных разрезов в долине реки Сагсай

1 – левобережье р. Сагсай, р-н горы Хурэн Толгой (холдзатийская свита); 2 – правобережье р. Сагсай, р-н перевала Бугучийн Даваа (уланхусская свита); 3 – р-н перевала Бугучийн Даваа (холдзатийская свита); 4 – 6 км севернее перевала Бугучийн Даваа (карбонатно-терригенная толща, фран?); 5 – р-н горы Улаан (холдзатийская свита)



6. Состав организмов нижне- и верхнебардамгольской подсвиты подтверждает правильность корреляции несопоставимых по фауне терригенных и карбонатных разрезов девона Монголии, проведенной ранее по уровням, отвечающим геологическим событиям бассейна. В нижней подсвите обильны брахиоподы, характерные для низов терригенных фаций, а в верхней – характерные для карбонатных фаций цаганхалгинского горизонта (верхний эмс–эйфель). Схема корреляции изученных разрезов участка “Сагсайский” приведена на рис. 6.

2.2. ДЕЛЮНО-ЮСТЫДСКИЙ ПРОГИБ

В крупной сводной работе по геологии Западной Монголии девонские образования Делюно-Юстыдского погиба подразделялись на два комплекса (Дергунов, Лувсандаанзан и др., 1980): осадочно-вулканогенный, отвечающий нижнему–среднему девону и терригенный “черносланцевый”, датируемый средним–верхним девоном (см. табл. 2). Позднее, по результатам геологосъемочных работ M 1 : 200000 из состава “черносланцевой”, терригенной толщи были выделены хатугольская и цагансаласская свиты (Г. Бомбооро, 1983). Более детальная стратиграфическая схема девона была составлена при проведении геологического картирования M 1 : 50000 экспедицией “Совгео” (отчеты Демин и др., 1990; Филоненко и др., 1991). Так в низах девона Делюно-Юстыдского прогиба выделялись три свиты: тунгэтская, авдарынская и буратская. При этом стратиграфическое положение двух последних, а также их стратиграфические соотношения с другими толщами не были установлены. По петрохимической характеристике вулканогенные отложения этих свит оказались сходными с таковыми хухульской свиты, относящейся к верхам живетского яруса в Алтайской структурной подзоне. Кроме этого, по мнению геологов, выделивших свиты, они могут входить в состав верхнего девона “по структурной позиции”. В связи с изложенным названные свиты в настоящей работе не рассматриваются.

Тунгэтская свита в целом соответствует всему нижнему осадочно-вулканогенному комплексу, установленному А.Б. Дергуновым. Разрез рассматриваемой толщи, описанный в районе сомона Цаган нур (Дергунов и др., 1980, с. 55), является, по существу, стратотипом тунгэтской свиты.

Хатугольская свита, выделенная работами Г. Бомбооро и др. (отчет 1983), была расчленена А.Н. Деминым и др. (отчет 1990 г.) на две свиты: нижнюю – кошкарлыгскую и верхнюю – “хатугольскую”. Однако при этом, первоначальный объем хатугольской свиты был изменен не менее, чем на половину, что противоречит требованиям стратиграфической номенклатуры (Стратиграфический кодекс..., 1977). В настоящей работе хатугольская свита принимается в ее первоначальном объеме, установленном Г. Бомбооро, в ее составе выделяются разновозрастные слои – кошкарлыгские (верхний эмс–эйфель) дундтолгойские (живет) и зээгтийские (нижний фран). Из них кошкарлыгские слои отвечают одноименной свите, установленной в 1990 г. (Демин и др.). Последние два подразделения, по материалам отчетов съемочных партий “Совгео” (отчет Филоненко и др. 1991) соответствуют “среднехатугольской” и “верхнехатугольской” подсвитам хатугольской свиты.

НИЖНИЙ ДЕВОН

В основании нижнедевонских отложений развиты преимущественно грубообломочные красноцветные породы тунгэтской свиты, залегающие на размытой поверхности нижнепалеозойских толщ.

Тунгэтская свита (эмс). Нижняя часть свиты сложена лиловато-серыми и лиловыми туфогенными песчаниками, переслаивающимися с гравелитами, местами конгломератами (200 м). Выше залегают розовато- и лиловато-серые существенно кварцевые песчаники, часто косослоистые (150 м). Далее развиты вулканогенные

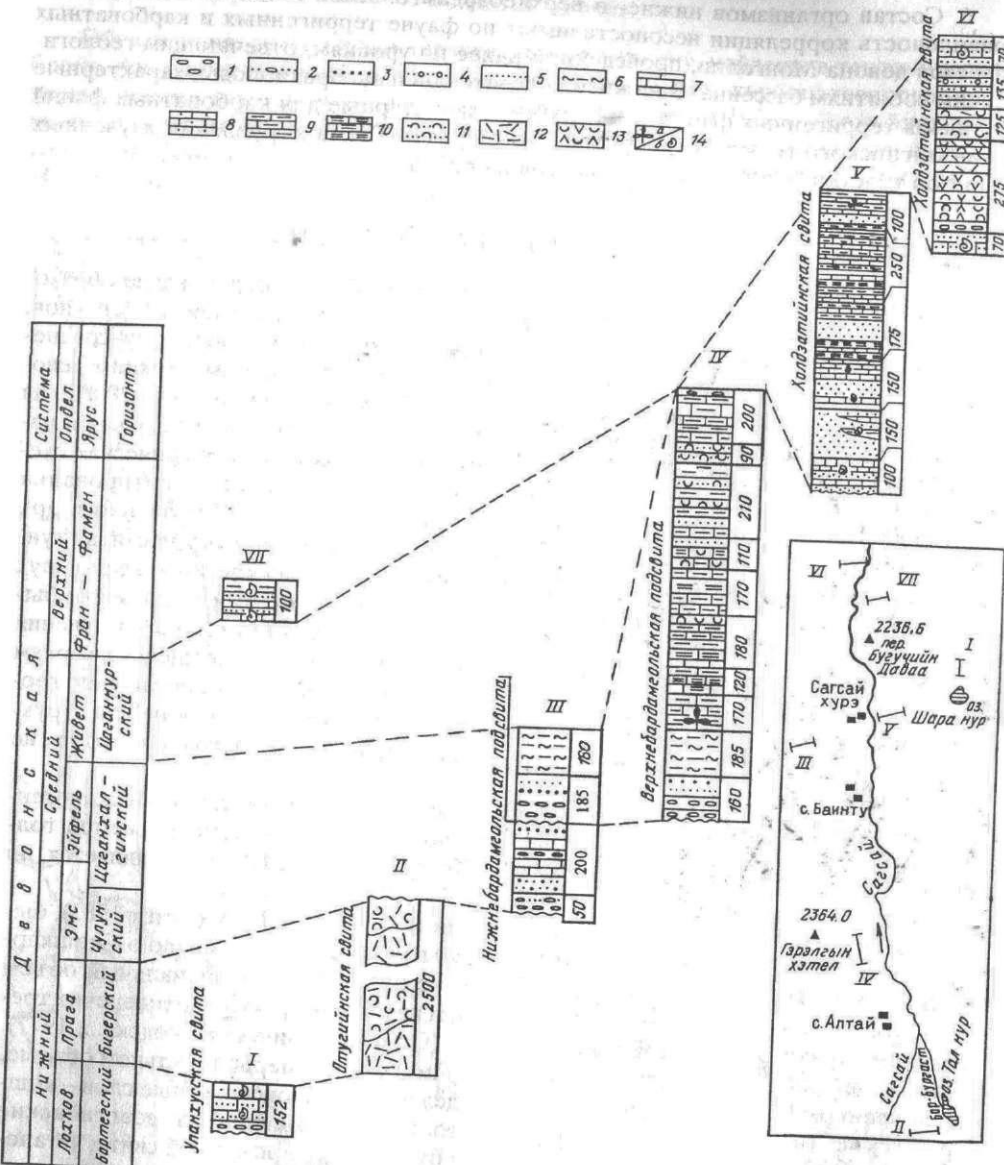


Рис. 6. Схема корреляции девонских разрезов участка "Сагсайский"

Разрезы: I – севернее озера Шара нур; II – южнее озера Тал нур; III – юго-западнее Сагсай хурэ; IV – севернее сомона Алтай, р-н горы Гэрэлгын хэтэл; V – р-н горы Улаан; VI – севернее горы Хурэн Толгой; VII – 6,2 км северо-северо-восточнее перевала Бугучийн Даваа
 1 – конгломераты; 2 – гравелистые песчаники; 3 – крупнозернистые песчаники; 4 – разнозернистые песчаники; 5 – мелкозернистые песчаники; 6 – мергелистые алевролиты; 7 – известняки; 8 – известковистые песчаники; 9 – известковистые алевролиты; 10 – кремнистые известняки; 11 – туфопесчаники; 12 – эфузивы, туфогенные породы кислого состава; 13 – эфузивы, туфогенные породы среднего и смешанного состава; 14 – находки: а) – флоры, б) – фауны

породы темно-серые, лиловые туфопесчаники, туфогравелиты, грубообломочные туфы (150 м). Венчают разрез свиты розовые и серые стекловатые кислые эфузивы – дацитовые и риолитовые порфирь с горизонтами кислых туфов и левобреший, перекрывающиеся пачкой зеленовато-серых туфогенных песчаников, с прослоями кислых эфузивов (700 м). Общая мощность свиты 1200 м. На тунгэтской свите согласно залегают терригенные кошкарлыгские слои.

Тунгэтская свита относится к эмсу на основании следующих факторов:

1. Выше лежащие кошкарлыгские слои, залегающие статиграфически согласно, содержат органические остатки, относимые к нерасчлененным отложениям верхнего эмса–эйфеля.

2. Мощность тунгэтской свиты сопоставима с мощностями толщ, отнесенных к эмсу в сопредельных и других районах страны и России. Так, в смежной Кобдинской структурно-фаунистической подзоне мощность чулунского горизонта (эмс) более 1700 м (Алексеева, 1993), в юго-восточной части Ануиско-Чуйского прогиба Горного Алтая ей соответствует уландринская свита (эмс), мощностью около 1500 м (Гинцингер и др., 1973).

НЕРАСЧЛЕНЕННЫЕ ОТЛОЖЕНИЯ НИЖНЕГО-СРЕДНЕГО ДЕВОНА И СРЕДНИЙ ДЕВОН

Кошкарлыгские слои (верхний эмс–эйфель). В Делоно-Юстыдском прогибе нерасчлененные отложения нижнего–среднего девона входят в состав кошкарлыгских слоев – нижних слоев хатугольской свиты. Особенностью кошкарлыгских слоев является алевролитовый состав и наличие линзовидно-волнистой и косой слоистости. Преобладают темноцветные, темно-серые, темно-зеленоватые и почти черные образования. Алевролиты переслаиваются также с преимущественно темноцветными алевропесчаниками и песчаниками. Прослои серых и светло-серых известняков единичны.

Остатки фауны и флоры, характеризующие возраст кошкарлыгских слоев, найдены в северной части прогиба, на Цаганнурском участке и в более южном – Талнурском. В целом из кошкарлыгских слоев определены брахиоподы *Isorthis* (*Tyersella*) *quadrata* Aleks., *Leptagonia orientalis* Aleks., *L. zlichovensis* Halv., *Leptaeoporix bouei* (Bart.), *Leptostrophiella bayrimica* Aleks., *Protodouvillina matigarensis* Olen., *Atrypa* (*Atrypa*) sp.; криноиды *Hexacrinites biconcavus* Yelt., *H. tuberosus* Yelt., *Floricrinus rotundus* (Yelt. et Sis), *F. sogdianus* Schew., *F. floreus* (Yelt.), *Cupressocrinites scaber* Scnult., *Salairokrinus humilis* Dubat., *Asperocrinus giganteus* Stuk., *A. sp.*, *Facetocrinus* sp., *Pentapetalocrinus* sp., *Amurocrinus* sp., *Petalerisma* sp., *Formosocrinus pentamerus* Yelt. et Dubat.; флора *Aneurophyton germanicum* Kr. et Weyl., *Barsasopteris nativa* S. St., *Uralia camdjaleensis* Petros., *Protolepidodendron scharyanum* Krejci, *Barrandeinopsis beliakovi* Krysht., *Barsassia ornata* Zal., *Herbula marinae* S. St., *Germanophyton psigmophylloides* (Kr. et Weyl.), *Psilophyton cf. burnetense* (Gilk.) Kr. et Weyl., *Dawsonites* sp., *Monbasia cf. notabilis* Senk.

На северном, Цаганнурском участке, в районе горы Матигар, кошкарлыгские слои согласно залегают на нижележащих образованиях и представлены, в отличие от более южной части прогиба, монотонной толщей однообразного, песчано-алевролитового состава. Ниже даны описания наиболее представительных разрезов, содержащих органические остатки.

Разрез расположен в 20 км северо-западнее аймака Улэгэй, в районе горы Матигар (выс. отм. 2469,1). В его составе выделяются следующие разновидности пород (снизу вверх):

Мощность, м

1. Алевролиты черные с линзами светло-серых, серых полимиктовых песчаников, в алевролитах заметна линзовидно-волнистая слоистость 40
2. Алевролиты серые, темно-серые с редкими прослоями известняков с мшанками, криноидиями: *Amurocrinus* sp., *Floricrinus sogdianus*, *Formosocrinus* sp. 300

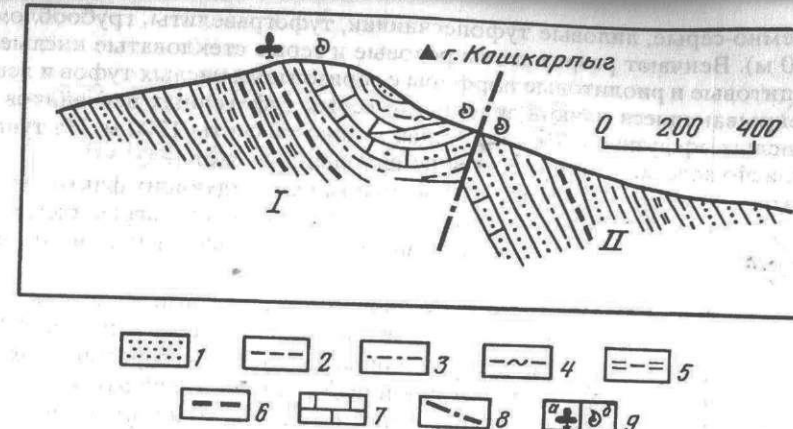


Рис. 7. Расположение местонахождений фауны и флоры в р-не горы Кошкарлыг; I – кошкарлыгские слои, II – зээгтийнские слои

I – песчаники; 2 – алевролиты; 3 – алевропесчаники; 4 – алевритистые мергели; 5 – кремнистые алевролиты; 6 – черносланцевые алевролиты; 7 – известняки; 8 – структурный разлом; 9 – находки: a) – фауна

3. Алевролиты серые, темно-серые, отмечается вкрапленность лимонитизированного пирита до 0,8–1,0 см 70
 4. Алевролиты серые, с конкрециями округлой формы (до 25–30 см), сложенные темно-серыми известняками и известковистыми алевролитами 10
 5. Известковистые алевролиты, алевропесчаники, редкие прослои известняков. В слое наблюдаются два горизонта (до 30 м) алевролитов с конкрециями (до 15 см) зонального строения, сложенные кремнистыми алевролитами 390
 6. Тонкое переслаивание темно-серых алевролитов и мелкотонкозернистых песчаников с линзовидно-волнистой слоистостью 100
 7. Органогенные известняки серого, светло-серого цвета со слабым желтоватым оттенком. Отсюда определены брахиоподы: *Isorthis* (*Tyversella*) *quadrata*, *Leptagonia orientalis*, *Leptostrophiella bayririmica*, *Protodouvillina matigarensis*, *Atrypa* (*Atrypa*) sp. 180
 8. Тонкое переслаивание темно-серых, серых алевролитов и мелкозернистых песчаников, песчаников полимиктового состава (до 3 см) серого, темно-серого цвета. Характерным признаком для отложений пачки является наличие линзовидно-волнистой и косой слоистости 150

Суммарная мощность кошкарлыгских слоев 1240 м

На южном, Талнурском, участке рассматриваемые слои изучались севернее села Делюн, в районе горы Кошкарлыг и в районе перевала Бор Шовгор. Ранее эта толща относилась к хатугольской свите (отчет Ц. Оргил и др., 1985), а позднее к кошкарлыгской (отчет Демин и др. 1990). По своему вещественному составу эти образования геологами подразделялись на две пачки (Ц. Оргил и др., 1985), и рассматривались в качестве подсвит хатугольской свиты. Граница между нижней и верхней подсвитами проводилась ими по появлению известковистых серовато-зеленых алевролитов с прослойями буровато-серых песчанистых известняков с обильными остатками брахиопод и криноидей.

В районе горы Кошкарлыг взаимоотношение кошкарлыгских слоев с подстигающими образованиями не наблюдалось (рис. 7). Здесь, в основании нижней пачки, залегают кварц-полевошпатовые мелкозернистые песчаники (200 м), сменяющиеся вверх по разрезу на аркозовые светло-серые алевропесчаники с подчиненными прослойями серых кварцевых песчаников (200 м). В верхней части разреза – кремнистые темно-серые алевролиты (400 м). Выше них залегают зеленовато-серые песчаники, переслаивающиеся с вишневыми алевролитами, алевритистые мергели с прослойями мелкогалечных конгломератов (1–1,5 м). Заканчивается разрез известковистыми песчаниками, средне-крупнозернистыми, зеленовато-серыми

(200 м). В алевролитах найдены ископаемые остатки, среди которых брахиоподы *Isorthis* (*Tyversella*) *quadrata*, *Leptagonia orientalis*, *L. zlichovensis*, *Leptaenopyxis bouei*; криноидей *Hexacrinites?* sp., *Formosocrinus pentamerus*, *Pentapetalocrinus* sp., *Amurocrinus* sp.; флора *Germanophyton psigmophylloides*, *Psilophyton cf. burnetense*, *Dawsonites* sp., *Monlesia cf. notabilis*. Мощность разреза составляет около 1000 м.

Выше, через разлом, залегает песчано-аверолитовая толща (600 м), с фауной характерной для зээгтийских слоев (нижний фран).

На Талнурском участке, в районе перевала Бор Шовгор, горы Ёлхийн, кошкарлыгские слои залегают в основании синклинальной структуры, согласно с переходными слоями залегая на нижележащей песчано-сланцевой толще кембрия-ордовика. Здесь, снизу вверх, разрез представлен (рис. 8):

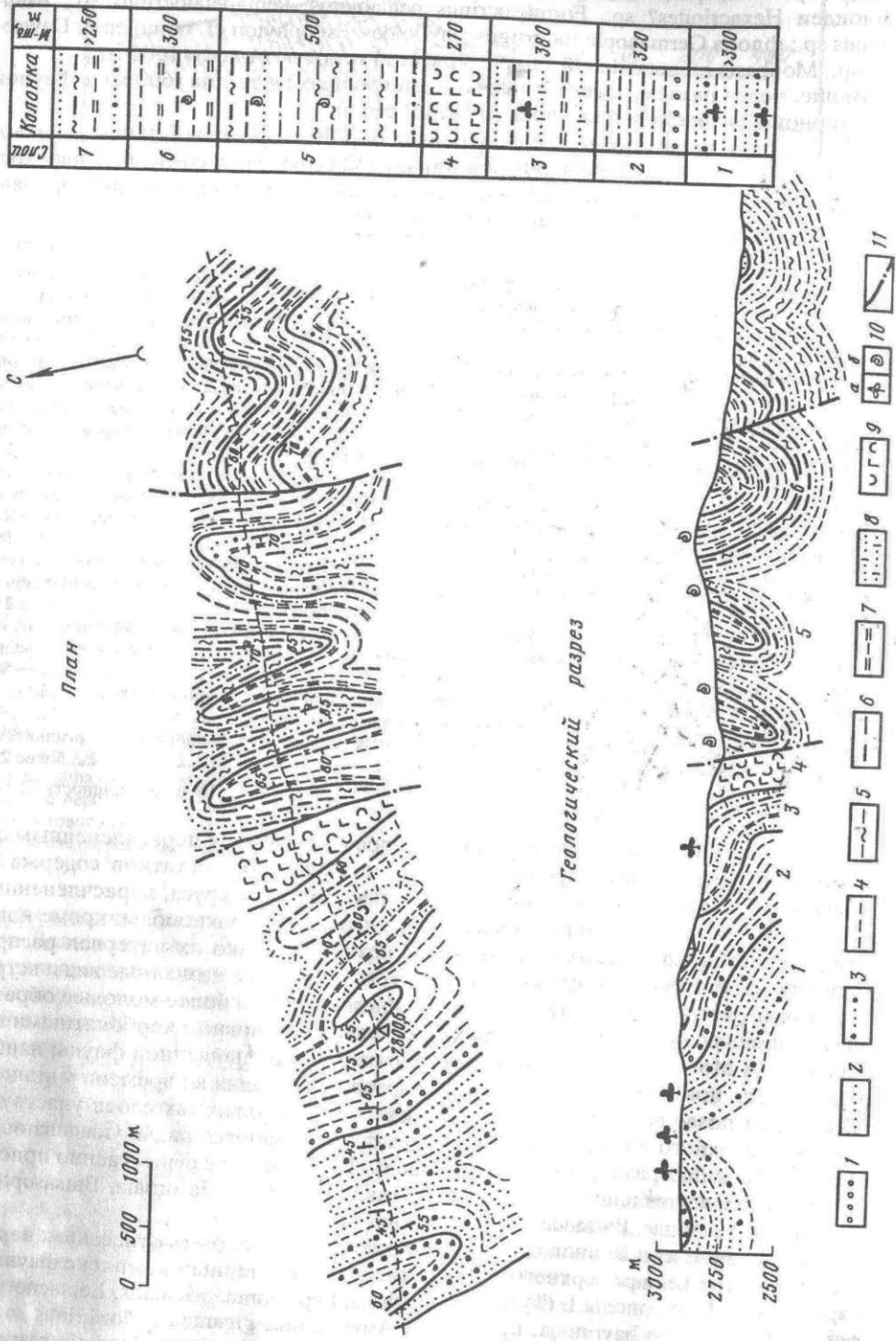
Мощность, м

1. Песчаники разнозернистые, гравелиты буровато-розовато-серые, бурые, с прослойями (0,5–2,0 м) зеленовато-серых алевролитов, алевропесчаников, часто окремненных до образования светло-серых кремнистых пород в которых найдены обильные отпечатки флоры *Aneurophyton germanicum*, *Uralia* sp. более 300
2. В основании пачки залегают мелкогалечные конгломераты, гравелиты (60 м), песчаники средне-крупнозернистые, зеленовато-серые, полимиктовые. Выше, с прослойями песчаников кварцевого состава залегают алевролиты, алевропесчаники серые, зеленовато-серые, редко темно-серые, черные, тонкослоистые, линзовидно-тонкослоистые, с единичными прослойями бледно-зеленых и буроватых слонистых кремнистых алевролитов с флорой *Uralia camjalensis*, *Barsasopteris nativa* 320
3. Песчаники средне-мелкозернистые, алевролиты серые, темно-серые в переслаивании, песчаники слоистые, тонкослоистые, сланцеватые, с прослойками светлых карбонатных пород, глинисто-кремнистослоистых пород. В кровле слоя обильные отпечатки флоры *Aneurophyton germanicum*, *Protolepidodendron scharyanum*, *Barsassia ornata*, *Barrandeinopsis beliakovi* 380
4. Туфы, туфопесчаники зеленовато-серые, серые, разнозернистые, на карбонатном цементе, с единичными обломками (5–10 см) субэффузивных пород среднего состава, с редкими прослойями темно-серых, алевролитов с флорой: *Aneurophyton germanicum*, *Barsasopteris nativa*, *Herbula marinae* 210
5. Переслаивание алевролитов, алевросланцев черных, мергелистых алевролитов (80%) с маломощными прослойями темно-серых алевропесчаников, мелкозернистых песчаников. По всему слою выветрелые мшанки и крупные членики криноидей: *Salaicrinus humilis* более 500
6. Алевролиты, алевритистые аргиллиты алевропесчаники кремнистые, темно-серые, серые, массивные. В верхней части слоя остатки мшанок и криноидей *Salaicrinus humilis* 300
7. Грубое переслаивание разнозернистых серых кремнистых алевролитов, алевритистых аргиллитов и мелко-тонкосернистых песчаников более 250

Видимая мощность 2260 м.

Геологический возраст кошкарлыгских слоев относится к нерасчлененным отложениям верхнего эмса-эйфеля. В составе органических остатков содержатся формы широко распространенные в отложениях эмского яруса, нерасчлененных толщах верхнего эмса-эйфеля и эйфельского яруса. Все брахиоподы, кроме нового вида известны из эмских отложений Монголии. Однако их интервал распространения во времени полностью не установлен, так как все названные виды встречаются лишь в терригенных отложениях нижнего девона, а более молодые образования с уровня верхнего эмса-эйфеля представлены в основном карбонатными породами как в Монголии, так и смежных областях. Среди найденной фауны наиболее полно установлена последовательность распространения во времени у криноидей, которая позволяет полагать, что в составе кошкарлыгских слоев участвуют отложения верхнего эмса-эйфеля. В составе флоры имеются виды, указывающие на более высокий стратиграфический уровень. Так, в разрезе существенно присутствие в комплексе салаирских эндемиков, таких как *Barsassia ornata*, *Barsasopteris nativa*, *Herbula marinae*, *Barrandeinopsis beliakovi*.

На основании изложенного кошкарлыгские слои могут быть отнесены к нерасчлененным отложениям верхнего эмса-эйфеля. В характерный комплекс фауны и флоры входят брахиоподы *I. (Tyversella) quadrata*, *Leptagonia*, *orientalis*, *Leptaenopyxis bouei*, *Leptostrophiella bayririmica*; криноидей *Asperocrinus giganteus*, *Floricrinus sogdianus*, *Amurocrinus* sp.; флора *Barsassia ornata*, *Barsasopteris nativa*, *Herbula marinae*, *Barrandeinopsis beliakovi*.



В Делюно-Юстыдском прогибе отложения живетского и франского ярусов входят в состав хатугольской свиты. К живету относятся дундтолгойские слои, а к нижнему франу – зээгтийские. Эти слои широко развиты в центральной части Делюно-Юстыдского прогиба и представлены преимущественно темноцветными терригенными флишоидными образованиями.

Дундтолгойские слои (живет) согласно залегают на кошкарлыгских слоях и также согласно перекрываются зээгтийскими слоями. Они сложены в основном ритмично переслаивающимися разнозернистыми темно-серыми, кварц-плагиоклазовыми песчаниками, алевролитами, микросланцами, цвет которых меняется от темно-серого, до черного, часты прослои косослоистых, линзовидно-слоистых песчаников. Мощность ритмов доходит до 150 м. Общая мощность до 2000 м. Из этих отложений в районах гор Дунд Толгой, Мухар, Хар Толгой, в устье распадка Жаргын ам найдены мшанки: *Hemitrypa mongolica* Nech., *Semicoscincium cf. platformis* Kras., *Fenestella* sp., *Intrapora* sp., *Lio clema* sp. брахиоподы *Schizophoria* (*Schizophoria*) *striatula* (Schlot.), *Leptagonia sinuata* (Rzon.), *Tsaganella plana* Olen., *Dagnachonetes? dundensis* Olen., *Sibiratrypa lebedjanica* (Rzon.), *Spinocystria martianofi* (Stuck.), *Euryspirifer pseudocheehiel* (Hou Hun-fe), *E. pseudocheehiel* alatus (Stuck.), *Mucrospirifer?* sp., *Athyris concentrica* (Buch); двустворки: *Ptychopteria* (*Actinopteria*) cf. *boydi* (Conr.) *Nuculoidea neda* Hall, криноидей: *Formosocrinus pentamerus* Yelt. et Dubat., *Hexacrinites biconcavus* Yelt. et Dubat.; трилобиты *Scutellum ex gr. costatum* Pusch.; флора *Aneurophyton germanicum* Kr. et Weyl., *Thamnocaladites vanopdenbaschii* Stockm., *Rellimia* sp., *Svalbardia polymorpha* Hoeg, *Hyenia sphaphylloides* Nath., *Ginkgophytopsis belgica* Stockm., *Pseudosporochnus nodosus* Lecl. et Banks. *Bartandeina pectinata* Nath., *Calamophyton bicephalum* Lecl. et Andr., *Duisbergia mirabilis* Kr. et Weyl.

Среди перечисленных форм находятся виды, характерные для живета Алтас-Саянской области и Кузбасса. К ним относятся брахиоподы *Sibiratrypa lebedjanica*, *Spinocystria martianofi*, *Euryspirifer pseudocheehiel*, *E. pseudocheehiel* alata, флора *Thamnocaladites vanopdenbaschii*, *Svalbardia polymorpha*, *Ginkgophytopsis belgica*. При этом из названных видов брахиопод и флоры первые – известны в верхах живетского яруса (алчедатский горизонт), а вторые – во второй половине живетского яруса. Геологический возраст дундтолгойских слоев определяется в целом как живетский. Ниже даны описания разрезов, наиболее охарактеризованных органическими остатками.

В северной части прогиба, на Цаганнурском участке, в 14,7 км западнее-юго-западнее сомона Цаган нур, в районе горы Хар Толгой (в.о. 2439,9), в тектоническом блоке наблюдались следующие разновидности пород (снизу вверх):

- | Мощность, м | |
|--|-----|
| 1. Переслаивающиеся алевролиты и аргиллиты зеленовато-серые с горизонтальной слоистостью; толщина слоев 1–2 см..... | 100 |
| 2. Алевролиты и аргиллиты темно-серые, с горизонтальной тонкой слоистостью; толщина слоев 5–6 см; в отдельных прослоях мелкозернистые песчаники (0,05–10 м) и известняки (0,1–1 м) с мшанками <i>Fenestella</i> sp., <i>Sulcoretpora</i> sp.; обилием брахиопод <i>Isorthis</i> (<i>Tyversella</i>) <i>sibirica</i> , <i>Leptagonia sinuata</i> , <i>Dagnachonetes? dundensis</i> , <i>Sibiratrypa lebedjanica</i> , <i>Spinocystria martianofi</i> , <i>Euryspirifer pseudocheehiel</i> , <i>E. pseudocheehiel</i> alatus; двустворками <i>Ptychopteria</i> (<i>Actinopteria</i>) cf. <i>boydi</i> ; трилобитами <i>Scutellum ex gr. costatum</i> | 360 |
| 3. Переслаивание мелкозернистых песчаников (0,1–2 м) и серых, темно-серых, алевролитов, (0,1–1 м) с прослоями и линзами доломитов, известняков (0,2–3 м) с мшанками, брахиоподами, двустворками, гастropодами | 150 |

Рис. 8. Расположение местонахождений фауны и флоры в р-не перевала Бор Шовгор, горы Ёлхийн; хатугольская свита, дундтолгойские слои

1 – крупнозернистые песчаники; 2 – мелкозернистые песчаники; 3 – разнозернистые песчаники; 4 – алевролиты; 5 – мергелистые алевролиты; 6 – черносланцевые алевролиты; 7 – кремнистые алевролиты; 8 – известковистые песчаники; 9 – эфузивы; 10 – находки: а) – флоры, б) – фауны; 11 – структурные разломы

Мощность, м

4. Алевролиты темно-серые, черные, горизонтально слоистые (слойки 1–2 мм) с прослойями, линзами (0,1–2 м) мелкозернистых песчаников от 10 до 15 слоев на 10–30 м; в основании слоя линза известняков с брахиоподами: *Tsaganella plana*, *Sibiratrypa lebedjanica*, мшанками, двустворками 500
Видимая мощность составила 1110 м

Наиболее полный разрез, содержащий ископаемые остатки фауны и флоры живетского яруса, изучен на Хатугольском участке, южнее сомона Улэгей, 2,5 км северо-западнее горы Дунд Толгой (в. о. 2652, 0) (рис. 9).

Этот разрез по своему составу, объему и комплексу ископаемой фауны соответствует цаганнурскому горизонту, установленному Р.Е. Алексеевой (1993) в северной части Дельюно-Юстыдского прогиба. Учитывая более полный объем, хорошую обнаженность и доступность, этот разрез принимается в качестве гипостратотипа цаганнурского горизонта. Здесь взаимоотношения с нижележащими образованиями тектонические. В разрезе наблюдались следующие разновидности пород (снизу вверх):

Мощность, м

- Грубое переслаивание средне-мелкозернистых песчаников алевропесчаников, аргиллитов и кремнистых песчаников с прослойями (до 30–40%) черных алевролитов, из которых определены растительные остатки: *Hyenia sphaenophylloides*, *Calamophyton bicephalum*, *Bartandeina pectinata*, *Pseudosporochnus nodosus*, *Rellimia* sp 360
- Песчаники крупно-среднезернистые, темно-серые, косослоистые с прослойями (0,5–2,0 м) черных алевролитов 160
- Тонкослоистые мелкозернистые песчаники, алевропесчаники, аргиллиты, алевролиты с линзовидной, пятнисто-полосчатой текстурой. Породы серого, темно-серого цвета. В алевролитах найдена флора *Pseudosporochnus nodosus*, *Hyenia sphaenophylloides*, *Bartandeina pectinata* 410
- Тонкое неравномерное переслаивание темно-серых, мелкозернистых песчаников с черными алевролитами и темно-серыми алевропесчаниками 480
- Переслаивание грубослоистых, средне-мелкозернистых, темно-серых песчаников (7–3 м) с маломощными (0,1–10 м) прослойями черных туфоалевролитов, алевропесчаников, аргиллитов 270
- Переслаивание средне-мелкозернистых розовато-серых, реже зеленовато-серых песчаников (50%) с маломощными (0,1–1,0 м) прослойками массивных алевролитов черного, темно-серого цвета и алевропесчаников 360
- Переслаивание серых, мелкозернистых, тонкослоистых песчаников (2–3 м) серого, зеленовато-серого цвета и черных углеродсодержащих алевролитов (до 10% объема пачки) 200
- Песчаники разнозернистые, тонкослоистые, полевошпат-кварцевые, серого, розовато-серого цвета с прослойями (до 3,0 м) черных алевролитов с брахиоподами *Tsaganella plana*, *Euryspirifer pseudocheehiel*, *Spinocystia martianofi*, *Sibiratrypa lebedjanica*, *Dagnachonetes?* *dundensis*; двустворками *Nuculoidea neda*; редкими криноидиями *Hexacrinites biconcavus* 150

Общая мощность составила 2390 м

Следующий представительный разрез дундтолгойских и вышележащих зээгтийских слоев изучен на участке Хатугольский, по ручью Цаган Сала, правого притока реки Хаттугийн, в 2,3 км юго-юго-западнее горы Цаган Сала (в.о. 3115 м). Здесь взаимоотношения с подстилающими образованиями – кошкарлыгскими слоями – согласные. Вверх по ручью наблюдается следующий состав дундтолгойских слоев (снизу вверх):

Мощность, м

- Алевролиты, алевропесчаники, с линзовидной, пятнистой текстурой. Породы темно-серого, до черного цвета. В алевролитах найдена флора: *Aneurophyton germanicum* 140
- Песчаники линзовидно-слоистые разнозернистые серого, темно-серого цвета с прослойями (0,3–0,5 м) алевролитов черного цвета с флорой *Aneurophyton geranicum*, *Thamnochladites vanopdenbaschii*, *Hyenia* sp. 100

Рис. 9. Расположение местонахождений фауны и флоры южнее сомона Улэгей, в 2,5 км северо-западнее горы Дунд-Толгой; хатугольская свита, дундтолгойские слои

- 1 – мелкозернистые песчаники; 2 – разнозернистые песчаники; 3 – алевролиты; 4 – алевропесчаники; 5 – кремнистые алевролиты; 6 – черносланцевые алевролиты; 7 – туфоалевролиты; 8 – находки:
а) – флоры, б) – фауны

Мощность, м

3. Алевролиты массивные темно-серого, черного цветов с флорой *Rellimia sp.*, *Svalbardia polymorpha*, *Hyenia sphaenophylloides*.....25
4. Тонкое переслаивание темно-серых, черных алевролитов и мелкозернистых песчаников, серого цвета.....50
5. Переслаивание песчаников разнозернистых серого, темно-серого цвета, со слабым зеленоватым оттенком и черных алевролитов и алевропесчаников в алевролитах отпечатки флоры *Pseudosporochnus nodosus*.....100
6. Неравномерное переслаивание песчаников, алевропесчаников и алевролитов (как 3:2:1). Породы темно-серого, зеленовато-серого и черного цвета в алевролитах отпечатки флоры *Pseudosporochnus nodosus*.....240
7. Алевролиты черные, темно-серые, с частыми прослоями разнозернистых песчаников серого, темно-серого цветов в алевролитах флора *Thamnochladites vanopdenbaschii*, *Ginkgophytopsis belgica*, *Pseudosporochnus nodosus*.....60
8. Песчаники мелко-среднезернистые массивные, розово-серого цвета, по трещинам обожженные, пиритизированные.....5
9. Песчаники серого, темно-серого цвета массивные, пиритизированные.....65
10. Песчаники мелко-среднезернистые, тонкослоистые, розово-серые, зеленовато-серые, с прослойками (до 1,0 м) темно-серых, с зеленоватым оттенком, алевропесчаников и черных алевролитов, в алевролитах флора *Thamnochladites vanopdenbaschii*, *Ginkgophytopsis belgica*, *Pseudosporochnus nodosus*.....60
11. Песчаники мелкозернистые тонкослоистые с прослойками черных алевролитов с флорой *Hyenia sphaenophylloides*.....130
12. Песчаники серые, светло-серые, кварц-полевошпатовые с брахиоподами *Spinocystia martianofii*40

Общая мощность дундтолгойских слоев 1015 м.

На вышеописанные в слое 12 отложения, согласно залегают зээгтийские слои:

13. Песчаники полевошпат-кварцевые, среднезернистые серого, зеленовато-серого цвета, с прослойками (0,1–0,2 см) уплощенных "плавающих" алевролитовых галек.....40
14. Алевролиты серые, темно-серые до черного цвета с прослойками известковистых алевропесчаников с брахиоподами: *Cariniferella ultiniae*, *Schizophoria* (*Schizophoria*) sp., *Leptagonia vladimiri*, *Caucasiproductus dissimilis*, *Cyrtospirifer schelonicus*, C.sp.10
15. Песчаники разнозернистые серого, темно-серого цвета, со слабым зеленоватым оттенком200

Общая мощность зээгтийских слоев 250 м.

Общая мощность разреза 1265 м.

Схема корреляции изученных разрезов участка "Хатугольский" приведена на рис. 10.

ВЕРХНИЙ ДЕВОН

В верхнем девоне Делюно-Юстыдского прогиба установлены отложения франского и фаменского ярусов. Наиболее широко распространены образования франского яруса, разрезы которого были изучены на Цаганнурском участке. Верхнедевонские образования подразделяются на зээгтийские слои в составе хатугольской свиты и цагансаласскую свиту. Толща, охарактеризованная фаменской фауной, на Талнурском участке выделена как талнурская свита.

Зээгтийские слои (нижний фран) согласно залегают на нижележащих дундтолгийских слоях и представлены в основном песчаниками светло-серыми, кварц-плагиоклазовыми (30–70% объема толщи). В нижней части слоев отмечаются прослои внутриинформационных конгломератов, для средней характерно присутствие глинисто-кремнистых алевролитов, известковистых алевролитов, алевропесчаников, песчаников темно-серого цвета. Верхняя часть представлена грубым переслаиванием песчаников, алевролитов, туфоалевролитов от темного до черного цветов. Мощность слоев более 1000 м.

Для этих отложений характерен следующий комплекс: брахиоподы *Carinifirella ultiniae* Aleks., *Schizophoria* (*Schizophoria*) sp., *Leptagonia vladimiri* Olen., *Dagnachonetes?* *dundensis* Olen., *Caucasiproductus dissimilis* Olen., *Productella* sp., *Sibiratrypa vassinensis* Rzon., *Euryspirifer pseudocheehiel* (Hou Hun-fe), *Mucrospirifer mesacostalis* (Hall), *M. mesacostalis tricostatus* (Rzon.), *Cyrtospirifer schelonicus* Nal, C.sp., *Retzia tschereschewi* Peetz., *R. amoena* Olen., *Athyris concentrica* (Buch); двустворки *Leptodesma*

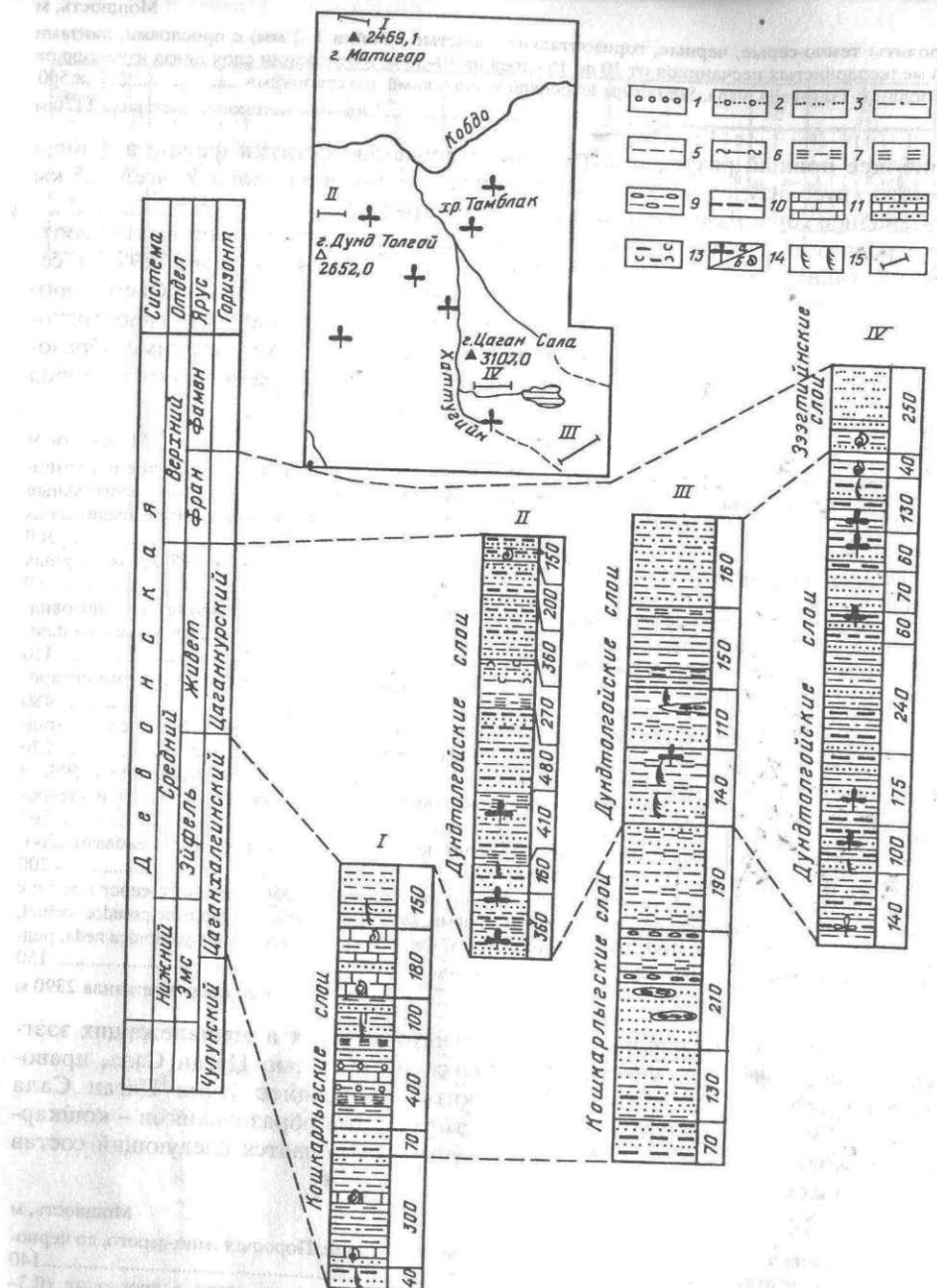


Рис. 10. Схема корреляции девонских разрезов участка "Хатугольский"

Разрезы: I – район горы Матигар, II – 2,5 км северо-западнее горы Дунд Толгои, III – верховья реки Хаттугай, IV – правый приток реки Хаттугай, в 2,3 км юго-западнее горы Цаган Сала
 1 – крупнозернистые песчаники; 2 – разнозернистые песчаники; 3 – мелкозернистые песчаники; 4 – алевропесчаники; 5 – алевролиты; 6 – мергелистые алевролиты; 7 – алевритистые аргиллиты; 8 – кремни, кремнистые алевролиты; 9 – конкреционные алевролиты; 10 – черносланцевые алевролиты; 11 – известняки; 12 – известковистые песчаники; 13 – туфоалевролиты; 14 – находки: а) – флоры, б) – фауны; 15 – слоистость; 16 – разрезы изученные в работе

(*Leptodesma*) *spinigerum* (Conr.), *L.* (*Lept.*) sp., *L.* (*Leiopeteria*)? sp., *Cypricardella* cf. *gregaria* (Hall et Whit.), *Sphenotus* cf. *tiogensis* McAlester, *Ptychopteria* (*Ptychopteria*) proto Hall, *P.* (*Actinopteria*) sp., *Parallelodon delitescens* (Beush.), *Paracyclas* cf. *rectangularis* Sandb., *Nuculoidea* sp.; криноиды *Hexacrinites biconcavus* Yelt. et Dubat.; *Formosocrinus pentamerus* (Yelt. Et Dubat). В составе этого комплекса содержатся элементы верхненживетской и франской фауны, среди них брахиоподы *Carinifirella ulitinae* Aleks., *Mucrospirifer mesacostalis* (Hall), *M. mesacostalis tricostatus* (Rzon.), *Cyrtospirifer schelonicus* Nal., *Euryspirifer pseudocheehiel* (Hou Hun -fe), *Retzia tschernyschewi* Peetz, *Athyris concentrica* (Buch); двустворки *Leptodesma* (*Leptodesma*) *spinigerum* (Conr.), *Cypricardella* cf. *gregaria* (Hall et Whit.), *Sphenotus* cf. *tiogensis* Mc Al. *Ptychopteria* (*Ptychopteria*) proto Hall, *Parallelodon delitescens* (Beush.), *Paracyclas* cf. *rectangularis* Sandb.

Среди перечисленных форм широко распространены и характерны для животского яруса (алчедатский горизонт и его эквиваленты) смежных областей брахиоподы *Eur. pseudocheehiel*, *M. mesacostalis*. Вместе с ними найдены виды, известные только из франа. Так, *M. mesacostalis tricostatus* распространена в изылинском горизонте Кузбасса, а *P. (Ptych.) proto* в слоях Чемунг Северной Америки. Кроме этого, в вышеописанном разрезе в районе горы Цаган Сала в нижней части зээгтийских слоев найден комплекс франских брахиопод, в котором отсутствуют типичные для живота виды брахиопод. В составе этого комплекса: *Carinifirella ulitinae*, *Cyrtospirifer schelonicus*, *C. sp.*, *Retzia tschernyschewi*. Среди них представители *Cyrtospirifer* распространены повсеместно только с уровня франского века, а *C. ulitinae* описан из франского яруса Монголии (Алексеева, 1993), *R. tschernyschewi* – в Кузнецком бассейне известен из нижнефранских отложений. На основании изложенного, зээгтийские слои отнесены к нижнему франу.

Помимо ранее описанного разреза зээгтийских слоев, ниже дано описание местонахождений, в которых собраны комплексы фауны, содержащие элементы животской и франской фаун.

В районе хребта Зээгтий Хяр (юго-юго-западнее сомона Цаган нур), в 5 км северо-западнее перевала Шинэ Даваа; хугулольская свита, зээгтийские слои нур), в 5 км северо-западнее перевала Шинэ Даваа; хугулольская свита, зээгтийские слои. Эта толща сложена ритмично пересаливающимися алевролитами, аргиллитами темно-серого цвета (0,1–10 м) с прослоями (1–2 м) известковистых песчаников, мелкозернистых песчаников (0,2–15 м), песчаников серого, болотно-зеленого цвета (10–15 м). Мощность толщи составляет от 800 до 1100 м (рис. 11). Здесь найдены: криноиды *Formosocrinus pentamerus*, *Hexacrinites biconcavus*; двустворчатые моллюски *Ptychopteria* (*Ptych.*) *proto*, *P. (Actinopteria)* sp., *Parallelodon delitescens*, *Paracyclas* cf. *rectangularis*, *Nuculoidea* sp., *Leptodesma* (*Lept.*) sp., *L.* (*Leiopeteria*)? sp., в алевролитах отмечаются отпечатки флоры.

Из этих же отложений севернее сомона Улэгей, в районе горы Хуйтен Сарвал определены: брахиоподы *Productella* sp., *Mucrospirifer mesacostalis*, *M. mesacostalis tricostatus*, *Euryspirifer pseudocheehiel*; двустворки *Leptodesma* (*Leptodesma*) *spinigerum*, *Cypricardella* cf. *gregaria*, *Sphenotus* cf. *tiogensis*.

В районе горы Кошкарлыг в тектоническом блоке из песчано-алевролитовой толщи (600 м) зеленовато-серого и серого цвета определены брахиоподы *Sibiratypa vassinensis*, *Mucrospirifer mesacostalis*, *Mucrospirifer* sp., *Cyrtospirifer schelonicus*.

В устье распадка Жаргын ам, примыкающего к урочищу Шара Гоби; 13,2 км северо-восточнее сомона Цаган Нур, зээгтийские слои (рис. 12) представлены (снизу вверх):

	Мощность, м
1. Пестроцветные, грубослоистые туфы, туфоконгломераты, туфогравелиты, туфопесчаники.....	100
2. Темно-серые алевролиты, алевропесчаники с прослоями мелкозернистых песчаников, в алевролитах отпечатки флоры	75
3. Мелкозернистые песчаники, алевропесчаники зеленовато-серого цвета с горизонтами массивных песчаников, в алевролитах мшанки, криноиды	250

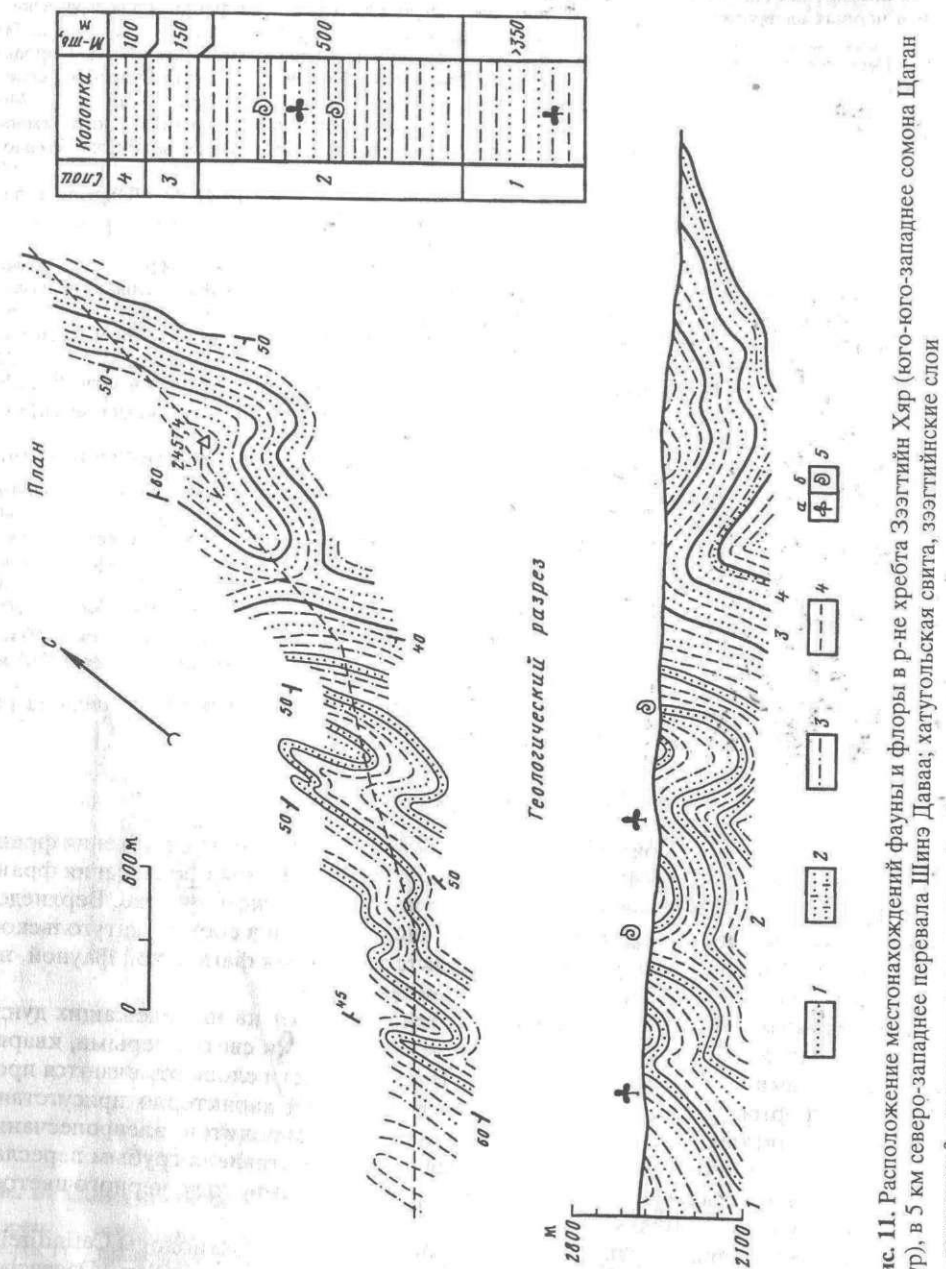


Рис. 11. Расположение местонахождений фауны и флоры в р-не хребта Зээгтий Хяр (юго-юго-западнее сомона Цаган нур), в 5 км северо-западнее перевала Шинэ Даваа; хугулольская свита, зээгтийские слои
нур), в 5 км северо-западнее перевала Шинэ Даваа; хугулольская свита, зээгтийские слои
нур), в 5 км северо-западнее перевала Шинэ Даваа; хугулольская свита, зээгтийские слои

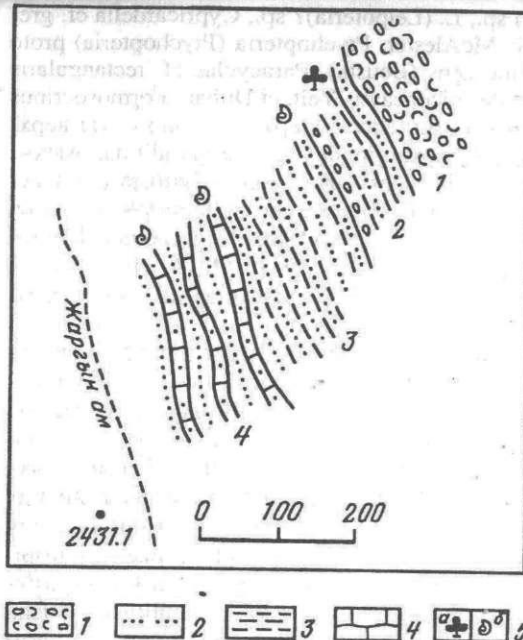
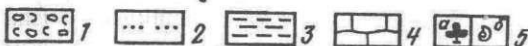


Рис. 12. Расположение местонахождений фауны и флоры в р-не устья распадка Жаргын ам, примыкающего к урочищу Шара гоби; 13,2 км северо-восточнее сомона Цаган нур; хатугольская свита, зээгтийские слои

1 – туфоконгломераты; 2 – мелкозернистые песчаники; 3 – алевролиты; 4 – известняки; 5 – находки: а) – флоры, б) – фауны



4. Переслаивание темно-серых алевролитов, мощных кварцевых буровато-серых песчаников с брахиоподами *Productella* sp., *Sibiratrypa vassiniensis*, *Euryspirifer pseudocheeziel*, *Mucrospirifer mesacostalis*, *Retzia tschernyschewi*, *R. amoena*, *Athyris concentrica*, редкими трилобитами 140
Мощность – 565 м

Цагансаласская свита (нижний фран) включает мощную песчанистую толщу, которая согласно залегает на подстилающих зээгтийских слоях. Геологами выделяются две подсвиты – нижняя и верхняя (Бомбороо и др., 1983; Демин и др., 1990). Нижнецагансаласская подсвита сложена в основном алевролитами (до 70%), тонкослоистыми, с зеленоватым оттенком, с прослойями песчаников, мелкозернистых, кварц-плагиоклазовых, темно-серых с единичными прослойками светло-серых, существенно кварцевых песчаников. В верхней части подсвиты развиты зеленовато-серые алевролиты, алевропесчаники и песчаники. Мощность нижней подсвиты 500–600 м.

Нижняя граница верхней подсвиты проводится по подошве горизонта светло-серых, кварц-плагиоклазовых мелкозернистых песчаников (50 м). В целом для верхней подсвиты характерно переслаивание (0,5–2,0 м) темно-серых алевролитов, песчаников, алевропесчаников и песчаников. В верхней подсвите мощностью 1000–2500 м ископаемые остатки не найдены.

В нижней подсвите найдена следующая фауна – брахиоподы *Eoschuchertella chemungensis* (Congr.), *Douvillinooides singularis* Olen., *Eleutherokomma rhukensis* (Brice), *Cyrtospirifer schelonicus* Nal., *Cyrtospirifer verneuili echinosus* Ljasch., *Elytha fimbriata* (Congr.); двустворки *Prothyrid cf. lanceolata* Hall, *Vertumnia cf. reversa* (Hall), *Pteronites* sp., *Pterinea* sp. По присутствию брахиопод *E. rhukensis*, *C. schelonicus*, *C. verneuili echinosus*, *Elytha fimbriata* цагансаласская свита отнесена к франскому ярусу.

Наиболее полный разрез цагансаласской свиты, охарактеризованный фауной, расположен на Цаганнурском участке в устье правого борта распадка Урт Зуух, в 4,2 км севернее сомона Цаган нур (рис. 13). Здесь свита залегает согласно на подстилающих толщах и представлена следующими породами (снизу вверх):

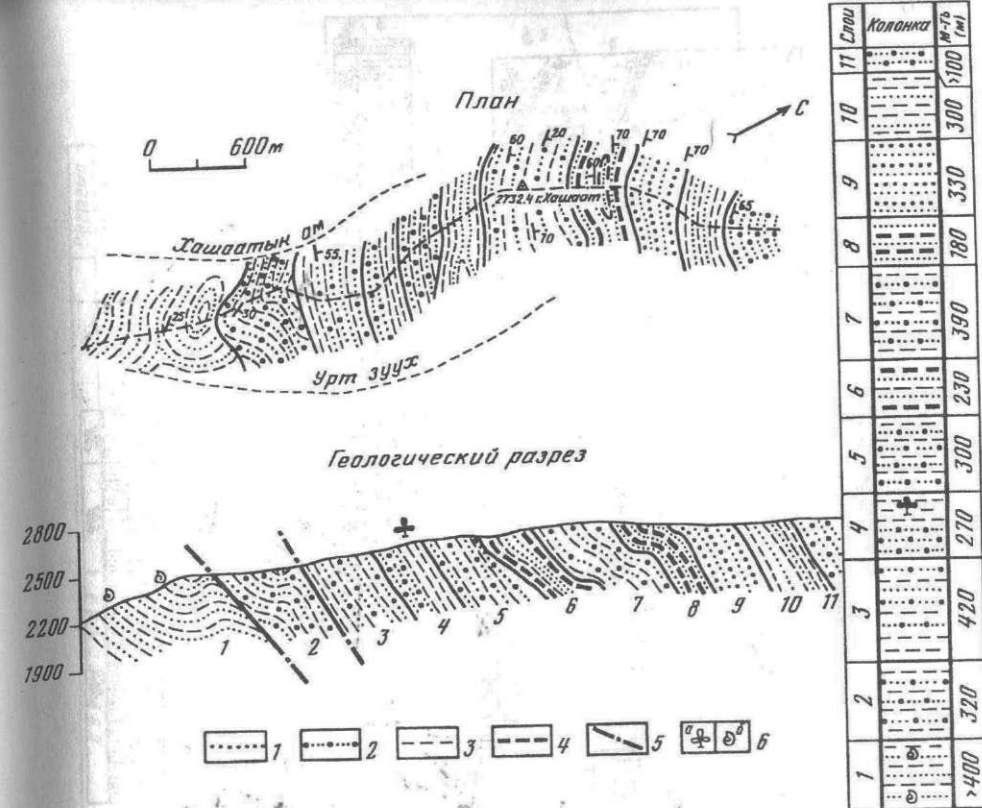


Рис. 13. Расположение местонахождений фауны и флоры в р-не распадка Урт Зуух (севернее сомона Цаган нур; цагансаласская свита)

1 – песчаники; 2 – разнозернистые песчаники; 3 – алевролиты; 4 – черносланцевые алевролиты; 5 – структурные разломы; 6 – находки: а) – флоры, б) – фауны

	Мощность, м
1. Переслаивание серых мелкозернистых песчаников и темно-серых алевролитов. Горизонты зеленовато-серых мелко зернистых песчаников (мощность 0,1–4,0 м) с обилием брахиопод <i>Douvillinooides singularis</i> , <i>Eoschuchertella chemungensis</i> , <i>Eleutherokomma rhukensis</i> , <i>Cyrtospirifer schelonicus</i> , <i>Cyrtospirifer verneuili echinosus</i> , <i>Elytha fimbriata</i> , двустворки <i>Prothyrid cf. lanceolata</i> , <i>Vertumnia cf. reversa</i> , <i>Pteronites</i> sp., <i>Pterinea</i> sp., криноидей	400
2. Зеленовато-серые, мелко-среднезернистые, песчаники с редкими горизонтами зеленовато-серых алевролитов.....	320
3. Переслаивание мелко-среднезернистых буровато-зеленых песчаников и зеленовато-серых алевролитов. В нижней части разреза количество алевролитов увеличивается	420
4. Мелко-среднезернистые, зеленовато-серые песчаники. В верхней части слоя горизонт алевролитов с обломками флоры	270
5. Чередование мелко-среднезернистых песчаников, зеленовато-серых песчаников (мощность 5–10 м) и серо-зеленых алевролитов (мощность 0,3–3 м)	300
6. Песчаники серые, среднезернистые с прослойями темно-серых до черных алевролитов (мощность 0,2–5 м)	230
7. Грубо переслаивание среднезернистых табачного цвета песчаников зеленовато-серых алевролитов (мощность слоев 2–20 м)	390
8. Тонкое (0,5–5 мм) переслаивание мелкозернистых песчаников, серых, темно-серых до черных алевролитов	180
9. Переслаивание табачно-серых мелкозернистых песчаников (70%) и среднезернистых зеленоватых песчаников	330
10. Алевролиты серо-зеленые с редкими прослойями (0,05–0,5 м) среднезернистых зеленоватых песчаников	300
11. Песчаники мелко-среднезернистые, серые, зеленовато-серые	100
Мощность составила 3240 м.	

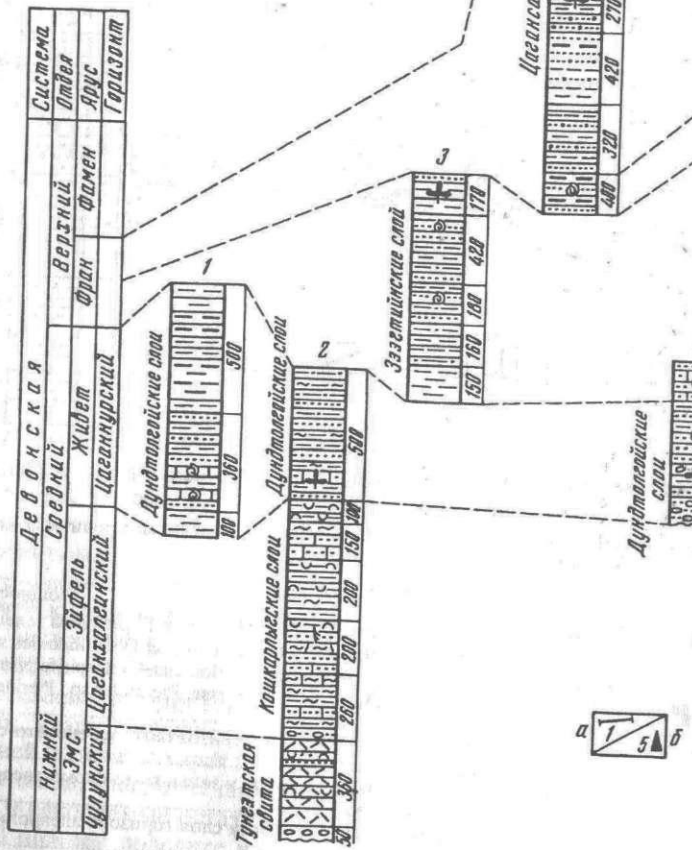
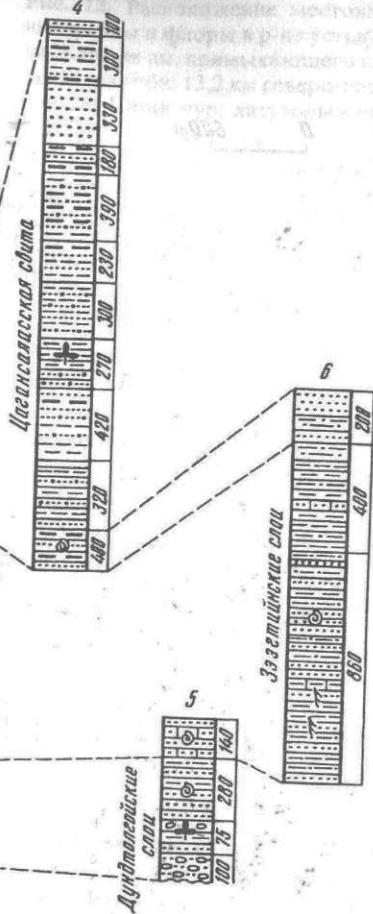


Рис. 14. Схема корреляции девонских разрезов участка “Цаганнурский”

Разрезы: 1 – левобережье р. Хайдайин, р-н горы Хар Толгой; 2 – северо-западнее сомона Цаган нур; 3 – район хребта Зээгтийн Хяр; 4 – устье распадка Урт Зуух; 5 – урочище Шара гоби; 6 – р-н перевала Оботий Даваа
а) изученные разрезы; б) разрезы известные по литературным данным
Условные обозначения см. на рис. 6, 10



а 1 5 б

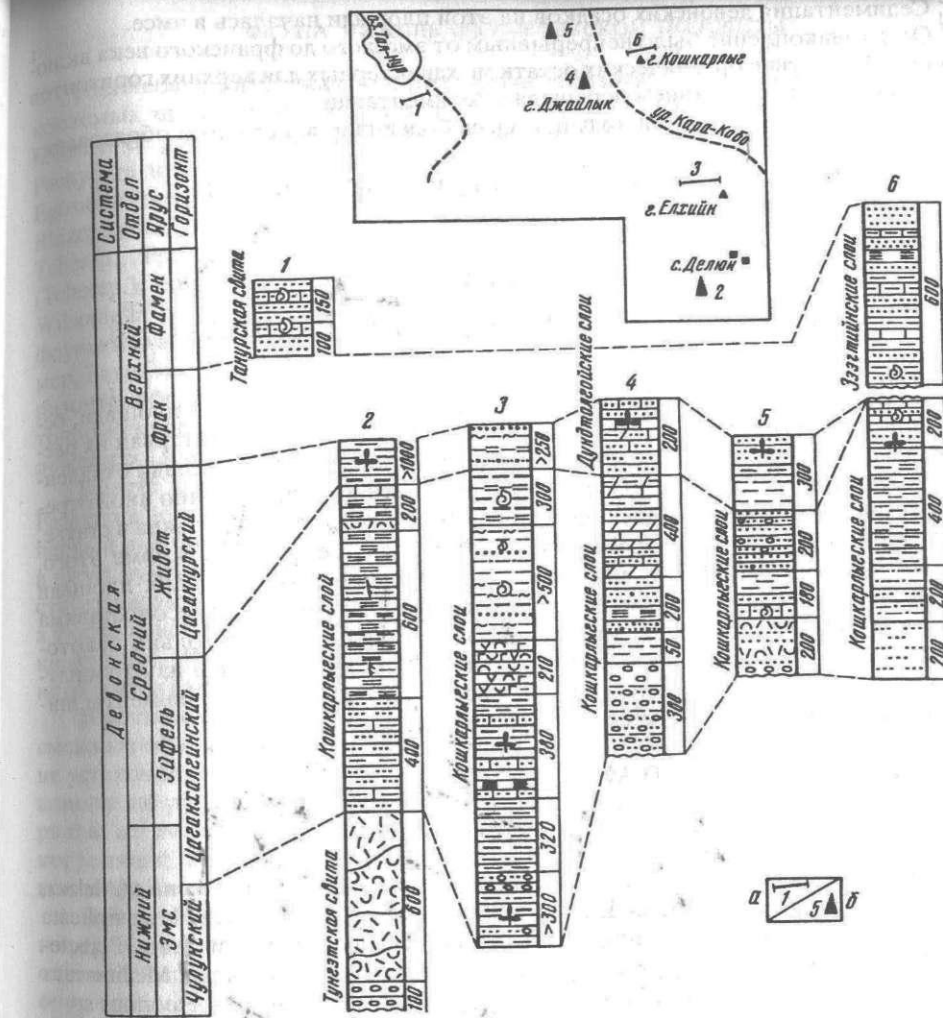


Рис. 15. Схема корреляции девонских разрезов участка “Талнурский”

Разрезы: 1 – южнее оз. Тал Нур; 2 – южнее сомона Делюн; 3 – р-н перевала Бор Шовгор; 4 – гора Джайлых; 5 – перевал Хар Гобий Даваа; 6 – р-н горы Кошкарлыг
а) изученные разрезы; б) разрезы известные по литературным данным
Условные обозначения см. на рис. 6, 10

Талнурская свита (фамен) распространена в пределах Талнурской мульды (южнее озера Тал нур) (Демин и др., 1990 г.). Взаимоотношения отложений свиты с нижне- и вышележащими толщами не наблюдались. В ее составе песчаники с прослойями песчанистых известняков и гравелистых песчаников. Мощность свиты 250 м. Здесь найдены брахиоподы *Cyrtospirifer tschernyschewi* Khalf., *C. aff. procumbens* Simor.; двустворчатые моллюски *Nuculoidea peetzi* (Khalf.), *Sanguinolites? contractus* (Hall), *Eoschizodus? chemungensis* (Conr.), *Allorisma* sp. Все названные формы известны из верхнедевонских отложений. Среди них *C. tschernyschewi* Khalf. и *Nuculoidea peetzi* (Khalf.) характерны для фамена смежных с Монголией областей. На основании сказанного талнурская свита отнесена к нижней части фаменского яруса.

В заключение отмечу главные черты строения девонских отложений в Дельно-Юстыдском прогибе.

- Седиментация девонских осадков на этой площади началась в эмсе.
 - Осадконакопление было непрерывным от эмского до франского века включительно. Отсутствие органических остатков, характерных для верхних горизонтов франа, может быть следствием перерыва в седиментации.
 - В отличие от Алтайской подзоны здесь более широко развиты образования животского и франского ярусов.
- Схемы корреляции изученных разрезов приведены на рис. 14, 15.

Глава 3 БИОСТРАТИГРАФИЧЕСКИЙ АНАЛИЗ

При анализе органических остатков, найденных на исследуемой площади, основное внимание уделялось тем группам, для которых установлен интервал их распространения на территории Монголии и смежных областей. На площади отдаленных регионов бентосные организмы могут характеризовать совершенно иной отрезок геологического времени. Практические примеры этого рассматривала в статье, посвященной вопросам палеозоогеографии, Р.Е. Алексеева (1992). Кроме этого, девонская бентосная фауна на внутреннем шельфе морей, занимавших площади Монголо-Охотского пояса, характеризуется высоким эндемизмом и несопоставима по составу с фауной других областей. Исключение представляют только некоторые уровни монгольских разрезов. Так, в составе лохковской фауны из карбонатных прослоев и линз в терригенных фациях встречаются отдельные элементы широко распространенной Евразийской фауны.

АЛТАЙСКАЯ ПОДЗОНА

ФАУНА УЛАНХУССКОЙ СВИТЫ

В уланхусской свите найдены брахиоподы *Chalimochonetes huhunurensis* (Aleks.), *Hebetoechia vagranica mongolica* O. Erl., *Howella angustiplicata* (Kozl.), *H. laeviplicata* (Kozl.), *Eoreticularia* sp.; двустворки *Cypriocardella?* cf. *bellatula* Wil. et Breg., *Praectenodonta?* cf. *Iedaformis* (Khalf.), *Ptychopteria* (*Ptychopteria*) sp.; криноиды *Mediocrinus medius* Yelt., *Pandocrinus pandus* Stuk., *Costatocrinus bicostatus* Stuk., *Asperocrinus* sp.

Все найденные в этой свите брахиоподы, за исключением *Eoreticularia* sp., были описаны из низов хухунурской свиты в районе озера Хухуйнур (Алексеева, Коломенский и др., 1977). Низы хухунурской свиты сопоставимы с нуршотгорскими слоями опорного терригенного разреза нижнего девона на реке Ямату, относящегося к лохковскому ярусу (Алексеева и др., 1981). Спирiferиды *Howella angustiplicata* (Kozl.), *H. laeviplicata* (Kozl.) широко распространены в Евразии в отложениях, относимых к лохковскому ярусу. Из них *How. angustiplicata* встречается в Сибири совместно с индексом конодонтовой зоны *Ozarkodina remscheidensis* Z., а в Монголии с *Icriodus woschmidtii* cf. *transiens* Carls et. Z. Оба вида спирiferид известны из борцовского горизонта Подолии и его аналогов относящихся к лохковскому ярусу на Урале и Новой Земле. Криноиды – *Mediocrinus medius*, *Pandocrinus pandus*, *Costatocrinus bicostatus*, известны из айнасуйского и кокбайтальского горизонтов Казахстана, отвечающих лохкову (Иванова и др., 1991).

Из двустворчатых моллюсков *Cypriocardella?* cf. *bellatula*, сходна с формами, известными в нижнедевонских отложениях Северной Америки (*Chapmen sandstone*), *A. Praectenodonta?* cf. *Iedaformis* сходен с видом из кувашских слоев (эмс) нижнего девона Горного Алтая, представители рода *Ptychopteria* известны повсеместно в интервале силур – нижняя пермь.

На основании изложенного уланхусская свита относится к лохковскому ярусу.

ФАУНА НИЖНЕБАРДАМГОЛЬСКОЙ ПОДСВИТЫ

Нижнебардамгольская подсвита охарактеризована следующим комплексом искоапаемых организмов: табуляты *Favosites cf. goldfussi* Orb., *F. shengi* Lin., *Pachyfavosites cf. preplacenta* Dubat, *P. cf. karcevae* Dubat., *Tamnopora compacta minima* Shark., *Pachypora tortuosa* Schar., *P. tomchumyshensis* Miron., *Dendropora ganinensis* Miron., *Egosiella lecomptei* Miron.; ругозы *Tryplasma hercynica* (Roem.), *T. aequabilis* Lonsd., *Rhizophyllum enorme* Ether., *Chlamydophyllum obscurum* Pocta, *Lyrielsasma ariadnae* Tcherep., *Pseudochonophyllum pseudohelianthoides* (Sher.), *Martinophyllum virgatum* (Tcherep.); брахиоподы *Leptagonia orientalis* Aleks., *Leptostratiella bayrimica* Aleks., *Wilsoniella prima* Khalf., *W. tchernyshevae* O. Erl., *Tastaria* sp. Среди перечисленной фауны из табулят преобладают формы с широким временным интервалом. Например, *Favosites goldfussi* встречается в Алтае-Саянской области в салаиркинском горизонте, обилен в шандинском и мамонтовском горизонтах; на Урале, на его восточном склоне, известен в слоях с *F. regularissimus*, в Арденнах – в эйфельских отложениях (Дубатолов, Спасский, 1964; Дубатолов, 1982).

Вместе с широко распространенными во времени табулятами встречаются *Pachypora tortuosa*, *Egosiella lecomptei* с узким интервалом существования. Из них первый вид широко распространен в карбонатных отложениях Южной Монголии, в низах чулунского горизонта, лоне *U. tsakhirinicus*, нижняя часть которой соответствует низам эмского яруса, конодонтовой зоне *dehiscens* (Алексеева и др., 1995), а также известен в Казахстане в сарджальском и казахском горизонтах эмса (Сенкевич и др., 1991). Второй вид описан из киреевского и кувашского горизонтов Горного Алтая (эмс).

В составе ругоз преобладают формы, широко распространенные во времени в смежных областях. Их стратиграфическое распространение на площади Монголии не установлено. По этому поводу было бы уместным привести мнение таких специалистов по ругозам, как В.А. Оливер и А.Е. Преддер (1982, с. 114): “Девонские кораллы не имеют существенного значения для планетарных или межрегиональных корреляций, но важны для корреляции в пределах отдельных бассейнов осадконакопления или биогеографической провинции”.

Все названные виды брахиопод известны из терригенных отложений чулунского горизонта и характерны для его нижней лоны *M. kailensis*, которая соответствует лоне *U. tsakhirinicus* в карбонатных отложениях (Алексеева, 1993). Среди брахиопод только *Wilsoniella prima* появляется на более раннем уровне – в верхах пражского яруса Монголии. За пределами Монголии этот вид известен в киреевских слоях (нижний эмс) Горного Алтая.

На основании приведенного палеонтологического материала нижнебардамгольская подсвита относится к нижней половине эмса.

ФАУНА И ФЛОРА ВЕРХНЕБАРДАМГОЛЬСКОЙ ПОДСВИТЫ

В верхнебардамгольской подсвите найдены табуляты *Favosites ex gr. goldfussi* Orb., *Pachyfavosites polymorphus* (Gold.), *Squarefovofavosites ex gr. obliquespinus* (Tchern.), *Caliapora cf. elegans* Yanet., *C. ex gr. tenuisquamata* Dubat., *Egosiella ex gr. orbiculata* Dubat., *Coenites cf. bachatensis* Dubat., *Heliolites cf. vulgaris* Tchern.; ругозы *Tryplasma hercynicum* (Roem.), *T. aequabile* Lonsd., *T. ex gr. devonianum* Soshk., *Chlamydophyllum obscurum* Pocta, *Lyrielsasma* sp., *Barrandeophyllum perplexum* Pocta, *Syringaxon salairica* Zhelt., *Gurievskilla cylindrica* Zhelt., *Taimyrophyllum carinatum* Bulv., *Pseudochonophyllum pseudohelianthoides* (Scherz.), *Xystriphyllum ex gr. uralicum* (Sosh.); брахиоподы *Schizophoria* (*Schizophoria*) sp., *Proteoleptostrophia explanata* (Sow.), *Eucharitina dobrovii* O. Erl., *Arella barunica* O. Erl., *Atrypa* (*Atrypa*) sp.I, *Desquamatia* (*Desquamatia*) *minussinensis* Aleks., *Cyrtina* sp.; мишанки *Fenestella mongolica* Kop.; трилобиты *Proetus ex gr. myops* Batt., *Neoprobolium ex gr. altaicum* (Khalf.), *Phacops cf. sub-*

cricostata Khalf.; растительные остатки *Caudophyton aquatilis* S. St., *Barrandeinopsis beliakovi* Krysh, *Hostimella hostimensis* P. et B.

Ниже при анализе стратиграфического распространения табулят и ругоз учитывается, что ряд монгольских форм были определены только как сходные с называемыми видами из-за ограниченности материала. Из табулят формы, сходные с *Favosites goldfussi*, *Caliapora elegans* распространены в чулунском и цаганхалгинском горизонтах, многочисленные *Squameofavosites obliquospinus*, с которым сходны монгольские табуляты на Салаире, известны в салаиркинском, шандинском и мамонтовском горизонтах (верхний эмс–эйфель); *Caliapora elegans*, вместе с *C. tenuisquamata* часто встречается в шандинском горизонте (верхний эмс–эйфель), а на восточном склоне Урала находится в слоях с *Conchidiella* (Дубатолов, 1964). *Egosiella orbiculata* в Казахстане известна из казахского горизонта (верхний эмс) (Сенкевич и др., 1991), *Heliolites vulgaris* характеризует шандинский и мамонтовский горизонты, а единичные находки известны из сафоновского горизонта (живет) Алтае-Саянской области (Дубатолов, Сласский, 1964; Дубатолов 1972).

Из ругоз широкое вертикальное распространение в Алтае-Саянской области имеет вид *Tryplasma aequabile*, известный от верхов томчумышского до мамонтовского горизонта (лохков–эйфель), *Tryplasma devonianum* с основания салаиркинского до мамонтовского (эмс–эйфель). *Pseudochonetophyllum pseudohelianthoides*, широко распространенный вид, известен из малобачатского, якушинского, вижайского и кунжакского горизонтов (прага) Сибири, Урала, Тянь-Шаня. На этом стратиграфическом уровне известен также в разрезах девона Баррандиена (конепруссий известник). На Салаире этот вид доживал до мамонтовского времени, Горном Алтае – матвеевского (эйфель). *Tryplasma hercynicum*, *Syringaxon salairica*, *Rhizophyllum enorme*, *Gurievskia cylindrica*, указаны из более узких стратиграфических интервалов. Первый соответствует крековскому горизонту (прага), второй и четвертый – малобачатскому (прага), салаиркинскому и беловскому горизонтам (эмс), третий – крековскому и малобачатскому горизонтам (прага) Салаира, якушинским слоям (прага) Горного Алтая (Ржонсицкая, 1968, 1973; Елкин и др., 1982). *Xistriphyllum uralicum* и *Barrandeophyllum pereplexum* известны из более высокого стратиграфического интервала: первый из эйфельских отложений, второй в Чехословакии описан из среднего девона (Pocta, 1902), на Салаире известен в шандинском горизонте (верхний эмс–эйфель), крюковском горизонте (низы эйфеля) Рудного Алтая и эйфеле Горного Алтая (Ивания и др., 1986).

Из брахиопод *Eucharitina dobrovi*, D. (*Desquamatia*) minussinensis характерны для верхнего эмса–эйфеля). Первый вид широко распространен в карбонатных отложениях цаганхалгинского горизонта, лоны *Leptagonia zmeinogorskiana* (верхний эмс) Монголии (Эрлангер, 1994; Алексеева и др., 1995). Второй из них встречен в таштыпской свите (в.эмс–эйфель) Минусинской котловины (Ржонсицкая, 1952; Родгин, 1983), в шаргатинских слоях (верхний эмс–эйфель) Монголии (Алексеева, 1993; Мендбаяр, 1975). Вид *Areella baronica* описан из обеих лон цаганхалгинского горизонта. Трилобиты *Neoprobolium altaicum* известны из нижнего и среднего девона, в массовом количестве, совместно с *Phacops subcricostata*, впервые были описаны Л. Халфиным (1948) из “кондратьевской формации” Горного Алтая. На Салаире аналогом этого стратиграфического интервала является шандинский горизонт (верхний эмс). *Proetus thyops* также известен из шандинских слоев, кроме того, в субхомастных известняках Баррандиена. В нижней половине разреза встречены растительные остатки *Caudophyton aquatilis*, *Barrandeinopsis beliakovi*, *Hostimella hostimensis*. Из них два первых вида появляются в Алтае-Саянской области в мамонтовском горизонте (эйфель) на Салаире (Елкин и др., 1987) и его эквивалентах в Алтае-Саянской области (Девонская система, 1973), третий известен из более низких горизонтов – салаиркинского и беловского (нижний эмс) (Елкин и др., 1987).

В целом, комплекс фауны и флоры позволяет относить верхнебардамгольскую подсвиту к верхнему эмсу–эйфелю.

ФАУНА ХОЛДЗАТИЙСКОЙ СВИТЫ

В карбонатных отложениях холдзатийской свиты найдены табуляты *Thamnopora proba acrospina* Dubat., *Thecostegites firmus* Sok. (in Dubat.); ругозы *Heliophyllum aff. aiense* Soshk., *Cystiphyloides ex gr. radugini* Ivania, *Altaiphyllum belgebasicum* Ivania; мшанки *Fistulipora dzolenensis* Moroz., *F. indigena* Moroz., *F. subsphaerica* Nekh., *Cheilotrypa copiosa* Kop., *Cyclotrypa circularis* Kop., *Sulcoretopora densa* Kop., *Lioclema zonale* Kop., *L. yakovlevi* (Schloen.), *Neotrematopora cristiformis* Kop., *Minussina spinosa* Moroz., *M. maculosa* Moroz., *Leptotrypa fragilis* Kop., *Leptotrypella uniserialis* Kop., *Eostenopora cyphotropoides* Kop., *E. nicholsoni* (Dun.), *Eridotrypella ornata* Moroz., *E. mutabilis* Kop., *E. kwangsiensis* Yang et Hu, *Kysylschinipora formosa* Kop., *Petalotrypa perforata* Nekh. и др.; брахиоподы *Schizophoria* (*Schizophoria*) *striatula* (Schlot.), *Sibiratrypa lebedianca* (Rzon.), *Leptagonia sinuata* (Rzon.), *Lept. sp.1*, *Protolepostrophia?* sp., *Spinocyrtia martianofi* (Stuck.), *S. carinata* Ehl. et Wright, *S. cedrensis* (Owen), *S. kizylschinica* Gratz., *S. mongolica* Olen., *Euryspirifer pseudocheehiel* (Hou Hunfe), *E. mesoloba* (Korov.), *Athyris concentrica* (Buch), *Retzia* sp., криноиды *Formosocrinus pentamerus* (Yelt. et Sis.).

Из табулят *T. proba acrospina* известен из лебедянских слоев Кузбасса, совместно с *Thecostegites firmus* в отложениях бейской свиты Минусинской котловины и Горном Алтае в слоях со *Spinocyrtia martianofi* (верхний живет).

Из ругоз *A. belgebasicum* является характерным для чиеловых слоев Горного Алтая (в. живет). Монгольские ругозы сходны с *Heliophyllum aiense*, известными из зоны *Stringocephalalus burthini* (живет) восточного склона Среднего и Северного Урала, сафоновского горизонта (живет) Салаира, верхнего живета Горного Алтая (Ивания, Черепнина, 1986), а также с *Cystiphyloides radugini*, который в Кузнецком бассейне характеризует мозаловско-китатскую свиту (средний живет) (Ржонсицкая, 1968).

Из мшанок представители 11 видов впервые были описаны из холдзатийской свиты. Кроме них *Fistulipora indigena*, *F. subsphaerica*, *Eostenopora nicholsoni*, *E. kwangsiensis*, *Eridotrypella ornata* и *Petalotrypa perforata* характеризуют живет Кузнецкого бассейна, Горного Алтая, Северо-Западной Монголии. *F. subsphaerica* известна, кроме того, из живет-нижнефранских отложений Южной Монголии, франского яруса Казахстана, *E. ornata* – из бейской свиты Минусинской котловины (живет) (Волкова, 1974; Копаевич, 1984).

Из брахиопод наиболее часто встречаются *E. pseudocheehiel* и *S. martianofi*, которые в Кузнецком бассейне являются индексами брахиоподовой зоны *Euryspirifer pseudocheehiel* – *Spinocyrtia martianofi*, содержащей конодонты *varcus*. Кроме Кузбасса, зона *E. pseudocheehiel* – *S. martianofi* распространена на Алтае, Минусинской котловине, Туве, Дальнем Востоке, хр. Чингиз (Казахстан), в Монголии. В Центральном Казахстане ей соответствует зона *Spinocyrtia audacula* (айдарлинский горизонт) (Ржонсицкая, 1991). *S. carinata* и *S. cedrensis* в Северной Америке описаны из формации Гамильтон (живет).

Криноиды *Formosocrinus pentamerus* в Казахстане характеризуют айдарлинский горизонт (живет) (Стукалина, 1991).

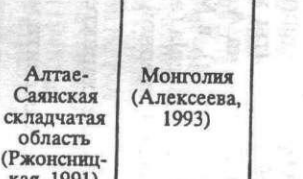
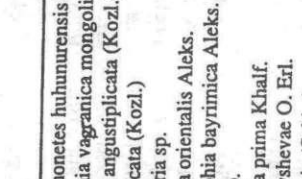
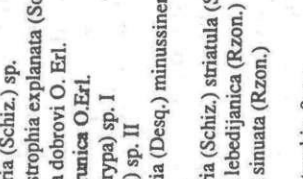
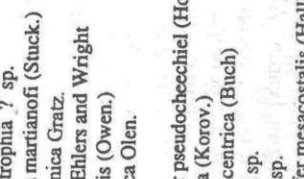
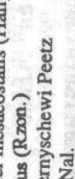
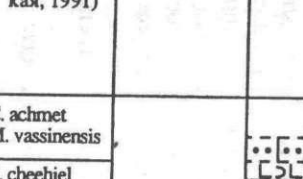
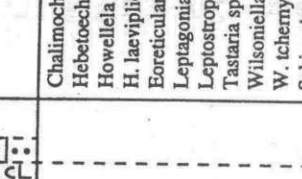
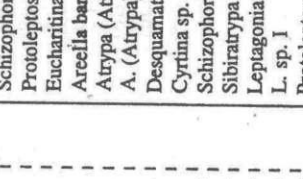
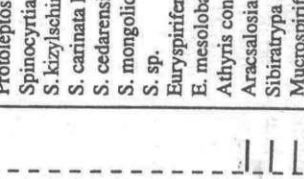
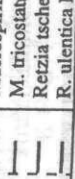
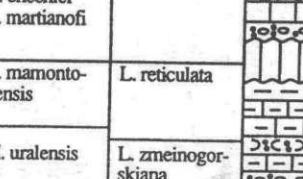
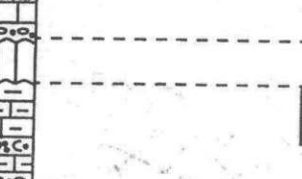
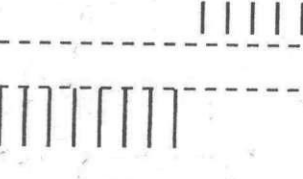
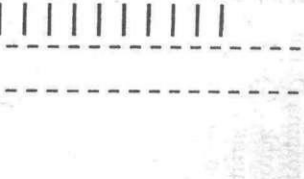
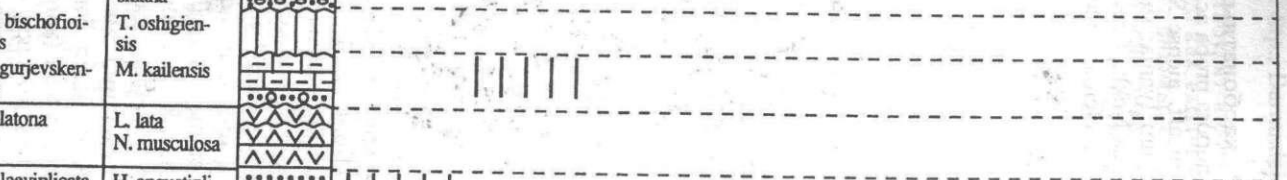
По комплексу перечисленных видов холдзатийская свита может быть отнесена к верхнему живету.

ФАУНА ВЕРХНЕГО ДЕВОНА

В Алтайской подзоне к верхнему девону отнесены слои, содержащие брахиоподы *Sibiratrypa* sp., *Mucrospirifer* (Hall), *M. tricostatus* (Rzon.), *Retzia tschernyschewi* Peetz., *R. ulentica* Nal., а также *Araksalosia* sp. Из них некоторые виды рода *Sibiratrypa*, а также *M. tricostatus* широко распространены в нижнефранских горизонтах Кузбасса. Из ретцид *R. tschernyschewi* характеризует в Кузнецком бассейне и Горном Алтае нижнефранские отложения, *R. ulentica* в Северо-Восточном Казах-

Таблица 3

Распространение брахиопод в девоне Алтайской подзоны

Д Е В О Н С К А Я				Система	
Нижний	Средний	Отдел	Ярус	Появление зональных видов конодонтов	Зональное расчленение девонских отложений по брахиоподам
Лок-ков Прага	Эмс	Эйфель	Живет	C. achmet M. vassinerensis asymmetri- cus	
				E. cheehiel S. martianofi varcus	
				L. costatus partitus	
				L. mamonto- vensis	
				L. reticulata	
				M. uralensis	
				L. zmeinogor- skiana	
				N. bischofioi- des	
				T. oshigien- sis	
				P. gurjevskeni- sis	
				M. kailensis	
				L. latona	
				L. lata N. musculosa	
				H. laeviplicata	
				H. angustipli- cata	
					

Распространение фауны и флоры в девоне Алтайской подзоны

Распространение фауны и флоры в девоне Алтайской подзоны							
Виды и разновидности		Уланхус-ская сви-та	нижне-бардам-гольская свита	верхне-бардам-гольская свита	холца-тинская свита	карбонатно-терригенная толща	
	1						
	2						
	3						
	4						
	5						
	6						
Табуляты							
<i>Favosites shengi</i> Lin.							
<i>Pachyfavosites cf. preplacenta</i> Dubat.							
<i>P. cf. karcevae</i> Dubat							
<i>Pachypora tortuosa</i> Schark.							
<i>P. tomchunmyshensis</i> Miron.							
<i>Thamnopora compacta minima</i> Stark.							
<i>Dendropora gammensis</i> Miron							
<i>Egosiella lecomptei</i> Miron.							
<i>Favosites cf. golftussi</i> Orb.							
<i>Pachyfavosites polymorphus</i> (Gold.)							
<i>Squamofavosites ex gr. obliquespinus</i> (Tchern.)							
<i>Calcarpora cf. elegans</i> Yanet.							
<i>C. ex gr. tenuisquamata</i> Dubat.							
<i>Egosiella ex gr. orbiculata</i> Dubat.							
<i>Coenites cf. bachatensis</i> Dubat.							
<i>Heliotrites cf. vulgaris</i> Tchern.							
<i>Thamnopora proba acrospina</i> Dubat.							
<i>Theccostegites firmus</i> Sok. (it Dubat.)							
Рукоязы							
<i>Lyriklasma ariadnae</i> Tcherep.							
L. sp.							
<i>Acanthophyllum heterophyllumoides</i> E. et H.							
<i>Martinophyllum migratum</i> (Tcherep.)							
<i>Tryplasma hercynica</i> (Roemer)							
<i>T. aquaculilis</i> Lonsd.							
<i>Rhizophyllum enorme</i> Ether.							
<i>Chlamydophyllum obscurum</i> Pocta							
<i>Pseudochonophyllum pseudohelianthoides</i> (Scherz.)							
<i>Lyriklasma</i> sp.							
<i>Barrandeophyllum perplexum</i> Pocta							
<i>Typlasma ex gr. devoniata</i> Soshik.							
<i>Syringaxon salairica</i> Zhelt.							
<i>Taimyrophylloides carinatum</i> Buly.							
<i>Gurievskella cylindrica</i> Zhelt.							

Таблица 4 (продолжение)

1	2	3	4	5	6
Xistriphyllum ex gr. uralicum Soshk.					
Heliophyllum aff. aiense Soshkina					
Cystiphyloides ex gr. radugini Ivania					
Altaiphylloides belgebaschicum Ivania					
Мшанки					
Fenestella mongolica Kop.					
Fistulipora dzolenensis Kop.					
F. indigena Moroz.					
F. subsphaerica Nekh.					
Cheilotrypa copiosa Kop.					
Cyclotrypa circularis Kop.					
Sulcoretepora densa Kop.					
Lioclema zonale Kop.					
L. yakovlevi (Scoen.)					
Neotrematopora cristiformis Kop.					
Minussina spinosa Moroz.					
M. maculosa Moroz.					
Leptotrypa fragilis Kop.					
Leptotrypella uniserialis Kop.					
Eostenopora cyphtotrypoides Kop.					
E. nicholsoni (Duncan)					
Eridotrypella ornata Moroz.					
E. kwangsiensis Yang and Hu					
E. mutabilis Kop.					
Kysylschinipora formosa Kop.					
Petalotrypa perforata Nekh.					
Semicoscinium hastatum Kop.					
S. altaicum Nekh.					
Hemitrypa mongolica Nekh.					
Fenestella dispandiformis Kop.					
F. pentagona Wash.					
✓ Hemitrypa mongolica Nekh.					
Fenestella pentagona Wash.					
Брахиоподы					
Chalimochonetes huhunurensis (Aleks.)					
Hebetoechia vagranica mongolica O. Erl.					
Howellella angustiplicata (Kozl.)					
H. laeviplicata (Kozl.)					
Eoreticularia sp.					
Lertagonia orientalis Aleks.					

Таблица 4 (продолжение)

6/бп. №143,

1	2	3	4	5	6
Leptostrophiella bayrimica Aleks.					
Tastaria sp.					
Wilsoniella prima Khalf.					
W. tchernyshevae O. Erl.					
Schizophoria (Schizophoria) sp.					
Protoleptostrphia explanata (Sow.)					
Eucharitina dobrovi O. Erl.					
Areella barunica O. Erl.					
Atrypa (Atrypa) sp. 1					
Atrypa (Atrypa) sp. 2					
Desquamatia (Desquamatia) minussinensis Aleks.					
Cyrtina sp.					
Schizophoria (Schiz.) striatula (Schlot.)					
Sibiratrypa lebedjanica (Rzon.)					
Leptagonia sinuata (Rzon.)					
L. sp. I					
Protoleptostrphia ? sp.					
Spinocyrtia martianofi (Stuck.)					
S. kizylschinica Gratz.					
S. carinata Ehlers et Wright					
S. cedarensis (Owen.)					
S. mongolica Olen.					
S. sp.					
Euryspirifer pseudocheeziel (Hou Hun-fe)					
E. mesolobus (Korov.)					
Athyris concentrica (Buch)					
Aracsalosia(?) sp.					
Sibiratrypa sp.					
Mucrospirifer mesacostalis (Hall)					
M. mesacostalis tricostatus (Rzon.)					
Retzia tschernyschewi Peetz					
R. ulentica Nal.					
Двусторчатые моллюски					
Cypriocardella? cf. bellatula Wil. et Breg.					
Praectenodonta? cf. ledaeformis (Khalf.)					
Ptychopteria (Ptychopteria) sp.					
Трилобиты					
Proetus ex gr. myops Barr.					
Neoprobolium ex gr. altaicum (Khalf.)					
Phacops cf. subcricostata Khalf.					

Таблица 4 (окончание)

1	2	3	4	5	6
Криоиды					
Mediocrinus medius Yelt. et Stuk.					
Pandocrinus pandus Stuk.					
Costatocrinus bicostatus Stuk.					
Asperocrinus sp.					
Formosocrinus pentamerus (Yelt. et Sis.)					
Флора					
Caudophyton aquatilis S. Stp.					
✓ Barrandeinopsis beliakovi Krysh.					
Hostimella hostimensis P. et B.					

стане описана из сульциферовых слоев (фамен), араксалозииды известны в Закавказье и Монголии из отложений верхней половины франа. Таким образом, имеющийся материал свидетельствует только о том, что на исследуемой площади существовал позднедевонский морской бассейн. Формирование осадков рассматриваемого местонахождения скорее всего происходило во франском веке.

Стратиграфическое распространение фауны и флоры в девонских отложениях Алтайской подзоны приведено в табл. 3 и 4.

ДЕЛЮНО-ЮСТЬДСКИЙ ПРОГИБ

ФАУНА И ФЛОРА КОШКАРЛЫГСКИХ СЛОЕВ

Кошкарлыгские слои, залегающие на отложениях тунгэтской свиты, содержат следующие органические остатки: брахиоподы *Isorthis* (*Tyersella*) *quadrata* Aleks., *Leptagonia orientalis* Aleks., *L. zlichovensis* Halv., *Leptaenophysis bouei* (Barr.), *Leptostraphiella bayrimica* Aleks., *Protodouvillina matigarensis* Olen., *Atrypa* (*Atrypa*) sp.; двусторочки *Ptychopteria* (*Actinopteria*) cf. *boydi* (Conr.); криоиды *Hexacrinites biconcavus* Yelt. Et Dubat., *H. tuberosus* Yelt., *Floricrinus rotundus* (Yelt. et Sis.), *F. sogdianus* sp., *Formosocrinus pentamerus* Yelt. et Dubat., *Salairokrinus humilis* Dubat., *Asperocrinus giganteus* Stuk., A.sp., флора *Aneurophyton germanicum* Kr. et Weyl., *Barsasopteris nativa* S.Stp., *Uralia camdjaleensis* Petros., *Protolpidodendron scharianum* Krejci, *Barrandeinopsis beliakovi* Krysh., *Barsassia ornata* Zal., *Herbula marinae* S.Stp., *Germanophyton psigmophylloides* (Kr. et Weyl.), *Psilophyton cf. burnetense* (Gilk.), *Dawsonites* sp., *Monbasia cf. notabilis* Senk.

Все указанные брахиоподы известны в терригенных отложениях чулунского горизонта (эмс) Монголии. Однако их полный интервал распространения установить не удалось. Причиной тому отсутствие соответствующих фаций в вышележащих отложениях как в Монголии, так и смежных областях. Из этого комплекса только *Leptaenophysis bouei* известен в Монголии в вышележащих отложениях цаганхалгинского горизонта (верхний эмс-эйфель). Из криоидей *Floricrinus floreus* и *Asperocrinus giganteus* в Казахстане охватывают прибалхашский – казахский горизонты (нижний девон). *Floricrinus sogdianus*, *Formosocrinus pentamerus* и *Floricrinus rotundus* в Казахстане известны из бесбинского горизонта (эйфель), представители рода *Amictocrinus* характеризуют имачинскую свиту Дальнего Востока, Забайкалья (верхний эмс-эйфель) и кувашские слои (верхний эмс) Горного Алтая (Дубатолова, 1971, 1977; Сенкевич и др., 1991).

Среди растительных остатков найдены виды, неизвестные ниже уровня верхнего эмса-эйфеля. Так, *Aneurophyton germanicum* впервые был описан в Рейнской области, где он появляется в конце эйфеля (брандербергские слои), а в Арденнах с конца кувена (Co2d). Этот вид вместе с *Protolpidodendron scharianum* в Алтае-Саянской области характерен для шандинского-мамонтовского времени. *P. scharianum* – является растением космополитом. В Германии, первое его появление отмечается в верхах слоев хайсфорд (эмс), однако широко известным растение становится начиная со среднего эйфеля повсеместно. *Uralia camdjaleensis* в Алтае-Саянской области известен из салаиркинского (эмс), шандинского (верхний эмс-эйфель), мамонтовского (эйфель) горизонтов, Горном Алтае – шивертинских слоев (эйфель), Минусинской впадине – таштыпского горизонта (верхний эмс-эйфель) (Ржонсицкая, 1968; Елкин и др., 1987; Гинцингер и др., 1973; Мелещенко и др., 1973). *Barsassia ornata* в Джунгаро-Балхашской области известен из такыртауского горизонта (нижний эйфель), в Алтае-Саянской области вместе с салаиркинскими эндемиками *Barsasopteris nativa*, *Barrandeinopsis beliakovi*, *Herbula marinae* характеризует только эйфель. *Psilophyton burnetense* широко известен из нижнего девона Норвегии (оз. Рёраген), Германии, Бельгии, Шотландии, в Казахстане соответствует саржальскому горизонту (нижний эмс) (Сенкевич, 1961; Сенкевич, Каплун и др., 1991), в Алтае-Саянской области – салаиркинскому-шандинскому горизонту, Горном Алтае – матвеевским слоям (верхний эмс), Минусинской котловине характеризует нижний эйфель – живет (Ржонсицкая, 1968; Мелещенко и др., 1973).

На основании состава указанного комплекса фауны и флоры кошкарлыгские слои относятся к верхнему эмсу-эйфелю.

ФАУНА И ФЛОРЫ ДУНДТОЛГОЙСКИХ СЛОЕВ

Из этих слоев найдены брахиоподы *Isorthis* (*Tyersella*) *sibirica* (Khalf.), *Schizophoria* (*Schiz.*) *striatula* (Schlot.), *Leptagonia sinuata* (Rzon.), *Tsaganella plana* Olen., *Protodouvillina matigarensis* Olen., *Sibiratrype lebedjanica* (Rzon.), *Dagnachonetes dundensis* Olen., *Productella* sp., *Spinocyrtia martianofi* (Stuk.), *Euryspirifer pseudocheehiel* (Hou Hun-fe), *E. pseudocheehiel* alatus (Stuk.), *Retzia* sp., *Athyris concentrica* (Buch); двусторочки *Nuculoidea neda* Hall; криоиды *Formosocrinus pentamerus* Yelt. et Dubat., *Hexacrinites biconcavus* Yelt. et Dubat.; трилобиты *Scutellum ex gr. costatum* Pusch.; флора *Aneurophyton germanicum* Kr. et Weyl, *Hyenia sphaenophylloides* Nath., *Svalbardia polymorpha* Hoeg, *Barrandeina pectinata* Nath., *Calamophyton bicephalum* Lecl. et Andr., *Thamnocladiites vanopdenbaschii* Stockm., *Ginkgophytopsis belgica* Stockm., *Pseudosporochnus nodosus* Lecl. et Banks. *Rellinia* sp.

Среди них брахиоподы *I.(T.) sibirica*, *S. martianofi*, *E. pseudocheehiel* известны в ташантинской свите юго-восточного Алтая и из нижней части малафеевской свиты (верхний живет) (Ржонсицкая, 1973). Эти свиты выделены в пределах Ануиско-Чуйского прогиба, расположенного на северном продолжении Дельно-Юстыдского прогиба. Комплекс брахиопод из дундтолгойских слоев сходен с таковым следующих подразделений живетского яруса: холдзатийской свиты Алтайской подзоны; алчедатского горизонта Кузбасса (Ржонсицкая 1968, 1973), бельгебашской свиты Горного Алтая (Гинцингер и др., 1973); бейского горизонта Минусинской впадины (Бельская, 1960, Мелещенко и др., 1973), нижней части ольдойского горизонта на Дальнем Востоке (Шишкина, 1990).

Из двусторочных моллюсков *N. neda* характеризует живет Северной Америки.

Из криоидей *H. biconcavus* происходит преимущественно из ольдойского горизонта (живет-низы франа) Дальнего Востока и Забайкалья (Модзалевская, 1969). *F. pentamerus* характеризует айдарлинский горизонт (живет) Казахстана (Сенкевич и др., 1991).

В терригенных отложениях рассматриваемых слоев, довольно часты находки растительных остатков, из которых транзитный *A. germanicum* известен в подсти-

лающей толще. *S. polymorpha* характеризует верхи среднего девона Шпицбергена, а с видами *T. venopdenbaschii* и *G. belgica* совместно появляется только во второй половине живота. Не противоречит этому присутствие транзитных *B. pectinata* и *P. nodosus*. Из них, последний вид известен из айдарлинского горизонта (живет в Джунгаро-Балхашской области (Сенкевич и др., 1991).

По комплексу органических остатков возраст дундтолгойских слоев определен как животский.

ФАУНА ЗЭЭГТИЙНСКИХ СЛОЕВ

В составе фауны находятся представители как верхнеживетской, так и франской фауны. Из этих слоев определены брахиоподы *Cariniferella ultinae* Aleks., *Schizophoria* (Schiz.) sp., *Leptagonia vladimiri* Olen., *Dagnachonetes?* *dundensis* Olen., *Caucasiprotectus dissimilis* Olen., *Productella* sp., *Sibiratrypa vassinenensis* Rzon., *Cyrtospirifer schelonicus* Nal., *C. sp.*, *Euryspirifer pseudocheehiel* (Hou Hun-fe), *Mucrospirifer mesacostalis* (Hall), *M. mesacostalis tricostatus* (Rzon.), *Retzia tschernyschewi* Peetz, *R. amoena* Olen., *Athyris concentrica* (Buch); двусторонки *Leptodesma* (*Leptodesma*) *spinigerum* (Conrad), *Leptodesma* (*Leptodesma*) sp., *L. (Leioptera) sp.*, *Cypriocardella cf. gregaria* (H. et Whit.), *Sphenotus* cf. *tiogensis* McAlester, *Ptychopteria* (*Ptychopteria*) *proto* Hall, *Parallelodon delitescens* (Beush.), *Paracyclas* cf. *rectangularis* Sandb., *Nuculoidea* sp.; криноидей *Hexacrinites biconcavus* Yelt. et Dubat.; *Formosocrinus pentamerus* (Yelt. et Dubat).

Среди брахиопод *E. pseudocheehiel*, *M. mesacostalis* и *A. concentrica* широко распространены в верхах живота, а *C. ultinae*, *S. vassinenensis* Rzon., *M. tricostatus*, *C. schelonicus* и другие представители циртоспириферид появляются только с уровня франа. Из них первый вид описан из франских отложений Юго-Западной Монголии (Алексеева, 1993), второй и третий виды характерные представители изылинского и вассинского горизонтов (нижний фран) Кузбасса (Ржонсницкая, 1968, 1975). Представители *Cyrtospirifer* повсеместно известны только с начала франского века. Из ретцид *R. tschernyschewi* описана из нижнефранских отложений Алтай-Саянской складчатой области. В составе двусторончих моллюсков находятся как средне-, так и верхнедевонские формы. В среднем девоне Рейнской области Германии известны *P. rectangularis* и *P. dielitescens*; верхи среднего девона и фран Северной Америки характеризуют *L. (L.) spinigerum*, *S. gregaria*, *S. tiogensis* и *P. (P.) proto*.

Из криноидей, как уже указывалось, *H. biconcavus* характеризует живот-низы франа, *F. pentamerus* в Центральном Казахстане известен из айдарлинского горизонта (живет).

По нахождению брахиопод *C. ultinae*, *C. schelonicus* и других циртоспириферид, а также *R. tschernyschewi* зээгтийнские слои отнесены к франу. Фаунистический состав этих слоев весьма сходен с таковым изылинского горизонта Алтай-Саянской складчатой области, по основанию которого проводится граница между нижним и средним девоном (Постановления межведомственного...1991; Ржонсница, 1991). В исследуемом районе этому уровню соответствует подошва зээгтийнских слоев.

ФАУНА ЦАГАНСАЛАССКОЙ СВИТЫ

В этой свите найдены брахиоподы *Douvillinooides singularis* Olen., *Eoschuchertella chemungensis* (Conr.), *Cyrtospirifer schelonicus* Nal., *C. verneuili echinosus* Ljasch., *Eleutherokomma rhukensis* (Brice), *Elytha fimbriata* (Conr.); двусторонки *Prothyris?* cf. *lanceolata* Hall, *Vertumnia* cf. *reversa* (Hall.), *Pteronites* sp., *Pterinea* sp.

Из них *E. chemungensis* в Горном Алтае, на Дальнем Востоке, в Северном Китае и Северной Америке известен из животских и франских отложений, *C. schelonicus* характеризует франские отложения Главного девонского поля, *C. verneuili echinosus* – нижнефранские отложения Русской платформы, Тимана, Афганистана,

Таблица 5
Распространение брахиопод в девоне Делоне-Юстынского прогиба

		Распространение брахиопод в девоне Делоне-Юстынского прогиба											
		Распространение брахиопод в девоне Делоне-Юстынского прогиба											
Зональное расчленение девонских отложений по брахиоподам	Монголия (Алексеева, 1993)	Распространение брахиопод в девоне Делоне-Юстынского прогиба											
		<i>Altae-Sayan</i> складчатая область (Ржонсница, 1991)											
Появление зональных видов конодонтов													
<i>C. tschernyschewi</i>	crepida												
<i>L. depressus</i>	gigas												
<i>C. achmeticus</i>	asymmetri-												
<i>M. vassinenensis</i>	cus												
<i>E. cheehiel</i>													
<i>S. marianofii</i>													
<i>L. mammovenensis</i>													
<i>L. reticulata</i>													
<i>M. uralensis</i>													
<i>L. zmeinogorskiana</i>													
<i>N. bischofiorum</i>													
<i>T. oshigenensis</i>													
<i>P. gurjevskensis</i>													
<i>M. kailensis</i>													

Таблица 6

Распространение фауны и флоры в девоне Делюно-Юстыдского прогиба

Виды и разновидности	кошкар- лыгские слои	дундтол- гийские слои	зээгтийн- ские слои	цаганса- ласская свита	талнур- ская свита
1	2	3	4	5	6
Мшанки					
Hemitypa devonica Nekh.					
Fenestella verae Ulrich					
Брахиоподы					
Isorthis (Tyersella) quadrata Aleks.	----				
Leptagonia orientalis Aleks.	----				
L. zlichovensis Halv.	----				
L. sp. I	----				
Leptaenopyxis bouei (Barr.)	----				
Leptostrophiella bayrimica Aleks.	----				
Atrypa (Atrypa) sp.	----				
<u>Isorthis (Tyersella) quadrata Aleks.</u>	----				
Schizophoria (Schiz.) striatula (Schlot.)	----				
Leptagonia sinuata (Rzon.)	----				
Tsaganella plana Olen.	----				
Protodouvillina matigarensis Olen.	----				
Sibiratrypa lebedjanica (Rzon.)	----				
Spinocyrtia martianofi (Stuck.)	----				
Euryspirifer pseudocheehiel alatus (Stuck.)	----				
Mucrospirifer? sp.	----				
Dagnachonetes? dundensis Olen.	----				
Productella sp.	----				
Euryspirifer pseudocheehiel (Hou Hun-fe)	----				
Athyris concentrica (Buch.)	----				
Cariniferella ultiniae Aleks.	----				
Schizophoria (Schizophoria) sp.	----				
Leptagonia vladimiri Olen.	----				
Caucasiproductus dissimilis Olen.	----				
Sibiratrypa vassinensis Rzon.	----				
Mucrospirifer mesacostalis (Hall)	----				
M. mesacostalis tricostatus (Rzon.)	----				
Retzia tschernyschewi Peetz	----				
R. amoena Olen.	----				
Cyrtospirifer schelonicus Nal.	----				
Douvilleinoides singularis Olen.	----				
Eoschuchertella chemungensis (Conr.)	----				
Cyrtospirifer verneuili echinosus Ljasch.	----				

Таблица 6 (продолжение)

1	2	3	4	5	6
Двустворчатые моллюски					
C. sp.					
Eleutherokomma rhukensis (Brice)					
Elytra fimbriata (Conr.)					
Cyrtospirifer tschernyschewi Khalf.					
C. aff. procumbens Simor.					
Трилобиты					
Ptychopteria (Actinopteria) cf. boydi (Conr.)					
Nuculoidea neda Hall					
N. sp.					
Leptodesma (Leptodesma) spinigerum (Conr.)					
L. (Leptodesma) sp.					
L. (Leiopteria)? sp.					
Cypricardella cf. gregaria (Hall et Whit.)					
Sphenotus cf. tiogensis McAlester					
Ptychopteria (Ptychopteria) proto Hall					
P. (Actinopteria) sp.					
Parallelodon delitescens (Beush.)					
Paracyclas cf. rectangularis Sandb.					
Prothyris cf. lanceolata Hall					
Vertumnia cf. refersa (Hall)					
Pteronites sp.					
Pterinea sp.					
Nuculoidea peetzi (Khalf.)					
Sanguinolites? contractus (Hall)					
Eoschizodus? chemungensis (Conr.)					
Allorisma sp.					
Криноиды					
Hexacrinites? tuberosus Yelt.					
Cupressocrinus scaber Schul.					
Floricrinus rotundus (Yelt. Et Sis)					
F. sogdianus Schew.					
F. floreus (Yelt.)					
Facetocrinus sp.					
Asperocrinus giganteus Stuk.					
A. sp.					
Salairokrinus humilis Dubat.					
Amurocrinus sp.					
Pentapetalocrinus sp.					

Таблица 6 (окончание)

1	2	3	4	5	6
Petalerisma sp.					
Hexacrinites biconcavus Yelt. et Dubat.	-				
✓ Formosocrinus pentamerus Yelt. et Dubat.	-	-	-		
Флора					
Germanophyton psigmophylloides (Kr. et Weyl.)	-				
Psilophyton cf. burnetense (Gilf.) Kr. et Weyl.	-				
Dawsonites sp.	-				
Monbasia cf. notabilis Senk.	-				
Barsasopteris nativa S. Stp	-				
Uralia camdjalensis Petros.	-				
Protelepidodendron scharyanum Krejci	-				
✓ Barrandeinopsis beliakovi Krysh.	-				
Barsassia ornata Zal.	-				
Herbula marinae S. Stp.	-				
Aneurophyton germanicum Kr. et Weyl.	-				
Thamnochladites vanopdendaschii Stockm.	-				
Rellimia sp.	-				
Svalbardia polymorpha Hoeg.	-				
Hyenia sphaenophylloides Nath.	-				
Ginkgophytopsis belgica Stockm.	-				
Pseudosporochnus nodosus Lecl. et Banks.	-				
Barrandeina pectinata Nath.	-				
Calamophyton bicephalum Lecl. et Andr.	-				
Duisbergia mirabilis Kr. et Weyl.	-				

E. rhuensis – фран Кузнецкого бассейна, Дальнего Востока, Китая и Афганистана. E. fimbriata на Русской платформе описана из среднего и верхнего девона, на северном продолжении Дельюно-Юстыдского прогиба – Ануйско-Чуйском прогибе совместно с M. mesacostalis, известна в верхней части малафеевской свиты (нижний фран). В Алтае-Саянской складчатой области состав фауны цагансаласской свиты весьма сходен с таковыми вассинского горизонта. Из двусторонок P. lanceolata известен из формации Гамильтон, V. reversa из верхнедевонской формации Чемунг Северной Америки.

По характерному комплексу фауны возраст цагансаласской свиты определяется как нижнефранский.

ФАУНА ТАЛНУРСКОЙ СВИТЫ

В талнурской свите найдены брахиоподы Cyrtospirifer tschernyschewi Khalf., C. aff. proscumbens Simor., двусторчатые моллюски Nuculoidea peetzi (Khalf.), Sanguinolites? contractus (H.), Eoschizodus? chemungensis (Conr.), Allorisma sp. Все названные формы известны из верхнего девона причем C. tschernyschewi и N. peetzi характерны для низов фамена смежных областей. Кроме того, первый вид указывается из задонских слоев (нижний фамен) Русской платформы, майстеровских сло-

ев (нижний фамен) Казахстана; двусторочки S. contractus и E. chemungensis – из верхнего девона Северной Америки, преимущественно из формации Чемунг.

По присутствию C. tschernyschewi, N. peetzi; S.? contractus и E. chemungensis талнурская свита отнесена к фаменскому ярусу.

Стратиграфическое распространение брахиопод и всего комплекса фауны и флоры в девонских отложениях Дельюно-Юстыдского прогиба приведены на табл. 5 и 6.

По результатам анализа распространения фауны и флоры в рассматриваемых районах можно сделать следующие выводы:

1. В Алтайской подзоне в интервале ложкова–верхнего девона выделяются 4 комплекса, в Дельюно-Юстыдском прогибе в интервале верхнего эмса–фамена–5 разновозрастных комплексов.

2. Систематический состав фауны и флоры в Алтайской подзоне и Дельюно-Юстыдском прогибе сходен только на одном уровне, отвечающему живетскому ярусу.

Глава 4

КОРРЕЛЯЦИЯ ДЕВОНСКИХ ОТЛОЖЕНИЙ АЛТАЙСКОЙ ПОДЗОНЫ И ДЕЛЬЮНО-ЮСТЬДСКОГО ПРОГИБА

Разрезы девона в исследуемых крупных структурных подразделениях Монгольского Алтая биостратиграфически несопоставимы. Исключение представляет только один уровень, отвечающий живету, так как только здесь одновозрастные толщи содержат сходные по составу органические остатки. На остальных уровнях изученных разрезов фауна и флора, найденные в породах различного состава (терригенных и карбонатных), резко отличаются по систематическому составу и между собой несопоставимы. Поэтому для корреляции девонских разрезов Алтайской подзоны и Дельюно-Юстыдского прогиба необходима их параллелизация с разрезами других районов Монголии и смежных с ней областей. При применении метода промежуточной корреляции неизбежно повторение доводов, проводимых для сопоставления изученных разрезов и межрегиональной корреляции. В связи с этим здесь не рассматривается специально соотношение свит Алтайской подзоны и Дельюно-Юстыдского прогиба, а дается схема их сопоставления (табл. 7). Находки конодонтов до уровня partitus указываются по данным известным в Монголии (Алексеева, 1993), а выше – по материалам Алтай-Саянской складчатой области (Ржонсцкая, 1991).

В составе органических остатков, найденных на исследуемой площади, имеются формы как широко распространенные во времени, так и виды, характерные для сравнительно короткого интервала. Среди последних важное место занимают брахиоподы, широко распространенные в терригенных фациях Монголии и смежных областях, а именно на Дальнем Востоке и Забайкалье, на некоторых уровнях в Горном Алтае, а также в Северо-Восточном Китае и, в меньшей степени в Центральном Казахстане (Прибалхашье). Раннедевонская фауна развитая на площади перечисленных областей, отличается высоким эндемизмом и называется монголо-охотской. Эта фауна несопоставима с комплексами других территорий. При недостаточной изученности брахиопод, господствующих среди бентоса, некоторые гомеоморфные таксоны ранее ошибочно отождествлялись как с видами из Арденно-Рейнского бассейна, так и Северной Америки. Соответственно этому признавались ярусы и формации, установленные на названных площадях (Ярусное расчленение

Таблица 7

Схема корреляции девонских отложений изученных районов Монголии и сопредельных провинций

ние..., 1978; и др.). Только после изучения девонских брахиопод Монголии из терригенных и карбонатных отложений были установлены стратиграфические единицы, сопоставимые с ярусами общей шкалы девона (Алексеева, 1990, 1993; Алексеева и др., 1995).

Помимо брахиопод при корреляции были учтены все группы фауны и фито-комплексы, время существования которых было установлено в хорошо изученных разрезах смежных областей. Привязка к ярусам общей шкалы в нижнем и среднем девоне, установлена согласно унифицированной региональной стратиграфической схеме Монголии, принятой Межведомственным стратиграфическим комитетом страны в 1990 г. В верхнем девоне признаются ярусные подразделения Алтае-Саянской складчатой области, утвержденные МСК России (Постановления Межведомственного... 1991; Ржонсницкая, 1991). Изученные разрезы коррелируются в первую очередь с таковыми Монголии и Алтае-Саянской складчатой области. В Монголии сопоставление проводится с опорным разрезом терригенного нижнего девона на р. Ямату и карбонатным разрезом нижнего–среднего девона в Гобийском Алтае, юго-западнее сомона Шинэ Джинст, в районе колодца Цахирин худук.

На исследуемой площади наиболее древней является уланхусская свита в Алтайской подзоне. В составе брахиопод здесь находятся *Chalimochonetes huhunurensis* (Aleks.), *Hebetoechia vagranica mongolica* O. Erl., *Howellella angustiplicata* (Kozl.), *H. laeviplicata* (Kozl.). Эти брахиоподы были описаны из низов хухунурской свиты в смежной с Монгольско-Алтайской структурной зоной – Озерной зоне, где с упомянутым комплексом брахиопод были найдены трилобиты *Warburgella rugulosa* (Alt.), характерные повсеместно для лохковского яруса. Уланхусская свита по составу брахиопод сопоставляется в опорном разрезе терригенного нижнего девона Монголии с лоной *Howellella angustiplicata* (нурсхотгорские слои). Она может так же параллелизоваться по составу спириферид с шараобинскими слоями Монголии, в которых были найдены конодонты *Ozarkodina reimscheidensis* Z. icriodus woschmidti cf. *transiens* Carls et Z. (Розман и др., 1991). Первый из них является индексом нижней конодонтовой зоны ложковского яруса в Сибири (Гагиев и др., 1987).

По присутствию спириферид *Howellella laeviplicata* уланхусская свита сопоставима с томьчумышским горизонтом (лохков) Салаира (Алексеева и др., 1970), борщовским горизонтом Подолии (Никифорова, 1954; Корень и др., 1973) и их эквивалентами на Урале и Средней Азии.

Присутствие криноидей *Mediocrinus bicostatus* Jelt., *Pandocrinus pandus* Stuk., *Costatocrinus bicostatus* Stuk. открывает пути к сопоставлению с айнасуйским и кокбайтальским (лохков) горизонтами Центрального Казахстана (Сенкевич и др., 1991).

В Алтайской подзоне вышележащие отугийская и бастульская свиты не содержат органических остатков. Между собой эти свиты обнаруживают локальное несогласие. Из них отугийская свита залегает стратиграфически согласно на улан-хусской, а размытая поверхность бастульской свиты перекрывается нижнебардамгольской подсвитой, содержащей фауну нижней половины эмса. На основании изложенного обе свиты сопоставимы с цагансалагольскими – тургенийскими слоями опорного терригенного разреза нижнего девона на реке Ямату (Алексеева и др., 1981). Названные слои в унифицированной региональной стратиграфической схеме Монголии соответствуют бигерскому горизонту пражского яруса.

В нижнебардамгольской подсвите среди коралловых фауны, как уже указывалось, немногие виды имеют ограниченное распространение во времени. К последним относятся табуляты *Pachypora tortuosa* Schark. и *Egosiella lecomptei* Mir. Первый из них широко распространен в карбонатных фациях нижнего девона Монголии, в нижней части чулунского горизонта – лоне *Uncinulus tsakhirinicus* (Шаркова, 1981; Алексеева, 1990, 1993). Второй вид известен в салаиркинском горизонте (низы эмса) и киреевских-кувашских слоях (эмс) Горного Алтая (Миронова, 1974).

В Монголии, для низов чулунского горизонта в терригенной фации (ло Maoristrophia kailensis) из брахиопод характерны – *Leptagonia orientalis* Aleks., *Leptostrophiella bayrimica* Aleks., *Wilsoniella prima* Khalf., *W. tchernyshevae* O. Erl. В составу перечисленных видов нижнебардамгольская подсвита параллелизуется ошигинскими слоями в опорном разрезе на реке Ямату, который избран в качестве типового для названной лоны. Из табулят *P. tortuosa* указывается в характеристиках комплексе лоны *Uncinulus tsakhirinicus*, нижней лоны чулунского горизонта в карбонатных фациях (Алексеева, 1990, 1993), обе лоны в Монголии отнесены к нижней части эмского яруса (Алексеева, 1990), соответствующей конодонтовой зоне *dehiscens*. Таким образом, по составу фауны, нижнебардамгольская подсвита соотносима только с нижними лонами чулунского горизонта Монголии. В Алтай-Саянской области она также может коррелироваться с низами эмса, где *Egosie lecomptei* и *Leptagonia orientalis* распространены в салаиркинском и киреевском горизонтах нижнего эмса (Миронова, 1974; Грацианова, 1973; Алексеева и др., 1981).

В дюлю-Юстыдском прогибе с нижнебардамгольской подсвитой по своему стратиграфическому положению сопоставляется тунгэтская свита. На отложениях этой свиты согласно залегают кошкарлыгские слои, относящиеся к нерасчлененным отложениям верхнего эмса-эйфеля.

Кошкарлыгские слои могут сопоставляться с одновозрастными подразделениями смежных регионов только по составу криноидей и флоры. Так, присутствие *Floricrinus floreus* и *Asperocrinus giganteus* указывает на интервал от прибалхашского до казахского горизонта (прага—верхний эмс). В Казахстане, однако, по присутствию представителей рода *Amurocrinus*, рассматриваемые слои параллелизуются нижней половиной имачинского горизонта (верхний эмс—эйфель) Дальнего Востока (Шишкина, 1990). По криноидям *Floricrinus sogdianus*, *Formosocrinus pentamerus* и *Floricrinus rotundus* и растениям *Protolepidodendron scharyanum* кошкарлыгские слои сопоставимы с бесбинским горизонтом (эйфель) Казахстана (Стукалина, 1982; Сенкевич, Каплун, 1982). По фитокомплексу они коррелируются с шандинскими (верхний эмс—эйфель) и мамонтовским (эйфель) горизонтами Салаира (Елкин, 1987) и их эквивалентами в Горном Алтае и межгорных впадинах Алтая Саянской области (Гицингер и др., 1973; Мелещенко и др., 1973). Широко распространены в интервале верхний эмс—эйфель в названных областях растения *Aneurophyton germanicum* Kr. et Weyl., *Barsasopteris nativa*, *Uralia camdjaleensis*, *Protolepidodendron scharianum*, *Barrandeinopsis beliakovi*, *Barsassia ornata*, *Herbula marinae* найденные в кошкарлыгских слоях.

Верхнебардамгольская подсвита коррелируется по составу брахиопод *Desquamatia (Desquamatia) minusinensis*, *Eucharitina dobrovi* и растений *Caudophyton aquatilis*, *Barrandeinopsis beliakovi* с цаганхалгинским горизонтом Монголии, шандинским (верхний эмс-эйфель) и мамонтовским горизонтами (эйфель) Салаира (Елкин, 1978), а также их эквивалентами в Алтае-Саянской области (Девон. сист. 1973). Не противоречит этому и присутствие ругоз.

Непосредственная параллелизация кошкарлыгских слоев и верхнебардамгольской подсвиты невозможна, так как они содержат только один общий вид *Leptostrophiella bayrimica*, который описан в Монголии (Алексеева, 1981) из отложений пражского и эмского ярусов, а верхний его интервал до настоящего времени не установлен. Поэтому эти подразделения могут сопоставляться только по результатам промежуточной корреляции.

Изложенное выше показывает, что кошкарлыгские слои и верхнебардамольская подсвита сопоставимы с шандинским и мамонтовским горизонтами Салаира, которые в свою очередь коррелируются с цаганхалгинским горизонтом Монголии по общему составу брахиопод и конодонтов (Алексеева, 1993; Алексеева, Аристов и др., 1995). Кроме этого, верхнебардамольская подсвита непосредственно сопоставима с цаганхалгинским горизонтом по составу брахиопод, известных как в нижней, так и верхней части этого горизонта. Следовательно, кошкарлыгские слои

коррелируются с верхнебардамгольской подсвитой и цаганхалгинским горизонтом Монголии. Названные выше горизонты соответствуют в стандартной шкале конодонтовым зонам *ratulus-partitus* (Алексеева и др., 1995) и *costatus* (Елкин, 1983; Елкин, Йолкин, 1987).

В вышележащих отложениях в холдзатийской свите (Алтайская подзона) и под *Euruspirifer pseudocheehiel* и *Spinocystia martianofi*. Эти формы, а также ряд других видов, указанных в предыдущем разделе, характерны для верхней части живетского яруса смежных областей, а именно для алчедатского горизонта и его эквивалента Алтай-Саянской складчатой области.

Лентов в Алтас-Саянской складчатой области.

Однако в дундтолгойских слоях, помимо брахиопод характерных для верхней части живетского яруса, найдена флора, распространенная в интервале всего живета Алтас-Саянской складчатой области: *Svalbardia polymorpha*, *Thamnocladiites vanopdenbaschii*, *Ginkgophytopsis belgica*, *Pseudosporochnus nodosus*. Соответственно этому – дундтолгойские слои залегающие стратиграфически согласно на кошкарлыгских слоях (верхний эмс-эйфель) сопоставляются со всеми подразделениями живетского яруса в Алтас-Саянской складчатой области, от керлегешского до алчедатского горизонта, бельгебашской свитой Горного Алтая (Гицнгер и др., 1973); байским горизонтом Минусинской впадины (Бельская, 1960; Мелещенко и др., 1973), нижней половиной ольдойского горизонта на Дальнем Востоке (Шишкина, 1990). В Алтайской структурной подзоне холдзатийская и хухульская свиты сопоставляются с верхней половиной дундтолгойских слоев.

В связи с тем, что рассматриваемые подразделения на изученной площади Монгольского Алтая содержат фауну, характерную для алчедатского горизонта и его возрастных эквивалентов, то следует указать, что некоторые исследователи считают более приемлемым отнесение алчедатского горизонта к франскому ярусу. По мнению В.Б. Караулова (1992, 1994), границы отделов принятые Международной комиссией по стратиграфии девона без учета этапности развития организмов и историко-геологических событий. В результате отказа от историко-геологического подхода стандартная шкала девона была разработана только по конодонтовым комплексам. При этом некоторые критерии сводятся к первому появлению выбранного вида, а иногда подвида. На этот недостаток общей шкалы указывают многие исследователи (Бубличенко, 1983; Ржонсницкая, 1986; Елкин, 1983; Елкин, Грацианова, 1993; Алексеева, 1993; и др.). Это мнение было выражено и в решениях выездной сессии Левонской комиссии МСК (Средний девон..., 1985).

Однако в настоящее время, согласно решениям МСК СССР (Решения Всесоюзн. сов..., 1982) и МСК России (Постановления Межведомственного..., 1991), нижняя граница верхнего девона установлена по кровле алчедатского горизонта. Это мнение отражено в статье М.А. Ржонницкой (1991), которая отмечает, что слои с *Spinocystia martianofi*, *Euryspirifer pseudocheehiel*, соответствуют по конодонтовой шкале средней и верхней подзонам живетской зоны varcus.

Следует также отметить, что анализ этапов трансгрессий – регрессий, связанных с эвстатическими колебаниями уровней девонского моря на юго-западе Сибири, у разных исследователей приводит к различным результатам. По мнению Е.А. Елкина (Talent, Yolkin, 1987), события, происходившие на уровне кровли алчедатского горизонта, отвечают границе между средним и верхним отделами девона. По мнению В.Б. Карапурова (1992) граница между этими отделами должна проводиться по подошве алчедатского горизонта. И соответственно этим разногласиям на графиках в работах авторов показаны разные амплитуды. В настоящей работе алчедатский горизонт рассматривается в составе живетского яруса по составу конодонтов.

Низы франского яруса в Делюно-Юстыцком прогибе представлены зээгтийнскими слоями, в которых находятся виды, широко распространенные в верхней части живетского яруса, и виды, характерные для франа. К первым относятся брахи-

ОПИСАНИЕ БРАХИОПОД

ОБЪЯСНЕНИЕ ТЕРМИНОВ

оподы *Euglyptispirifer pseudocheehiel*, *Mucrospirifer mesocostalis*, ко вторым – *Carinifirellulinae*, *Mucrospirifer mesacostalis tricostatus*, *Cyrtospirifer schelonicus*, *Retzia tschernyschewi* Peetz и двустворки *Ptychopteria* (*Ptych.*) proto. По комплексу брахиопод, в котором наряду с видами, характерными для франского яруса, присутствуют и элементы верхненеветской фауны, зээгтийские слои сопоставимы с изылинским горизонтом Кузнецкого прогиба. Постепенный переход от живетского к франским отложениям наблюдается также на северном продолжении Делюно-Юстыцкого прогиба, в Ануйско-Чуйском прогибе, где граница между ярусами проходит внутри малафеевской свиты (Ржонсицкая, 1973). Состав фауны этой свиты сходен с комплексами изылинского горизонта и зээгтийских слоев.

Цагансаласская свита по составу брахиопод *Cyrtospirifer schelonicus* Naumann, *Mucrospirifer mesacostalis* (Hall), *Eleutherokomma rhukensis* (Brice) коррелируются с вассинским горизонтом в Кузнецком бассейне.

Талнурская свита по брахиоподам и двусторчатым моллюскам *Cyrtospirifer tschernyschewi* Khalf., *Nuculoidea peetzi* (Khalf.) сопоставляется с пещеркинским горизонтом (нижний фамен) Кузнецкого бассейна.

В систематической части используются в основном термины, принятые в Палеонтологическом словаре (1960) и в томе брахиопод Трактата по палеонтологии беспозвоночных "Treatise on Invertebrate Paleontology" (1965). Однако при недостаточной изученности внутренних структур брахиопод и существующей разноречивости в применении терминов, невозможна их унификация для всех описываемых в настоящей работе брахиопод. Поэтому ниже приводятся объяснения некоторых терминов, принятых в настоящей работе.

Брахиофоры – парные пластины внутри спинной створки, ортидин и строфоменин, расходящиеся по сторонам нототирия. Служили поддержками лохофора, а их задние части ограничивали зубные ямки.

Висцеральная полость – в применении к строфоменидам включает висцеральную и брахиальную полость в понимании В. Гавличка (Havlicek, 1967).

Диафрагма – высокий дорсальный валик некоторых строфоменид (лептенид), опоясывающий висцеральную полость. Граница которой может не совпадать с очертаниями диска.

Диск – внешняя часть раковины строфоменацей позади шлейфа.

Капилли – очень тонкие, тончайшие радиальные ребрышки по 25 и более на 10 мм, согласно классификации предложенной Е. Мюр-Вуд (Muir-Wood, 1962), что соответствует в русской терминологии понятию "очень тонкие, тончайшие ребра или струйки".

Кардиональные валики – начинающиеся близ замочного отростка и протягивающиеся на различную длину валики внутри спинной створки строфоменидин вдоль замочного края.

Костеллы – тонкие радиальные по 15 или менее штук на 10 мм, согласно классификации, предложенной Е. Мюр-Вуд (Muir-Wood, 1962), что соответствует, в русской терминологии понятию "тонкие ребра".

Миофрагма – срединный валик, разделяющий продольно мускульные отпечатки.

При описании внутреннего строения, положения тела животного и его ручного аппарата называются, по В. Гавличку (Havlicek, 1967), висцеральной и брахиальной.

Все мелкие округлые или удлиненные бугорки на внутренней поверхности створок (внутренние шипы) (см. табл. II, фиг. 9г; табл. IV, фиг. 10б) называются здесь бугорками.

В работе принята следующая градация: до 15 мм – маленькая раковина, 15–20 мм – средних размеров, более 20 мм – крупная.

При описании брахиопод приняты следующие сокращения: Д – длина, Ш – ширина, Т – толщина, Дз.к. – длина замочного края, Квал. – количество валиков, Му – макушечный угол.

О Т Р Я Д ОРTHIDA

ПОДОТРЯД ORTHIDIDINA

НАДСЕМЕЙСТВО ENTELETOIDEA WAAGEN, 1884

СЕМЕЙСТВО ISORTHIDAE SCHUCHERT ET COOPER, 1931

ПОДСЕМЕЙСТВО ISORTHINAE SCHUCHERT ET COOPER, 1931

Род Isorthis Kozlowski, 1929

Подрод Tyersella Philip, 1962

Isorthis (Tyersella) quadrata Alekseeva, 1981

Табл. I, фиг. 1-3, 7

Isorthis (Tyersella) quadrata: Алексеева, 1981, с. 11, табл. I, фиг. 1-6; табл. XXIV, фиг. 1-2, табл. XXVIII, фиг. 1-2.

Голотип — ПИН, № 3406/157; целая раковина; Северо-Западная Монголия, восточный склон горы Баян Ошиги, разрез Д, слой 2; нижний девон, ошигинские слои (эмс). Изображен на табл. I, фиг. 1 (Алексеева и др., 1981). Хранится в Палеонтологический институт, Москва.

Диагноз. Раковины среднего размера, субквадратного очертания со слабо развитым синусом. Ребра в целом одинаковы по размеру. Замочный отросток однолопастный.

Описание. Раковины среднего размера ($D = 16-19$ мм), субквадратного очертания. Замочный край немного меньше наибольшей ширины раковины. Брюшная створка слабо равномерно выпуклая. От самой макушки вдоль средней линии проходит слабое, кильобразное возвышение, постепенно расширяющееся и выполаживающееся к переднему краю раковины.

Спинная створка от менее выпуклой, чем брюшная, до равновыпуклой, с мелким, широким синусовидным понижением. Скульптура состоит из многочисленных тонких, резких, угловатых капилляй, количество которых увеличивается в результате дихотомии и интеркаляции, происходящих на разном расстоянии от макушки.

Внутри брюшной створки двулопастное, сердцевидное мускульное поле, разделенное широким срединным валиком. С боковых сторон поле окружено высокими и толстыми валиками. Внутри спинной створки — мускульное поле субквадратное, отчетливо ограниченное, четырехдолльное (9-12 мм), посередине дорсального поля проходит мелкий срединный валик, доходящий до передней границы поля. Передние и задние мускульные отпечатки разделены отчетливым валиком. Аддукторы, крупные, перистые, занимают 1/2-1/3 длины мускульного поля, дидукторные отпечатки выражены неотчетливо.

Размеры в мм и отношения:

№ экз.	D	Ш	D/Ш
4427/12	19,5	—	—
4427/13	18,0	22	0,8

Сравнение. см. Алексеева, 1981 г.

Распространение. Нижний-средний девон (эмс-эйфель); ошигинские слои Северо-Западной Монголии, кошкарлыгские слои хатугольской свиты Монгольского Алтая.

Материал: 6 экз.: 4 брюшных и 2 спинные створки в ядрах и отпечатках; Монгольский Алтай, район горы Кошкарлыг — 5 экз.; 18,5 км севернее сомона Улэты, 500 м севернее горы Матигар — 1 экз.; кошкарлыгские слои хатугольской свиты (верхний эмс-эйфель).

СЕМЕЙСТВО DALMANELLIDAE SCHUCHERT, 1912

Род Cariniferella Schuchert et Le Verne, 1929

Cariniferella ultinae Alekseeva, 1993

Табл. I, фиг. 4-6, 8-10

Cariniferella ultinae: Alekseeva, 1993, с. 115, табл. VIII, фиг. 1-3.

Голотип — ПИН, № 4132/34; целая раковина; Юго-Западная Монголия, Барунхурайская котловина, южнее гор Индрэгийн нуру, 1 км к югу от высоты 1683,2; верхний девон, франский ярус; Изображена на табл. VIII, фиг. 1 (Алексеева, 1993). Хранится: Палеонтологический институт, Москва.

Диагноз. Раковина среднего размера, округленно-четырехугольного очертания. Замочный край равен или немного меньше наибольшей ширины раковины. Брюшная створка несет срединное кильобразное возвышение, спинная — глубокий, пологоокруглый синус. Скульптура состоит из многочисленных, узких дихотомирующих капилляй.

Описание. Раковина среднего и крупного размера ($D = 16-27$ мм), округленно-четырехугольного очертания ($D/Ш 0,6-0,9$). Замочный край на 2-3 мм меньше наибольшей ширины раковины измеренной в средней части раковины.

Брюшная полость слабо равномерно выпуклая, с маленькой, острой макушкой. От самой макушки вдоль осевой линии проходит низкое кильобразное возвышение, постепенно расширяющееся и выполаживающееся к переднему краю раковины.

Спинная створка менее выпуклая, чем брюшная, до равновыпуклой, с ясным, глубоким, пологоокруглым синусом, прослеживающимся от самой макушки до лобного края раковины. Скульптура состоит из многочисленных тонких, резких капилляй, прямых в средней части и дугообразно отгибающихся к замочным углам раковины. Количество капилляй увеличивается в результате дихотомии и интеркаляции. В средней части раковины, на 5 мм насчитывается 10-13 капилляй.

Внутри брюшной створки двулопастное, субпентагональное мускульное поле с узким срединным валиком.

Внутри спинной створки — удлиненно-овальные зубные ямки, брахиофоры короткие. Дорсальное мускульное поле от субквадратной до округлой формы, занимает 1/3 длины створки. Посередине дорсального поля проходит широкий, высокий срединный валик, доходящий до передней границы поля. Передние и задние мускульные отпечатки слабо ограниченные.

Размеры в мм и отношения:

№ экз.	D	Ш	D/Ш
4427/573	16,0	24	0,7
4427/572	22,5	36	0,6
4427/571	27,4	x2-28	0,97

Сравнение. От наиболее близкой по форме раковины *C. tioga* (Hall) из верхнего девона Казахстана (Литвинович, 1963, с. 254, табл. LIII, фиг. 6) отличается более низкиментральным возвышением и пологоокруглым, а не угловатым синусом спинной створки.

Распространение. Верхний девон (фран) Юго-Западной Монголии, зээтгинские слои хатугольской свиты Монгольского Алтая.

Материал: 11 экз., из них 8 брюшных и 3 спинные створки, чаще обломанные, в ядрах и отпечатках; Монгольский Алтай, верховье ручья Цаган Сала, правого притока реки Хаттугийн, 2,3 км восточнее-юго-восточнее горы Цаган Сала (абс. отм. 3115) зээтгинские слои хатугольской свиты (нижний фран).

Род Schizophoria King, 1850

Подрод Schizophoria King, 1850

Schizophoria (Schizophoria) striatula (Schlotheim), 1820

Табл. I, фиг. 13–16

Anmtes Terebratulites striatus: Schlotheim, 1813, табл. I, фиг. 6.

Orthis striatula: Grunewald, 1860, с. 86, табл. II, фиг. 6; Чернышев, 1884, с. 4, табл. III, фиг.

Schizophoria striatula: Schlotheim, 1820, с. 254, табл. 15, фиг. 4; Наливкин, 1947, с. 66, табл. XII, фиг. 10; Сарычева, Сокольская, 1952, с. 29, табл. 2, фиг. 10; Грицианова и др., 1960, с. 425, табл. Д-64, фиг. 12–13; Крылов, Вожилова, 1955, с. 74, табл. 1, фиг. 8–10; Грицианова и др., 1960, с. 425, табл. Д-64, фиг. 12–13; Крылов, 1962, с. 45, табл. I, фиг. 13–15, табл. II, фиг. 1, табл. IV, фиг. 3; Тяжева, 1962, с. 11–12, табл. I, фиг. 2–4; Ресок, 1966, с. 397–402, табл. 66, фиг. 6–7.

Голотип. Раковина происходит из среднего-верхнего девона Германии. Изображена в работе Шлотгейма (Schlotheim), 1820, с. 254, табл. 15, фиг. 4.

Диагноз. Раковины средних размеров, округлого очертания. Брюшная спинная створка слабо равномерно выпуклые. Седло и синус развиты слабо. Вентральное мускульное поле крупное, от субтреугольного до сердцевидного очертания со средним валиком. Скульптура отчетливая, костеллы расположены очень тесно. По всей раковине расположены характерные слабые удлиненные вздутия капилля.

Описание. Раковина среднего и крупного размера, ($D = 19\text{--}27 \text{ mm}$) от почти изометричной до поперечно вытянутой ($D/W = 0,6\text{--}0,9$), с очертанием соответственно удлиненности от субокруглого, до поперечно-ovalного. Замочный край вдвое короче наибольшей ширины раковины, находящейся на середине длины раковины. Кардиальные углы и боковые комиссуры округленные. Передний край сулькатный.

Брюшная створка слабо выпуклая в умбоанальной части, в передней – полого опускается. Макушка широкая, низкая, слабо загнутая. Арея треугольная, низкая (1–2 mm), апсаклинина. Дельтий открытый. Синусовидное понижение широкое, слабо обозначено в передней половине раковины.

Спинная створка умеренно вздутая. Наибольшая вздутость находится в умбоанальной части раковины, которая у некоторых раковин нависает над замочным краем. Арея ниже, чем у брюшной створки с ноготирем, заполненным замочным отростком. Седловидное возвышение выражено слабо, чаще совсем незаметное.

Скульптура представлена многочисленными округлыми капиллями, разделенными узкими промежутками. В передней половине раковины, на 2 mm насчитывается 5–6 капиллей. Число их увеличивается вставлением и делением на разных расстояниях от замочного края. Вновь возникающие капилли быстро приобретают размеры первичных и в целом скульптура имеет характер правильной радиальной ребристости.

Внутри брюшной створки на продолжении зубных пластин развиты валики, окружающие мускульное поле в пределах умбоанальной части. Валики слабо взнуты и заканчиваются немного впереди замочного края. Зубы массивные, постепенно поникаются и становятся низкими и узкими. Мускульное поле крупное, от субтреугольного до сердцевидного очертания, обычно протягивается до середины длины раковины. Ширина мускульного поля почти равна длине его или ненамного меньше. В первом случае мускульные отпечатки имеют субтреугольное, во втором сердцевидное очертание. Срединный валик низкий, округлый, широкий, появляющийся от макушки и протягивающийся до переднего края мускульного поля, постепенно увеличивается в размере, но не достигает формы центрального валика.

Внутри спинной створки мощный многолопастной замочный отросток. Его ствол килевидный. На миофоре развиты высокая срединная лопасть, а по бокам более мелкие лопасти по 2–4 с каждой стороны. Все лопасти зубчатые. Брахиофоры невысокие, тонкие, к поверхности створки располагаются под острым углом.

Валики, окружающие мускульное поле, продолжают брахиофоры. Вначале валики высокие, но быстро поникающиеся и постепенно исчезающие. Мускульное поле отчетливо выделяется в его задней половине, в передней – сливается с внутренней поверхностью створки. Миофрагма низкая, широкая, протягивается немногим дальше длины валиков. Мускульные отпечатки выражены слабо. Вакулярная система не заметна.

Размеры в мм и отношения:

№ экз.	Д	Ш	Т	Д/Ш	Дз.к.	Дз.к./Ш
4427/475	19	21	8	0,9	8,4	0,4
4427/470	22	35	—	0,6	19	0,5
4427/472	24	27	20	0,9	12	0,4
4427/473	25,5	29,4	26,4	0,9	15,2	0,5
4427/474	27	33,2	27,6	0,8	—	—

Сравнение. Наиболее близкими видами являются *S.(S.) impressa* (S.) (Hall et Clark 1892, табл. 6, фиг. 31, табл. 6а, фиг. 26–27) и *S.(S.) praemissa* Nalivkin (Наливкин, 1937, с. 37, табл. I, фиг. 1–8). От первого описанный вид отличается более выпуклой спинной створкой и слабо развитым синусом, от второго – большим размером раковины, сулькатным, а не прямым передним краем, как у сравниваемого вида.

Распространение. Средний–верхний девон (эйфель–фран) Германии, Бельгии, Урала, Средней Азии, Алтæ-Саянской области; дундтолгойские слои хатугольской свиты, холдзатийская свита (живет) Монгольского Алтая.

Материал: 75 экз., из них с обеими створками – 39, брюшных – 15, спинных – 21; Монгольский Алтай, 16 км северо-западнее сомона сомона Цаган нур, устье распадка Жаргын ам – 17 экз., хатугольская свита, дундтолгойские слои хатугольской свиты (живет); левобережье реки Сагсай, севернее сомона Баинту, 550 м устье реки Сагсай, район горы Улаан (абс. отм. 1883,1) – 30 экз., правобережье реки Сагсай, район горы Хурэн Толгой, (абс. отм. 2089,5) – 28 экз. холдзатийская свита (живет).

Schizophoria (Schizophoria) sp.

Табл. I, фиг. 11, 12

Описание. Раковина среднего и крупного размера, ($D = 20\text{--}27 \text{ mm}$) округлое очертания. Спинная створка слабо вздутая. Замочный край вдвое короче наибольшей ширины раковины. Кардиальные углы и боковые комиссуры округленные.

Брюшная створка выпуклая в умбоанальной части, в передней уплощенная, до слабо резупинантной. Макушка широкая, низкая, слабозагнутая. Синусовидное понижение широкое, слабо обозначено в передней половине, боковые склоны пологие 30–40°. Передний край слабо сулькатный.

Спинная створка умеренно вздутая. Наибольшая вздутость находится в умбоанальной части раковины. Седловидное возвышение широкое, выражено слабо, чаще совсем незаметное.

Скульптура представлена многочисленными, тесно расположенными округлыми капиллями, разделенными узкими промежутками. В передней половине ракови-

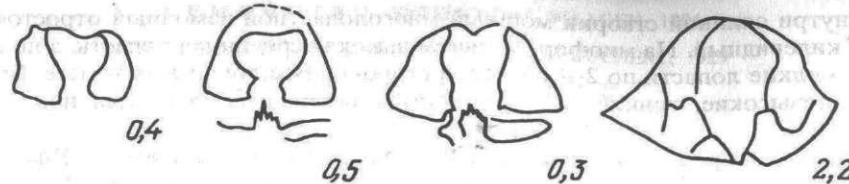


Рис. 16. *Schizophoria (Schizophoria) sp.*

Внутреннее строение раковины с сочлененными створками, по пленкам ПИН, № 4427/421 (х2); Монгольский Алтай, правый борт р. Шара Гоби, правого притока р. Сагсай, 3,9 км юго-западнее горы Ашла; обн. 15, слой 3 (сборы Л.М. Улитиной, 1974); верхнебардамгольская подсвита (верхний эмс-эйфель)

ны, на 2 мм насчитывается 6–8 капиллей. Число их увеличивается вставлением и делением на разных расстояниях от замочного края. Вновь возникающие капилли быстро приобретают размеры первичных и в целом, скульптура имеет характер правильной радиальной ребристости.

Внутри брюшной створки удлиненно-треугольное мускульное поле.

Внутри спинной створки мощный многолопастной замочный отросток (рис. 15), в центре которого развита высокая срединная лопасть, а по бокам более мелкие, до 4 лопастей с каждой стороны. Все лопасти зубчатые. Брахиофоры не высокие, тонкие.

Мускульное поле немного не достигает середины длины створки, удлиненно-треугольной формы, отчетливо выделяется на всем его протяжении. Валики, окружающие мускульное поле, продолжают брахиофоры. Вначале валики высокие, но быстро понижаются, у переднего края мускульного поля валики поворачиваются навстречу друг к другу до соединения с миофрагмой. Миофрагма низкая, узкая, ближе к переднему краю немного повышающаяся, не выходящая за длину валиков. Граница между передними и задними отпечатками аддукторов ориентирована к миофрагме под острым углом, задние аддукторы в два раза превосходят по длине передние.

Размеры в мм и отношения:

№ экз.	Д	Ш	Т	Д/Ш	ДТ
4427/421	20,5	—	9,0	—	2,3
4427/419	27,2	34	9,4	0,8	2,9

Сравнение. По форме раковины наиболее близка к *S.(S.) matutina* Aleks. (Алексеева, 1981, с. 39, табл. VII, фиг. 6–10), от которого отличается отчетливо ограниченным передним краем мускульного поля, у сравниваемого вида мускульное поле ограничено только в задней его половине. От *S.(S.) tenuicostata* Aleks. (Алексеева, 1981, с. 41, табл. VII, фиг. 11; табл. VIII, фиг. 1–4; табл. XXII, фиг. 15) отличается менее вздутой спинной створкой, удлиненно-треугольной формой мускульного поля спинной створки, а не субквадратной, как у сравниваемого вида.

Распространение. Нижний–средний девон (эмс-эйфель), бардамгольская свита, Монгольского Алтая.

Материал: 4 экз.: 1 целая раковина с обломанным боковым краем и 3 обломка спинных створок. Монгольский Алтай, правый борт реки Шара-Гоби, 3,9 км юго-западнее горы Ашла, обн. 3, слой 3 (сборы Л.М. Улитиной, 1974, 1988); верхнебардамгольская подсвита (верхний эмс-эйфель).

О Т Р Я Д STROPHOMENIDA

ПОДОТРЯД STROPHOMENIDINA

НАДСЕМЕЙСТВО STROPHOMENOIDEA KING, 1846

СЕМЕЙСТВО LEPTAENIIDAE HALL ET CLARKE, 1894

Род Leptagonia M'Coy, 1844

Leptagonia sinuata (Rzonsnizkaja, 1937)

Табл. II, фиг. 1–5

Leptaena rhomboidalis Wilckens var. *sinuata*: Ржонсицкая, 1937, с. 133, табл. I, фиг. 1; 1955, с. 244, табл. LIV, фиг. 4.

Leptagonia sinuata: Грацианова, 1975, с. 20, табл. I, фиг. 12–14.

Г о л о т и п. Целая раковина изображена в работе Ржонсицкой (1937), на табл. I, фиг. 1; Салаир, р. Егоз, в 1,5 км севернее дер. Сафоново; сафоновские слои, средний девон, живет. Выбран Грациановой (1975, с. 20). Хранится: Центральный геологический музей, С.-Петербург.

Диагноз. Раковина крупного размера с заостренными ушками. Концентрические валики крупные, многочисленные, непрерывные. На переднем крае диска и на шлейфе брюшной створки развит плавный, широкий, синусообразный прогиб.

Описание. Раковина коленчато-изогнутая, крупного размера ($D = 23$ –32 мм) поперечно вытянутая или трапециевидного очертания ($D/W = 0,3$ –0,5), с острыми, оттянутыми в небольшие остроконечия замочными углами. Шлейф коленообразно отогнут в дорзальную сторону. Наибольшая ширина раковины соответствует длине замочного края. Висцеральный диск очень слабовогнуто-выпуклый, междустворчатое пространство низкое.

Брюшная створка коленчато-изогнутая. Макушка маленькая. Арея отчетливая, низкая, апсаклинная. На месте коленчатого изгиба створки развит высокий концентрический валик, отделяющий диск от шлейфа. В пределах висцерального диска створка слабовогнулая. Шлейф резко отгибается в дорзальную сторону, образуя тупой угол, ближе к замочным углам шлейф сильно выполаживается. Высота шлейфа 12–15 мм., которая выдерживается на всем своем протяжении. На переднем крае диска и на шлейфе брюшной створки развита широкая, низкая синусовидная вдавленность.

Спинная створка коленчато-изогнутая. Макушка почти не выделяется. Арея длинная узкая. На диске створка вогнутая.

Скульптура представлена концентрическими валиками и радиальными капиллями. Концентрические валики округлые, правильной формы, четко развитые на всем своем протяжении. Ширина валиков к переднему краю увеличивается. Всего число валиков может доходить до 16, в зависимости от размеров раковины, у переднего края на 0,5 мм насчитывается 4–5 валиков. Самые крайние валики, достигая замочного края, немного изгибаются в сторону ушек. Капилли округлые, промежутки между ними узкие. На переднем крае диска брюшной створки (в средней части) в интервале 5 мм помещаются до 15 капиллей. Увеличение количества капиллей происходит вставлением их на разном расстоянии от замочного края. На шлейфе развита только радиальная скульптура, в виде капиллей – таких же как и на диске.

Внутри брюшной створки низкие зубные пластины. Высокие валики, окружающие мускульное поле, продолжают зубные пластины и заканчиваются близ миофрагмы. Мускульное поле удлиненно-овального очертания, слабовогнутое, занимает 1/3 часть длины раковины. Миофрагма тонкая, невысокая, протягивается до переднего края мускульного поля.

Внутреннее строение спинной створки не наблюдалось.

Размеры в мм и отношения:

№ экз.	Д	Ш	Квал.	Д/Ш
4427/437	22,5	63,7	16	0,35
4427/436	23	70,0	14	0,32
4427/453	22,7	55,0	10	0,41

Изменчивость. Представители вида, отобранные из "черносланцевых" алевролитов и алевропесчаников, значительно вытянутые в ширину, имеют на перегибе высокий валик и высокий шлейф. Формы из светлых известняков и известковистых песчаников имеют более округлую форму раковины, с более упрощенным висцеральным диском и более низким валиком и шлейфом.

Сравнение. От близкой по форме раковины *L. kusbassica* Rzon., 1968 (изображен Грациановой, 1973, табл. XXIX, фиг. 1-5, 7, 8) из алчедатских слоев, Алтая Саянской области наши формы отличаются более вытянутой в ширину раковиной, наличием широкого, низкого синусовидного понижения, развитого на переднем крае диска, а не на всей поверхности висцерального диска, как у сравниваемого вида.

Распространение. Средний девон шивертинские (эйфель), сафоновские слои (живет) Салаира; бельгебашские слои (живет) Горного Алтая; дундтолгайские слои, холдзатийской свиты (живет) Монгольского Алтая.

Материал. 18 экз., из них 12 брюшных и 6 спинных створок. Преимущественно в ядрах, взрослые особи; Монгольский Алтай, 15,8 км западнее-северо-западнее сомона Цаган нур, северный склон озера Буратын, 250 м южнее от абс. отм. 2361 – 14 экз.; хатугольская свита, дундтолгайские слои (живет); правобережье реки Сагсай, район горы Улаан (абс. отм. 2089,5) – 4 экз.; холдзатийская свита (живет).

Leptagonia vladimiri Oleneva, 1998

Табл. II, фиг. 9–14

Leptagonia vladimiri: Оленева, 1998, с. 47, табл. 3, фиг. 1–5.

Голотип – ПИН, № 4427/547; ядро брюшной створки; Монгольский Алтай, верховья руч. Цаган Сала, правого притока р. Хаттугийн, 2,3 км западнее-юго-западнее горы Цаган Сала; верхний девон, низы франского яруса хатугольская свита, зээгтийские слои. Изображен здесь на табл. II, фиг. 9. Хранится: Палеонтологический институт, Москва.

Диагноз. Раковина среднего размера, замочный край с короткими ушками. Концентрические валики немногочисленные. Мускульное поле брюшной створки крупное, занимающее 1/2–1/3 длины висцерального диска. Миофрагма широкая, по центру которой проходит узкий, низкий валик, протягивающийся за пределы мускульного поля.

Описание. Раковина среднего размера ($D = 21$ мм), поперечно вытянутая ($D/W = 0,6$ – $0,8$), коленчато-изогнутая, округленно-четырехугольного очертания, замочные углы в виде коротких остроугольных ушек. Наибольшая ширина раковины соответствует длине замочного края. Висцеральный диск раковины от плоско-выпуклого до слабовогнуто-выпуклого, межстворчатое пространство низкое. Передний край диска прямой. Шлейф высокий; резко отгибаясь в дорзальную сторону, образует угол близкий к прямому.

Брюшная створка коленчато-изогнутая. На месте коленчатого изгиба створки развит концентрический валик, отделяющий диск от шлейфа. Поверхность висцерального диска брюшной створки в примакушечной части выпуклая. У мелких экземпляров выпуклость диска плавно понижается от замочного края раковины к перегибу створки (табл. II, фиг. 9б); у крупных – заметна только в примакушечной части раковины. Макушка маленькая. Арея, низкая, узкая, апсаклинная, в вершине которой находится форамен. Шлейф высотой 6–8 мм, резко отгибается в дорсальную сторону, образуя угол близкий к прямому; вблизи замочных углов шлейф слабо выполаживается. На некоторых экземплярах (№ 4427/550, 4427/545) на поверхности шлейфа заметно слабое синусовидное углубление.

Спинная створка имеет плоский или слабовогнутый висцеральный диск. Арея узкая, низкая. Между диском и шлейфом развит желобок, соответствующий валику брюшной створки.

На диске скульптура представлена концентрическими валиками и пересекающими их многочисленными капиллями. Валики узкие, отчетливые, с узкими промежутками между ними. Вблизи ушек валики слабо отгибаются. На переднем крае на 5 мм помещается 4–5 концентрических валиков, число которых может меняться от 8 до 14. Капилли узкие, округлые, с узкими промежутками между ними. На переднем крае диска брюшной створки (в средней части) в интервале 5 мм помещаются до 15 капиллей. Капилли увеличиваются в числе путем интеркаляции. На шлейфе развита только радиальная скульптура, в виде капиллей, таких же, как и на диске, которые вблизи переднего края дихотомируют (табл. II, фиг. 10).

Внутри брюшной створки выпуклое мускульное поле трапециевидной формы, протягивающееся на 1/2–1/3 длины диска висцерального диска. Невысокие зубные пластины несут массивные зубы. На продолжении зубных пластин протягиваются высокие, широкие валики, ограничивающие мускульное поле, не соединяющиеся между собой и заканчивающиеся вблизи миофрагмы.

Поверхность мускульного поля покрыта тонкими, радиальными, слабо выраженным бороздками. Миофрагма широкая, невысокая, оканчивающаяся у переднего края мускульного поля, по центру ее проходит узкий, низкий валик, протягивающийся за пределы мускульного поля на 4–5 мм.

Внутри спинной створки развит мощный двулопастной замочный отросток, лопасти которого ориентированы постеро-вентрально и разделены между собой желобком. Зубные ямки удлиненные. Брахиофоры представлены широкими, овальными гребнями, следующими вдоль переднего края зубных ямок. Валики, ограничивающие мускульное поле, широкие, низкие. Мускульное поле поперечно вытянутое, субтреугольного очертания, занимающее 1/2 длины диска (табл. II, фиг. 14б). Миофрагма сзади широкая, впереди узкая, выходит за пределы мускульного поля. Валики между передними и задними отпечатками аддукторов ориентированы косо к миофрагме. Задние отпечатки аддукторов вдвое превышают по размеру передние и сложно скульптированы.

Строение висцеральной и генитальной систем не установлено. Внутренняя поверхность створки за пределами мускульного поля покрыта бугорками, расположенным радиальными рядами. Вблизи мускульного поля находятся более крупные бугорки.

Размеры в мм и отношение:

№ экз	Д	Ш	Д/Ш	Квал.
Брюшные створки				
4427/545	18	23	0,7	11
4427/544	18,4	22,4	0,6	10
4427/549	18,5	32	0,50	11
4427/547	21	24,3	0,8	–
Спинные створки				
4427/542	19,3	24,2	0,7	–

Изменчивость выражена в различной выпуклости висцерального диска брюшной створки. У мелких раковин выпуклость плавно понижается от замочного края раковины к перегибу створки, у крупных – заметна только в примакушечной части раковины.

Сравнение. От близкой по форме раковины *L. sinuata* Rzonsnitzkaja (Ржонсницкая, 1937) отличается меньшими размерами раковины ($D = 18$ – 21 против 27 – 30 мм), не отчетливым синусом на шлейфе брюшной створки. От *L. reticulata* Gratz. (Грацианова, 1973) из эйфеля Горного Алтая, отличается меньшими размерами раковины (у сравниваемого вида длина раковины доходит до 30 мм), большей выпуклостью висцерального диска брюшной створки, наличием узкого валика на поверхности миофрагмы брюшной створки, выходящим за границы мускульного поля.

Распространение. Верхний девон (нижний фран), зээгтийнские слои Монгольского Алтая.

Материал. 37 экз.: 20 брюшных и 17 спинных створок, представленные преимущественно в ядрах, раковинное вещество сохранилось частично, местонахождение как у голотипа.

Leptagonia sp.I

Табл. II, фиг. 6-8

Описание. Раковина коленчато-изогнутая, крупного размера ($D = 26-35$ мм) поперечно вытянутая, ($D/W = 0,5-0,6$) округленно-прямоугольного очертания. Шлейф коленообразно изогнут в дорсальную сторону. Наибольшая ширина раковины соответствует длине замочного края. Висцеральный диск слабовогнуто-выпуклый, межстворчатое пространство низкое.

Брюшная створка коленчато-изогнутая. Макушка маленькая. Арея отчетливая, низкая (до 3 мм), апсаклинная. Характер дельтирия на нашем материале не наблюдался. На месте коленчатого изгиба створки развит высокий, широкий концентрический валик. В пределах диска створка плоская или слабовогнуто-выпуклая. Шлейф резко отгибается в дорсальную сторону, образуя тупой угол, ближе к замочным углам шлейф выполаживается. Высота шлейфа доходит до 14 мм.

Скульптура представлена концентрическими валиками и пересекающими их тонкими радиальными капиллями. Валики округлые, широкие, немногочисленные, промежутки между ними широкие, достигают ширины самих валиков. Количество валиков на крупных экземплярах не превышает 8-10, самые крайние валики, достигая замочного края, немного отгибаются в сторону замочных углов. Капилли округлые, промежутки между ними узкие. На переднем крае диска брюшной створки в интервале 5 мм помещаются до 12 капиллей. Увеличение количества капиллей происходит вставлением их на разных расстояниях от замочного края. На шлейфе развиты только капилли, такие же как и на диске.

Внутри брюшной створки крупное мускульное поле, занимающее 1/2 длины раковины. Валики, окружающие мускульное поле, продолжают зубные пластины и заканчиваются близ миофрагмы, между собой не соединяясь. По гребню миофрагмы проходит низкое, короткое ребро, на 1/2 не доходящее до конца миофрагмы. Миофрагма очень широкая, низкая, к переднему краю мускульного поля немного повышается (табл. II, фиг. 7, 8). Внутренняя поверхность створки за пределами мускульного поля покрыта радиальными бугорками.

№ экз	Д	Ш	Т	Д/Ш	Квал.
4427/440	-	40	-	-	-
4427/433	26	44	9,0	0,6	10
4427/442	27	55	-	0,5	9

Размеры в мм и отношения:

Сравнение. Рассматриваемая форма близка к *L. sinuata* Rzon., от которого отличается отсутствием синусовидного понижения и немногочисленными валиками наружной скульптуры (8 против 16 у сравниваемого вида). От *L. kusbassica* Rzon. (изображен Грациановой, 1973, табл. XXIX, фиг. 1-5, 7, 8) отличается прямоугольной формой и немногим меньшим числом концентрических валиков, у сравниваемого вида их число доходит до 12.

Распространение. Средний девон (живет), холдзатийская свита Монгольского Алтая.

Материал: 4 экз.: 1 неполная раковина и 3 брюшные створки; левобережье реки Сагсай, в 550 м северо-северо-западнее горы Хурэн Толгой – 3 экз.; холдзатийская свита (живет); правобережье р. Сагсай, район горы Улаан (абс. отм. 2089,5), там же.

Leptagonia sp.II

Табл. I, фиг. 17-19

Описание. Раковина коленчато-изогнутая, среднего и крупного размера ($D = 23-33$ мм) от поперечно вытянутой, до округленно-четырехугольного очертания ($D/W = 0,5-0,8$) с хорошо развитыми кардинальными ушками. Шлейф коленообразно отогнут в дорсальную сторону. Наибольшая ширина раковины соответствует длине замочного края. Висцеральный диск слабовогнуто-выпуклый, межстворчатое пространство низкое.

Брюшная створка коленчато-изогнутая. Макушка маленькая. Арея отчетливая, низкая (до 3 мм), апсаклинная. Дельтирий выпуклый закрыт выпуклым псевдолельтидием. На месте коленчатого изгиба створки развит невысокий, узкий концентрический валик. В пределах висцерального диска створка плоская или слабовогнуто-выпуклая. Шлейф резко отгибается в дорсальную сторону образуя тупой угол, ближе к замочным углам шлейф выполаживается. Высота шлейфа до 11 мм.

Спинная створка на диске вогнутая. Между диском и шлейфом развит желобок, соответствующий валику брюшной створки.

Скульптура представлена неправильными, прерывистыми концентрическими валиками и пересекающими их тонкими радиальными капиллями. Валики округлые, узкие, количество которых доходит до 18, вблизи замочных углов валики тесно сближены. Капилли округлые, промежутки между ними узкие. На переднем крае диска брюшной створки в интервале 5 мм помещаются до 18 капиллей.

Внутри спинной створки – мощный двулопастной замочный отросток, его лопасти ориентированы постеро-вентрально и разделены между собой желобком. Зубные ямки удлиненные, узкие. Брахиофоры представлены широкими, овальными, высокими пластинами, следующими вдоль переднего края зубных ямок. Валики ограничивающие мускульные отпечатки продолжаются впереди мускульного поля. Мускульное поле поперечно вытянутое, занимающее 1/2 длины диска. Внутренняя поверхность створки за пределами мускульного поля покрыта бугорками. Вблизи мускульного поля находятся более крупные бугорки.

Размеры в мм и отношения:

№ экз	Д	Ш	Д/Ш	Квал.
4427/431	23	36	0,6	-
4427/438	23	43,1	0,5	18
4427/434	33,2	40,8	0,8	16

Сравнение. Описываемая форма наиболее близка по строению к *L. orientalis* Aleks., (1981, с. 45, табл. VIII, фиг. 6-10; табл. IX, фиг. 8-12) из чулунского горизонта (эмс) Северо-Восточной Монголии, от которой отличается большим числом (15-18 против 8-10) и более узкими концентрическими валиками. От *L. reticulata* Gratz. (Грацианова, 1973, с. 110, табл. XXVIII, фиг. 1-4, 6, 7) из малокоргонских слоев (эйфель) Горного Алтая отличается более крупной раковиной, формой наружной скульптуры, у сравниваемого вида пересечение концентрической и радиальной скульптуры создает вид мелкой сетки, что не отмечается на нашем материале. От *L. goldfussiana* (Barrande) из пражского яруса Чехословакии (Havlicek, 1967, с. 103, табл. XXVII, фиг. 10-18) отличается меньшими размерами раковины, меньшим числом концентрических валиков (15-18 против 22-24).

Распространение. Нижний-средний девон (эмс-эйфель), кошкарлыгские слои Монгольского Алтая.

Материал: 7 брюшных и 1 спинная створка; 20 км севернее сомона Улэгей, 500 м севернее горы Матигар, хатугольская свита, кошкарлыгские слои (верхний-эмс-эйфель).

СЕМЕЙСТВО STROPHEODONTIDAE CASTER, 1939

ПОДСЕМЕЙСТВО LEPTOSTROPHIINAE CASTER, 1939

Род Leptostrophiella Hall et Boucot, 1978

Leptostrophiella bayrimica (Alekseeva, 1981)

Табл. III, фиг. 1-7

Leptostrophia bayrimica: Алексеева, 1981, с. 60, табл. XI, фиг. 9; табл. XIV, фиг. 1-9; табл. XV, фиг. 1-2.

Голотип — ПИН, № 3406/198; ядро брюшной створки; Северо-Западная Монголия, правый берег р. Байрим Хэбийн Булак, разрез В, слой 2; верхнетургейская подсвита; нижний девон (верхняя прага). Изображен на табл. XIV, фиг. 3. Хранится: Палеонтологический музей, Москва.

Дагнон. Раковина среднего и крупного размера, плоско-слabовыпуклая, полуокруглого очертания. Замочный край с длинными мелкими зубчиками, расположеными по всей его длине. Кардинальные углы тупые или образуют прямой угол. Вентральное мускульное поле большое, треугольной формы. На брюшной створке костеллы округленно-угловатые, на спинной — плоскоокругленные.

Описание. Раковины крупного размера ($D = 28-40$ мм) плоско-выпуклые, округленно-четырехугольные, слабовытянутые в ширину ($D/W = 0,6$). Замочный край длинный, равен или на 1-2 мм короче наибольшей ширины раковины. Кардинальные углы прямые или слабоокруглые. Боковая и передняя комиссуры округлые. Межстворчатое пространство низкое.

Брюшная створка слабо равномерно выпуклая с почти плоскими боковыми и передними склонами. Макушка слаборазвитая. Арея низкая, (до 3 мм) апсаклинная, занимает всю длину замочного края. По краю ареи находятся мелкие зубчики, расположенные по всей длине ареи. Форма дельтирия не наблюдалась.

Спинные створки плоские. Арея вдвое ниже, чем вентральная арея, линейная, анаклинина. По краю ареи видны мелкие ямки, соответствующие зубчикам брюшной створки.

Скульптура представлена многочисленными округленно-угловатыми костеллами, разделенными узкими промежутками. Число костелл увеличивается вставлением 2-4 тончайших капилей на разных расстояниях от макушки. Вблизи переднего края толщина всех капилей становится одинаковой, на 5 мм здесь их насчитывается до 20, всего количество капилей у крупных раковин доходит до 250. Промежутки между капиллями покрыты тонкими, частыми линиями нарастания. На спинных створках — капилли угловато-округлые, с более широкими промежутками между ними, чем на брюшной створке, вблизи переднего края на 5 мм насчитывается 10 капиллей. На некоторых раковинах брюшных створок заметны неправильные, прерывистые морщины. На пересечении морщин, костеллы становятся приподнятыми, узловатыми (табл. III, фиг. 7б). Число морщин может доходить до 5-7.

Внутри брюшной створки большое мускульное поле субтреугольного очертания, занимающее 1/2 длины раковины. В примакушечной части створки, впереди дельтирия, развиты три валика: два коротких, ограничивающих с боковых сторон мускульное поле, и один длинный, продольный, делящий мускульные отпечатки по середине и достигающий переднего края мускульного поля. Валики, окружающие мускульное поле, образуют угол 60-70°, границы переднего края на нашем материале выражены не отчетливо. Мускульное поле крупное, ширина его на 3-5 мм меньше его длины. Аддукторные отпечатки короткие, удлиненно-овальной формы, достигают 1/4 длины мускульного поля, с тонкой, дендроидной скульптурой. Дидукторы большие, веерообразные, разделены радиальными ребрышками на несколько лопастей. На каждой половине мускульного поля насчитывается 6-7 радиальных ребер. За пределами мускульного поля расположены мелкие бугорки, покрывающие всю внутреннюю поверхность раковины, расположенные радиальными рядами, более крупные бугорки располагаются по гребню боковых валиков.

Размеры в мм и отношения:

№ экз.	Д	Ш	Д/Ш
4427/571	20	32,5	0,6
4427/464	28	44,3	0,6
4427/462	38	58	0,6

Изменчивость выражена слабо, варьируют очертания раковины от удлиненно-округлых до слабо вытянутых в ширину, выпуклость брюшной створки, изменяется от плоской до слабовыпуклой. У некоторых раковин появляются короткие, прерывистые, концентрические валики.

Сравнение. От *L. latefurcata* Gratzianova, (Грацианова, 1975, с. 34, табл. VIII, фиг. 1-6) отличается более частыми капиллями до 20 на 5 мм против 5-6 у сравниваемого вида.

Распространение. Нижний девон (прага-эмс), ошигинские слои Северо-Западной Монголии; нижний-средний девон (верхний эмс-эйфель) нижнебардамольская подсвита, хатугольская свита Монгольского Алтая.

Материал. 16 экз., из них 12 брюшных, 4 обломка спинных створок, представленных отпечатками и ядрами. Монгольский Алтай, правобережье р. Сагсай, 11,5 км юго-восточнее сомона Буянт, 4 км юго-восточнее абс. отм. 2492 — 10 экз.; нижнебардамольская подсвита (эмс); 18,5 км севернее сомона Улэгей, 500 м севернее горы Матигар — 6 экз.; хатугольская свита, кошкарлыгские слои (верхний эмс-эйфель).

Leptostrophia sp.

Табл. IV, фиг. 2-4

Описание. Раковина среднего и крупного размера ($D = 23-45$ мм) слабово-выпуклая, округленно-четырехугольного очертания, слабо поперечно вытянутая ($D/W = 0,7$). Замочный край длинный, равен или немного короче наибольшей ширины раковины. Кардинальные углы образуют прямой угол или слабо округлены. Боковая и передняя комиссуры округлые. Межстворчатое пространство низкое.

Брюшная створка слабо равномерно выпуклая, боковые и передние склоны слабо дорзально изгибаются. Макушка слабо развитая. Арея низкая, (до 1-1,5 мм) апсаклинная, занимает всю длину замочного края. По краю ареи находятся мелкие зубчики, доходящие до конца раковины. Дельтирий узкий, закрытый выпуклым псевдодельтидием (табл. IV, фиг. 2а).

Спинная створка слабовогнутая. Арея линейная, в два раза ниже, чем вентральная.

Скульптура представлена многочисленными угловато-округлыми костеллами, разделенными равными им по размеру промежутками. Количество костелл увеличивается вставлением 1-2 тончайших капилей на разных расстояниях от макушки. Вблизи переднего края толщина всех костелл становится одинаковой, на 2 мм здесь насчитывается до 7 костелл. На крупных экземплярах расстояние между костеллами вблизи переднего края увеличивается в два раза.

Внутри брюшной створки короткое мускульное поле субтреугольного очертания, занимающее 1/3 длины раковины. От замочного края кпереди отходят три валика: два коротких, ограничивающих с боковых сторон мускульное поле, и один длинный, продольный, доходящий до конца мускульного поля, передний край поля не ограничен. Валики окружающие мускульное поле, расходятся под углом 80°. За пределами мускульного поля расположены мелкие бугорки, покрывающие радиальными рядами всю внутреннюю поверхность раковины.

Внутреннее строение спинной створки не установлено.

Размеры в мм и отношения:

№ экз.	Д	Ш	Т	Д/Ш
4427/469	23,3	31,4	0,5	0,7
4427/468	36,6	x2-48	-	0,8
4427/467	44,5	-	-	-

Сравнение. От *L. bayrimica* Aleks. (Алексеева, 1981, с. 60, табл. XI, фиг. 9, табл. XIV, фиг. 1-9, табл. XV, фиг. 1-2) отличается формой мускульного поля, широким расстоянием между струйками вблизи переднего края раковины, отсутствием концентрических валиков.

Распространение. Средний девон (живет); холдзатийская свита Монгольского Алтая.

Материал. 6 экз., из них 1 – целая раковина и 5 обломков брюшных створок. Монгольский Алтай, левобережье реки Сагсай, 550 м северо-западнее горы Хурэн Толгой (абс. отм. 1883,1) – 4 экз.; холдзатийская свита (живет); правобережье р. Сагсай, 2 км северо-северо-восточнее перевала Бугучийн Даваа – 2 экз.; там же.

Род *Proteleptostrophia* Caster, 1939

Proteleptostrophia explanata (Sowerby), 1842

Табл. III, фиг. 8-10; табл. IV, фиг. 1

Leptaena explanata: Sowerby, 1842, с. 409, табл. 38, фиг. 15.

Strophomena (Leptostrrophia) explanata: Drevermann, 1902, с. 115, табл. XIV, фиг. 18, 18a, 19.

Proteleptostrophia explanata: Каплун, 1961, с. 78, табл. IX, фиг. 1-3.

Leptostrrophia explanata: Jahnke, 1971, с. 55, табл. 3, фиг. 1-4.

Голотип. Брюшная створка, изображенная Соверби (Sowerby, 1842, с. 409, табл. 38, фиг. 15), из нижнего девона (эмс) Рейнской провинции. Выбран Janke (1971, с. 6).

Диагноз. Раковина крупных размеров, полуокруглых или округленно-прямоугольных очертаний. Слабовогнуто-вытянутая, до плоско-выпуклой с длинным замочным краем. Радиальная скульптура неравномерная, заметна узловатость, концентрические валики развиты слабо. Вентральное мускульное поле большое, отпечатки дидукторов рассечены радиальными ребрышками на ряд лопастей. Приямочные пластины отсутствуют.

Описание. Раковина крупная ($D = 31-39$ мм) от слабовогнуто-выпуклой до плоско-выпуклой, полуокруглого или немного поперечно вытянутого очертания, ($D/W = 0,6-0,7$). Замочный край длинный, равен или немного меньше наибольшей ширины раковины. Кардиальные углы чаще округлые. Боковая и передняя комиссуры округлые. Межстворчатое пространство низкое.

Брюшная створка слабо равномерно выпуклая с почти плоскими боковыми и передним склонами. Замочный край немного меньше наибольшей ширины раковины, по всей длине замочного края расположены мелкие зубчики. Характер дельтирия на нашем материале не наблюдался.

Скульптура представлена многочисленными костеллами, разделенными узкими промежутками, количество которых увеличивается вставлением тончайших капиллей на разном расстоянии от макушки. Вблизи переднего края толщина всех капиллей между собой становится одинаковой, на 5 мм здесь насчитывается до 15-18 капиллей.

Внутри брюшной створки большое мускульное поле субтреугольного очертания. В примакушечной части створки, впереди дельтирия, находится прямоугольная или ромбовидная, приподнятая над поверхностью створки, площадка, служащая местом прикрепления аддукторов, от которой вперед отходят три валика: два

коротких ограничивающие с боковых сторон мускульное поле и один длинный, продольный, делящий по середине мускульные отпечатки и достигающий переднего края мускульного поля. Наибольшая ширина мускульного поля может доходить до 26 мм, что на 5-8 мм больше его длины, занимая таким образом до 2/3 ширины створки. Боковые валики, окружающие мускульное поле, между собой расходятся под углом 85-90° и ограничивают мускульное поле только в задней его половине, передний край отчетливо выражен. Аддукторные отпечатки короткие, ромбовидные, достигают 1/4 длины мускульного поля, с тонкой, дендроидной скульптурой. Дидукторы большие, веерообразные, разделены на несколько лопастей. На каждой половине мускульного поля насчитывается 9-11 мускульных лопастей, из которых 5-6 коротких, доходящих только до половины длины поля. За пределами мускульного поля расположены бугорки. Более мелкие бугорки покрывают всю внутреннюю поверхность и ориентированы радиальными рядами.

Внутри спинной створки двухлопастной замочный отросток, поддерживающий невысоким коротким валиком, приямочные пластины отсутствуют (табл. III, фиг. 9). Мускульное поле полуovalное, ограниченное сзади и с боков высокими валиками, в передней части мускульное поле не ограничено и сливается с поверхностью створки.

Размеры в мм и отношения:

№ экз.	Д	Ш	Т	Д/Ш
4427/469	23,3	31,4	0,5	0,7
4427/468	36,6	x2-48	—	0,8
4427/467	44,5	—	—	—

Изменчивость слабо выражена, проявляется в выпуклости брюшной створки, изменяющейся от плоской до слабо выпуклой.

Сравнение. От дальневосточных форм, описанных как *P. perplana* (Сопг.) (Модзалевская, 1969, с. 77, табл. XLVII, фиг. 1,2) отличается округлыми кардиальными углами, отсутствием концентрических валиков. От казахстанских форм *P. explanata* (Каплун, 1961, с. 78, табл. IX, фиг. 10; табл. X, фиг. 1-3), отличаются меньшим размером раковины ($D = 31-39$ против $53-64$).

Распространение. Нижний девон (прага-нижний эмс), сарджальский горизонт Казахстана; “зигенский ярус” Западной Европы; верхнебардамольская подсвита (нижний эмс-эйфель) Монгольского Алтая.

Материал. 10 экз., из них 9 брюшных и 1 спинная створка, представленных ядрами и отпечатками. Монгольский Алтай, р-н р. Шара Гоби, обн. 40/13 (сборы А.Б. Дергунова); верхнебардамольская подсвита (нижний эмс-эйфель).

НАДСЕМЕЙСТВО STROPHEODONTOIDEA CASTER, 1939

СЕМЕЙСТВО DOUVILLINIDAE CASTER, 1939

ПОДСЕМЕЙСТВО MESODOUVILLININAE HARPER, ET BOUCOT, 1978

Род *Tsaganella* Oleneva, 1993

Tsaganella plana Oleneva, 1993

Табл. IV, фиг. 5-10; табл. V, фиг. 2, 3

Tsaganella plana: Оленева, 1993, с. 50, табл. IV, фиг. 1-6.

Голотип – ПИН, № 4427/210; ядро брюшной створки; Монгольский Алтай, 14,7 км западнее-юго-западнее сомона Цаган нур, район горы Хар Толгой (в.о. 2439,9); хатугольская свита, дундтолгойские слои; средний девон, живет. Изображен здесь на табл. IV, фиг. 10. Хранится: Палеонтологический музей, Москва.

Диагноз. Раковина среднего и крупного размера, слабовыпуклая. Между двумя тонкими костеллами на 1 мм насчитывается 7 капиллей. На поверхности раковины наблюдаются тонкие, редкие концентрические линии роста.

Описание. Раковина среднего и крупного размера ($D = 18-25$ мм), округленно-четырехугольного начертания, слабовыпуклая. Длина замочного края равна наибольшей ширине раковины. Замочные углы вытянутые в небольшие ушки или прямые.

Брюшная створка слабовыпуклая в задней части створки, в переднебоковых частях уплощенная. Макушка маленькая. Вентральная арея плоская, высотой 1,5-2,0 мм, апсаклинина, с тонкой вертикальной насечкой, расположенной по сторонам от дельтирия. Дельтирий узкий, треугольный.

Спинная створка плоская, в передней части слабо дорсально изгибается. Макушка не выражена. Арея низкая, линейная, нототирий узкий. Мелкие зубчики расположены на 1/3-2/3 длины замочного края.

Поверхность раковины покрыта тонкими костеллами и капиллами. Между двумя костеллами вставлены две-три капилля. В заднебоковых частях раковины костеллы тесно сближены, здесь на 1 мм насчитывается шесть-семь костелл, у переднего края их три-четыре. По периферии раковины наблюдаются отчетливые, тонкие, редкие концентрические линии роста.

Внутри брюшной створки широкий вентральный отросток, соединяющийся с септальным валиком. Двухлопастное мускульное поле удлиненно-овальной формы протягивается до середины длины раковины. Мускульное поле окружено высокими узкими валиками, расходящимися от замочного края под углом 50-60°. Валики с боковых сторон высокие, у переднего края они становятся более низкими и повернутыми к середине до соединения с узким низким септальным валиком (табл. IV, фиг. 9, 10). Аддукторы узкие, короткие, слаборазвитые в задней части мускульного поля.

Внутри спинной створки двухлопастной замочный отросток, имеющий задневентральное направление. Длинные приямочные пластины лежат по сторонам от основания замочного отростка под углом 35° к замочному краю. От замочного отростка отходят низкие, широкие, дугообразно изогнутые валики, ограничивающие мускульное поле (табл. IV, фиг. 6-8). Септальный валик короткий, узкий. От заднего конца валика отходят субмедиальные гребни. Бревисепта низкая, узкая, протягивается немного дальше слаборасходящихся субмедиальных гребней. На поверхности последних густо расположены крупные бугорки. Вокруг мускульного поля находятся мелкие, хаотично расположенные бугорки. На некоторых створках параллельно замочному краю наблюдаются невысокие кардинальные гребни.

Размеры в мм и отношение:

№ экз.	Д	Ш	Т	Д/Ш
Брюшные створки				
4427/207	19	29	-	0,7
4427/206	26	34	3	0,8
4427/210	24	32	2	0,7
Спинные створки				
4427/219	20	22	-	0,9
4427/188	23	35	-	0,6

Возрастная изменчивость незначительная: у более молодых экземпляров ($D = 12-15$) форма раковины округлая, изометрическая, внутри брюшной створки передний край мускульного поля слабо ограничен.

Род монотипичный.

Распространение. Средний девон (живет), дундтолгойские слои хатульской свиты Монгольского Алтая.

Материал. 59 экз., из них 44 брюшных и 15 спинных створок из одного места нахождения, преимущественно в виде отпечатков и ядер; местонахождение как у голотипа.

ПОДСЕМЕЙСТВО PROTODOUVILLINAE HARPER ET BOUCOT, 1978

Род *Protodouvillina* Harper et Boucot, 1978

Protodouvillina matigarensis Oleneva, 1993

Табл. V, фиг. 1,4-8

Protodouvillina matigarensis: Оленева, 1993, с. 51, табл. IV, фиг. 12-15.

Голотип — ПИН, № 4427/310; ядро брюшной створки; Монгольский Алтай, 18,5 км северо-северо-западнее сомона Улэгей, 500 м севернее горы Матигар (абс. отм. 2469,2); хатульская свита, кошкарлыгские слои (верхний эмс-эйфель); Изображен здесь на табл. V, фиг. 4. Хранится: Палеонтологический музей, Москва.

Диагноз. Небольшого размера, слабовогнуто-выпуклая раковина. Замочные углы с небольшими ушками. Замочный край зазубрен не на всю длину. Внутри брюшной створки двухлопастное мускульное поле, разделенное широким срединным валиком, с боковых сторон и спереди ограниченное высокими валиками. Скульптура в виде костелл и капиллей.

Описание. Раковина слабовогнуто-выпуклая, небольшого размера ($D = 16-20$ мм), округленно-четырехугольной формы. Замочные углы острые, вытянутые в небольшие ушки. Брюшная створка сильно выпуклая, полушироковидная. Арея апсаклинина, высотой 1,5-2,0 мм. Макушка невысокая, слабо выступающая над поверхностью створки. Замочный край прямой, зазубренный на 2/5 своей длины, на продолжении зубчиков по сторонам от дельтирия отмечается тонкая вертикальная штриховка. Дельтирий очень узкий, треугольный, псеводельтирий не наблюдается. Спинная створка слабовогнутая, наибольшая вогнутость отмечается в передней половине створки, боковые стороны уплощены, вблизи переднего края створка плавно, но круто перегибается дорсально, повторяя таким образом профиль брюшной створки. Арея узкая, ортаклинина, хилия не наблюдается. Макушка не выражена. Замочный край зазубрен на 2/5 своей длины.

Скульптура представлена костеллами и капиллями. Костеллы более отчетливо выражены у переднего края раковины, у более крупных экземпляров насчитываются более 40. В поперечном сечении костеллы острые, высокие, промежутки между ними вогнутые, между парой костелл вставлены четыре-шесть капиллей. Микроскульптура состоит из тончайших тесно расположенных концентрических струек, не заходящих на вершинки костелл.

Внутри брюшной створки узкий, вентральный отросток. Мускульное поле двухлопастное, удлиненно-овальной формы, лопасти которого разделены широким срединным валиком, не доходящим до конца мускульного поля. Мускульное поле протягивается на 1/2-2/3 длины створки и окружено с боковых сторон и спереди высокими валиками, расходящимися от замочного края под углом 40-50°. У переднего края валики, закругляясь, поворачиваются к середине до соединения с септальным валиком. Аддукторы удлиненно-овальные, короткие, отчетливо выраженные.

В спинной створке двухлопастной замочный отросток, дистальные части которого рассечены глубокими узкими желобками (табл. V, фиг. 8 а, б). Приямочные пластины низкие, короткие, близко расположенные к замочному отростку. Мускульное поле удлиненное, окружено с боковых сторон длинными узкими валиками, которые протягиваются спереди параллельно субмедиальным гребням до середины их длины. Субмедиальные гребни узкие, прямые, начинаются от переднего края короткого валика. Гребни между собой образуют угол 15-20°, протягиваясь немного дальше короткой бревисепты, и доходят до середины длины створки. На поверхности субмедиальных гребней расположены крупные бугорки. Вокруг мускульного поля находятся более мелкие бугорки, расположенные хаотично.

Размеры в мм и отношения:

№ экз.	Д	Ш	Т	Д/Ш
Брюшные створки				
4427/233	16	30	4	0,5
4427/224	18	32	6	0,5
4427/225	20	22	6	0,9
4427/310	21	× 2-24	7	0,9
Спинные створки				
4427/300	19	21	-	0,9

Сравнение. От типового вида *Protodouvillina inaequistriata* (Congr., 1942), рекламированного Ч. Харпер и А. Буко (1978, с. 138, табл. 25, 26), новый вид отличается слабовогнутым профилем раковины и отчетливо ограниченным с боковых сторон и спередиentralным мускульным полем. От *P. grandicula* (Gratzianova) (Грацианова, 1975, с. 53, табл. XIV) отличается меньшим размером раковины и более широким срединным валиком брюшной створки, который в отличие от сравниваемого вида своим передним концом не выходит за границу мускульного поля.

Распространение. Нижний–средний девон (верхний эмс–эйфель); кошкарлыгские слои хатугольской свиты Монгольского Алтая.

Материал. 24 экз.: 6 спинных и 18 брюшных створок, представленных преимущественно отпечатками. Местонахождение как у голотипа.

ПОДСЕМЕЙСТВО DOUVILLININAE CASTER, 1939

Род Douvillinoides Harper, Boucot, 1978

Douvillinoides singularis Oleneva, 1993

Табл. V, фиг. 9–15

Douvillinoides singularis: Оленева, 1993, с. 53, табл. IV, фиг. 7–10.

Голотип – ПИН, № 4427/216; ядро брюшной створки; Монгольский Алтай, севернее сомона Цаган нур, устье правого борта распадка Урт Зуух, 3,2 км от горы Ямаат, (абс. отм. 2812); цагансаласская свита; изображен здесь на табл. V, фиг. 10 а, б. Хранится: Палеонтологический музей, Москва.

Диагноз. Небольшая, слабовогнуто–выпуклая раковина. Замочный край с мелкими зубчиками не доходящими до его концов. Наружная скульптура в виде костелл, между которыми находятся 1–2 капилли.

Описание. Раковина слабовогнуто–выпуклая, среднего размера ($D = 21$ – 26 мм), округленно–треугольного очертания. Наибольшая ширина раковины соответствует длине замочного края. Замочные углы острые, редко прямые. Брюшная створка слабовыпуклая, наибольшая выпуклость приурочена к средней части створки, которая к переднему краю плавно выполаживается. Макушка низкая, почти не выступает над поверхностью замочного края. Арея плоская, высотой 1,0–1,5 мм апсаклинная. Дельтирий узкий, треугольный. Внутренний край ареи за зубрен на 2/3 длины. Спинная створка слабовогнутая. Макушка не выражена, арея низкая, от орто– до апсаклинной. Мелкие зубчики, как и в брюшной створке на 1/3 не доходят до конца замочного края. Нототирий узкий, треугольный.

Поверхность раковины покрыта костеллами и капиллами. На 1 мм насчитываются две костеллы. Между двумя костеллами находятся одна–две капилли (табл. V, фиг. 14).

Внутри брюшной створкиentralный отросток соединяется с septальным валиком, доходящим до переднего конца мускульного поля. Валик низкий, узкий, в передней части немного расширенный. Мускульное поле вытянутое в ширину, трапециадальной формы, занимает 1/3–1/4 части длины раковины. С боковых сторон

и спереди мускульное поле окружено рельефными высокими валиками, передняя его граница у некоторых экземпляров параллельна замочному краю створки.

Адукторы короткие, вытянутые продольно по сторонам septального валика. Внутри спинной створки находятся двухлопастной замочный отросток и приемочные пластины, лежащие к замочному краю под углом 25–30°. Мускульное поле ограничено с боковых сторон низкими, короткими, дугообразно изогнутыми валиками. Септа низкая, широкая, на переднем крае раздувается. Раздвоенные концы септы между собой образуют угол 20–25° и протягиваются вперед на 2–5 мм. Внутренняя поверхность створки за пределами мускульного поля покрыта мелкими, хаотично расположеннымми бугорками.

Размеры в мм и отношения:

№ экз.	Д	Ш	Т	Д/Ш
--------	---	---	---	-----

Брюшные створки

4427/212	22	25	2,5	0,9
4427/216	26	30	3	0,9
4427/219	25,5	34	-	0,7

Спинные створки

4427/240	21	26	-	0,8
4427/217	24	28	-	0,8

Сравнение. От типового вида *Douvillinoides kickmay* Pedder, (1960, с. 212, табл. 36, фиг. 7–11) отличается отсутствием резупинантности раковины, в 1,5–2 раза большим ее размером и редко расположеннымми костеллами; у сравниваемого вида на 1 мм насчитывается четыре–шесть костелл, в то время как у описываемого вида на 1 мм всего два.

Распространение. Верхний девон (нижний фран), цагансаласская свита Монгольского Алтая.

Материал. 68 экз., из них 48 брюшных и 20 спинных створок, преимущественно отпечатки и ядра. Местонахождение как у голотипа.

НАДСЕМЕЙСТВО DAVIDSONIOIDEA KING, 1850

СЕМЕЙСТВО SCHUCHERTELLIDAE WILLIAMS, 1953

Род Eoschuchertella Gratzianova, 1974

Eoschuchertella chemungensis (Conrad), 1843

Табл. VI, фиг. 1–5

Streptorhynchus chemungensis: Hall, 1867, с. 67, табл. X, фиг. 1–26.

Schuchertella chemungensis: Наливкин 1937, с. 39, табл. III, фиг. 10–12, Грацианова, 1960, с. 441, табл. Д-69, фиг. 1–2.

Голотип не указан.

Диагноз. Раковина небольшого размера, плоско–слабовыпуклая, от попечечно–полуэллиптической до полуокруглого очертания. Макушка брюшной створки высокая, прямостоящая, отклоняющаяся вентрально. Концентрические знаки роста находящиеся на ребра.

Описание. Раковина небольшого размера ($D = 10$ – 18 мм), плоско–слабовыпуклая, реже слабовояковыпуклая, чаще вытянутая в ширину, попечечно–полуэллиптической формы ($D/W = 0,5$ – $0,8$). Наибольшая ширина раковины, измеренная в 1/3 ее длины немного больше длины замочного края. Кардиальные углы и боковые комиссуры округлые.

Брюшная створка значительно выпуклая лишь в примакушечной части, вблизи переднего края слабовогнутая. Макушка маленькая, прямостоящая, острая, отклоняющаяся вентрально. Арея высокая, резко ограниченная, плоская, апсаклинная. В средней части треугольный дельтирий на цело перекрыт выпуклым дельтидием.

Спинная створка плоская или слабо равномерно выпуклая. Арея очень узкая, линейная. Синус и седло отсутствуют. Скульптура представлена угловатыми, узкими костеллами, разделенными промежутками немного шире самих костелл. Число костелл увеличивается дихотомическим делением, заметное примерно с середины длины раковины. Вблизи края на 5 мм насчитывается 8–10 костелл, общее их число может доходить до 80. В промежутках между костеллами заметны поперечные, частые, тонкие выпуклые линии нарастания, находящиеся на поверхность ребер, на 1 мм вблизи переднего края насчитывается 3–4 таких линий.

Внутри брюшной створки находятся небольшие зубы. Мускульное поле на нашем материале не выражено.

Внутри спинной – зубные ямки, короткий двухлопастной замочный отросток. К основанию кардинального отростка примыкают широко расходящиеся, слабоизогнутые брахиофоры образующие между собой угол более 90° . Между основаниями ветвей которых на некоторых экземплярах замечен маленький узелок. Впереди узелка на 1/4 длины раковины протягивается валикообразная срединная септа, мускульное поле выражено слабо.

Размеры в мм и отношения:

№ экз.	Д	Ш	Дз.к	Д/Ш
--------	---	---	------	-----

Брюшные створки

4427/415	10	$\times 2$	20	—	0,5
4427/414	16	$\times 2$	18	—	0,9

Спинные створки

4427/412	12,4	32	24	0,4
4427/413	15	29	23,5	0,5
4427/411	18,5	32	—	0,6

Сравнение. От типового вида *E. popovi* Gratz. (Грацианова, 1974, с. 83, табл. XIII, фиг. 1–9) из эйфельских отложений отличается более вытянутой в ширину формой раковины, более редко расположеннымми костеллами 1–2 на 2 мм, в то время как у сравниваемого вида на 2 мм насчитывается 5 костелл, а также поперечными концентрическими линиями нарастания, находящими на поверхность костелл, что не отмечено для вида *E. popovi*.

Распространение. Верхний живет–фран Кузнецкого бассейна, Горного Алтая, Дальнего Востока, Северного Китая, Северной Америки; верхний девон (нижний фран) Монгольского Алтая.

Материал. 27 экз., из них 10 брюшных и 17 спинных створок в ядрах и отпечатках. Монгольский Алтай, 4 км севернее сомона Цаган нур, устье правого борта распадка Урт Зуух, 3,2 км северо-западнее горы Ямат (абс. отм. 2812); цаганская свита (низы франа).

ОТРЯД CHONETIDA

НАДСЕМЕЙСТВО CHONETOIDEA BRONN, 1862

СЕМЕЙСТВО RUGOSOCHONETIDAE MUIR-WOOD, 1962

ПОДСЕМЕЙСТВО RUGOSOCHONETINAE MUIR-WOOD, 1962

Род *Dagnachonetes* Afanasjeva, 1978

Dagnachonetes (?) *dundensis* Oleneva, 1993

Табл. VI, фиг. 6–14

Dagnachonetes (?) *dundensis*: Оленева, 1993, с. 54, табл. 4, фиг. 16–18.

Голотип: ПИН, № 4427/67; ядро спинной створки; Монгольский Алтай, 19 км южнее аймака Улэгей, 2,5 км юго-западнее горы Дунд Толгой; хат-

угольская свита дундтолгойские слои; средний девон, живет. Изображен здесь на табл. VI, фиг. 10. Хранится: Палеонтологический музей, Москва.

Диагноз. Небольшие раковины. Длина замочного края равна или немного меньше наибольшей ширины раковины. В спинной створке пятилопастный замочный отросток. Наружная скульптура в виде тонких капилл, которые при раздваивании немного утолщаются.

Описание. Раковина слабовогнуто-выпуклая, небольшого размера (ширина 11–17 мм, длина 10–14 мм). Умеренно поперечно вытянутая ($D/W = 0,6–0,7$). Длина замочного края равна или немного меньше наибольшей ширины раковины. Замочные углы закруглены. По сторонам от макушки наблюдаются основания двух-трех игл, расположенных под углом от 40 до 90° к замочному краю раковины. Псевдодельтий и хилидий не наблюдались. Седло и синус отсутствуют.

Брюшная створка умеренно выпуклая, наибольшая выпуклость приурочена к середине раковины. Арея апсаклиновая, узкая. Макушка слабовыпуклая, не выступающая над замочным краем створки.

Спинная створка слабовогнутая. Арея узкая, линейная. Макушка не выражена. Скульптура состоит из тонких капилл, число которых увеличивается за счет бифуркации, начинающейся ближе к переднему краю раковины. У более крупных раковин количество капилл доходит до 60, которые, раздваиваясь, становятся немного толще. У переднего края раковины на 1 мм насчитывается две-три капилля. Внутри брюшной створки развита узкая септа. Вблизи макушки септа высокая, ближе к переднему краю резко понижается, протягиваясь примерно до середины длины створки. Мускульные отпечатки не выражены. Зубы в виде овальных бугорков.

В спинной створке пятилопастной замочный отросток (табл. VI, фиг. 12 а, б). Приямочные пластины почти параллельны замочному краю. Септа узкая, низкая, протягивающаяся на 2/3 длины раковины. Боковые септы более низкие и широкие, начинающиеся от приямочных пластин. На протяжении своей длины боковые септы широко дугообразно изгибаются к боковым сторонам раковины, угол наклона их по отношению к срединной септе увеличивается с 40 до 90° . Переднебоковые части внутренней поверхности раковины покрыты бугорками.

Размеры в мм и отношения:

№ экз.	Д	Ш	В	Д/Ш
--------	---	---	---	-----

Брюшные створки

4427/62	9	15	2,2	0,6
4427/74	11	17	1,4	0,6
4427/57	12	17	1,9	0,7

Спинные створки

4427/67	9	14	—	0,6
4427/52	10	14	—	0,7

Возрастная изменчивость выражена в увеличении вздутости брюшной створки и количестве ребер (до 60) на каждой створке.

Сравнение. От типового вида *D. caucasicus* Afanasjeva (Афанасьева, 1978, с. 67) из эйфельских отложений Закавказья описанный вид отличается меньшим размером раковины, пятилопастным замочным отростком, более грубыми капиллями.

Замечания. Строение брюшной и спинной створок у описанного вида сближает его с представителями рода *Dagnaconetes*, однако наличие пятилопастного замочного отростка, вместо двулопастного у представителей рода *Dagnachonetes* и более грубая наружная скульптура, делает отнесение его к этому роду несколько условным.

Распространение. Средний–верхний девон (живет–низы франа), дундтолгойские, зээтгинские слои хатугольской свиты Монгольского Алтая.

Материал 194 экз., из них 116 брюшных и 78 спинных створок хорошей сохранности; Монгольский Алтай, 19 км южнее аймака Улэгей, 2,5 км юго-западнее горы Дунд Толгой – 131 экз.; хатугольская свита, дундтолгойские слои (живет); 13,5 км северо-западнее сомона Улэгей, в 100 км севернее горы Хуйтен Сарвал (2093,1) – 63 экз.; хатугольская свита, зээгтинские слои (нижний фран).

ПОДСЕМЕЙСТВО CHALIMOCHONETINAE AFANASJEWA, 1988

Род Chalimochonetes Baranov, 1980

Chalimochonetes huhunurensis (Alekseeva, 1977)

Табл. VII, фиг. 1–6

Shagamella? huhunurensis: Алексеева, 1977, с. 67, табл. VI, фиг. 1–2.

Голотип – ПИН, № 3601/52, брюшная створка, Северо-Западная Монголия, восточный склон системы хр. Тургэн уда, северо-западный борт оз. Хуху нур, первый лог от северного берега озера, в 300 м от устья лога; нижний девон Монголии, ложковский ярус. Хранится: Палеонтологический музей, Москва.

Дагноз. Раковина маленького и среднего размеров, умеренно поперечно вытянутая, с наибольшей шириной впереди замочного края, боковые септы спинной створки между собой образуют широкий угол. Замочные иглы наклонены под острым углом.

Описание. Раковина маленького и среднего размеров ($D = 12\text{--}18$ мм), слабовогнуто-выпуклая, умеренно поперечно вытянутая, ($D/W = 0,7$). Наибольшая ширина находится немного впереди замочного края, превышая его на 1–2 мм. Замочные углы слабо округленные.

Брюшная створка равномерно и слабовогнуто. Макушка маленькая и широкая. Арея низкая (до 2 мм), апсаклиниальная. От верхнего края линейной ареи отходят по 2–3 иглы, наклоненные к замочному краю под углом 30–35°.

Спинная створка равномерно и слабовогнуто, с едва намеченной макушкой. Поверхность раковины гладкая, с тонкой концентрической скульптурой.

Внутри брюшной створки наблюдается срединная септа, протягивающаяся на 1/4 длины створки.

Внутри спинной – невысокий, замочный отросток, изнутри раздвоенный и гребневидный снаружи, по наружной поверхности которого проходит узкая, низкая бороздка. От переднего конца замочного отростка протягивается слабо выраженная срединная септа, достигающая 1/3 длины створки. Боковые септы короткие, образующие между собой угол в 120°. На внутренней поверхности створок видны мелкие, густо расположенные бугорки.

Размеры в мм и отношения:

№ экз.	Д	Ш	Д/Ш
4427/507	13,8	18	0,7
4427/503	13	18,2	0,7
4427/501	15	23,5	0,6
4427/502	15	20,5	0,7
4427/505	18	25,3	0,7

Изменчивость. Выражена в изменении выпуклости, увеличивающейся с размером раковины.

Сравнение. От типового вида *C. attenuatus* Baranov (Баранов, 1980, с. 142, рис. 1) отличается меньшим размером и более изометричной формой раковины (у сравниваемого вида ширина превышает его длину в 1,5 раза), кроме того более острым углом наклона замочных игл и большим углом расхождения боковых септ спинной створки.

Замечания. Первоначально Р.Е. Алексеева (1977) условно отнесла вид *huhunurensis* к роду *Shagamella* Boucot et Harger, (Boucot, 1968, с. 167–168) отмечая,

что с названным родом новый вид сближает отсутствие радиальной скульптуры, хорошо развитой септы в брюшной и слабо выраженной срединной и боковой септы в спинной створке. Новые сборы позволили уточнить некоторые детали внутреннего строения, а именно – наличие приямочных пластин, двухлопастного замочного отростка, тонкую наружную концентрическую скульптуру. По совокупности признаков вид *huhunurensis* отнесен к роду *Chalimochonetes*.

Распространение. Нижний девон (ложков) Северо-Западной Монголии; уланхусская свита Монгольского Алтая.

Материал. 40 экз., из них 17 спинных, 23 брюшных створок; Северо-Западная Монголия, западное подножье хребта Хара нур – 4 экз. (ложков); Монгольский Алтай, правобережье реки Сагсай, в 1700 м юго-западнее горы Цахир Дел Толгой – 12 экз., уланхусская свита (ложков); правый берег р. Сагсай, район перевала Бугучин Даваа – 28 экз., там же.

ОТРЯД PRODUCTIDA

ПОДОТРЯД STROPHALOSHIDINA LAZAREW, 1987

НАДСЕМЕЙСТВО STROPHALOSIOIDEA SCHUCHERT, 1913

СЕМЕЙСТВО ARAKSALOSIIDAE LAZAREV, 1989

ПОДСЕМЕЙСТВО ARAKSALOSIINAE LAZAREV, 1989

Род Araksalosia Lazarev, 1989

Aracsalosia (?) sp.

Табл. VI, фиг. 15–17

Описание. Раковина крупная ($D = 35$ мм) поперечно-овального очертания. Боковые и передняя стороны округлые. Брюшная створка высокая, равномерно выпуклая. Спинные створки вогнутые, с крутым, но плавным перегибом. Внутри спинной створки заметна тонкая узкая септа, протягивающаяся на 1/4 длины раковины. Замочный отросток двухлопастной. На внутреннем отпечатке брюшной створки заметна широкая, длинная септа. Наружная поверхность спинной створки покрыта густыми, мелкими ворсовидными бугорками, расположенными концентрическими рядами в шахматном порядке. Бугорки вблизи замочного края округлые, у переднего – более удлиненные. Иглы отсутствуют.

Размеры в мм и отношения:

№ экз.	Д	Ш	Д/Ш
4427/80	36	42	0,8
4427/81	35	45	0,8

Сравнение. Описанные раковины по форме наиболее близки к представителям рода *Araksalosia*, с которыми сближает относительно крупные размеры раковин, тонкие ворсовидные бугорки на спинной створки, отсутствие рубца прикрепления. Принципиальное отличие всех представителей *Araksalosiiinae* состоит в наличии игл на брюшной, реже спинной створках, их размерах и расположении. Плохая сохранность брюшной створки, а также особый порядок расположения бугорков на спинных створках позволяют определить имеющийся материал лишь с долей условности.

Распространение. Верхний девон Монгольского Алтая.

Материал. 5 экз.: 4 спинных и 1 брюшная створка; Монгольский Алтай, правобережье р. Сагсай, 2 км северо-северо-западнее перевала Бугучин Даваа (абс. отм. 2106); обн. 10, слой 4 – 1 экз. (сборы Л.М. Улитиной 1974, 1988 гг.) 1 км северо-западнее горы Цахир Дэл Толгой – 3 экз., возраст тот же.

ПОДОТРЯД PRODUCTIDINA WAAGEN, 1883

НАДСЕМЕЙСТВО ECHINOCONCHOIDEA STEHLI, 1954

СЕМЕЙСТВО SENTOSIIDAE MCKELLAR, 1970

ПОДСЕМЕЙСТВО CAUCASIPRODUCTINAE LAZAREV, 1987

Род *Caucasiproductus Lazarev, 1987*

Caucasiproductus dissimilis Oleneva, 1998

Табл. VII, фиг. 11–18

Caucasiproductus dissimilis: Оленева, 1998, с. 49, табл. III, фиг. 6–11.

Голотип – ПИН, № 4427/21; ядро брюшной створки; Монгольский Алтай, верховье руч. Цаган Сала, правого притока р. Хаттугийн, 2,3 км юго-западнее горы Цаган Сала, (абс. отм. 3115); цагансаласская свита (фран); изображен здесь на табл. VII, фиг. 18. Хранится: Палеонтологический музей, Москва.

Диагноз. Раковина среднего размера, слабо поперечно вытянутая. Наружная скульптура в виде игл и тончайших линий нарастания, у крупных раковин вблизи переднего края появляются грубые складки.

Описание. Раковина вогнуто-выпуклая, среднего размера (длина 20–24 мм), полуокруглого очертания. Наибольшая ширина раковины немного превышает ее длину ($D/W = 0,7$ – $0,8$). Замочные углы округленно-прямоугольные (табл. VII, фиг. 13). Краевая арея отсутствует.

Брюшная створка сильно вздутая, в поперечнике куполообразная, наибольшая выпуклость расположена в $1/3$ части переднего края створки. Макушка нависает над замочным краем.

Спинная створка вогнутая, наибольшая вогнутость расположена ближе к замочному краю раковины. Задний край прямой, без краевой ареи.

Скульптура в виде бугорков от игл диаметром 0,1–0,2 мм, расположенных в шахматном порядке, расстояние между ямками 1–2 мм. На поверхности раковины заметны частые, тонкие линии нарастания, у переднего края, вблизи ушек на 1 мм расположены до 4 тончайших линий. У крупных раковин с середины длины заметны грубые, широкие, неправильные радиальные складки, число которых может доходить до 4 (табл. VII, фиг. 17).

Внутри брюшной створки короткие зубы и низкие кардинальные валики. У кончика макушки, септа, которая кпереди резко становится низкой и узкой, протягиваясь на $1/4$ – $1/5$ часть длины раковины. По сторонам от септы расположены глубокие, узкие вдавленности, соответствующие мускульным отпечаткам (табл. VII, фиг. 18а). Отпечатки дидукторов имеют удлиненно-ovalную форму, четко выраженные. Аддукторы заметны слабо. Мускульное поле окружено утолщением, в виде слабого валика, который грушевидными полукружьями располагается по сторонам от дидукторов (табл. VII, фиг. 16).

Внутри спинной створки двухлопастной замочный отросток, зубные ямки. Срединная септа низкая, узкая, протягивается на $1/2$ длины раковины. Вблизи заднебокового края заметно утолщение в виде широкого, низкого кардинального валика, отклоняющегося от переднего края под углом 15° .

Размеры в мм и отношения:

№ экз.	Д	Ш	Дз.к.	Д/Ш
Брюшные створки				
4427/21	24,7	31	24	0,8
4427/29	22	30	21	0,7
4427/24	26,5	31	26	0,8
Спинные створки				
4427/25	20,4	29,4	24	0,7

Изменчивость. Выражена в различной выпуклости раковин от сильно вздутой до умеренно выпуклой, в числе складок, доходящих до 4.

Справление. Описанный вид близок *C. gretschishnikovae* Lasarev (Лазарев, 1987, с. 50, табл. V, фиг. 10–12) из животских отложений Закавказья, от которого отличается более вытянутой в ширину формой раковины, наличием линий нарастания, и грубых складок (у сравниваемого вида наружная скульптура выражена только иглами).

Распространение. Верхний девон (нижний фран); зээгтийнские слои хаттугольской свиты Монгольского Алтая.

Материал. 25 экз.: 7 спинных и 18 брюшных створок, представленных ядрами. Монгольский Алтай, верховье ручья Цаган Сала, правого притока реки Хаттугийн, 2,3 км западнее-юго-западнее горы Цаган Сала (абс. отм. 3115) хаттугольская свита, зээгтийнские слои (нижний фран).

НАДСЕМЕЙСТВО PRODUCTOIDEA GRAY, 1840

СЕМЕЙСТВО PRODUCTELLIDAE SCHUCHERT, 1929

ПОДСЕМЕЙСТВО PRODUCTELLINAE SCHUCHERT, 1897

Род *Productella Hall, 1867*

Productella sp.

Табл. VII, фиг. 7–10

Описание. Раковина среднего размера ($D = 14$ – 20 мм), поперечно вытянутая, длина замочного края равна или немного меньше наибольшей ширины раковины. Боковые стороны округлые.

Брюшная створка слабовыпуклая, наибольшая выпуклость расположена ближе к замочному краю раковины. Макушка небольшая, клювовидно загнутая. Арея низкая, линейная. Внутри брюшной створки маленькие зубные пластины. На одном экземпляре заметны основания 3 игл, расположенных под прямым углом к замочному краю (табл. VII, фиг. 8).

Спинная створка слабовогнутая. Замочный отросток двулопастной (табл. VII, фиг. 7). Срединная септа тонкая, протягивается на $1/2$ длины раковины. На одной раковине, вблизи замочных углов заметны короткие концентрические морщины и продолговатые, удлиненные бугорки расположенные на всей поверхности раковины.

Скульптура состоит из многочисленных продолговатых бугорков, расположенных в шахматном порядке, расстояние между которыми у разных раковин изменяется от 1 до 2 мм, возможно это зависит от возраста раковины.

Размеры в мм и отношения:

№ экз.	Д	Ш	Д/Ш
4427/83	13,3	x2–28	0,5
4427/82	20	19	1,0

Справление. Наиболее близка к формам *P. caperata* (Sowerby), описанной из майстеровских слоев (фамен) Казахстана (Литвинович, 1963, с. 271, табл. LV, фиг. 14), от которой отличается меньшей длиной раковины и реже расположенными продолговатыми бугорками. От *P. subaculeata* (Murch.) (Сокольская, 1948, с. 59, табл. 4, фиг. 1–9, табл. 5, фиг. 5), отличается более частыми, в шахматном порядке расположенными бугорками. От *P. hermina* Frech. (Сокольская, 1948, с. 66, табл. 5, фиг. 1–4, 6) слабовогнутой спинной створкой, невыраженными ушками и отсутствием радиальных складок.

Распространение. Средний–верхний девон (живет – нижний фран); дундтогайские, зээгтийнские слои хаттугольской свиты Монгольского Алтая.

Материал. 6 экз.: 4 брюшных и 2 спинных створки, представленных ядрами.

ми и отпечатками; Монгольский Алтай, 14,7 км, западнее-юго-западнее от сомона Цаган нуур, р-н горы Хар Толгой (абс. отм. 2439,9) – 3 экз.; хатугольская свита, дундтолгойские слои (живет); 13,5 км севернее сомона Улэгей, 100 м севернее горы Хуйтен Сарвал (абс. отм. 2093,1) – 3 экз.; хатугольская свита, зээгтийские слои (нижний фран.).

ОТРЯД RHYNCHONELLIDA

СЕМЕЙСТВО TRIGONIRHYNCHIIDAE SCHMIDT, 1965
ПОДСЕМЕЙСТВО TRIGONIRHYNCHINAE SCHMIDT, 1965

Род Wilsoniella Khalfin, 1939

Wilsoniella prima Khalfin, 1939

Табл. VII, фиг. 19; табл. VIII, фиг. 1–4

Wilsoniella fallacoisa Bayle: Халфин, 1935, с. 26, табл. VI, фиг. 5–6.

Wilsoniella prima: Халфин, 1939, с. 83, рис. 1; 1948, с. 284, табл. XIX, фиг. 9–13, рис. 46; McLaren, 1965, с. 562, рис. 430; Эрлангер, 1981, с. 82, табл. XVIII, фиг. 1–4; 1994, с. 44, табл. III, фиг. 6–11.

Ussovia prima: Халфин, 1955, с. 240, табл. LII, фиг. 4–6, рис. 193; Ржонницкая, 1960, с. 242, табл. XLIV, фиг. 5–7, рис. 257; Грацианова, 1960, с. 447; табл. Д-69, фиг. 23.

Голотип – № В-1/5; деформированное ядро раковины с сочлененными створками; Горный Алтай, Кондратьевская сопка; нижний девон, нижний эмс. Избран Л.Л. Халфиным, 1948, табл. XIX, фиг. 12. Хранится: Политехнический институт, Томск.

Диагноз. Крупные раковины с многочисленными широкими, округлыми ребрами. У линии передней комиссуры брюшная и спинная створки образуют перегиб навстречу друг другу под углом 80°.

Описание. Раковина крупная ($D = 41$ – 50 мм), сильно выпуклая, округленно-кубоидного очертания. Замочный край образует небольшие ушкообразные выступы. Длина замочного края на 7–8 мм меньше наибольшей ширины раковины, измеренной на середине длины створки. С боковых сторон раковина уплощенная, передний край округлый, сулькатного типа. Язычок невысокий, около 10 мм, округлый, ориентирован дорсально.

Брюшная створка умеренно выпуклая, наибольшая выпуклость расположена ближе к переднему краю на 1/3 ее длины. Макушка маленькая, сильно загнутая, налегающая на макушку спинной створки. Боковые склоны створки сильно подвернуты дорсально, высота их доходит до 13–15 мм. В синусе также наблюдается изгиб створки в дорсальном направлении. Синус широкий, неглубокий, с плоскоокругленным дном отчетливо проявляется начиная с 1/4 длины от переднего края раковины.

Спинная створка значительно более выпуклая, чем брюшная, наибольшая выпуклость расположена ближе к переднему краю раковины. Макушка маленькая, у целых раковин скрыта нависающей макушкой брюшной створки. Боковые склоны и передний край круто подвернуты вентрально, образуя с брюшной створкой у линии передней комиссуры перегиб навстречу друг другу. В зависимости от выпуклости створок в продольном сечении формы раковин изменяется от круглой до полусферической (табл. VIII, фиг. 2). Высота боковых склонов спинной створки составляет 18–20 мм. Седло широкое, неотчетливое, уплощенное.

Скульптура представлена простыми округленно-уплощенными ребрами, начинающимися от самой макушки и постепенно расширяющимися к переднему краю. Бороздки между ребрами мелкие, угловатые, в два раза уже самих ребер. В синусе и на возвышении насчитывается 7–8 ребер, с боковых сторон от них по 10–12 ребер. Микроскульптура на нашем материале не наблюдалась.

Внутри спинной створки находится отчетливая, длинная, невысокая септа, постепенно понижаящаяся к переднему краю, протягивающаяся на 2/3 длины створ-

ки. Септа поддерживает V-образный септиалиум, перекрытый почти на всем протяжении выпуклой пластиной. Перекрывающая пластина прободена под макушкой висцеральным фораменом. Зубные ямки неглубокие. Крупы слабо расходящиеся, краевые основания расположены на внутренних концах наружных замочных пластин.

Размеры в мм и отношения:

№ экз.	Д	Ш	Т	Д/Ш	Д/Т	Му
4427/521	41,5	29	39	1,4	1,1	70
4427/523	42,7	37,5	—	1,1	—	80
4427/522	55	35	32,4	1,7	1,6	75

Изменчивость выражена в форме раковины, меняющейся от круглой до полусферической в продольном сечении и в величине макушечного угла, изменяющегося от 70 до 80°.

Возрастная изменчивость выражена в слабой вздутости створок у более мелких раковин, слабо выраженным синусом и седлом.

Сравнение. От близкого по внешней форме *W. prisca* O. Erlanger, (1981, с. 80–82, табл. XVIII, фиг. 4–6), описанный вид отличается отсутствием ушкообразных выступов по краям замочного края и меньшим числом ребер в синусе (7–8 вместо 12–14). От *W. tchernyshevae* O. Erl. (O. Ерлангер, 1981, с. 84, табл. XVII, фиг. 1–3), отличается не острым углом смыкания спинной и брюшной створок, у описанного вида брюшная и спинная створка у линии передней комиссуры делают навстречу друг другу плавно изогнутый перегиб.

Распространение. Нижний девон (прага-эмс); бигерский, чулунский горизонты Монголии; нижний девон (эмс); кондратьевские слои Горного Алтая, нижнебардамольская подсвита Монгольского Алтая.

Материал. 29 экз., из них с сочлененными створками 2, брюшных створок – 8, спинных – 19, частично обломанные. Монгольский Алтай, 11 км к югу от сомона Баинту, устье р. Холдзатийн, левого притока р. Сагсай; нижнебардамольская подсвита (эмс).

Wilsoniella tchernyshevae O. Erlanger, 1981

Табл. VIII, фиг. 5

Wilsoniella tchernyshevae: Эрлангер, 1981, с. 84, табл. XVII, фиг. 13; 1994, с. 44, табл. II, фиг. 1–3, рис. 13.

Голотип – ПИН, № 3406/635; раковина с сочлененными створками; Северо-Западная Монголия; оз. Ачит нуур, восточный склон горы Баян Ошиги, раздел Д, сл. 2; нижний девон, эмс, чулунский горизонт, ошигинские слои, лона *Maoristrophia kailensis*. Хранится: Палеонтологический институт, Москва.

Диагноз. Крупные раковины с многочисленными округло-уплощенными ребрами. На передней комиссуре створки смыкаются под острым углом.

Описание. Раковина крупная ($D = 44$ мм), удлиненно-треугольного очертания. Передний край ушиплакатный. Язычок синуса остроугольной формы, направленный анtero-дорсально.

Брюшная створка слабо выпуклая, наибольшая выпуклость расположена на 1/3 длины раковины. Макушка маленькая, сильно загнутая. Боковые стороны створки в задней половине подвернуты почти под прямым углом, высота которых доходит до 10 мм. В передней половине створка плавно и равномерно опускается дорсально. Синус широкий, низкий, корытообразный (табл. VII, фиг. 5а, б).

Строение спинной створки не установлено. Скульптура представлена простыми, округло-уплощенными ребрами, начинающимися от макушки и постепенно расширяющимися ближе к переднему краю. Ребра в два раза шире бороздок между ними. Всего на створке насчитывается 24 ребра, из них в синусе 12–16 ребер.

Размеры в мм и отношения:

№ экз.	Д	Ш	Д/Ш	Му
4427/524	44,2	33	1,3	65
4427/532	44,2	33	1,3	65

Сравнение. С близкой по форме *Wilsonella prima* Khalfin, 1939 см. выше, при описании последней.

Распространение. Нижний девон (прага-эмс) бигерский, чулунский горизонты Монголии; нижнебардамольская подсвита (эмс) Монгольского Алтая.

Материал. Две неполные брюшные створки. Монгольский Алтай, 11 км к югу от сомона Байнту, устье р. Холдзатийн, левого притока р. Сагсай; нижнебардамольская подсвита (эмс).

СЕМЕЙСТВО UNGINULIDAE RZONSNITZKAJA, 1956

ПОДСЕМЕЙСТВО НЕВЕТОЕЧИНАЕ HAVLICEK, 1960

Род *Hebetoechia* Havlicek, 1959

***Hebetoechia vagranica* (Khodalevich, 1939)**

***Hebetoechia vagranica mongolica* O. Erlanger, 1977**

Табл. VIII, фиг. 9, 10

Hebetoechia vagranica mongolica: Эрлангер, 1977, с. 68, табл. VI, фиг. 3–4, рис. 1; Эрлангер, 1994, с. 87, табл. VII, фиг. 1–2.

Голотип – ПИН, № 3601/1; Северо-Запад. Монголия, восточный склон системы хр. Турген Ула, северо-западный борт оз. Хуху нур; нижний девон, лохков. Хранится: Палеонтологический институт, Москва.

Диагноз. Раковина среднего размера, вытянутая в ширину, округленно-пятиугольного очертания, умеренно выпуклая. Синус неясно ограниченный, с ребрами на его склонах. Внутри спинной створки сепタルные отростки отсутствуют.

Описание. Небольшая, округленно-пятиугольная раковина, с длиной немногим меньше ее ширины ($D/W = 0,7–0,9$), слабо выпуклая ($D/T = 1,5$). Замочный край слабо изогнут, длина его немногим меньше наибольшей ширины раковины, расположенной ближе к переднему краю раковины.

Брюшная створка немногим более выпуклая, чем спинная. Наибольшая выпуклость приурочена к примакушечной части створки. Макушка острая, загнутая. Макушечный угол составляет 85 и 100° . Синус начинается с $1/3$ длины створки, неясно ограниченный, ближе к переднему краю сильно расширяется. На склонах синуса расположено по одному ребру. Дно синуса корытообразное. Язычок округлый, невысокий.

Спинная створка равномерно вздутая, с наибольшей выпуклостью, расположенной на $1/2$ ее длины. Макушка тесно примыкающая к брюшной створке. Седло низкое, широкое, отчетливо заметное лишь вблизи переднего края раковины.

Скульптура представлена узкими, низкими ребрами, начинающимися от макушки, отчетливо заметными только с $1/3$ длины раковины. На переднем крае ребра рассечены узкими бороздками, отчетливо заметными на боковых склонах и седле. В синусе развиты по 3–4 ребра, с боковых сторон – 6–8.

Внутри брюшной створки тонкие, короткие зубные пластины, зубы массивные, округлые. В спинной створке невысокая, двойная срединная септа, короткий, пластинчатый замочный отросток.

Размеры в мм и отношения:

№ экз.	Д	Ш	Т	Д/Ш	Д/Т	Му
4427/531	9,5	10,4	6,2	0,9	1,5	85
4427/532	9,0	11,7	6,0	0,8	1,5	100

Сравнение. От *H. vagranica vagranica* (Khod.) (Ходалевич, 1939, с. 44, табл. XVII, фиг. 1–3) отличается меньшей вздутостью и меньшим числом ребер в синусе.

Замечания. От *H. vagranica mongolica*, описанных из Северо-Западной Монголии, наши формы отличаются только отсутствием бороздок на седле, что, возможно, связано с ограниченным количеством материала.

Распространение. Нижний девон (лохков) бортэгский горизонт Северо-Западной Монголии; уланхусская свита Монгольского Алтая.

Материал. 2 целых раковины. Монгольский Алтай, правый берег р. Сагсай, 1700 м юго-юго-западнее горы Цахир Дэл Толгой, нижний девон, уланхусская свита (лохков).

СЕМЕЙСТВО EATONIIDAE SCHMIDT, 1965

Род *Eucharitina* Schmidt, 1955

***Eucharitina dobrovi* O. Erlanger, 1989**

Табл. VIII, фиг. 7, 8

Eatonaria (Pareatonia) aff. medialis: Чернышева, 1937, с. 32, табл. II, фиг. 7, рис. 1. *Eucharitina dobrovi* O. Erlanger, Эрлангер, 1989, с. 37, табл. III, фиг. 6–12; 1992, с. 50, табл. XII, фиг. 3–6; 1994, с. 108, табл. 8, фиг. 1–9.

Голотип – ПИН, № 4132/1067; раковина с сочлененными створками; Монголия, Гобийский Алтай, район сомона Шинэ Джинст, западнее колода Цахирин Худук, обн. 23, обр. 27; нижний девон, цаганхалгинский горизонт. Хранится: Палеонтологический институт, Москва.

Диагноз. Раковина от небольших до средних размеров, округло-пятиугольная в очертании, вытянутая в ширину, с более выпуклой спинной створкой.

Описание. Раковина небольшого размера, округленно-пятиугольного очертания, вытянутая в ширину. Спинная створка более выпуклая, чем брюшная. Замочный край слабо изогнут, длина его немногим меньше наибольшей ширины раковины. Боковые стороны округлые, передний край унипликатный. Язычок маленький, округленно-прямоугольной формы, ориентирован антеро-дорсально. Боковые стороны раковины повернуты дорсально навстречу друг другу, образуя таким образом крыловидную форму.

Брюшная створка слабовыпуклая, с наибольшей выпуклостью, расположенной ближе к макушке. Макушка маленькая, острая, с загнутым кончиком. По сторонам от макушки расположены небольшие, удлиненные луночки. Синус широкий, занимает $1/3$ часть створки или немногим больше, начинается с $1/3$ длины створки.

Спинная створка сильновыпуклая, наибольшая выпуклость приурочена к $1/2$ длины раковины. Макушка низкая, тесно примыкает к брюшной створке. Седло пологоокруглое, узкое, на $1/3$ уже, чем синус, вблизи переднего края вздернутое.

Скульптура на нашем материале выражена не отчетливо, в виде низких угловатых ребер с широкими промежутками между ними. С боковых сторон от синуса и возвышения заметны по 8 ребер, прямые с брюшной и отгибающиеся клереди со стороны спинной створки. Ребра, прилегающие к синусу, более уплощены. На одной раковине, в синусе заметны 3 ребра, на седле ребра не сохранились.

Внутри брюшной створки изогнутые, расходящиеся зубные пластины, тесно прилегающие к боковым сторонам раковины. Зубы небольшие, вытянутые в ширину, почти параллельные плоскости смыкания створок. На одной из раковин заметен удлиненно-овальный, возвышающийся мускульный выступ, занимающий почти $1/2$ длины раковины (табл. VIII, фиг. 7б).

Внутри спинной створки трехлопастной замочный отросток. Мускульное поле разделено длинной срединной септой, занимающей $1/3$ длины створки. Круры, расходящиеся вентрально, короткие (рис. 17).

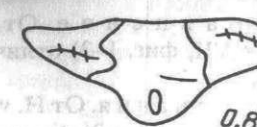
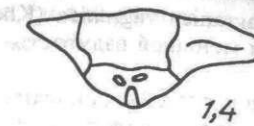
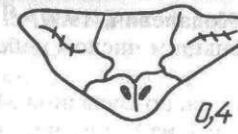


Рис. 17. *Eucharitina dobrovi* O. Erlanger

Внутреннее строение раковины с сочлененными створками по пленкам ПИН, № 4427/81 (х2); Монгольский Алтай, правый борт р. Шара Гоби, правого притока р. Сагсай, 3,9 км юго-западнее горы Ашла; верхнебардамгольская подсвита (верхний эмс-эйфель)

Размеры в мм и отношения:

№ экз.	Д	Ш	Т	Д/Ш	Д/Т
4427/80	11,5	22,5	10,4	0,5	1,1
4427/81	17,0	24,3	13,0	0,7	1,3

Сравнение. С достаточной полнотой дано в работах О.А. Эрлангер (см. синонимию).

Замечания. От форм, описанных из Гобийского Алтая О. Эрлангер (см. синонимию), отличается более узким язычком и более повернутыми дорсально боковыми сторонами брюшной створки.

Распространение. Нижний-средний девон (эмс-эйфель), цаганхалгинский горизонт Монголии; верхнебардамгольская подсвита Монгольского Алтая.

Материал. 2 целые раковины. Монгольский Алтай, правый борт руч. Шара Гоби, правого притока р. Сагсай, в 3,9 км юго-западнее горы Ашла (абс. отм. 2917,3); обн. 3, слой 2 (сборы Л.М. Улитиной, 1988, 1974); верхнебардамгольская подсвита (верхний эмс-эйфель).

СЕМЕЙСТВО PONTISIIDAE COOPER ET GRANT, 1976

Род *Areella* O. Erlanger, 1992

Areella barunica O. Erlanger, 1992

Табл. VIII, фиг. 6

Areella barunica: Эрлангер, 1989, с. 42, табл. IX, фиг. 1–4; 1992, с. 52, табл. XI, фиг. 9–11; 1994, с. 114, табл. IX, фиг. 1–6.

Голотип – ПИН, № 4259/1005; целая раковина; Восточная Монголия, район горы Барун урт; верхний нижнего-среднего девона, (верхний эмс-эйфель), цаганхалгинский горизонт. Хранится: Палеонтологический музей, Москва.

Диагноз. Раковина маленького размера, округленно-пятиугольной формы. Замочный край изогнут. Ребра узкие, тесно расположенные. Синус и седло выражены не отчетливо.

Описание. Маленькая раковина ($D = 13$ мм), округленно-пятиугольной формы, слабовыпуклая ($D/T = 1,62$). Замочный край изогнут. Боковые края округлые, передний край – сулькатного типа, язычок выражен слабо.

Брюшная створка слабовыпуклая, с наибольшей выпуклостью вблизи заднего края раковины. Макушка маленькая, прямая, макушечный угол составляет 85° . Синус низкий, широкий, выражен не отчетливо, составляет немного более половины ширины раковины.

Спинная створка немного более выпуклая, чем брюшная, наибольшая выпуклость приурочена к $1/2$ длины раковины. Макушка маленькая, прямая, тесно примыкает к брюшной створке. Седло неотчетливое.

Скульптура представлена тонкими, тесно расположенными, округлыми ребрами с узкими промежутками между ними. Количество ребер достигает 34, в синусе и на его склонах насчитывается до 15 ребер.

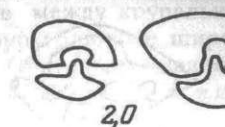


Рис. 18. *Areella barunica* O. Erlanger

Внутреннее строение раковины с сочлененными створками по пленкам ПИН, № 4427/607 (х3); Монгольский Алтай, правый борт р. Шара Гоби, правого притока р. Сагсай, 3,9 км юго-западнее горы Ашла; верхнебардамгольская подсвита (верхний эмс-эйфель)

Внутри брюшной створки тонкие, расходящиеся зубные пластины. Зубы небольшие, вытянутые в ширину. Внутри спинной – замочная пластина с острым треугольным валиком посередине (рис. 18) и срединным валиком, длина срединного валика протягивается на $1/3$ длины створки.

Размеры в мм и отношения:

№ экз.	Д	Ш	Дз.к.	Т	Д/Ш	Д/Т
4427/607	13	14	6,5	8	0,92	1,62

Сравнение. С достаточной полнотой дано в работах О.А. Эрлангер (см. синонимию).

Распространение. Нижний девон (эмс), цаганхалгинский горизонт Монголии; верхнебардамгольская подсвита (верхний эмс-эйфель) Монгольского Алтая.

Материал. 1 целая раковина. Монгольский Алтай, правый борт руч. Шара Гоби, правого притока р. Сагсай, в 3,9 км к юго-западу от горы Ашла (абс. отм. 2917,3); обн. 3, слой 2 (сборы Л.М. Улитиной, 1988 г.); верхнебардамгольская подсвита (верхний эмс-эйфель).

ОТРЯД ATRYPTIDA

НАДСЕМЕЙСТВО ATRYPOIDEA GILL, 1871

СЕМЕЙСТВО ATRYPIDAE GILL, 1871

ПОДСЕМЕЙСТВО ATRYPINAE GILL, 1871

Род *Atrypa* Dalman, 1828

Подрод *Atrypa* Dalman, 1828

Atrypa (Atrypa) sp. I

Табл. IX, фиг. 17

Описание. Раковины среднего размера ($D = 18$ – 27 мм), округлой формы, с длиной, несколько большей, чем ширина ($D/Ш = 1,06$ – $1,17$), спинная створка значительно вздутая. Замочный край изогнутый, меньше наибольшей ширины раковины. Передняя комиссара унипликатного типа, язычок высокий, отчетливый, дугообразный.

Брюшная створка слабовздутая, наибольшая выпуклость приурочена к промежуточной части раковины. Центральное синусовидное понижение развито на $1/3$ – $1/4$ длины раковины. Макушка острая, сильнозагнутая.

Спинная створка более вздутая, чем брюшная, наибольшая вздутость приурочена к $1/2$ – $1/3$ длины раковины. У крупных экземпляров наблюдается срединное седлообразное возвышение.

Радиальные ребра тонкие, с промежутками, равными их ширине, в интервале 5 мм, вблизи переднего края насчитываются 5–6 ребер. Концентрические линии нарастания частые.

Внутри брюшной створки развиты крупные зубы без зубных пластин.

В спинной створке, между круральными пластинами развито высокое маку-

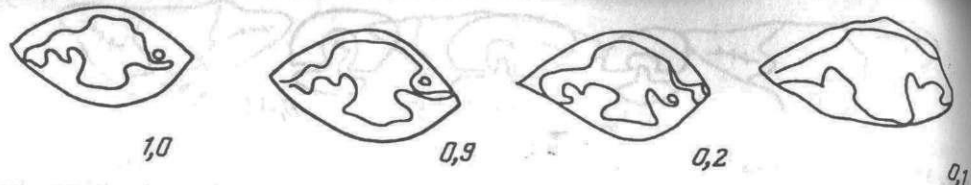


Рис. 19. *Atrypa (Atrypa) sp. 2*

Внутреннее строение раковины с сочлененными створками по пленкам ПИН, № 4427/581(х2,5); Монгольский Алтай, правый борт р. Шара Гоби, правого притока р. Сагсай, 3,9 км юго-западнее горы Ашла; верхнебардамгольская подсвита (верхний эмс-эйфель)

шечное утолщение, круры длинные, широко расходящиеся. Число оборотов спирали брахиля около 9. Септальный валик низкий, заостренный.

Размеры в мм и отношения:

№ экз.	Д	Ш	Т	Д/Ш	Д/Т
4427/600	18,9	17,9	14,8	1,06	1,3
4427/606	21,2	18	—	1,18	—
4427/604	27	—	15,1	—	1,8

Изменчивость выражена в изменении вздутости раковины, в степени развития вентрального синусовидного понижения и язычка.

Сравнение. От наиболее близкого — *A.(A.) markovskii Rzon.* (Ржонницкая, 1968, с. 131, табл. 39, фиг. 4–6) отличается меньшей неравностворчатостью раковины, более узким и высоким язычком. От *A.(A.) gurjevskensis Aleks.* (Алексеева, 1962, с. 39, табл. 1, фиг. 8) — в основном более изогнутым замочным краем раковины, большей вздутостью спинной створки, хорошо развитым язычком.

Распространение. Нижний–средний девон (верхний эмс–эйфель), верхнебардамгольская подсвита Монгольского Алтая.

Материал. 5 частично обломанных раковин; Монгольский Алтай, правый борт руч. Шара Гоби, правого притока р. Сагсай, 3,9 км юго-западнее горы Ашла (абс. отм. 2917,3), обн. 3, слой 3–2 экз., слой 4–3 экз. (сборы Л.М. Улитиной, 1974, 1988 годы); верхнебардамгольская подсвита (верхний эмс–эйфель).

Atrypa (Atrypa) sp. II

Табл. IX, фиг. 14–16

Описание. Раковины среднего размера ($D = 27$ – 30 мм), слабовыпуклые до уплощенных ($D/T = 1,69$ – $2,6$), удлиненно-овальной формы ($D/W = 1,15$ – $1,37$), спинная створка вздутая. Замочный край прямой или слабоизогнутый, меньше наибольшей ширины раковины. Передняя комиссюра унипликатного типа, язычок высокий, отчетливый, дугообразный.

Брюшная створка слабовздутая, боковые стороны в различной степени вогнутые. Наибольшая выпуклость приурочена к примакушечной части раковины. Вентральное синусовидное понижение развито на $1/3$ – $1/4$ длины раковины. Макушка острая, сильно загнутая.

Спинная створка более вздутая, чем брюшная, наибольшая вздутость приурочена к $1/2$ – $1/3$ длины раковины. У крупных экземпляров наблюдается срединное седлообразное возвышение.

Радиальные ребра тонкие, с промежутками, равными их ширине, в интервале 5 мм, вблизи переднего края насчитывается 5–6 ребер. Концентрические линии нарастания частые.

Внутри брюшной створки развиты массивные зубы без зубных пластин (рис. 19).

В спинной створке, между круральными пластинами развито высокое макуличное утолщение, круры длинные, широко расходящиеся. Число оборотов спирали брахиля около 8. Септальный валик низкий, заостренный.

Размеры в мм и отношения:

№ экз.	Д	Ш	Т	Д/Ш	Д/Т
4427/601	26,7	19,5	15,8	1,4	1,7
4427/602	27,3	25,8	15,5	1,06	1,8
4427/605	29,6	25,8	11,4	1,15	2,6

Сравнение. От *A.(A.) sp. I* отличается большим размером, более удлиненной формой раковины, прямым замочным краем. От близкого — *A. markovskii Rzon.* (Ржонницкая, 1968, с. 131, табл. 39, фиг. 4–6) отличается более удлиненной раковиной, меньшей выпуклостью спинной створки, более узким и высоким язычком. От *A.(A.) gurjevskensis Aleks.* (Алексеева, 1962, с. 39, табл. I, фиг. 8), отличается в 1,5 раза большим размером раковины, большей ее удлиненностью (27–30 мм против 21 у сравниваемого вида), большей уплощенностью боковых сторон брюшной створки и более отчетливым язычком.

Распространение. Нижний–средний девон (верхний эмс–эйфель), верхнебардамгольская подсвита Монгольского Алтая.

Материал. 8 экз., из них 4 с обеими створками, брюшных – 3, спинных – 1; Монгольский Алтай, правый борт руч. Шара Гоби, правого притока р. Сагсай, 3,9 км юго-западнее горы Ашла (абс. отм. 2917,3), обн. 3, слой 3 – 6 экз., слой 4 – 2 экз. (сборы Л.М. Улитиной, 1974, 1988 годы); верхнебардамгольская подсвита (верхний эмс–эйфель).

ПОДСЕМЕЙСТВО VARIATRYPINAE COOPER, 1978

Род *Desquamatia* Alekseeva, 1960

Подрод *Desquamatia* Alekseeva, 1960

Desquamatia (Desquamatia) minussinensis Alekseeva, 1962

Табл. IX, фиг. 10–13

Atrypa ex gr. reticularis Linn. var. II: Ржонницкая, 1952, с. 144, табл. IX, фиг. 7–12.

Atrypa reticularis: Ржонницкая, 1955, с. 27, табл. VII, фиг. 1–2.

Atrypa (Desquamatia) minussinense: Алексеева, 1962, с. 70, табл. X, фиг. 6–7.

Голотип — ПИН, № 1229/723; целая раковина, Минуса, гора Кулагай, левый берег р. Абакан, в 1 км выше села Перевозинского, средний девон, эйфельский ярус, таштыпская свита. Изображен на табл. X, фиг. 7 (Алексеева, 1962). Хранится: Палеонтологический музей, Москва.

Диагноз. Раковина среднего размера, почти изометрическая, слабовздутая. Макушка изогнутая, с открытым фораменом, арея не выражена. Синус и седло слабо развиты.

Описание. Раковина среднего размера ($D = 15$ – 22 мм), почти изометрическая ($D/W = 0,97$ – $1,0$), уплощенная ($D/T = 1,57$ – $1,97$). Замочный край слабо изогнутый, почти прямой. Ширина замочного края немного меньше наибольшей ширины раковины, расположенной вблизи середины длины раковины.

Брюшная створка слабовздутая, наиболее выпуклая в примакушечной части. Макушка слабоизогнутая, форамен округлый, арея не развита. Синус не развит, вместо него, на некоторых раковинах вблизи лобного края заметна слабая, плоская вдавленность.

Спинная створка вздутая и обычно довольно равномерно выпуклая. Боковые склоны не крутые, (около 40°). Седло не развито, лобный край почти прямой или слабо изогнут в виде невысокого, широкого язычка.

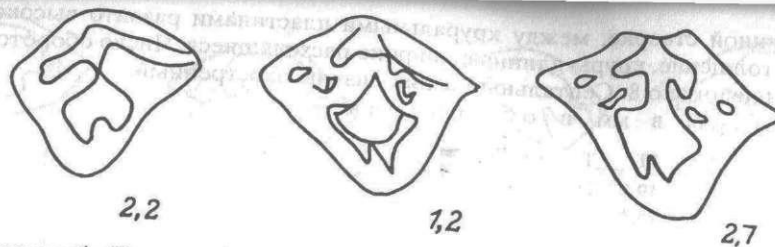


Рис. 20. *Desquamaria (Desquamaria) minussinense*, Alekseeva

Внутреннее строение раковины с сочлененными створками по пленкам ПИН, № 4427/585(х1,8); Монгольский Алтай, правый борт р. Шара Гоби, правого притока р. Сагсай, 3,9 км юго-западнее горы Ашла; верхнебардамгольская подсвита (верхний эмс-эйфель)

Ребра низкие, уплощенные, многочисленные. Промежутки между ними в среднем равны ширине ребер, вблизи любого края в промежутке 5 мм насчитывается 7–8 ребер. Увеличение числа ребер происходит путем деления и вставления. Концентрическая скульптура выражена уступами, расположенными в среднем через 2–3 мм.

Концентрические знаки нарастания достаточно хорошо развиты, представляют собой низкие, но четкие уступы, при пересечении с ребрами образующие невысокие утолщения. На двух экземплярах сохранились обломанные шлейфы в виде пластин, отгибающихся вентрально под углом 20–30°, на поверхности которых развиты продолжения ребер.

Внутри брюшной створки наблюдаются короткие зубные пластины. Зубы довольно массивные (рис. 20). В спинной створке между круральными пластинами развито макушечное утолщение. Круры длинные, широко расходящиеся. Число оборотов спиралей брахиля доходит до 9. Септальный валик не высокий.

Размеры в мм и отношения:

№ экз.	Д	Ш	Т	Д/Ш	ДГ
4427/582	15,4	15,7	8,8	0,98	1,75
4427/583	16,9	16,9	8,6	1,0	1,96
4427/585	19,8	19,2	11,1	1,03	1,78
4427/586	20,1	20,8	10,2	0,97	1,97
4427/587	21,9	22,0	13,9	1,0	1,57

Возрастная изменчивость выражена в появлении более высокой макушки у взрослых форм и вдавленности вблизи переднего края.

Сравнение. Описываемые формы наиболее близки к *D.(D.) kurbesekiana* (Rzon.) (Ржонсицкая, 1955, с. 27, табл. 6, фиг. 7) от которой отличаются более изометричной и плоской раковиной, довольно плоскими, сравнительно широкими ребрами и менее отчетливой концентрической скульптурой.

Распространение. Средний девон (эйфельский ярус) таштыпская свита Минусинского бассейна; нижний–средний девон (верхний эмс–эйфель), верхнебардамгольская подсвита Монгольского Алтая.

Материал. 12 экз., из них с обеими створками – 9, брюшных – 2, спинных – 1; Монгольский Алтай, правый борт руч. Шара Гоби, правого притока р. Сагсай, 3,9 км юго-западнее горы Ашла (абс. отм. 2917,3), (сборы Л.М. Улитиной, 1988, 1974 гг.) обн. 3, слой 3 – 2 экз., слой 4 – 4 экз.; верхнебардамгольская подсвита (верхний эмс–эйфель); р-н перевала Бугучий Даваа – 6 экз., там же.

Род *Sibiratrypa* Rzonsnitzkaja, 1975

Sibiratrypa vassinenensis Rzonsnitzkaja, 1975

Табл. IX, фиг. 1–5, 9

Artupa waterlooensis: Ржонсицкая, 1955, с. 39, табл. XVII, фиг. 6; табл. XIX, фиг. 1; 1960, табл. LIV, фиг. 5.

Spinatrypa walerlooensis: Алексеева, 1962, с. 124, табл. VII, фиг. 10, табл. VIII, фиг. 5.

Artupa (Devonatrypa) waterlooensis vassinenensis: Ржонсицкая, 1964, с. 93.

Sibiratrypa vassinenensis Ржонсицкая, 1975, табл. XXI, фиг. 1–5, табл. XXXIV, фиг. 12.

Голотип. № 160/7859, целая раковина, изображена Ржонсицкой (1975), табл. XXI, фиг. 4; Кузбасс, река Изылы, р-н дер. Вассино нижнефранский подъярус, вассинский горизонт. Хранится: Центральный геологический музей, С.-Петербург.

Диагноз. Раковина крупная, выпукло-плоская, сильно неравносторчатая, округленная, замочный край слабоизогнутый. Синус отсутствует или слабо развит. Седло не развито. Радиальные ребра грубые.

Описание. Раковина крупных размеров ($D = 28$ –41 мм), округленная, сильно неравносторчатая. Замочный край слабоизогнутый, короче наибольшей ширины, которая соответствует середине раковины.

Брюшная створка плоская или слабовыпуклая в примакушечной части и плоская или вогнутая в передней половине. Макушка небольшая, узкая, загнутая. Синусовидное понижение неотчетливое, развитое лишь в передней половине раковины.

Спинная створка сильновздутая, полушарообразного очертания. Макушка широкая, вздутая. Седло не развито. Передняя комиссура слабо унипликатного типа.

Поверхность раковины покрыта грубыми радиальными ребрами, разделенными между собой таковой же ширины или несколько более широкими промежутками. По направлению к переднему краю ребра несколько расширяются и увеличиваются в числе дихотомированием и интеркаляцией. У переднего края число ребер в промежутке 5 мм составляет около 4. Радиальные ребра пересекаются резко выраженным концентрическим знаком нарастания, которые особенно многочисленны у переднего края. В местах пересечения ребер с концентрическими линиями образуется небольшая узловатость.

Внутри брюшной створки наблюдается большое мускульное поле округленно-грушевидной формы, на ядрах образующее высокий выступ и занимающее 1/2 длины створки или немного меньше. Вся поверхность мускульного поля покрыта радиальной штриховкой. На поверхности ядра брюшной створки, за исключением мускульного поля, хаотично расположены многочисленные небольшие овально-угловатые бугорки.

Внутри спинной створки мускульное поле немного меньше половины длины створки. Аддукторы удлиненные, овальной формы, радиально штриховые, посередине разделенные широкой, низкой бороздкой. Диадукторы разделены низким узким валиком и покрыты штриховкой.

Неполные вакулярные отпечатки наблюдались на двух экземплярах, в виде трех ветвей, каждая из которых на середине своей длины раздваивается, ветви которых под небольшим углом направлены к переднему краю раковины (табл. IX, фиг. 1, 9).

Размеры в мм и отношения:

№ экз.	Д	Ш	Т	Д/Ш
4427/591	28,6	–	10,8	–
4427/592	34,8	x2–35,8	–	0,97
4427/593	35,4	x2–39	–	0,91
4427/594	36,9	x2–36,2	–	1,02
4427/595	41,4	x2–38,2	–	1,08

Сравнение. От близкой по форме раковины *S. lebedjanica* (Rzon.) (Ржонсницкая, 1955, с. 39, табл. 17, фиг. 6), отличается менее выпуклой брюшной створкой, менее изогнутым замочным краем и неотчетливыми синусом и возвышением. От *S. khalfini* (Aleks.) (Алексеева, 1962, с. 136) – менее широкой раковиной и ребрами, размер которых увеличивается к переднему краю. От *S. websteriformis* Rzon. (Ржонсницкая, 1975, с. 106) отличается более грубой ребристостью.

Распространение. Верхний девон (франский ярус), вассинский, изылинский горизонты Алтая-Саянской складчатой области; хатугольская свита, зээгийские слои Монгольского Алтая.

Материал. 28 экз., из них – 3 целых раковины, 21 брюшных и 4 спинных створок, представленных ядрами и отпечатками. Монгольский Алтай, правобережье р. Сагсай, 2 км северо-северо-западнее перевала Бугучийн Даваа (абс. отм. 2106); обн. 10, слой 4. (сборы Л.М. Улитиной 1985 г.) карбонатно-терригенная толща (верхний девон) – 2 экз.; р-н горы Кошкарлыг, хатугольская свита, зээгийские слои (нижний фран) – 21 экз.;

Sibiratypa sp.

Табл. IX, фиг. 6–8

Описание. Раковина среднего размера ($D = 22$ мм), округлая, вытянутая в ширину. Замочный край слабоизогнутый, немного короче наибольшей ширины раковины, которая соответствует середине длины раковины.

Брюшная створка слабоизогнутая в примакушечной части и уплощенная в передней половине. Макушка небольшая, сильноизогнутая. Синусовидное понижение неотчетливое.

Поверхность раковины покрыта сравнительно тонкими радиальными ребрами, разделенными между собой узкими промежутками. По направлению к переднему краю ребра несколько расширяются, расстояние между ними увеличивается, количество ребер наращивается дихотомированием и интеркаляцией. Число ребер в промежутке 5 мм вблизи замочного края составляет 7, у переднего края – 5. Концентрические знаки нарастания, выражены слабо, более отчетливо заметные у переднего края.

На ядре брюшной створки, мускульное поле крупное, округленно-грушевидной формы, занимает 1/2 длины створки. На брюшной створке, от середины мускульного поля, протягиваются два низких, широких валика – стволы вакулярной системы. Поверхность ядра, кроме мускульного поля, покрыта небольшими, хаотично расположеннымами бугорками – овальными отпечатками.

Размеры в мм и отношения:

№ экз.	D	Ш	D/Ш
4427/649	21,5	32,1	0,67
4427/573	22	33,1	0,66

Сравнение. От всех представителей рода *Sibiratypa* отличается более тонкой ребристостью, у заднего края раковины на 5 мм насчитываются до 7 ребер, от типового вида *Sibiratypa vassinenensis* Rzon. (1975, с. 101, табл. XXI, фиг. 1–5) отличается меньшим размером (22 против 27 у сравниваемого вида) и более тонкими ребрами. Более подробные сравнения невозможны из-за ограниченного количества материала.

Распространение. Верхний девон (нижний фран); зээгийские слои хатугольской свиты Монгольского Алтая.

Материал. Три брюшные створки в виде ядер и отпечатков; Монгольский Алтай, верховье ручья Цаган Сала, правого притока реки Хаттугийн, 2,3 км западнее-юго-западнее горы Цаган Сала (абс. отм. 3115); хатугольская свита, зээгийские слои (нижний фран).

ОТРЯД SPIRIFERIDA

НАДСЕМЕЙСТВО SPIRIFEROIDEA KING, 1846

СЕМЕЙСТВО SPINOCYRTIIDAE IVANOVA, 1959

ПОДСЕМЕЙСТВО SPINOCYRTIINAE IVANOVA, 1959

Род *Spinocyrtia* Frederiks, 1916

Spinocyrtia martianofi (Stuckenbergs, 1886)

Табл. X, фиг. 1, 2, 9

Spirifer martianofi: Stuckenbergs, 1886, с. 8–9, табл. IV, фиг. 9–13.

Platytrachella martianofi: C. Fenton et M. Fenton, 1924, с. 158; Грацианова, 1955, с. 261, табл. II, фиг. 5, табл. LVIII, фиг. 9; табл. LX, фиг. 6: Литвинович, 1963, с. 252, т. LIII, фиг. 2, 3.

Brachyspirifer martianofi: Ржонсницкая, 1955, с. 40, табл. XIX, фиг. 2.

Mediospirifer martianovi: Грацианова, 1960, с. 460, табл. D–72, фиг. 7–8.

Spinocyrtia martianofi: Иванова, 1960, с. 267, табл. LVIII, фиг. 3, рис. 346; 1962, с. 90, табл. XVIII, фиг. 1–7, рис. 41; Мендибаев 1976, с. 352, табл. 1, фиг. 5–6; рис. 2.

Лектиотип. Почти целая раковина, изображенная Штукенбергом (1886) на табл. 4, фиг. 9; бейский горизонт (живет) Минусинской котловины. Выбран Ивановой Е.А. (1962, с. 90). Хранится в Центральном геологическом музее, С.-Петербург.

Диагноз. Раковина среднего и крупного размера с длинным замочным краем, хорошо развитыми ушками. Вентральная макушка высокая, слабо загнутая. Седло и синус гладкие.

Описание. Раковина среднего и крупного размера ($D = 23$ –34 мм), вздутая, округленно-треугольного очертания, вытянутая в ширину ($D/Ш = 0,8$), наибольшая ширина раковины соответствует длине замочного края, с более или менее хорошо развитыми ушками.

Брюшная створка более выпуклая, чем спинная, наибольшая выпуклость приурочена к 1/3 длины раковины. Макушка высокая, слабозагнутая или прямая. Макушечный угол составляет 130–140°. Арея высокая, ортоклиновая, замечено, что у молодых экземпляров арея расположается почти параллельно линии сочленения створок. На поверхности арея видна отчетливая, горизонтальная штриховка. Дельтирий широкий, открытый, его основание составляет 1/4–1/5 длины замочного края. Синус начинается от самой макушки, глубокий, хорошо ограниченный по сторонам более резкими ребрами.

Спинная створка близка по выпуклости к брюшной. Макушка маленькая. Арея низкая, ортоклиновая. Седло высокое (3–4 мм), хорошо ограниченное, гладкое.

Поверхность раковины покрыта хорошо выраженным простыми, округлыми ребрами с узкими промежутками между ними, в количестве 15–18 с обеих сторон раковины. Микроскульптура состоит из частых, тонких радиальных струек (табл. X, фиг. 9). Заметны тонкие, отчетливые линии нарастания.

Внутри брюшной створки находятся тонкие, расходящиеся зубные пластины, доходящие до 1/3 длины раковины. Ниже уровня арея зубные пластины соединены между собой отчетливой, широкой дельтириальной пластиной (рис. 21).

Вентральное мускульное поле выражено неотчетливо.

Внутри спинной створки находится низкий замочный отросток и короткие круглые пластины.

Размеры в мм и отношения:

№ экз.	D	Ш	T	D/Ш	D/T
4427/52	23,2	29	11,3	0,8	2,05
4427/50	23,1	34	15	0,7	1,54
4427/29	34	26,5	–	1,3	–

Изменчивость. Основная масса материала представлена типичными длинными особями, совместно с ними, но значительно реже, встречаются более

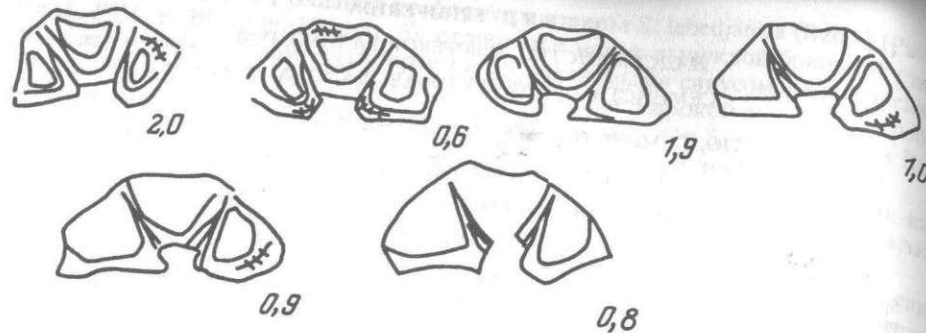


Рис. 21. *Spinocystia martianofi* (Stuckenberg)

Внутреннее строение брюшной створки по пленкам ПИН, № 4427/41(х2); Монгольский Алтай, правобережье р. Сагсай, р-н горы Улаан (абс. отм. 2089,5); холдзатинская свита (живет)

широкие раковины, ширина которых в 2 раза превышает его длину. У более длинных раковин вздутость спинной створки значительно больше, чем у широких.

Сравнение с наиболее близким видом *S. kizylschinica* – дано при описании последнего.

Замечания. Монгольские формы имеют все признаки, характерные для *S. martianofi*. Надо отметить, что продолжительное время вид *martianofi* относился к различным родам – *Brachyspirifer* (М.А. Ржонсицкая, 1952), *Platytrachella* (Р.Г. Грацианова, 1955), *Mediospirifer* (Н.Л. Бубличенко, 1956). Детальное переизучение вида *martianofi* на основе топотипического материала было выполнено Е.А. Ивановой (1962, с. 90), что позволило ей обоснованно отнести *martianofi* к роду *Spinocystia*.

Распространение. Средний девон (живет) Алтая-Саянской области, Казахстана, Дальнего Востока, Монгольского Алтая; Сев. Америка – группа Гамильтон (Hamilton) – Чемунг (Chemung); холдзатинская свита, дундтолгойские слои хаттугольской свиты.

Материал. 105 экз., из них 24 с обеими створками, 56 брюшных, 25 спинных, раковинное вещество хорошей сохранности; Монгольский Алтай, левобережье реки Сагсай, северо-северо-восточнее от сомона Банту, в 550 м северо-северо-западнее горы Хурен Толгой, (абс. отм. 1883,1) – 58 экз.; холдзатинская свита (живет); в 2 км северо-северо-восточнее превала Бугуйин Даваа (абс. отм. 2106), точнее сомона Цаган нур, 700 м севернее устья распадка Жаргын ам – 22 экз., хаттугольская свита, дундтолгойские слои (живет); среднее течение р. Хаттугийн, 2,5 км южнее горы Дунд Толгой – 12 экз., там же.

Spinocystia kizylschinica (Gratzianova, 1955)

Табл. X, фиг. 3

Platytrachella kizylschinica: Грацианова, 1955, с. 261.

Mediospirifer kizylschinicus: Грацианова, 1960, с. 460, табл. Д-72, фиг. 6.

Голотип – принимается брюшная створка, изображенная Р.Т. Грациановой (1960, с. 460, табл. Д-72, фиг. 6); р. Бугусун; верхний живет чиеловый горизонт Горного Алтая.

Диагноз. Раковина среднего размера. Кардинальные углы острые. Синус глубокий, широкий, на склонах синуса по два невысоких ребра.

Описание. Раковина среднего размера ($D = 25$ мм), поперечно вытянутая ($D/W=0,5$) с длинным замочным краем, соответствующим наибольшей ширине ра-

ковины, боковые углы острые. Наибольшая выпуклость соответствует $1/3$ длины раковины. Арея длинная, хорошо ограниченная, апсаклинная. Макушка небольшая, слегка загнутая. Макушечный угол составляет $110-120^\circ$. Синус начинается от макушки, резкий, угловатый, дно синуса гладкое. На склонах синуса находятся по два ребра, которые на одном экземпляре в два раза шире боковых ребер. С боковых сторон раковины находятся по 18–20 узких, резких, тесно расположенных ребер, с узкими промежутками между ними. Микроскульптура в виде тонкой радиальной струйчатости.

Внутри брюшной створки длинные зубные пластины и соединяющая их отчетливая дельтириальная пластина.

Размеры в мм и отношения:

№ экз.	Д	Ш	Д/Ш
4427/55	25,3	x2-46	0,6

Сравнение. От близкого по форме *S. martianofi* (Stuck.) (Штукенберг, 1886, с. 8, 9, табл. IV, фиг. 9–13) отличается присутствием ребер на склонах синуса.

Замечания. В нашей коллекции имеются экземпляры, несущие в синусе как едва заметные ребра, так и в два раза шире боковых. Возможно, этот видовой признак является неустойчивым.

Распространение. Средний девон, живет; чиеловый горизонт Горного Алтая; тулькинский горизонт Казахстана; холдзатинская свита Монгольского Алтая.

Материал. 3 неполные брюшные створки; Монгольский Алтай, левобережье р. Сагсай, северо-северо-восточнее сомона Банту, в 550 м северо-северо-западнее горы Хурен Толгой, (абс. отм. 1883,1); холдзатинская свита (живет).

Spinocystia carinata Ehlers and Wright, 1955

Табл. X, фиг. 4–6

Spinocystia carinata Ehlers et Wright, 1955, с. 15, табл. VI, фиг. 5–11; табл. VIII, фиг. 1, 2.

Голотип. № 32669, целая раковина; штат Онтарио, Северная Америка (группа Гамильтон), средний девон. Хранится: Палеонтологический музей, г. Мичиган.

Диагноз. Раковины среднего размера, округленно-треугольного очертания. Замочный край короче наибольшей ширины раковины, кардинальные углы округлые. Макушка высокая, острая, прямая или слабозагнутая. В синусе проходит отчетливая продольная узкая вдавленность.

Описание. Раковины среднего и крупного размера ($D = 24-30$ мм), округленно-треугольного или ромбовидного очертания. Замочный край прямой, немногим меньше наибольшей ширины раковины, которая находится немного ниже линии сочленения створок. Боковые комиссуры округлые, язычок невысокий, треугольной формы.

Брюшная створка равномерно выпуклая. Макушка высокая, острая, прямая или слабозагнутая. Макушечный угол достигает $110-120^\circ$. Арея высокая от ортодо апсаклинной. Дельтирий образует равнобедренный треугольник, высота которого в 1,5 раз больше его основания, которое занимает $1/4$ длины замочного края. Синус резко ограниченный, начинается от макушки, глубокий, поперечный профиль дна синуса круглый. В центре синуса проходит отчетливая, узкая, глубокая продольная бороздка доходящая до переднего конца створки.

Спинная створка в длину значительно меньше брюшной створки. Возвышение узкое, высокое, вздернутое.

На боковых сторонах раковины насчитывается 14–18 узких, невысоких округлых ребер, с узкими промежутками между ними. Микроскульптура в виде редких пластин нарастания, которые пересекают тонкая, радиальная струйчатость.

Внутри брюшинной створки находятся слабо расходящиеся зубные пластины, в макушечной части на пришлифовках заметна отчетливая дельтириальная пластина.

В спинной створке – замочный отросток и короткие куруральные пластины.

Размеры в мм и отношения:

№ экз.	Д	Ш	Т	Д/Ш	Д/Т
4427/97	24	32,2	19,7	0,7	1,21
4427/99	30	35,3	20	0,8	1,5
4427/100	34,3	43,6	21,4	0,8	1,6

Сравнение. От близкого северо-американского вида *S. tumidigranulata* Ehlers et Wright (1955, с. 13, табл. VI, фиг. 1–4) отличается более узким вздернутым седлом на котором в отличии от сравниваемого вида присутствует срединная бороздка. От *S. ravenswoodensis* Ehlers et Wright (1955, с. 17, табл. IX, фиг. 1–9; табл. X, фиг. 1–8, табл. XI, фиг. 1, 2) – меньшим размером раковины, более узкими ребрами и отсутствием бороздки на седле створки. От *S. martianofi* отличается отчетливой продольной бороздкой в синусе.

Замечания. Монгольские экземпляры вполне соответствуют признакам вида *S. carinata*, от которого отличаются незначительно – более отчетливым, угловатым синусом с более резкой и узкой продольной бороздкой.

Распространение. Средний девон (группа Гамильтон) Сев. Америки; холдзатийская свита (живет) Монгольского Алтая.

Материал. 4 целые раковины; Монгольский Алтай, левобережье р. Сагсай, севернее сомона Баинту, 550 м северо-северо-восточнее горы Хурэн Толгой, (абс. отм. 1883,1); холдзатийская свита (живет).

Spinocystria cedarensis (Owen, 1852)

Табл. XI, фиг. 1–2, 4'

Spirifer cedarensis: Owen, 1852, с. 586, табл. 3, фиг. 5.

Spirifer (Spinocystria) cedarensis: Stainbrook, 1943, с. 425, табл. 66, фиг. 1–6, 8, 9, 13.

Голотип. № 17923, целая раковина; штат Айова, Северная Америка; средний девон, (группа Гамильтон). Хранится в Американском Музее Естественной Истории.

Диагноз. Раковина крупного размера, вытянутая в ширину. Замочный край прямой. Кардиальные углы вытянутые в длинные ушки. Макушка прямая или слабозагнутая. Синус и седло широкие, гладкие.

Описание. Раковины крупного размера ($D = 28$ – 34 мм), крыловидные, по-перечно вытянутые (W до 60 мм), полуовальной или трапециевидной формы. Замочный край прямой, соответствует наибольшей ширине раковины, боковые комиссуры прямые или округлые, при соединении с замочным краем образуют остроугольные, вытянутые ушки. Язычок синуса невысокий, округло-треугольной формы.

Брюшная створка более или менее равномерно выпуклая. Макушка невысокая, прямая или слабо загибается над замочным краем. Макушечный угол составляет 150 – 160° . Арея высокая, до 7 мм, апсаклиновая. Дельтирий широкий, его основание достигает 9 мм, высота немного превышает ширину его основания. На поверхности ареи заметны следы от горизонтальной штриховки. Синус неглубокий, к переднему краю сильно расширяется, достигая ширины 10–12 ребер. Поперечный профиль дна синуса пологоокруглый.

Спинная створка более выпуклая, чем брюшная, наибольшая выпуклость приурочена к $1/3$ длины раковины. Длина брюшной створки значительно больше спинной (34 мм против 23 мм), что создает видимость значительной вытянутости последней в ширину. Арея невысокая, примыкает к брюшной створке. Седло начина-

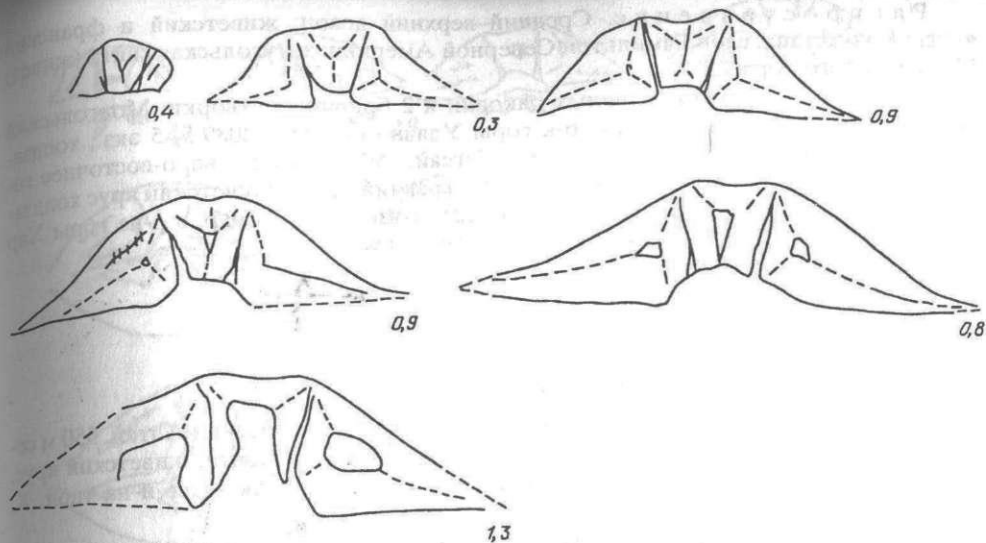


Рис. 22. *Spinocystria cedarensis* (Owen)

Внутреннее строение брюшной створки по пленкам ПИН, № 4427/77 (х1,5); Монгольский Алтай, правобережье р. Сагсай, р-н горы Улаан (абс. отм. 2089,5); холдзатийская свита (живет)

ется от макушки, узкое, гладкое, отчетливо ограниченное, к переднему краю сильно расширяется в виде растрuba.

Скульптура представлена на боковых склонах в виде узких, тесно расположенных округлых ребер в числе 20–24 с узкими промежутками между ними. Микроскульптура в виде слабо выраженной прерывистой радиальной струйчатости, которую пересекают редкие концентрические линии нарастания.

Внутри брюшной створки находятся слабо расходящиеся зубные пластины, протягивающиеся на $1/3$ длины раковины. Дельтириальная пластина тонкая, отчетливо заметная только на первых стадиях пришлифовки. Развито макушечное утолщение (рис. 22).

Внутри спинной створки струйчатый замочный отросток и короткие куруральные пластины. Брахиальный аппарат, вскрытый на трех раковинах, имеет до 30 оборотов спиралей в каждом конусе.

Размеры в мм и отношения:

№ экз.	Д	Ш	Т	Д/Ш	Д/Т
4427/54	22,2	x2-50	18,5	0,4	1,2
4427/78	27	60	–	0,45	–
4427/79	27,2	63,4	–	0,43	–
4427/74	32,6	x2-68	–	0,5	–
4427/76	33,4	61,4	21	0,54	1,57

Сравнение. От *S. audacula*, описанного Литвинович (1963, с. 260, табл. LIV, 1–3, 7, 8) отличается более вытянутой в ширину, крыловидной формой, невысокой макушкой и более низким дельтириальным отверстием, более мелким и очень широким синусом. От близкой по форме раковины *S. iowensis* (Owen), (Stainbrook, 1943, с. 421, табл. 65, фиг. 1–5, 10) отличается в 1,5 раза меньшим размером, формой раковины, широким, мелким, пологоокруглым профилем синуса, а не резко треугольным, как у сравниваемого вида.

Замечания. Монгольские формы сходны с североамериканским видом *S. cedarensis*. От изображенного в работе Stainbrook, (см. синонимику) отличается незначительно – более узкими ребрами и меньшей высотой ареи.

Распространение. Средний–верхний девон, животский и франский ярусы Казахстана, слои Гамильтон Северной Америки; хатугольская свита (живет) Монгольского Алтая.

Материал. 9 экз.: 7 целых раковин и 2 брюшные створки; Монгольский Алтай, правобережье р. Сагсай, р-н горы Улаан (абс. отм. 2089.5)-5 экз.; холдзатийская свита (живет); левобережье р. Сагсай, 550 м северо-северо-восточнее горы Хурэн Толгой, (абс. отм. 1883.1)-2 экз.; средний девон, животский ярус холдзатинская свита; 14,7 км западнее-юго-западнее сомона Цаган нур, в р-не горы Хар Толгой (абс. отм. 2439.9); 2 экз.; хатугольская свита (живет).

Spinocystia mongolica Oleneva, 1998

Табл. X, фиг. 7, 8

Spinocystia mongolica: Оленева, 1998, с. 49, табл. 3, фиг. 12

Голотип – ПИН, № 4427/39: целая раковина; Монгольский Алтай, 550 м северо-северо-западнее горы Хурэн Толгой; холдзатийская свита, животский ярус. Хранится: Палеонтологический институт, Москва. Изображен здесь и на табл. X, фиг. 7.

Дагноз. Раковина среднего и крупного размера, поперечно вытянутая. Синус мелкий, слабо ограниченный. Спинная створка вздутая, седло низкое, заметное лишь вблизи переднего края раковины.

Описание. Раковина среднего и крупного размера (длина 25–29 мм), поперечно вытянутой, полуovalной формы, наибольшая ширина раковины на 3–5 мм больше длины замочного края. Замочные углы слабо вытянутые, боковые стороны округлые.

Брюшная створка менее выпуклая, чем спинная, наибольшая выпуклость расположена в 1/2 части переднего края створки. Макушка высокая, прямая, образует угол 130–140°. Арея высокая (до 5 мм), длинная, слабовогнутая, от орто- до апсаклини. Дельтий широкий, открытый, длина основания которого достигает 1/3 длины замочного края. Синус начинается от макушки, мелкий, округленно-треугольной формы, с боковых сторон слабо ограничен.

Спинная створка вздутая, наибольшая выпуклость расположена в 1/3 части переднего края створки. Макушка низкая, тесно примыкающая к брюшной створке. Седло слабо выражено, с наибольшей высотой не более 2–3 мкм, отчетливо заметное лишь вблизи переднего края створки. Боковые ребра невысокие, широкие, тесно расположенные, в количестве 15–18 по обе стороны раковины с узкими мелкими промежутками между ними, верхушки ребер приплюснутые. Микроскульптура на нашем материале не наблюдалась.

Внутри брюшной створки находятся расходящиеся зубные пластины, длина которых доходит до 1/3 длины раковины. Дельтириальная плата тонкая, отчетливо заметная лишь на начальных стадиях пришлифовки, развито макушечное утолщение (рис. 23). В спинной – широкий, низкий замочный отросток и небольшие курулальные пластины.

Размеры в мм и отношения:

№ экз.	Д	Ш	Т	Дз.к.	Д/Ш	Д/Т	Дз.к./Ш
4427/39	25,3	37,5	20	34	0,6	1,26	0,9
4427/38	29,5	38,5	17,7	33,3	0,7	1,66	0,86

Сравнение. От типового вида *Spinocystia granulosa* (Conr.), (Ehlers et Wright, 1955, с. 6, табл. I, фиг. 4–9) отличается в 2 раза меньшим размером, высокой ареей, прямо стоящей, а не клюввидно загнутой макушкой. От близкой *S. mourantae* (Ehlers et Wright, 1955, с. 10, табл. I, фиг. 1–3, табл. IV, фиг. 1–4) отличается округлыми кардинальными углами, узким и низким седлом, ограниченным лишь у переднего края. От близкого по форме *S. ravenswoodensis*, (Ehlers and Wright, 1955, с. 17,

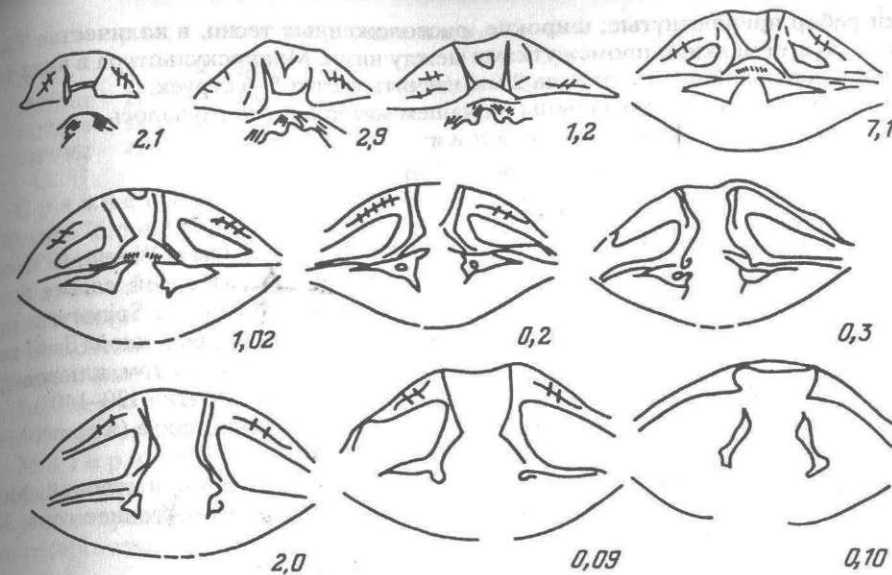


Рис. 23. *Spinocystia mongolica* Oleneva

Внутреннее строение раковины с сочлененными створками по пленкам ПИН, № 4427/10(x1,5); Монгольский Алтай, левобережье р. Сагсай, 550 м северо-северо-западнее горы Хурэн-Толгой; холдзатийская свита (живет)

табл. 9, фиг. 1–9, табл. 10, фиг. 1, 2) отличается в 1,5 раза меньшими размерами раковины, отсутствием продольной бороздки в синусе. От *S. euruteines* (Owen, 1852) (Steinbrook, 1943, с. 423, табл. 67, фиг. 1–6, 8, 9), близкой по размеру и вздутости раковины, отличается, формой раковины и прямо стоящей, а не загнутой макушкой. От *S. martianovi* (Stück.) (Иванова, 1962, табл. XVIII, фиг. 1–7), отличается формой раковины, значительно вздутой спинной створкой, слабо выраженным седлом.

Распространение. Средний девон холдзатийская свита (живет) Монгольского Алтая.

Материал. 18 экз., из них 4 целых, 8 брюшных и 6 спинных створок; местонахождение как у голотипа.

Spinocystia sp.

Табл. XI, фиг. 3

Описание. Раковина крупная ($D = 48$ мм), слабо поперечно вытянутая, наибольшая ширина раковины немногим больше длины замочного края. Замочные углы и боковые стороны округлые.

Брюшная створка равномерно выпуклая. Макушка высокая, острыя, клювовидно загнутая, нависающая над спинной створкой, образует угол 100–110°. Арея высокая (6 мм), длинная, слабовогнутая от орто- до апсаклини. Дельтий широкий, открытый, длина основания которого достигает 13,5 мм при высоте стороны 11 мм. Синус начинается от макушки, мелкий, слабо выраженный, широкий, вблизи переднего края его ширина достигает ширины 6–7 ребер, с боковых сторон едва ограничен.

Спинная створка более выпуклая, чем брюшная, наибольшая выпуклость расположена на 1/3 длины раковины. Макушка низкая, тесно примыкающая к брюшной створке. Седло слабо возвышается, с наибольшей высотой не более 2–3 мм, отчетливо выражено лишь вблизи переднего края. Боковые ребра невысокие,

хушки ребер приплюснутые, широкие, расположенные тесно, в количестве 15–18 штук, с узкими мелкими промежутками между ними. Микроскульптура в виде тончайшей радиальной штриховки, на 2 мм насчитывается 5–6 струк.

Внутреннее строение раковины на нашем материале не изучалось.

Размеры в мм и отношение:

№ экз.	Д	Ш	Т	Д/Ш	Д/Т
4427/51	47,8	27	27	1,8	1,8

Сравнение. От типового вида *S. granulosa* (Conr.) (Ehlers et Wright, 1955, с. 6, табл. I, фиг. 4–9, табл. II, фиг. 1, 2) отличается более высокой ареей, слабее выраженным седлом и синусом, более острым макушечным углом. От *Spinocucuria martianofii* (Stuck) (Иванова, 1962, с. 90) отличается более крупной раковиной ($D=47$ против 23 у сравниваемого вида), слабо выраженными синусом и седлом, клювовидно загнутой макушкой, меньшим макушечным углом ($100–110^\circ$ против $130–140^\circ$).

Распространение. Средний девон холдзатийская свита (живет), Монгольского Алтая.

Материал. 2 экз.; 1 целая раковина и обломок брюшной створки; Монгольский Алтай, левобережье р. Сагсай, 550 м северо-северо-восточнее горы Хурэн Толгой (абс. отм. 1883,1); холдзатийская свита (живет).

СЕМЕЙСТВО CYRTOSPIRIFERIDAE IVANOVA, 1959

ПОДСЕМЕЙСТВО CYRTOSPIRIFERINAE H. et G. TERMIER, 1949

Род *Cyrtospirifer*, Nalivkin, 1919 (1924)

Cyrtospirifer schelonicus Nalivkin, 1941

Табл. XII, фиг. 1–3, 13; табл. XV, фиг. 20

Cyrtospirifer schelonicus: Наливкин, 1941, табл. VI, фиг. 2; Ржонсицкая, 1952, с. 126, табл. XX, фиг. 1–3.

Голотип. Раковина изображена Наливкиным Д.В. (1941, табл. 6, фиг. 2). Ленинградская обл., р. Шелонь, свинордские слои; нижний фран. Хранится: Центральный геологический музей: С.-Петербург.

Диагноз. Раковины крупного размера, поперечно вытянутые, неравносторчатые. Макушка маленькая, слабозагнутая. Арея треугольная, вогнутая, умеренно высокая. Седло и синус слабо ограниченные. Ребра многочисленные, одинаковые как в синусе, так и на возвышении.

Описание. Раковины крупного размера ($D = 28–42$), вытянутые в ширину (30–43 мм). Замочный край прямой, соответствует наибольшей ширине раковины. Боковые комиссуры округлые.

Брюшная створка умеренно выпуклая. Макушка небольшая, слабозагнутая. Арея хорошо ограниченная, довольно высокая, (длина превышает высоту примерно в три раза) треугольная, слабовогнутая в примакушечной части. Синус начинается от самой макушки, слабо ограниченный, профиль дна синуса – пологоокруглый.

Спинная створка слабовыпуклая, макушка маленькая, низкая. Возвышение начинается от самой макушки, пологоокруглое, невысокое, слабо ограниченное. Вблизи переднего края раковины возвышение сильно расширяется.

На ядрах брюшных створок заметны щели от крупных, расходящихся зубных пластин. В спинной створке – мощный струйчатый замочный отросток (табл. XV, фиг. 20б).

Поверхность раковины покрыта многочисленными ребрами, из которых срединные такой же величины, что и боковые. В синусе находятся 10 ребер, которые, дихотомируют на разном расстоянии от макушки. На боковых склонах по 20 простых ребер. Микроскульптура на нашем материале не сохранилась.

Размеры в мм и отношения:

№ экз.	Д	Ш	Т	Д/Ш	Д/Т
4427/361	21	32	0,6		
4427/366	28	51	0,5		
4427/362	42,4	45	0,9		

Сравнение. Описываемый вид наиболее близок *C. lichor* Nal. (Наливкин 1930, стр. 76, табл. VII, фиг. 5), от которого отличается слабо ограниченными и широким синусом и возвышением.

Замечания. Монгольские формы по форме и особенностям скульптуры близки к виду *C. schelonicus*, описанному Ржонсицкой (1952, с. 126) из нижнефранских отложений Кузнецкого бассейна, от которого отличаются только слабо ограниченным синусом.

Распространение. Верхний девон, фран вассинский горизонт Кузнецкого бассейна; цагансаласская свита Монгольского Алтая.

Материал. 4 экз., из них 1 неполная раковина, 2 брюшных и 1 спинная створка, в ядрах и отпечатках; Монгольский Алтай, 4,2 км севернее сомона Цаган нур, устье правого борта распадка Урт-Зуух-2 экз.; 3,2 км северо-западнее горы Ямаат (абс. отм. 2812)-2 экз.; цагансаласская свита (нижний фран).

Cyrtospirifer verneuili (Murchison 1840)

Cyrtospirifer verneuili echinosus Ljaschenko, 1958

Табл. XII, фиг. 4–8

Cyrtospirifer verneuili var. *echinosus*: Ляшенко, 1958, с. 150, табл. XI, фиг. 4; 1959, с. 123, табл. XIII, фиг. 4–8.

Cyrtospirifer echinosus: Ляшенко, 1973, с. 84, табл. 25, фиг. 1–7; табл. 50, фиг. 1.

Cyrtospirifer verneuili echinosus: Brice, 1970, с. 117, табл. VII, фиг. 6–9.

Голотип. № 60/36, целая раковина, изображена А.И. Ляшенко (1958, табл. XI, фиг. 4; Южный Тиман, Ухтинский район, нефтешахта № 2, интервал 90–110 м; нижняя часть тиманского горизонта, франский ярус). Хранится: ВНИГНИ, Москва.

Диагноз. Раковина крупного размера, трапециедальная, с длинным замочным краем, обычно оттянутым в остроконечия. Арея умеренно высокая, треугольная, вогнутая. Поверхность раковины покрыта высокими округленными радиальными ребрами, разделенными узкими промежутками. На поверхности ребер наблюдаются тонкие шипы.

Описание. Раковины среднего и крупного размера ($D = 20–28$ мм, вытянутые в ширину ($D/Ш = 0,4$), неравносторчатые. Замочный край прямой, соответствует наибольшей ширине раковины. Кардиальные углы прямые или острые, реже вытянутые в маленькие ушки. Угол, образованный боковым и замочным краем, может меняться от 60 до 90°.

Брюшная створка выпуклая, округленно-четырехугольная, полупирамидальной формы. Макушка небольшая, изогнутая. Арея хорошо ограниченная, невысокая, треугольная, прямая или слабовогнутая. Синус начинается от самой макушки отчетливо ограниченный, глубокий, профиль дна синуса округлый.

Спинная створка слабовыпуклая. Макушка маленькая, едва возвышается над замочным краем раковины. Арея узкая, вблизи макушки вогнутая, ближе к переднему краю выполаживается. Возвышение плоскоокруглое, невысокое. На некоторых экземплярах заметно присутствие срединного валика.

Скульптура в виде узких, резких, невысоких ребер с узкими промежутками между ними. Боковые ребра равны по величине ребрам в седле и синусе. На боковых сторонах насчитывается по 24–29 тесно расположенных ребер, в синусе из них 6–8, из них центральные – дихотомируют.

Микроскульптура представлена в виде тончайших концентрических линий на расстояния, на 1 мм насчитывается до 12 линий. На боковых ребрах заметны следы от игл или бугорков в виде полостей на месте их прикрепления (табл. XII, фиг. 8). На одном ребре насчитывается по 4–6 правильных рядов игл.

На ядрах брюшных створок заметны узкие зубные пластины, протягивающиеся на 1/3–1/4 длины створки.

Замочный отросток широкий, пластинчатый.

Размеры в мм и отношения:

№ экз.	Д	Ш	Д/Ш
4427/350	20	x2-42	0,47
4427/351	28	55	0,50

Изменчивость выражена в изменении угла сочленения замочного и боковых сторон, изменяющегося от 60 до 90°, реже наблюдаются маленькие ушки.

Сравнение. От типового подвида *C. verneuili verneuili* (Murch.) отличается углом сочленения замочного и бокового краев, который у сравниваемого подвида всегда острый, а также меньшим числом ребер в синусе (6–8 против 8–14). От *C. verneuili gosseleti* (Grabau) отличается менее вздутой раковиной, низкой макушкой, более узкими синусом и возвышением, меньшим числом ребер в средней части раковины: 6–8 против 17–20 у сравниваемого вида.

Замечания. Монгольские формы отличаются от тиманских незначительно – большим числом бугорков на ребрах (4–6, против 3–5).

Распространение. Верхний девон, нижнефранские отложения Русской платформы, Южного Тимана, Афганистана; цагансаласская свита Монгольского Алтая.

Материал. 33 экз.: 17 брюшных и 16 спинных створок в виде ядер и отпечатков преимущественно деформированных раковин; Монгольский Алтай, 4,2 км севернее сомона Цаган нур, устье правового борта распадка Урт Зуух, в 3,2 км от горы Ямат, (абс. отм. 2812); цагансаласская свита (нижний фран); верховье руч. Цаган Сала, правового притока реки Хаттугийн, 2,3 км западнее юго-западнее горы Цаган Сала, (абс. отм. 3115) – 1 экз.;

Cyrtospirifer tschernyschewi Khalfin, 1933

Табл. XII, фиг. 9, 10

Cyrtospirifer tschernyschewi: Халфин, 1933, с. 27, табл. IV, фиг. 4–5; Ржонница, 1952, с. 132, табл. XXIII, фиг. 5–6; табл. XXIV, фиг. 1–7

Cyrtospirifer (*Cyrtospirifer*) *tschernyschewi*: Сидяченко, 1962, с. 58, табл. XI, фиг. 5–6

Лекотип. Целая раковина, предложенная Ржонницкой (1952, с. 132), происходит из нижнефаменских отложений с. Жарковского (Кузбасс, Анжеро-Судженский район). Изображен Л.Л. Халфином (1933, табл. IV, фиг. 4).

Диагноз. Раковина среднего размера, слабо поперечно вытянутая, взутая, полуокруглого очертания. Арея высокая, треугольная, слабовогнутая. Замочный край укороченный, кардинальные углы округлые.

Описание. Раковины среднего размера ($D = 21$ мм), полуокруглого очертания, взутые, с наибольшей выпуклостью в передней части раковины. Боковые стороны округлые. Макушка высокая, слабозагнутая, макушечный угол, измеренный по одному экземпляру, достигает 120°. Арея высокая, треугольная, слабовогнутая. Дельтириальное отверстие широкое. Синус мелкий, широкий, с боковых сторон ясно ограниченный более крупными складками, в сечении плоскодугообразный.

Скульптура обычна для циртоспириферид. Ребра узкие, довольно тонкие, высокие, округленно-треугольные, дихотомирующие в синусе и на возвышении и простые на боковых сторонах раковины. На боковых сторонах насчитывается 12–15 ребер. В синусе 7–9 резких, округлых ребер, равных по размеру боковым.

Микроскульптура в виде тончайшей радиальной струйчатости, на одном ребре насчитывается до 8 струек (табл. XII, фиг. 10в).

Размеры в мм и отношения:

№ экз.	Д	Ш	Д/Ш
4427/357	21	x2-34	0,6
4427/361	21	x2-32	0,7

Сравнение. Описываемый вид от сходного по форме раковины *C. archiaci* (Murch.), описанного в работе Сидяченко (1962, с. 55, табл. VII, фиг. 2–4), отличается менее вогнутой ареей, более коротким замочным краем более широким синусом. От *C. baisalensis* Nal. (Наливкин, 1937, стр. 98, табл. XXV, фиг. 1–8) отличается высокими, округленно-треугольными ребрами, а не низкими и плоскими.

Замечания. Имеющиеся в коллекции экземпляры близки представителям *C. tschernyschewi*, описанным из фамена Кузнецкого бассейна (Ржонница, 1952, с. 132). А.И. Сидяченко (1962, стр. 59) отмечает, что для представителей *tschernyschewi* М.А. Ржонница не придает существенного значения характеру ограничения ареи от боковых частей раковины. В первоописании Л.Л. Халфин (1933), напротив, указывает на нерезко ограниченную арею, как на один из характерных признаков выделенного им вида. На нашем материале арея резко ограничена, что сближает описанный вид с представителями *C. archiaci* (Murch.), от которого в то же время существенно отличается по другим характеристикам (см. сравнение). Наличие высокой, слабовогнутой ареи (табл. XII, фиг. 10а, б) и окруженные кардинальные углы позволяют нам относить описанный вид к представителям *C. tschernyschewi*. Ограничность материала, к сожалению, не дает возможности судить о степени изменчивости данного вида.

Распространение. Верхний девон (нижний фамен); пещеркинский горизонт Кузнецкого бассейна; майстеровские слои Казахстана, талнурская свита Монгольского Алтая.

Материал. 2 экз.: брюшная створка и отпечаток спинной; Монгольский Алтай, район южной оконечности оз. Тал нур; талнурская свита (нижний фамен).

Cyrtospirifer off. procumbens Simorin, 1956

Табл. XII, фиг. 14

Spirifer (*Cyrtospirifer*) *platynotus* Симорин, 1956, с. 32

Cyrtospirifer procumbens: Мартынова, 1961, с. 123, табл. XXIII, фиг. 6–8; Литвинович и др., 1963, с. 288, табл. LX, фиг. 1–14; Литвинович и др. 1975, с. 81, т. XXIII, фиг. 6; табл. XXIV, фиг. 4, табл. XXV, фиг. 1

Голотип. Целая раковина; Сарыадыр, симоринский горизонт. Изображен Н.В. Литвинович и др. (1975, табл. 24, фиг. 4). Хранится: Геологический институт Казахской Академии наук.

Диагноз. Крупная раковина, полуокруглой формы. Синус ограничен двумя более широкими складками, очень мелкий, плоскодугообразный, в синусе ребра шире боковых.

Описание. Раковина крупная ($D = 39$ мм), округленно-треугольного очертания, умеренно взутая, с наибольшей выпуклостью в передней части раковины. Боковые стороны округлые. Макушка невысокая, слабозагнутая, макушечный угол достигает 110–120°. Арея высокая, треугольная, слабовогнутая. Дельтириальное отверстие широкое, высота его соответствует длине основания равного 12 мм. Синус мелкий, широкий, с боковых сторон ясно ограниченный более крупными ребрами, в сечении плоскодугообразный.

Скульптура представлена узкими угловатыми ребрами, на боковых сторонах от синуса расположены по 22 ребра. В синусе 5 низких округлых ребра, которые по

размеру в два раза шире боковых. Микроскульптура на нашем материале не сохранилась.

Внутри брюшной створки заметны расходящиеся зубные пластины, протягивающиеся на 1/3 длины створки.

Размеры в мм и отношения:

№ экз.	Д	Ш	Д/Ш
4427/385	39	54	0,7

Сравнение. По форме раковины описанный вид близок к *C. ussoffi Khalpin* (Халфин, 1933, с. 29, табл. 4, фиг. 11; табл. 5, фиг. 1–3), от которого отличается характером ребер в синусе, а также меньшим их числом (6 против 10–12). От казахских *C. procumbens* монгольские экземпляры отличаются длиной створки (39 против 24) и отсутствием дихотомии ребер в синусе.

Замечания. Монгольская форма сходна с видом, описанным Д. В. Наливкиным (193, с. 95) под названием *Spirifer (Cytospirifer) platynotus Weller*, и с формами, названными А. М. Симориным как *Spirifer (Cytospirifer) procumbens Simor.* (Симорин, 1956, с. 32), рассматриваемым им как казахстанский вариетет американского вида *C. platynotus Weller* (Weller, 1914, с. 317, табл. 39, рис. 1–10). По мнению М. В. Мартыновой (1961, с. 124), американские формы по их описанию и изображению относятся к роду *Spirifer*. Ввиду того, что они отличаются от казахстанских форм меньшим размером, М. В. Мартынова (1961, с. 123) считает правильным казахстанские формы принимать за самостоятельный вид *Cytospirifer procumbens Simorin.*

Распространение. Верхний девон, (нижний фамен) талнурская свита. Материал. 4 брюшных и одна спинная створка; Монгольский Алтай, район южной оконечности оз. Тал нур, талнурская свита (нижний фамен).

Cytospirifer sp.

Табл. XII, фиг. 11, 12; табл. XIII, фиг. 1–4

Описание. Раковина небольшая ($D = 10–19$ мм), сильно вытянутая в ширину, ($D/W = 0,2$), крылатая. Замочный край длинный, соответствующий наибольшей ширине раковины. Замочные углы сильно оттянутые, остроугольные.

Брюшная створка умеренно выпуклая, с наибольшей выпуклостью в средней части раковины. Макушка невысокая, слабозагнутая, арея длинная, низкая, желобообразная. От самой макушки раковины протягивается неглубокий, округлый, широкий синус, у переднего края раковины ширина синуса может соответствовать ширине 5–6 боковых ребер, с боковых сторон синус ограничен более резкими ребрами.

Спинная створка слабовыпуклая, с широкой, слабо выдающейся макушкой. Арея низкая, линейная. Седло плоскоокругленное, с боковых сторон резко ограниченное глубокими бороздками.

Поверхность раковины покрыта многочисленными ребрами. На боковых сторонах от синуса и возвышения находятся по 16–18 резких, угловатых ребер с узкими промежутками между ними. В синусе насчитывается 6–8 ребер, таких же, как и с боковых сторонах раковины. На седле, посередине, проходит одно широкое ребро, по бокам от которого наблюдаются по два коротких.

На отпечатках наружной поверхности заметны следы от мелких удлиненных сосочеков или игл, в виде полостей от "булавочных уков".

Размеры в мм и отношения:

№ экз.	Д	Ш	Д/Ш
4427/274	10.2	x2–40	0,2
4427/372	11.7	40.3	0,3
4427/370	13	42.5	0,3
4427/371	19.2	x2–40	0,5
4427/372	19.6	x2–42	0,5

Сравнение. По форме раковины наиболее близок к *C. achmet Nal.* (Наливкин, 1937, с. 89, табл. XVI, фиг. 7, 8), от которой отличается меньшим числом ребер на боковых сторонах раковины (16–18 против 30). От всех представителей группы *Cytospirifer* отличается особенностю расположения ребер на седле спинной створки.

Распространение. Верхний девон, фран; цагансаласская свита Монгольского Алтая.

Материал. 14 экз., из них 4 спинных и 10 брюшных створок, чаще обломанных преимущественно в ядрах; Монгольский Алтай, верховье руч. Цаган Сала, левого притока р. Хаттугийн, 2,3 км западнее-юго-западнее горы Цаган Сала (абс. отм. 3115) – 9 экз.; цагансаласская свита (н. фран); 3,2 км северо-западнее горы Ямаат, (абс. отм. 2812); 5 экз; там же.

ПОДОТРЯД DELTHYRIDIDINA

НАДСЕМЕЙСТВО DELTHYRIDIOIDEA PHILLIPS, 1841

СЕМЕЙСТВО DELTHYRIDIDAE PHILLIPS, 1841

ПОДСЕМЕЙСТВО GUERICELLIINAE PAECKELMANN, 1932

Род *Howellella* Kozlowski, 1946

Howellella laeviplicata (Kozlowski, 1929)

Табл. XIII, фиг. 5, 9–12

Spirifer (Crispella) laeviplicatus: Kozlowski, 1929, с. 195, табл. X, фиг. 22–27.

Spirifer (Howellella) laeviplicatus: Никифорова, 1954, с. 144, табл. XVI, фиг. 6–8.

Howellella laeviplicata: Кульков, 1967, с. 125, табл. XX, фиг. 8, 9; Коломенский, 1977, с. 70, табл. VI, фиг. 5–6, рис. 2

Голотип. Целая раковина, изображена при первоописании (Kozlowski, 1929, табл. X, фиг. 22); село Верхняковцы, борщовский горизонт (лохков).

Диагноз. Раковина средних размеров, умеренно вздутая. Поверхность раковины покрыта сложенными складками, по сторонам от синуса и возвышения находятся по 5–6 складок, замочные углы широкоокруглые. Дно синуса округленно-угловатого очертания.

Описание. Раковина среднего размера ($D = 17–24$ мм), округло-ромбических очертаний, несколько поперечно вытянутая, умеренно вздутая. Замочный край немногого короче наибольшей ширины раковины. Замочные углы широкоокруглые.

Брюшная створка умеренно вздутая, немного более выпуклая, чем спинная. Макушка невысокая, острыя, слабозагнутая. Арея анаклиновая, ясно ограниченная. Дельтий открытый. По краям дельтия развиты узкие дельтидиальные пластины. Синус начинающийся от самой макушки умеренно глубокий, с округленно-угловатым дном. Язычок синуса низкий, дугообразный.

Спинная створка умеренно и равномерно выпуклая. Макушка широкая, слабозагнутая. Арея анаклиновая очень низкая, но ясно ограниченная. Возвышение, начинаяющееся от самой макушки, имеет вид округлой складки, постепенно расширяющееся и слегка приплюснутая к переднему краю створки.

Поверхность створок покрыта низкими округлыми сложенными ребрами, начинаяющимися непосредственно у макушки, которые вблизи переднего края становятся довольно широкими. Число складок на боковых склонах брюшной створки изменяется от 4 до 6, а на спинной – от 5 до 7. Чаще встречаются экземпляры с 5 складками на брюшной и 6 – на спинной. Микроскульптура представлена отчетливыми концентрическими пластинами, сильно сближенными к переднему краю (пять на 1 мм). По краю пластин находятся тонкие, короткие иглы, на 1 мм насчитываются до 15 игл (табл. XIII, фиг. 12).

Внутри брюшной створки развиты довольно длинные зубные пластины, достигающие 1/5 длины раковины. Срединная септа отсутствует. В спинной створке име-

ется массивный замочный отросток. Круральные пластины на большей части своей длины свободные и лишь в примакушечной части опираются на дно спинной створки. Ручной аппарат состоит из двух конусов спиралей, вершины которых направлены к боковым сторонам раковины. Каждый конус состоит из 14–16 оборотов.

Размеры в мм и отношения:

№ экз.	Д	Ш	Дз.к	Кр	Т	Д/Ш	Дз.к./Г	Д/Г	Дз.к./Ш
4427/248	17,8	25,2	20	6	—	0,70	—	—	0,8
4427/243	19,5	21,6	17	—	13	0,90	1,30	1,5	0,8
4427/242	24,5	27,5	—	5	—	0,89	—	—	—
4427/244	20	x2-26	15	5	13	0,76	1,15	1,5	0,6

Изменчивость. Варьирует степень удлиненности и вздутости раковины. Крайние величины составляют 0,70–0,90.

Сравнение. От близкого вида *Howellella angustiplicata* (Kozlowski, 1929, стр. 192, табл. 10, фиг. 10–19) описываемый вид отличается меньшим числом складок (5–6 против 7–10) и их большей слаженностью. Близкий американский вид *Howellella pauciplicata*, установленный Уэйттом (Waite, 1956, стр. 17, табл. 4, фиг. 6–10) из верхнесилурийских доломитов Лейктаун (Laketown), отличается меньшими размерами раковины и меньшим числом складок. От *H. subgregaria* (Rzon., Ржонницкая, 1952, с. 147, табл. II, фиг. 1–12) отличается менее удлиненной раковиной, менее длинной и менее завернутой макушкой, слабее выраженными ребрами.

Замечания. Описываемые формы отличаются от *H. laeviplicata* из Северо-западной Монголии (Алексеева, 1977) менее вытянутой в ширину раковиной (Ш 21–27 против 29–36 мм).

Распространение. Верхний силур Горного Алтая. Нижний девон (низы), борщовский горизонт Подолии, Северо-Восточного Салаира; Северо-Западная Монголия; уланхусская свита Монгольского Алтая.

Материал. 50 экз., из них 5 целых раковин, брюшных – 28 створок, спинных – 17; Монгольский Алтай, правобережье р. Сагсай, 800 м к северу от перевала Бугучий Даваа, обн. 8, сл. 2, 3 – 21 экз.; уланхусская свита (лохков); правобережье р. Сагсай, в 1,5 км к северу от перевала Бугучий Даваа, обн. 9–18 экз. (сборы Л.М. Улитиной, 1974 г.) там же; правобережье р. Сагсай, 1700 м юго-западнее горы Цахир Дел Толгой – 12 экз., там же.

Howellella angustiplicata (Kozlowski, 1929)

Табл. XIII, фиг. 6–8

Spirifer (Crispella) angustiplicata: Kozlowski, 1929, с. 192, табл. X, фиг. 10–19.

Howellella angustiplicata: Никифорова, 1954, с. 146, табл. XVI, фиг. 9–10; Иванова, 1962, табл. III, фиг. 9–14; Коломенский, 1977, с. 72, табл. IV, фиг. 7, рис. 3; Кульков, 1985, с. 186, табл. XXIV, фиг. 8, 9.

Голотип. Целая раковина, изображена при первоописании (Kozlowski, 1929, табл. 10, фиг. 10; село Верхняковцы; борщовский горизонт (лохков).

Диагноз. Раковина небольших и средних размеров, умеренно вздутая. Поверхность раковины покрыта хорошо выраженным складками, число которых с каждой стороны от седла и синуса равно 7–8. Замочные углы округлые. Дно синуса округленно-треугольное.

Описание. Раковина среднего размера ($D = 11$ –18 мм), поперечно вытянутая, умеренно вздутая. Замочный край немного короче наибольшей ширины раковины. Замочные углы округлые.

Брюшная створка умеренно вздутая. Макушка невысокая, широкая, слабозагнутая. Арея анаклиническая, хорошо ограниченная. Дельтий открытый, по краям которого развиты узкие дельтириальные пластины. Синус начинается от самой ма-

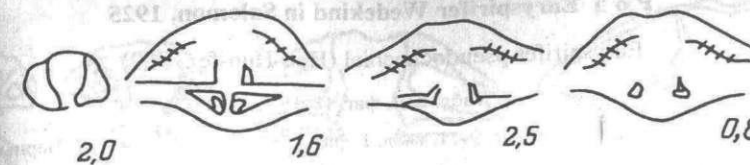


Рис. 24. *Howellella angustiplicata* (Kozlowski)

Внутреннее строение раковины с сочлененными створками по пленкам ПИН, № 4427/245(х2); Монгольский Алтай, правобережье р. Сагсай, 1700 м юго-западнее от горы Цахир Дел Толгой; уланхусская свита (лохков)

кушки, умеренно глубокий, расширяется и углубляется ближе к переднему краю. Дно синуса округленно-треугольное.

Спинная створка умеренно и равномерно выпуклая, менее выпуклая, чем брюшная. Макушка широкая, слабозагнутая. Арея анаклиническая, очень низкая, но ясно ограниченная. Седло, начинающееся от самой макушки, постепенно расширяющееся и слегка уплощенное ближе к переднему краю.

Поверхность створок покрыта низкими округлыми отчетливыми складками, начинающимися непосредственно у макушки. Число складок на боковых склонах брюшной створки изменяется от 7 до 9, а на спинной может доходить до 10. На поверхности раковины развиты тонкие концентрические пластины. По краю пластин развиты тонкие, короткие иглы, которые на нашем материале едва заметны.

Внутри брюшной створки развиты тонкие, длинные зубные пластины, достигающие 1/4 длины раковины. Зубные пластины поддерживают массивные, булавовидные зубы, плотно входящие в продолговатые зубные ямки. Срединная септа отсутствует.

В спинной створке имеется массивный, пластинчатый замочный отросток. Круральные пластины лишь в примакушечной части опираются на дно створки (рис. 24). Ручной аппарат состоит из двух конусов спиралей, вершины которых направлены к боковым сторонам раковины. Количество оборотов конуса доходит до 10–12.

Размеры в мм и отношения:

№ экз.	Д	Ш	Кр	Дз.к.	Т	Д/Ш	Дз.к./Г	Д/Г	Дз.к./Ш
4427/247	11,7	26	7	—	—	0,45	—	—	—
4427/246	17	14	8	9,5	8	1,21	1,18	2,12	0,67
4427/245	18	22	7	15	12,3	0,81	1,22	1,46	0,68

Изменчивость. Варьирует степень удлиненности и вздутости раковин. Число боковых складок зависит от ширины раковины и чаще всего меняется от 7 до 9.

Сравнение. От близкого вида *H. mercuriformis* (Кульков, 1963, с. 96, табл. 8, фиг. 3–5) отличается большими размерами и числом более отчетливых складок (7–10 против 5–6).

Распространение. Верхний силур Тувы; нижний девон (ложков) борщовского горизонта Подолии, Северо-Западная Монголия, уланхусская свита Монгольского Алтая.

Материал. 11 раковин, из них 1 – целая, 7 – брюшных и 3 – спинных. Монгольский Алтай, левобережье р. Сагсай, 800 м к северу от перевала Бугучий Даваа, обн. 8, сл. 2, 3 – 3 экз.; уланхусская свита (лохков); правобережье р. Сагсай в 1,5 км к северу от перевала Бугучий Даваа, обн. 9 – 2 экз. (сборы Л.М. Улитиной, 1988 г.) там же; правобережье р. Сагсай, 1700 м юго-западнее горы Цахир Дел Толгой – 6 экз., там же.

Род Euryspirifer Wedekind in Salomon, 1925

Euryspirifer pseudocheehiel (Hou-Hun-fe, 1959)

Табл. XIII, фиг. 13–15

Spirifer cheehiel: Struckenbergs, 1886, с. 9–11, табл. 1, фиг. 4; табл. II, фиг. 1–4, 6–7; Чернышева, 1937, с. 43, табл. 3, фиг. 16–17.

Spirifer (Hysterolites) cheehiel: Халфин, 1937а, с. 411; табл. I, фиг. 6, 11, 12; табл. II, фиг. 6, 11, 12; табл. III, фиг. 16, 19, 21; табл. IV, фиг. 24–26, 29, 30–32; табл. V, стр. 33; Халфин, 1937б, с. 108; табл. 4, фиг. 44–47; табл. 5, фиг. 53–55.

Spirifer (Elytha?) cheehiel: Наливкин, 1938, с. 86, табл. II, фиг. 3.

Acrospirifer cheehiel: Наливкин, 1947, с. 109, табл. XXV, фиг. 4–5; Грацианова, 1955, с. 259, табл. LIX, фиг. 5; табл. X, фиг. 1, 5.

Euryspirifer cheehiel: Ржонницкая, 1952, с. 84–87, табл. X, фиг. 1, 3; рис. 3; фиг. 5; Иванова, 1960, табл. LXII, фиг. 10–11, рис. 379–380; Модзальская, 1969, с. 119, табл. 54, фиг. 1, 2а, б, 3, 4.

Acrospirifer pseudocheehiel: Хоу Хун-фей, 1959, с. 150, табл. 4, фиг. 3а, б, 4а, б.

Euryspirifer pseudocheehiel: Иванова, 1962, с. 103, табл. VII, фиг. 5; табл. VIII, фиг. 1, 2; рис. 44; Мендбаяр, 1976, с. 350, табл. I, фиг. 1–4, рис. 1.

Голотип – молодой экземпляр, изображенный в работе М.А. Ржонницкой (1952, табл. X, фиг. 1); р. Алчедат, восточный конец с. Лебедянского; байский горизонт, верхний живет; избран Хоу Хун-феем, 1959, с. 150. Хранится: Центральный геологический музей, С.-Петербург.

Диагноз. Раковины среднего и крупного размера, поперечно вытянутые, с длинным замочным краем и остроконечными углами. Синус и возвышение гладкие, округлые, на боковых сторонах по 6–8 широких пологих ребра, отношение ширины к длине около 2.

Описание. Раковины среднего и крупного размера (Д около 30 мм), вздутые, значительно поперечно вытянутые ($D/W = 0,4–0,6$). Наибольшая ширина раковины совпадает с длиной замочного края. Замочные углы вытянуты в хорошо развитые, острые ушки, которые чаще обломаны.

Брюшная створка менее выпуклая, чем спинная, наибольшая выпуклость приурочена к 1/3 длины раковины. Макушка немного завернутая вовнутрь. Арея длинная, апсаклиниальная. Дельтий треугольного очертания, основание которого занимает 1/6–1/7 длины замочного края. Синус начинается от макушки, постепенно расширяясь к переднему краю, дно синуса округлое, соответствует ширине 3 ребер. Спинная створка более выпуклая, чем брюшная, наибольшая выпуклость приурочена к 1/3 длины створки. Макушка небольшая, низкая. Арея ортаклиниальная, в два раза ниже центральной ареи. Седло начинается от макушки, высокое, (3–4 мм) округленное. Ребра с боковых сторон простые, невысокие, округлые, в количестве 6–8 штук с широкими промежутками между ними. Микроскульптура состоит из бугорков, расположенных в ряд близко друг к другу по краю пластин нарастания. У взрослых форм ближе к макушке ряды бугорков при переходе на синус расположены в шахматном порядке. У некоторых экземпляров этот шахматный порядок занимает 3/4 длины синуса, опускаясь при этом близко к переднему краю раковины. В макушечной части ряд бугорков находится достаточно далеко друг от друга, ближе к переднему краю на 1 мм насчитывается 2–4 ряда бугорков.

Внутри брюшной створки длинные массивные зубные пластины, концы которых, огибая мускульное поле, сильно расходятся (рис. 25). Хорошо развито макушечное утолщение. Мускульное поле на ядрах брюшных створок овальной формы, очень крупное, расположенное в виде высокого бугра, посередине которого проходит глубокая вдавленность, разделяющая мускульные отпечатки. Аддукторы покрыты радиальной штриховкой, занимающей почти все мускульное поле, во вдавленности располагаются узкие, перистые отпечатки аддукторов.

В спинной створке имеется широкий замочный отросток и небольшие куруальные пластины.

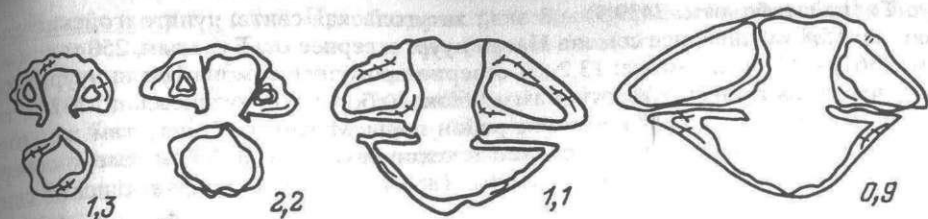


Рис. 25. *Euryspirifer pseudocheehiel* (Hou Hun-fe)

Внутреннее строение раковины с сочлененными створками по пленкам ПИН, № 4427/18(х1,5); Монгольский Алтай, 13,2 км северо-восточнее сомона Цаган нур, 700 м севернее устья распадка Жаргын ам; хатугольская свита, дундтолгойские слои (живет)

Размеры в мм и отношения:

№ экз.	Д	Ш	Т	Д/Ш	Д/Т
4427/70	21,7	46,2	24,3	0,5	0,89
4427/72	27	45	21,1	0,6	1,28
4427/73	29,8	45,4	20,8	0,7	1,43

Изменчивость. Преобладают типичные формы с отношением ширины к длине около 2. Более вытянутые формы, с соотношением ширины к длине около 3 встречаются значительно реже.

Сравнение. От близкого *E. orthogonalis* (Khalfin) (Иванова, 1962, с. 106, табл. 8, фиг. 3; табл. 9, фиг. 3–4, рис. 16) отличается меньшей длиной раковины, характером ребристости и особенностями микроскульптуры – более мелкими сосочками (буторками). От спириферид, выделенных Хоу Хун-феем (1959, с. 149) из животских отложений Китая как *Acrospirifer pseudocheehiel*, наши формы отличаются немногим большим числом ребер (6–8 против 5–6).

Замечания. В работе: “К систематике...” (Грацианова и др. 1987) предлагалось все выделенные виды рода *Euryspirifer* (более 7) принять как эколого-географические морфы рода *Euryspirifer* и выделить один вид – *E. alatus* (Stuck.). Ранее Е.А. Иванова, (1962, с. 100), изучая морфологию, изменчивость и распространение представителей рода *Euryspirifer*, признала самостоятельность выделенных видов, отмечая, что виды рода *Euryspirifer*, кроме общепринятых особенностей, положенных в основу их выделения, отличаются между собой рядом других признаков – величиной макушечного угла, характером ребристости, а *E. orthogonalis* (Иванова, 1962, с. 106) еще и своеобразной микроскульптурой. Анализируя распространение и фациальную приуроченность выделенных видов, Е.А. Иванова приходит к выводу, что места их обитания и время существования не совпадают полностью с *E. pseudocheehiel* и, следовательно, они не могут считаться разновидностями одного вида.

В изученной коллекции присутствуют три представителя рода *Euryspirifer* – *E. pseudocheehiel*, *E. pseudocheehiel alatus*, *E. mesoloba* (таксоны принимаются в ранге, предложенном Е.И. Ивановой), из них первый, наиболее часто встречаемый вид, найден в животских и нижнефранских отложениях из карбонатных и терригенных фаций. Второй – из животских отложений, причем только в терригенных фациях, совместно с *E. pseudocheehiel* встречается редко и, третий вид, – *E. mesoloba* характеризует живот, найден только в карбонатных фациях.

Распространение. Средний девон Китая; байский горизонт (живет) Минусинской котловины; алчедатский горизонт (живет), изылинский, вассинский горизонт (фран, низы) Кузнецкого бассейна; дундтолгойские слои хатугольской свиты Монгольского Алтая.

Материал. 195 экз., из них с обеими створками – 38, брюшных – 80, спинных – 77 экз. хорошей сохранности; 14,7 км от сомона Цаган нур, район горы

Хар Толгой, (абс. отм. 2439,9) – 8 экз.; хатугольская свита, дундтолгойские слои (живет); 15,8 км западнее сомона Цаган нур, севернее оз. Буратын, 250 м от (абс. отм. 2361) – 11 экз., там же; 13,2 км северо-восточнее сомона Цаган нур, 700 м севернее устья распадка Жаргын ам – 96 экз. (сборы Р.Е. Алексеевой, 1974), там же; правобережье реки Хаттугийн, район горы Мухар – 17 экз., там же; горы Дунд Толгой – 9 экз., там же; среднее течение реки Сагсай, 550 м северо-северо-западнее горы Хурэн Толгой (абс. отм. 1883,1) – 54 экз., холдзатийская свита (живет).

Euryspirifer pseudocheehiel alatus (Stuckenber, 1886)

Табл. XIV, фиг. 1–3

Spirifer cheehiel var. *alata*: Stuckenber, 1886, c. 9–11, табл. I, фиг. 4; табл. II, фиг. 1–7.

Spirifer (Hysterolites) cheehiel var. *alata*: Халфин, 1937, с. 110, табл. V, фиг. 56.

Euryspirifer cheehiel var. *alata*: Ржонница 1952, с. 87–88, табл. XI, фиг. 3.

Euryspirifer pseudocheehiel *alatus*: Иванова, 1962, табл. VII, фиг. 1–4, рис. 44.

Г о л о т и п не установлен, синтипы описаны Штукенбергом из Минусинской котловины; бейская свита; верхний живот.

Д и а г н о з . Раковины крупного размера, умеренно вздутые, поперечно вытянутые с отношением ширины к длине более 2. Синус мелкий, гладкий. Возвышение умеренно развитое, ребра округлые, низкие, в количестве 6–8.

О п и с а н и е . Раковины крупного размера, сильно поперечно вытянутые (Д=62 мм, Ш – 110 мм) с длинным замочным краем, соответствующим наибольшей ширине раковины. Кардиальные углы оттянуты в длинные, острые, хорошо развитые ушки. Боковые стороны примыкают к замочному краю под острым углом.

Брюшная створка равномерно выпуклая, наибольшая выпуклость соответствует 1/2 длины раковины. Макушка невысокая, немного завернутая вовнутрь. Арея длинная, низкая, апсаклинная. Дельтий в основании широкий (до 8 мм). Синус слабо ограничен, мелкий, начинается от макушки, к переднему краю сильно расширяется, где ширина его соответствует ширине 4–5 ребер. Дно синуса пологоокруглое, гладкое.

Спинная створка более выпуклая, чем брюшная, с наибольшей выпуклостью, находящейся примерно на 1/4 длины раковины. Макушка маленькая, низкая. Арея низкая, ортоклинная. Седло невысокое, округленное. Поверхность раковины покрыта простыми, округлыми складками, в количестве 6–8 складок по сторонам от синуса и возвышения. Микроскульптура состоит из тесно расположенных бугорков, образующих параллельные ряды по краю пластин нарастания (табл. XIV, фиг. 26). Также как и у вида *E. pseudocheehiel* в синусе бугорки расположены в шахматном порядке. Ближе к переднему краю они образуют тесные ряды, где на 1 мм насчитывается до 4 бугорков.

На ядрах брюшных створок заметны щели от зубных пластин. Мускульное поле в виде высокого округлого бугра, посередине которого проходит широкая вдавленность, разделяющая мускульные отпечатки (табл. XIV, фиг. 3).

Внутреннее строение спинной створки на нашем материале не наблюдалось.

Размеры в мм и отношения:

№ экз.	Д	Ш	Т	Д/Ш	Д/Т
4427/77	26,7	x2–110	25	0,24	1,07
4427/79	30,5	x2–120	–	0,25	–

Сравнение. От типового вида *E. pseudocheehiel* (Hou Hun-fe), отличается сильно вытянутой в ширину раковиной, более развитыми ушками, мелким, слабо ограниченным синусом.

Изменчивость. Преобладают типичные формы с соотношением ширины к длине около 2. Более вытянутые формы с соотношением ширины к длине около 3 встречаются значительно реже.

Распространение. Средний девон (живет) бейский горизонт Кузнецкого бассейна, бейский горизонт Минусинской котловины; дундтолгойские слои хатугольской свиты Монгольского Алтая.

Материал. 6 экз., из них – 1 целое ядро, брюшных – 2 экз., спинных – 3 экз. в виде ядер и отпечатков; Монгольский Алтай, 15,8 км на северо-восток от сомона Цаган нур, западный склон оз. Буратын, 250 м от абс. отм. 2361 – 2 экз.; хатугольская свита, дундтолгойские слои (живет); западнее-юго-западнее сомона Цаган нур, р-он горы Хар Толгой (абс. отм. 2439,9) – 4 экз., там же.

Euryspirifer mesolobus (Korovin, 1927)

Табл. XIII, фиг. 16

Spirifer cheehiel var. *mesoloba*: Коровин, 1927, с. 35.

Spirifer cheehiel var. *mesoloba*: Халфин, 1935, табл. VIII, фиг. 7.

Hysterolites mesolobus: Халфин, 1937а, стр. 412, табл. I, фиг. 3

Spirifer (Hysterolites) mesolobus: Халфин, 1937б, стр. 111, табл. V, фиг. 48–50.

Euryspirifer cheehiel (Koninek) var. *mesoloba*: Ржонница, 1952, с. 88, табл. X, фиг. 4.

Т о л о т и п . Целая раковина; с. Лебедянское, р. Алчедат; бейский горизонт (живет); изображен Халфином (1937, стр. 111, табл. V, фиг. 48–50). Хранится: Государственный политехнический институт, Томск.

Д и а г н о з . Раковина крупного размера, вытянутая в ширину, в синусе широкая, округленная складка в виде валика, отчетливо проявляющаяся в передней половине раковины.

О п и с а н и е . Брюшная створка крупного размера (Д = 31 м), округленно-пятиугольного очертания, взутая, наибольшая выпуклость приурочена к 1/3 длины створки. Боковые стороны округлые. Макушка острая, сильно загнутая. Арея высокая, (5,2 мм) апсаклинная. Макушечный угол 130°.

Синус начинается от макушки, широкий, глубокий, отчетливо ограниченный с боковых сторон, сильно расширяющийся к переднему краю створки. По дну синуса проходит низкое, широкое, срединное ребро, отчетливо заметное лишь вблизи переднего края. С боковых сторон от синуса расположены 6 широких, низких ребер. Микроскульптура представлена в виде частых линий нарастания, на 2 мм насчитывается 3–4 линии.

Размеры в мм и отношения:

№ экз.	Д	Ш	Д/Ш
4427/41	31	37,8	0,8

Сравнение. От *E. pseudocheehiel* (Hou Hun-fe) отличается наличием в синусе срединного валика, отчетливо развитого вблизи переднего края, что не характерно для типичных *cheehiel*.

З а м е ч а н и я . Описанные формы сходны с кузбасскими *E. mesolobus*, изображенными в работе Ржонницы (см. синонимию), от которых отличаются более округлой формой брюшной створки.

Распространение. Средний девон (живет) бейский горизонт Минусинской котловины, алчедатский горизонт Кузнецкого бассейна; холдзатийская свита Монгольского Алтая.

Материал. Одна брюшная створка. Монгольский Алтай, левобережье р. Сагсай, северо-северо-восточнее сомона Баинту, в 550 м северо-северо-западнее горы Хурэн Толгой, (абс. отм. 1883,1); холдзатийская свита (живет).

Род *Muscospirifer* Grabau, 1931*Mucospirifer mesacostalis* (Hall, 1843)

Табл. XV, фиг. 8, 10–13

Delthyris mesacostalis: Hall, 1843, с. 269, фиг. 9.*Delthyris mesacostalis*: Халфин, 1932, с. 14, табл. II, фиг. 32–35.*Spirifer (Delthyris?) mesacostalis*: Халфин, 1937, с. 117, табл. VII, фиг. 68.*Spirifer mesacostalis*: Stainbrook 1942, с. 884, табл. II, фиг. 25.*Lamellspirifer mesacostalis*: Ржонсицкая, 1952, с. 117, табл. XVIII, фиг. 6–10; Литвинович, 1963, с. 263, табл. 4, фиг. 1, 2.

Г о л о т и п. Раковина происходит из среднего девона формации Чемунг (Chemung), штата Нью-Йорк, Северной Америки.

Д и а г н о з. Раковина среднего размера, умеренно поперечно вытянутая. Макушка невысокая, синус с отчетливым срединным ребром, седло с глубокой срединной бороздкой.

О писан и е. Двояковыпуклая раковина среднего размера ($D = 12\text{--}19$ мм), поперечно вытянутая ($D/W = 0,6\text{--}0,7$). Замочный край длинный, соответствует наибольшей ширине раковины. Боковые стороны округлые, замочные углы острые.

Брюшная створка вздутая, наибольшая выпуклость приурочена к задней части раковины. Макушка небольшая, загнутая, нависающая над спинной створкой. Арея треугольная, широкая, апсаклиновая с широким дельтириальным отверстием. Синус начинается от самой макушки, с боковых сторон резко ограничен высокими ребрами, умеренно глубокий, к переднему краю сильно расширяется, достигая ширины 7 ребер, профиль дна синуса округлый. Посередине синуса проходит высокое округлое ребро, на некоторых экземплярах оно становится в 2 раза шире боковых.

Спинная створка более уплощенная, макушка маленькая, низкая, тесно прилегающая к брюшной створке. Арея треугольная, невысокая. Возвышение резко ограниченное, начинается от самой макушки, к переднему краю членено расширяется, посередине возвышения проходит глубокая бороздка. Боковые ребра резкие, угловатые, высокие, на каждой стороне от синуса и возвышения насчитывается по 10–14 ребер.

Концентрическая скульптура выражена резкими, черепитчатыми тесно расположенным пластинами нарастания.

Внутри брюшной створки расположены широкие, слабо расходящиеся зубные пластины, протягивающиеся на 1/3 длины раковины. На ядрах, мускульное поле в рельфе выражено слабо, заметны перистые отпечатки аддукторов, разделенные посередине ребром.

Внутри спинной створки замочный отросток, струйчатый, широкий.

Р а з м е р ы в м м и о т н о ш е н и я:

№ экз.	D	W	V	D/W
4427/406	12	25,4	—	0,5
4427/424	13	20	0,4	0,7
4427/408	19	30	—	0,6

Сравнение. От *M. micronatus* (Conrad), описанных из живетских отложений Северо-Восточного Китая (Хоу Хун-фе, 1959, с. 153), монгольские формы отличаются в два раза меньшей шириной раковины и соответственно меньшим числом ребер, у крупных экземпляров сравниваемого вида, число их может доходить до 30. От *M. oldoius* Modz. (Модзалевская, 1969, стр. 107, табл. LII, фиг. 4–6) из живетских отложений (ольдойская свита) Дальнего Востока отличается более крупной, загнутой макушкой, меньшим числом ребер (10–14 против 16–18 у сравниваемого вида) и широким синусом. От форм, описанных М.А. Ржонсицкой из нижне-

франских отложений Кузбасса, как *Lamellspirifer mesacostalis* (Hall)? (Ржонсицкая, 1952, с. 117, табл. XVIII, фиг. 6–10, рис. 5), монгольские экземпляры отличаются только более мелким и округлым профилем синуса.

З а м е ч а н и я. На ядре одного экземпляра (табл. XV, фиг. 13) присутствует узкая, длинная срединная бороздка, напоминающая отпечаток срединного валика. Подобный признак для представителей рода *Mucospirifer* отмечался также у сибирских форм (Ржонсицкая, 1952, рис. 6, фиг. 3) и у американских –*Sp. bimesialis* и *Sp. mucronatus*. Впоследствии Стейнбрук (Stainbrook, 1943, с. 438) американские виды были отнесены к роду *Tylothyris* North., при этом отмечалось, что центральная септа этих форм не достигает той высоты, которая характерна для рода *Tylothyris*. М.А. Ржонсицкая (1952), изучая представителей *Sp. mucronatus* из гамильтонских слоев Северной Америки, также не обнаружила настоящей септы, на основе чего отнесла эти формы к роду *Mucospirifer* (*Lamellspirifer*).

Р а с п р о с т р а н е н и е. Средний–верхний девон, алчедатский (живет), изылинский, вассинский горизонты (фран, низы) Кузнецкого бассейна; айдарлинский (живет), майский горизонт (фран, низы) Казахстана; холдзатийская свита (живет), зээгтинские слои хатуольской свиты (фран, низы) Монгольского Алтая.

М а т е р и а л. 15 экз.: 8 брюшных и 7 спинных створок, представленных ядрами и отпечатками; Монгольский Алтай, правобережье реки Сагсай, 2 км северо-северо-восточнее перевала Бугучин Даваа (абс. отм. 2106), обн. 10 сл. 2 (сборы Л.М. Улитиной, 1974, 1988 гг.) – 6 экз.; холдзатийская свита (живет); 13,5 км северо-северо-западнее сомона Улэгей, 100 м севернее горы Хуйтен Сарвал – 9 экз; зээгтинские слои хатуольской свиты (нижний фран).

Mucospirifer mesocostalis tricostatus (Rzonsnitzkaja, 1952)

Табл. XV, фиг. 7, 9

Lamellspirifer mesocostalis var. *tricostata* Ржонсицкая, с. 119, табл., XVIII, фиг. 4,5.

Г о л о т и п. № 143, брюшная створка; северо-западная окраина Кузнецкого бассейна, Зарубинский район р. Стрельная; стрельниковые слои; верхний девон, нижний фран. Хранится: Центральный геологический музей, С.-Петербург.

Д и а г н о з. Раковина среднего размера, поперечно вытянутая. Синус глубокий, с тремя складками у переднего края, седло со срединной бороздкой и боковыми, слабо выраженными бороздками.

О писан и е. Раковина среднего размера, умеренно вздутая, поперечно вытянутая форма с острыми замочными углами. Макушка высокая, слабозагнутая. Арея треугольная, высокая, апсаклиновая. Дельтирий высокий, открытый, образует почти равносторонний треугольник.

Брюшная створка выпуклая, наибольшая выпуклость приурочена к задней части створки. Синус глубокий, начинается от макушки, к переднему краю сильно расширяется, где ширина его достигает 11 мм. В синусе расположены три низких узких складки, из них – центральная более отчетливо выраженная. Язычок широкий, корытообразный.

Спинная створка равномерно выпуклая, макушка маленькая, тесно прижатая к брюшной створке. Седло высокое, хорошо обособленное, сильно расширяющееся к переднему краю раковины. Посередине седла проходит продольная бороздка, по сторонам от которой на некотором расстоянии от макушки проходят еще две отчетливые бороздки.

Скульптура представлена в виде резких остроугольных ребер, с боковых сторон раковины заметны по 6–10 ребер. Микроскульптура в виде резких, оборванных частично расположенных пластин нарастания, на 1 мм насчитывается 3 пластины (табл. XV, фиг. 7в).



Рис. 26. *Mucospirifer mesacostalis tricostatus* (Rzönsnitzkaja)

Внутреннее строение спинной створки по пленкам, ПИН, № 4427/208(х3); Монгольский Алтай, 13,5 км северо-восточнее сомона Улэгей, 100 м севернее горы Хуйтен Сарвал (абс. отм. 2093); хатугольская свита, зээгтийские слои

Внутри брюшной створки развиты длинные зубные, в спинной – пластинчатый замочный отросток (рис. 26).

Размеры в мм и отношения:

№ экз.	Д	Ш	Т	Д/Ш	Д/Т
4427/206	15	29	12	0,5	1,25

Сравнение. От вида *V. mesocostalis* (Hall) (Hall, 1867, стр. 240, табл. V, фиг. 1–18) отличается наличием в синусе трех ребер, а на седле трех бороздок, вместо одного ребра в синусе и одной бороздки на седле, как у сравниваемого вида.

Распространение. Верхний девон, фран; изылинский, вассинский горизонты Кузнецкого бассейна; зээгинские слои хатугольской свиты Монгольского Алтая.

Материал. 2 экз., из них 1 целая раковина и 1 брюшная створка; Монгольский Алтай, правобережье р. Сагсай, 2 км северо-северо-восточнее перевала Бугучин-Даба (абс. отм. 2106), обн. 10, сл. 2 (сборы Л.М. Улитиной, 1974 г.) – 1 экз.; карбонатно-терригенная толща (верхний девон); 13,5 км северо-северо-западнее сомона Улэгей, 100 м севернее горы Хуйтен Сарвал – 1 экз.; хатугольская свита, зээгинские слои (нижний фран).

Mucospirifer? sp.

Табл. XV, фиг. 1–6

Описание. Раковины среднего и крупного размера, ($D = 15–29$ мм), уплощенные, поперечно вытянутые ($W = 34–38$ мм), наибольшая ширина раковины соответствует длине замочного края. Боковые стороны чаще прямые или округлые. Кардинальные углы длинные, острые.

Брюшная створка слабо равномерно выпуклая, к боковым сторонам уплощается, наибольшая выпуклость приурочена к 1/2 длины раковины. Макушка маленькая, низкая, слабозагнутая. Арея узкая, низкая, короткая, апсаклиновая. Дельтий широкий, открытый. Синус, начинающийся от макушки, глубокий, с боковых сторон ограничен более крупными ребрами, к переднему краю расширяющийся, на одном экземпляре вблизи переднего края заметно низкое, широкое ребро, появляющееся с 1/2 длины синуса. Дно синуса пологоокруглое.

Спинная створка уплощенная, седло резко ступенчато возвышается над более низкими боковыми ребрами. Вершина седла плоская с продольным узким желобком, протягивающимся на 1/2 длину седла, резко переходящим в широкую продольную вдавленность (табл. XV, фиг. 3). Ближе к переднему краю седло расширяется на ширину 6 ребер. Скульптура на боковых склонах раковины представлена резкими, угловатыми ребрами в количестве 16–19 с каждой стороны раковины с узкими, глубокими промежутками между ними. Микроскульптура представлена в виде тончайшей радиальной штриховки, отчетливо заметной в синусе и на седле, здесь на 1 мм

насчитывается до 12–15 струек, концентрические линии роста, неотчетливые, заметны лишь вблизи переднего края, где на 1 мм насчитывается до 4 линий (табл. XV, фиг. 6).

На ядрах брюшных створок заметны следы узких, слабо расходящихся зубных пластин, протягивающихся на 1/3 длины раковины. В спинной – низкий пластинчатый замочный отросток.

Размеры в мм и отношения:

№ экз.	Д	Ш	Д/Ш
4427/64	16,3	45	0,4
4427/58	15,3	x2–34	0,4
4427/60	21,9	x2–38	0,6
4427/59	29	38,5	0,7

Изменчивость выражена в форме раковины, которая изменяется от полуокруглой до поперечно вытянутой.

Сравнение. Уплощенная форма раковины и наличие продольной бороздки на седле спинной створки сближает описанный вид с *M. mesocostalis* (Hall), от которой отличается особенностями микроскульптуры в виде тончайшей радиальной штриховки.

Распространение. Средний девон (живет); дундтолгойские слои хатугольской свиты Монгольского Алтая.

Материал. 26 экз., 18 брюшных и 8 спинных створок, представленных ядрами и отпечатками; Монгольский Алтай, 14,7 км западнее-юго-западнее сомона Цаган нур, р-н горы Хар Толгой, (абс. отм. 2439,9) – 23 экз.; хатугольская свита, дундтолгойские слои (живет); среднее течение р. Хаттугийн, 2,5 км южнее горы Дунд Толгой – 5 экз., там же.

Род *Eleutherokomma* Crickmay, 1950

Eleutherokomma rhukensis (Brice, 1970)

Табл. XV, фиг. 14–19

Spirifer rhukensis: Brice, 1970, с. 211, табл. V, фиг. 1–4, рис. 52.

Orthospirifer rhukensis: Brice, 1978, с. 32, табл. II, фиг. 3.

Голотип. N AF3GK6 61; целая раковина; центральный Афганистан, провинция Ghouk; фран.

Дагноз. Раковина среднего размера, умеренно поперечно вытянутая. Разбиты небольшие ушки. Седло и синус гладкие. Микроскульптура в виде частых черепитчатых пластин нарастания и пересекающими их тончайшими радиальными струйками.

Описание. Раковина слабовыпуклая, среднего размера ($D = 18–23$ мм) вытянутая в ширину, округленно-треугольного очертания. Кардинальные углы вытянутые в острые, недлинные ушки.

Брюшная створка слабовыпуклая. Макушка невысокая, прямая. Арея узкая, длинная, с параллельными краями, прямая или слабо вогнутая. Дельтий узкий, открытый. Синус угловато-треугольный, начинается от макушки, с боковых сторон четко ограничен более крупными ребрами, посередине синуса проходит мелкий продольный желобок.

Спинная створка по выпуклости соответствует брюшной створке. Макушка маленькая. Арея низкая, длинная. Седло высокое, угловато-треугольное, к переднему краю плавно расширяется.

Скульптура раковины выражена узкими, угловатыми ребрами, в числе 9–11 на каждой из сторон от синуса, с узкими промежутками между ними. Микроскульптура выражена в виде резких, частых черепитчатых пластин нарастания, на 1 см насчитывается более 30 пластин. На поверхности пластин заметны частые, тонкие

Таблица I

радиальные, прерывистые струйки. На каждом ребре насчитывается 10–12 тончайших струек (табл. XV, фиг. 18б).

Внутри брюшной створки короткие зубные пластины. Мускульное поле удлиненно-овальной формы, протягивается на 1/3 длины раковины. С боковых сторон от мускульного поля радиальными рядами расположены мелкие бугорки.

Внутри спинной створки – широкий пластинчатый замочный отросток (табл. XV, фиг. 15, 16).

Размеры в мм и отношения:

№ экз.	Д	Ш	Д/Ш
4427/351	18	33,7	0,5
4427/369	19	36	0,5
4427/356	19,7	x2-26	0,8
4427/350	21	29	0,7
4427/346	23	39	0,6

Сравнение. От близкого по форме раковины *E. robatense* Brice (Brice 1970, с. 101, табл. IV, фиг. 8–12) отличается в 1,5 раза большим размером и более вытянутой в ширину раковиной, кроме того, у сравниваемого вида некоторые радиальные струйки заканчиваются каплеобразными утолщениями, расположенными на поверхности неравномерно. У монгольского вида радиальные струйки на всем своем протяжении никаких дополнительных элементов микроскульптуры не несут. От *E. zarecznyi* (Gurich), (Balinski, 1979, с. 63, табл. 15, фиг. 1–10) описываемые формы отличаются большим размером (Д – 18–23 против 16–18 мм), отсутствием длинных, острых, вытянутых ушек и отчетливой черепитчатостью.

Замечания. Монгольские формы наиболее близки по форме к *E. rykensis*, от которого отличаются незначительно – меньшим числом ребер (9–11 против 13–15). Кроме того, у сравниваемого вида концентрические пластины более редкие, число их может доходить до 30 на 1 см.

Распространение. Средний–верхний девон (живет–фран); Горного Алтая, Дальнего Востока, Китая; фран – Афганистана, Польши, Монгольского Алтая.

Материал. 30 экз., из них 12 брюшных и 18 спинных створок, представленных отпечатками и ядрами; Монгольский Алтай, 4,2 км севернее сомона Цаган нур, устье правого борта распадка Урт Зуух, в 3,2 км северо-западнее горы Ямааг (абс. отм. 2812); цагансаласская свита (нижний фран).

СЕМЕЙСТВО RETICULARIIDAE WAAGEN, 1883

ПОДСЕМЕЙСТВО RETICULARIINAE WAAGEN, 1883

Род *Eoreticularia* Nalivkin, 1930

Eoreticularia sp.

Табл. XIII, фиг. 4–9

Описание. Раковина небольшого размера (Д = 13–18 мм), неравносторчатая, умеренно вздутая, вытянутая в ширину, округленно-пятиугольного очертания. Замочный край короче наибольшей ширины раковины измеренной на середине ее длины. Боковые комиссуры и замочные углы округлые. Боковые ребра отсутствуют.

Брюшная створка превышает по своей величине спинную, выпуклая, наибольшая выпуклость приурочена к середине длины раковины. Макушка небольшая, острыя, сильнозагнутая. Арея узкая, слабовогнутая, апсаклинина слабо ограниченная. Дельтирий открытый, высокий, с основанием, равным 1/3 длины арея. Синус начинается от макушки, мелкий, расширяющийся к лобному краю, с боковых сторон ограничен слабо. Профиль дна синуса круглый. Язычок низкий, дугообразный.

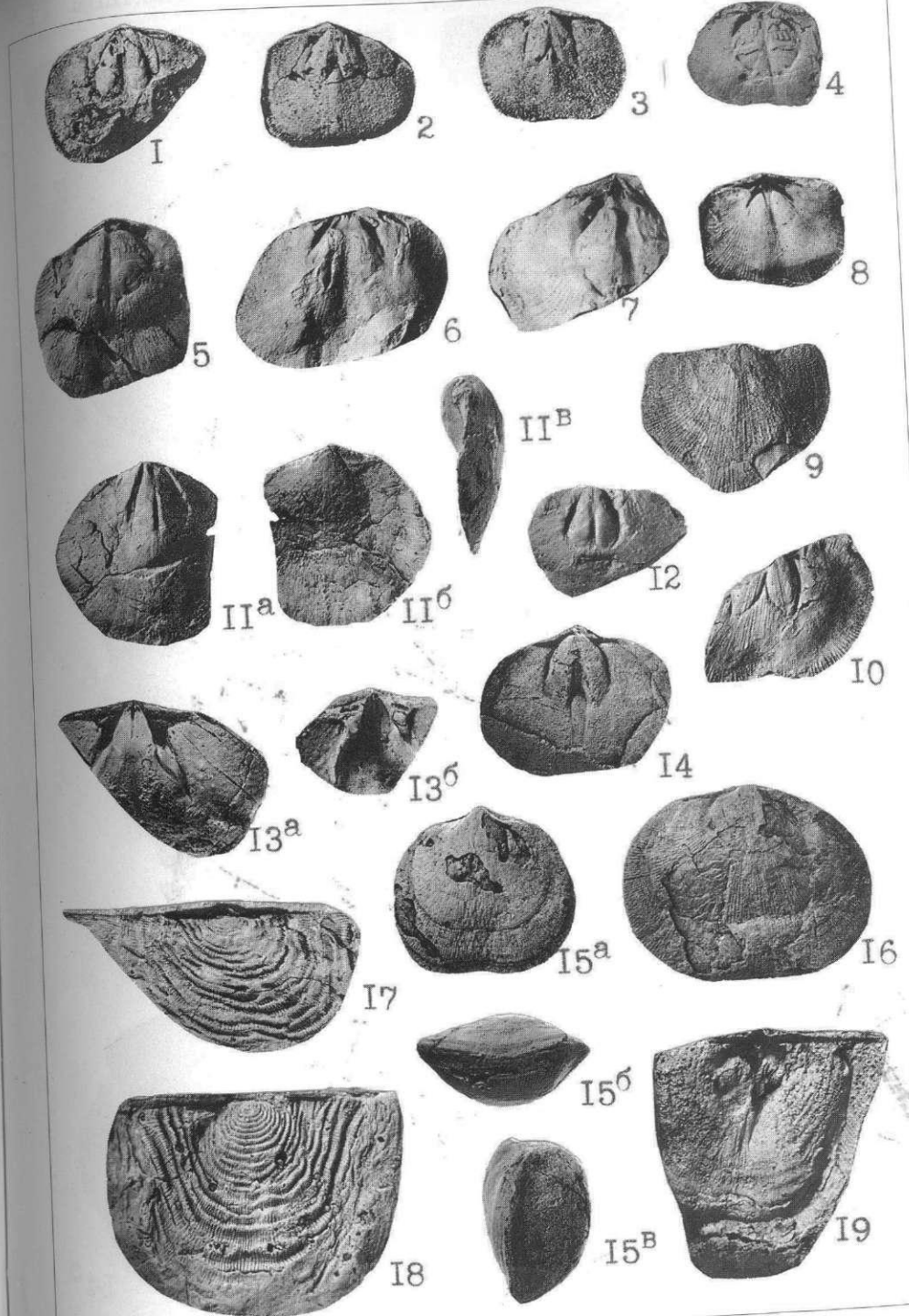


Таблица II

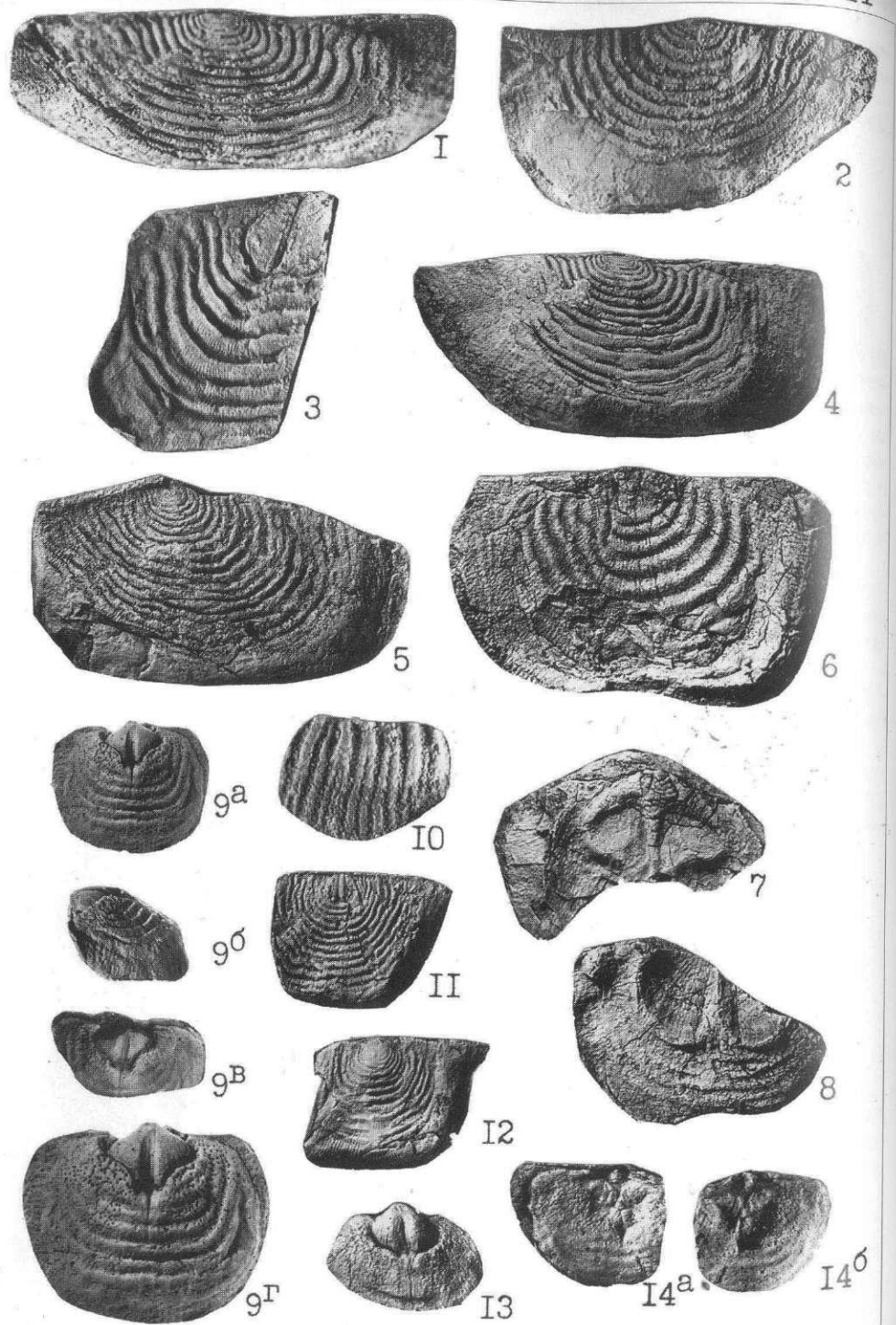


Таблица III

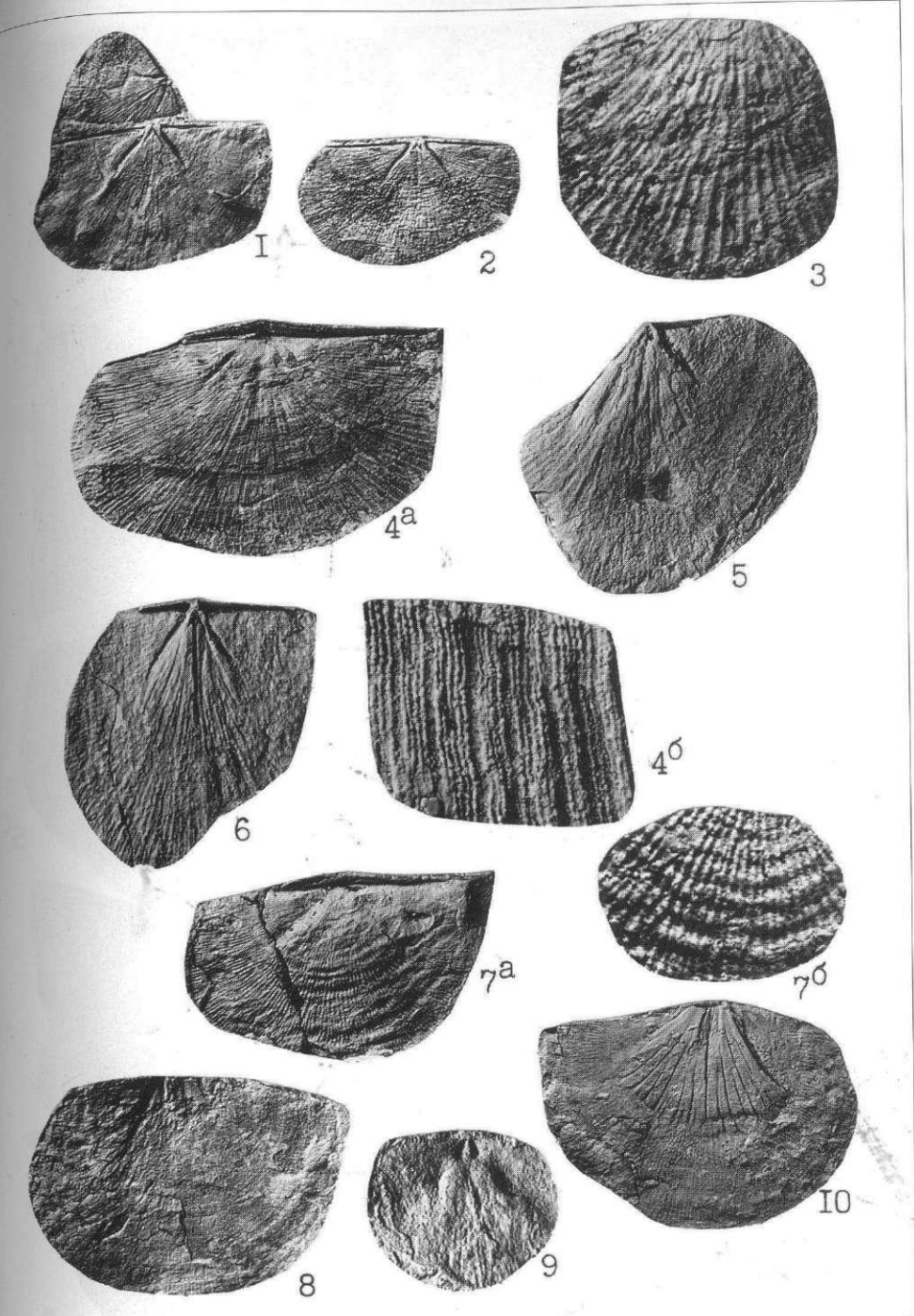


Таблица IV

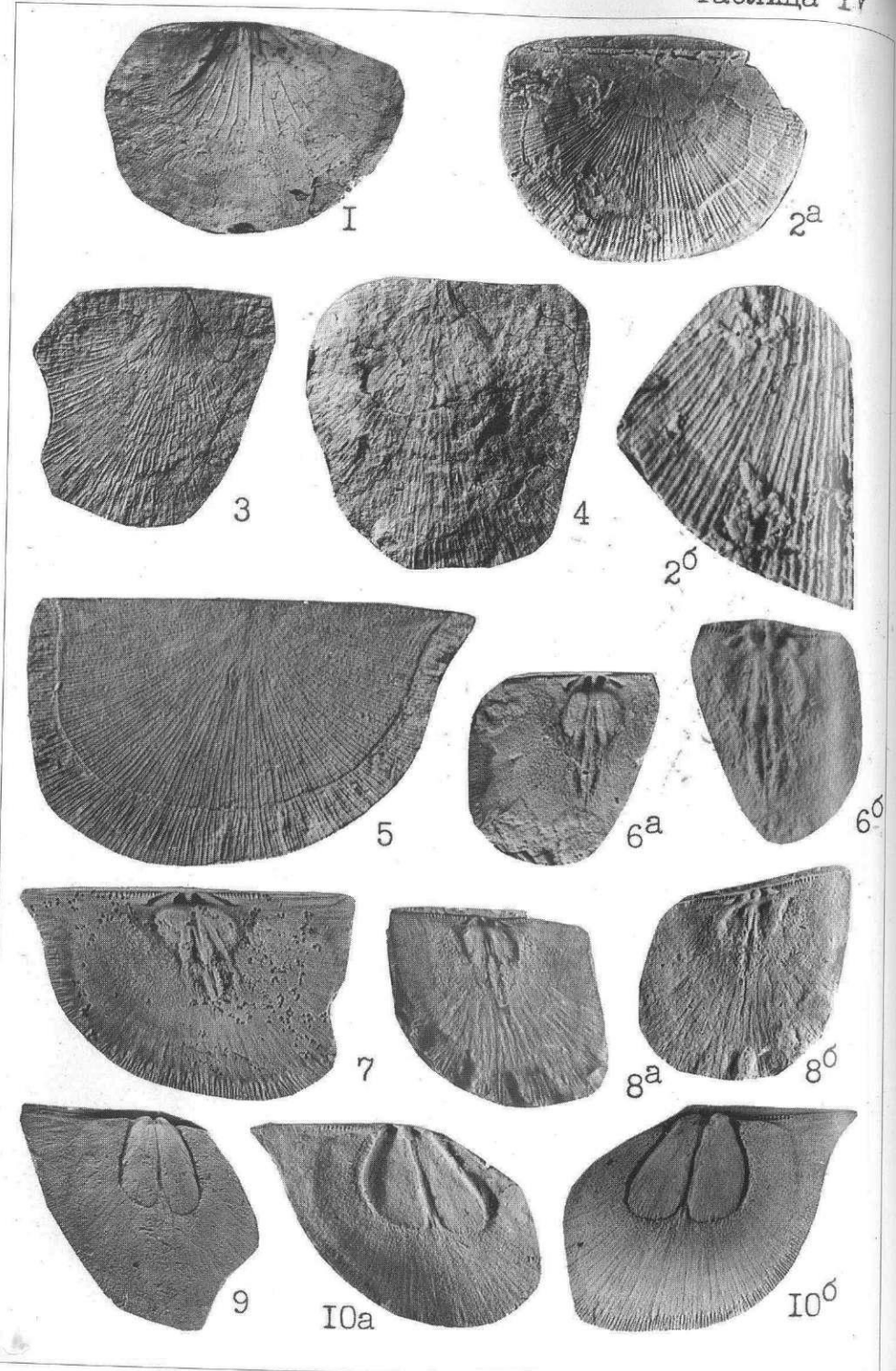


Таблица V

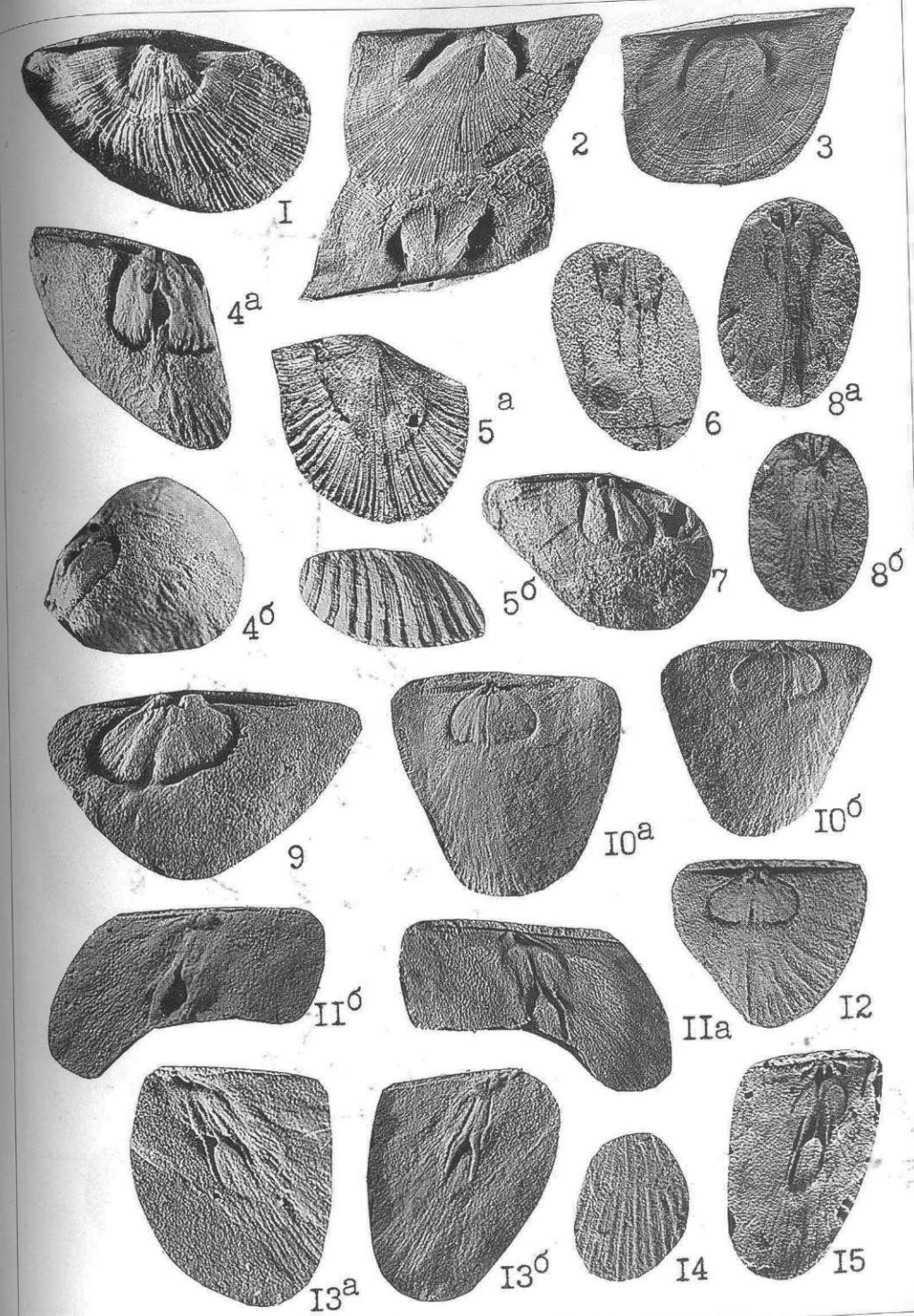


Таблица VI

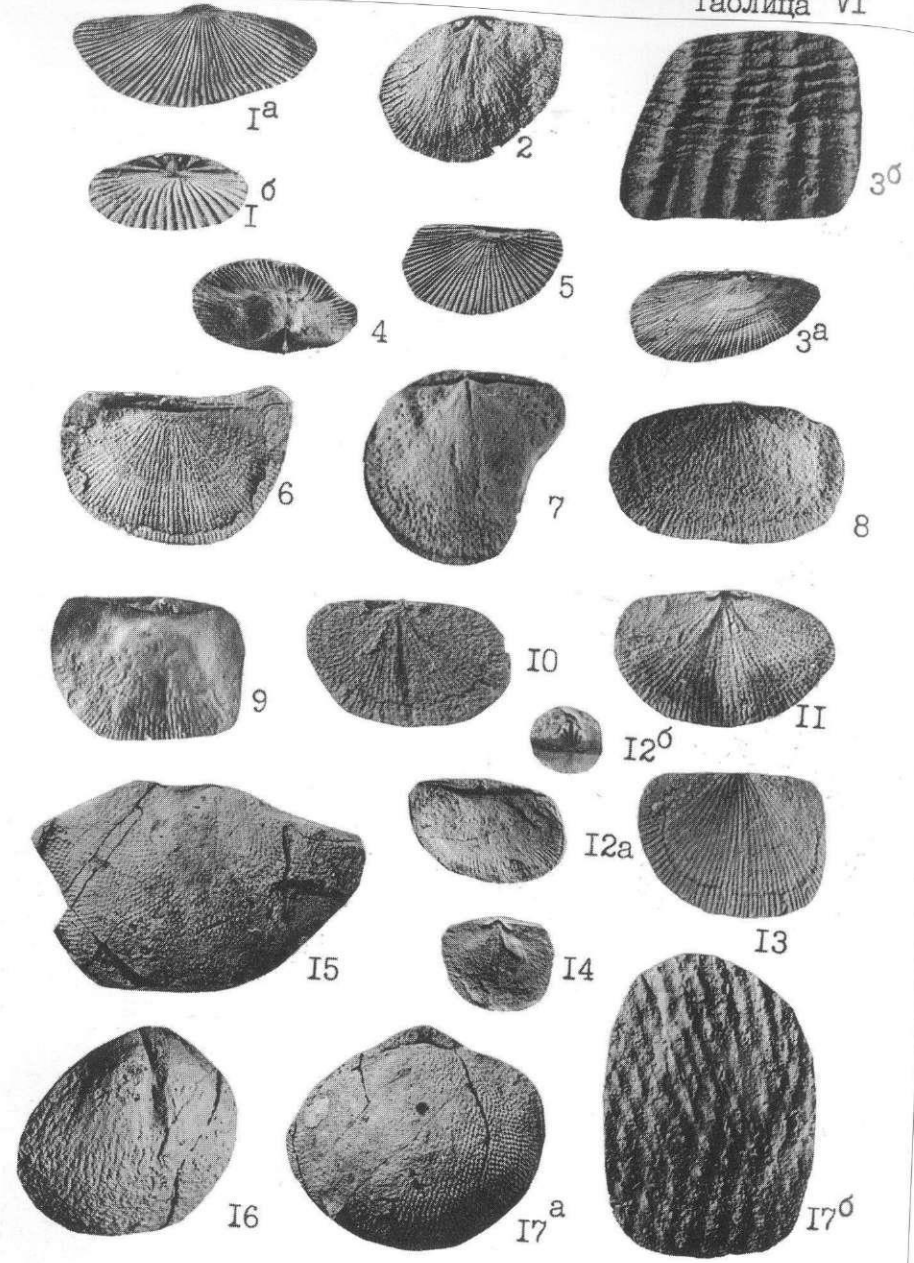


Таблица VII

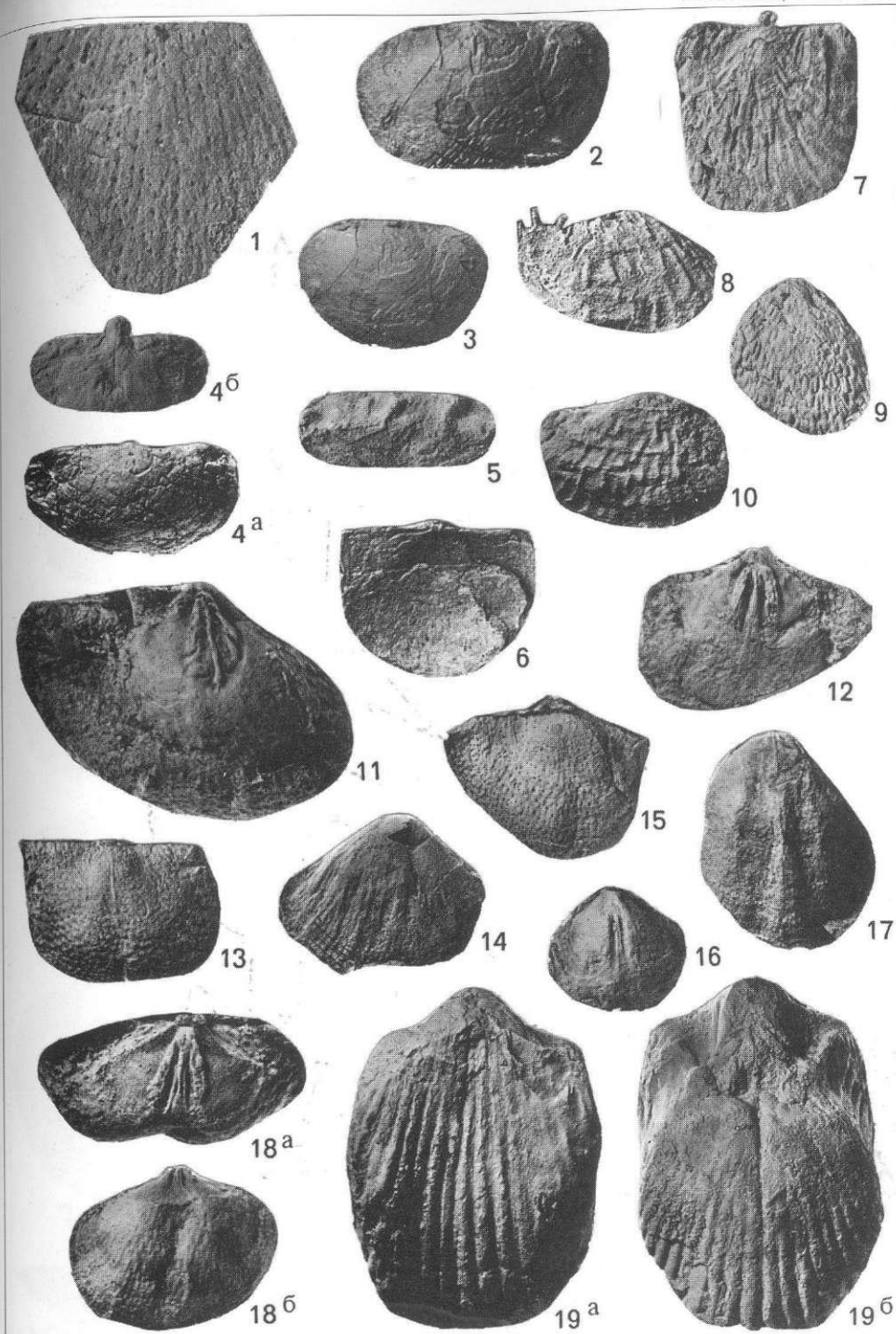


Таблица VIII

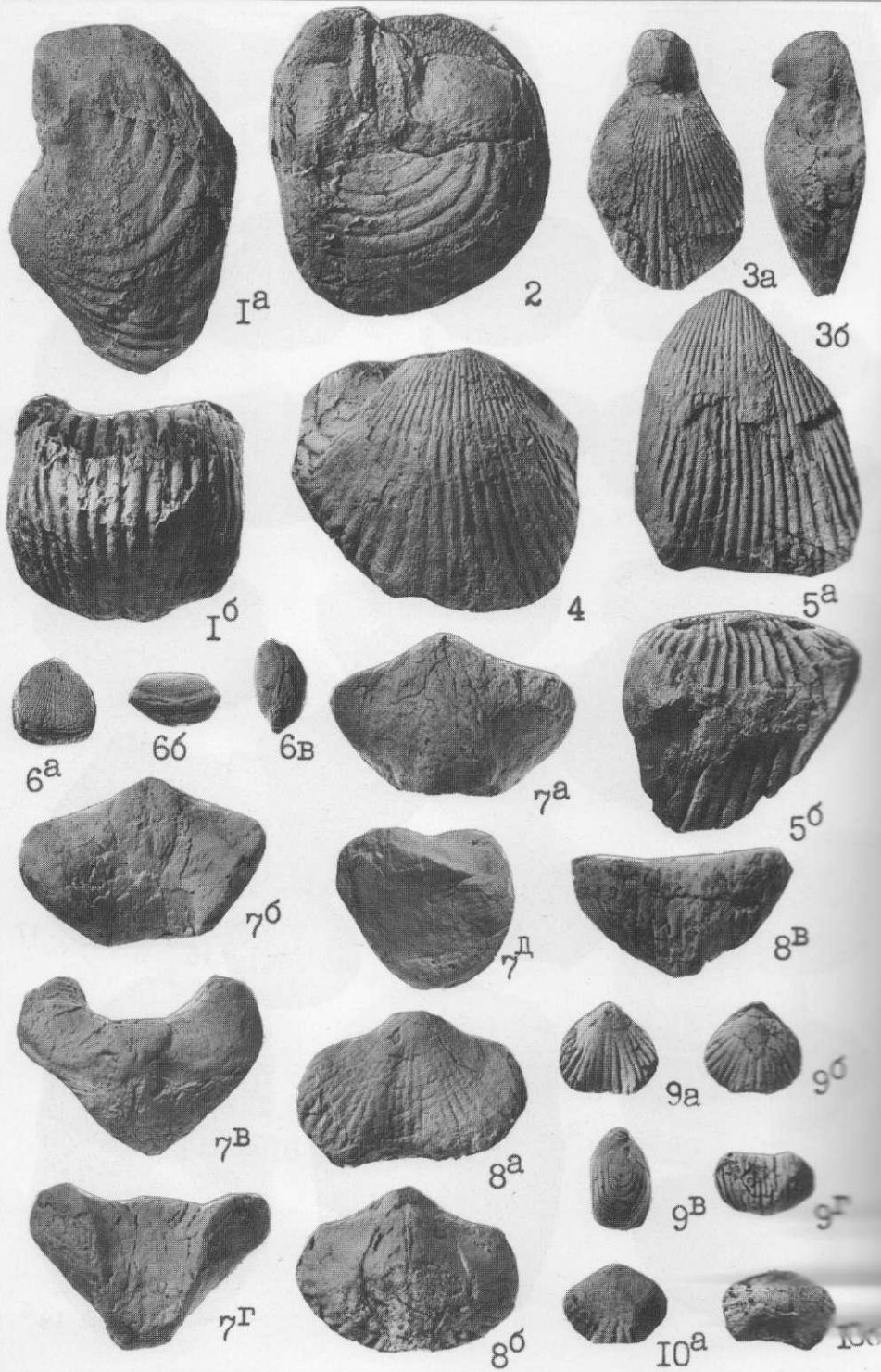


Таблица IX

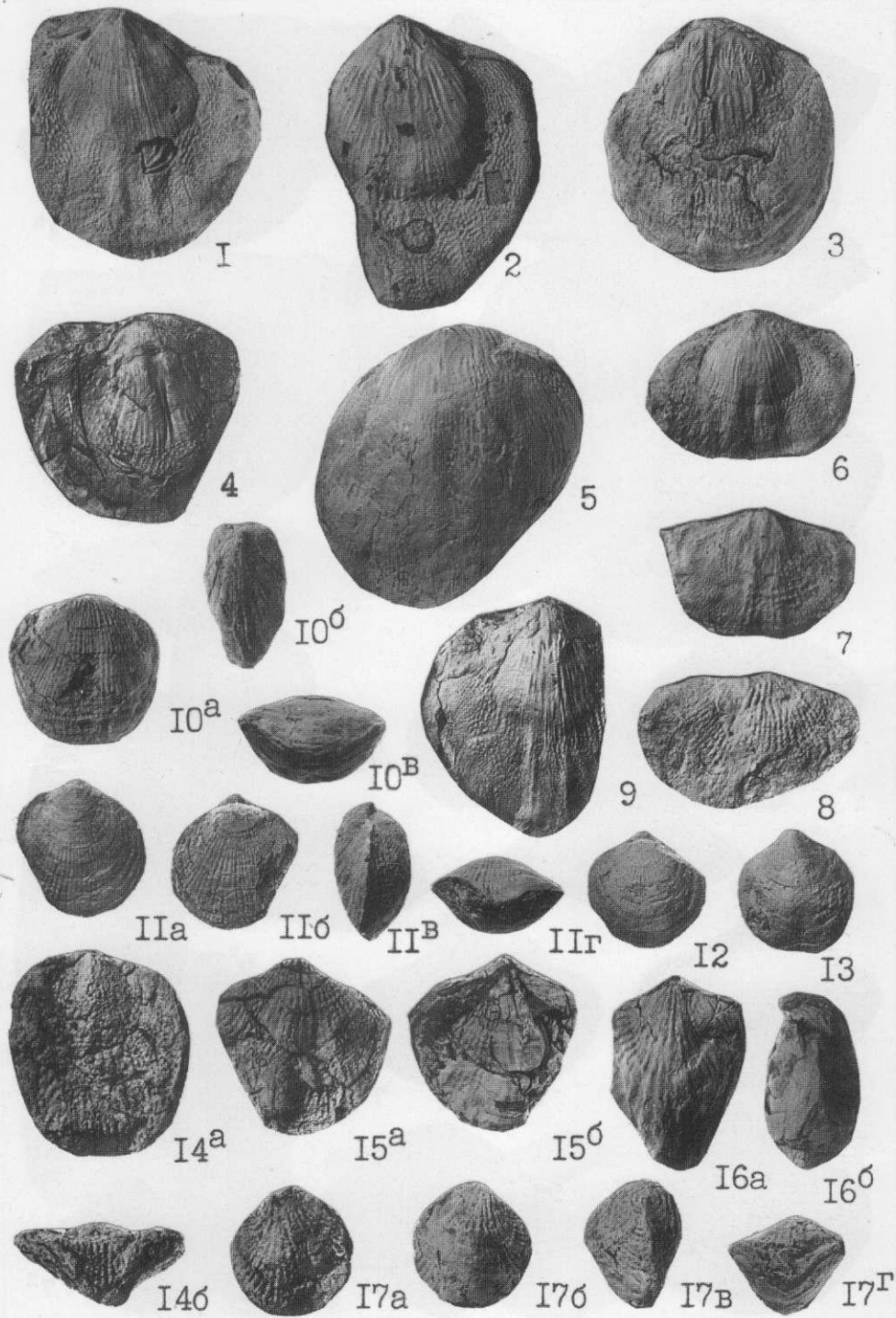


Таблица X

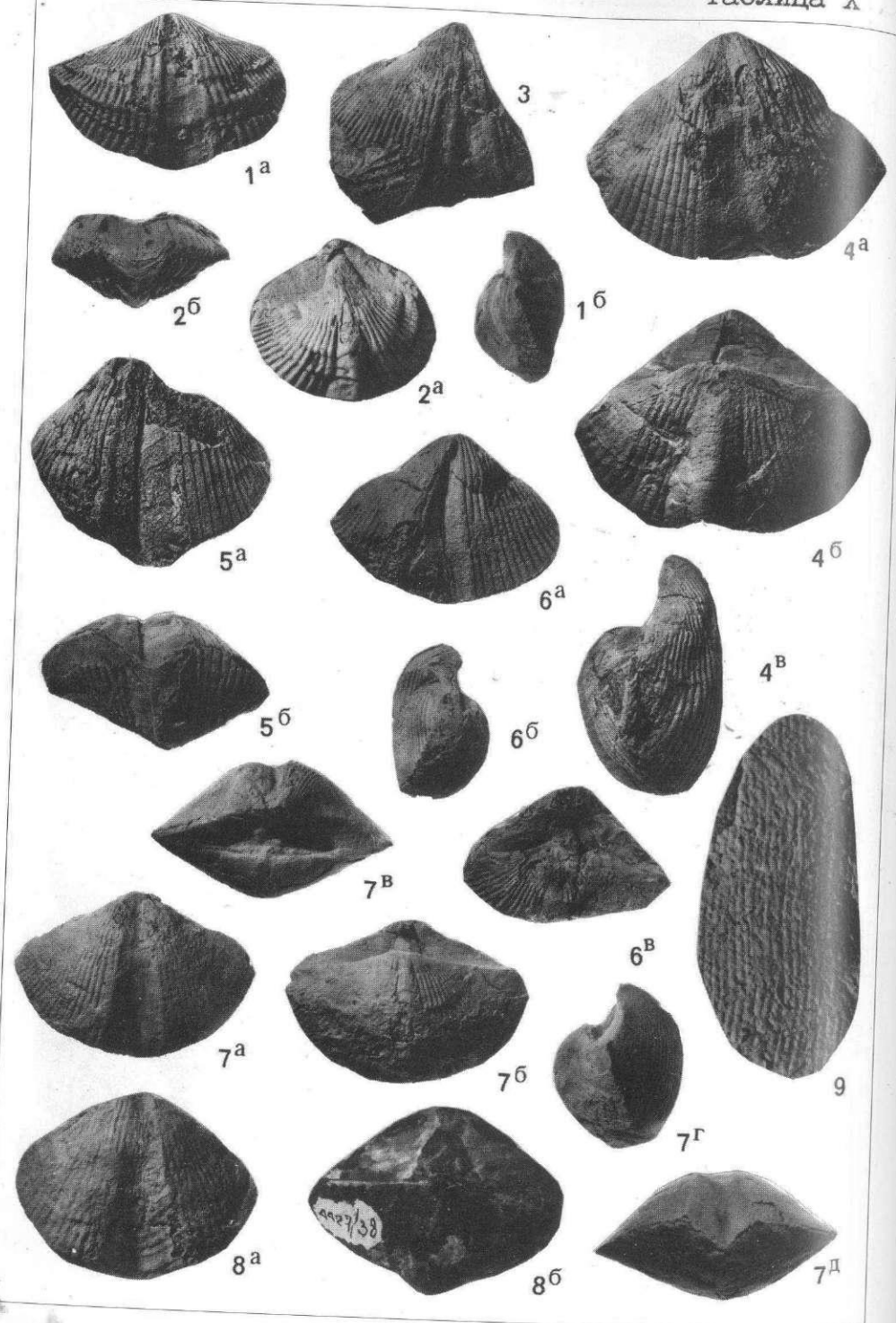


Таблица XI

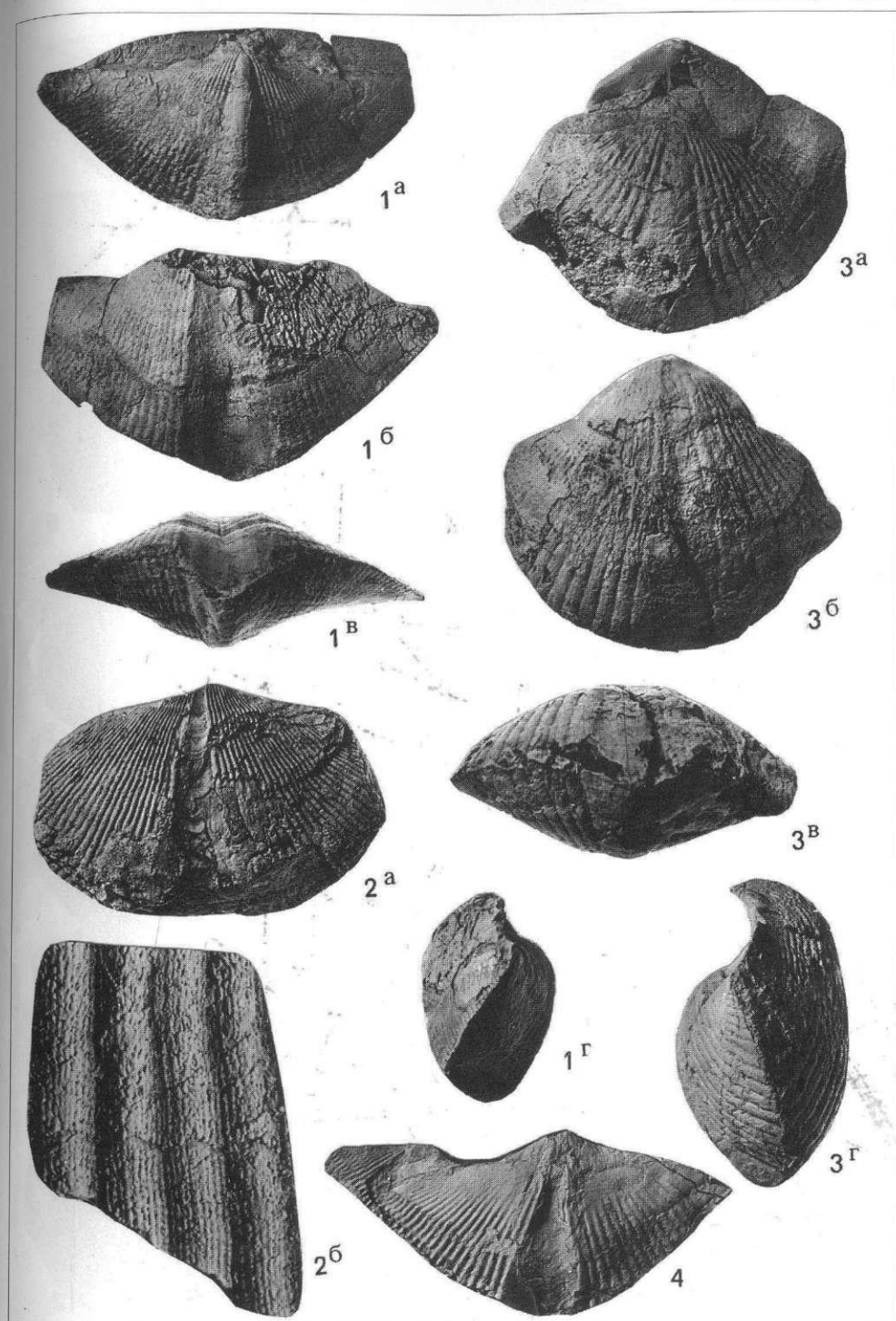


Таблица XII

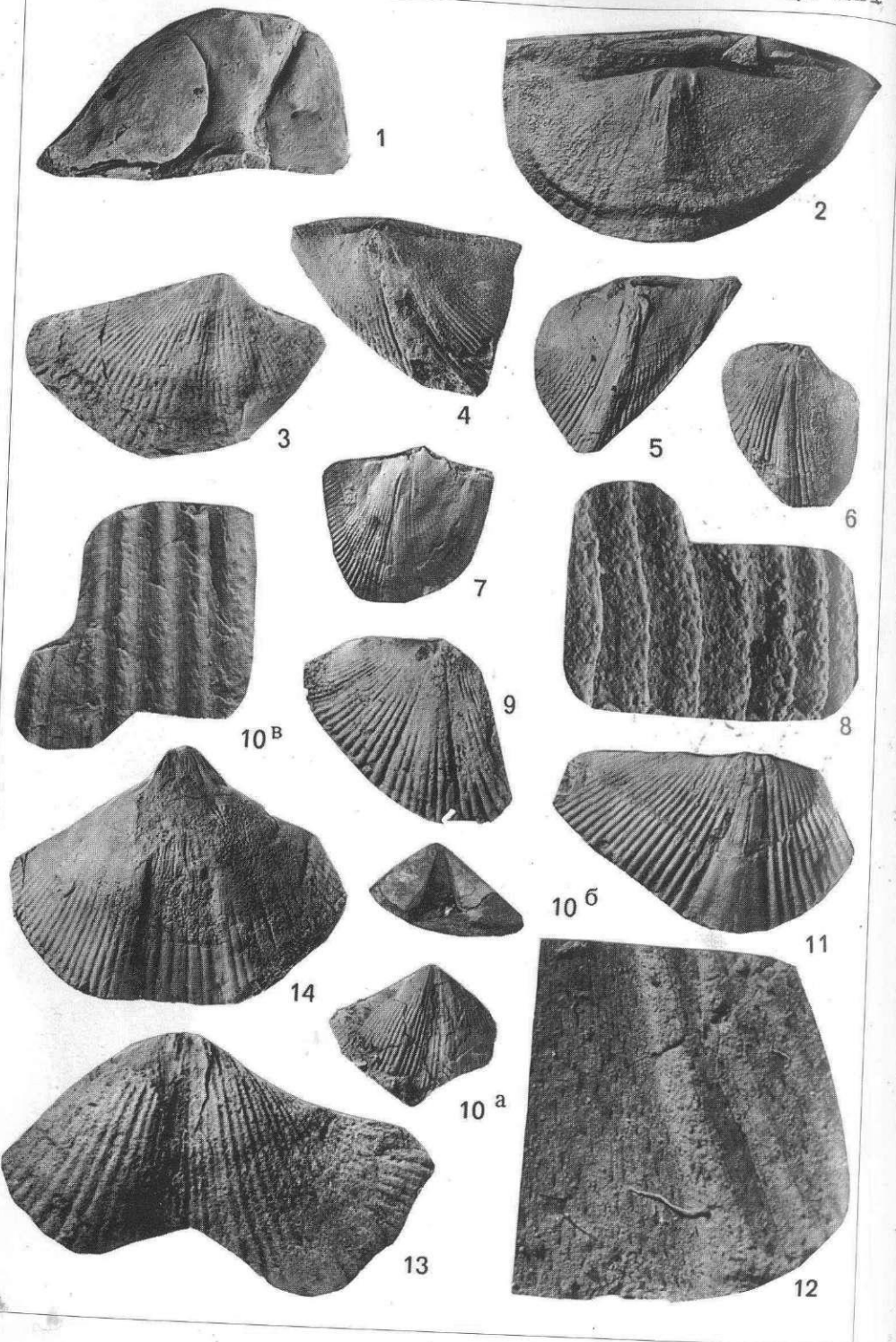


Таблица XIII

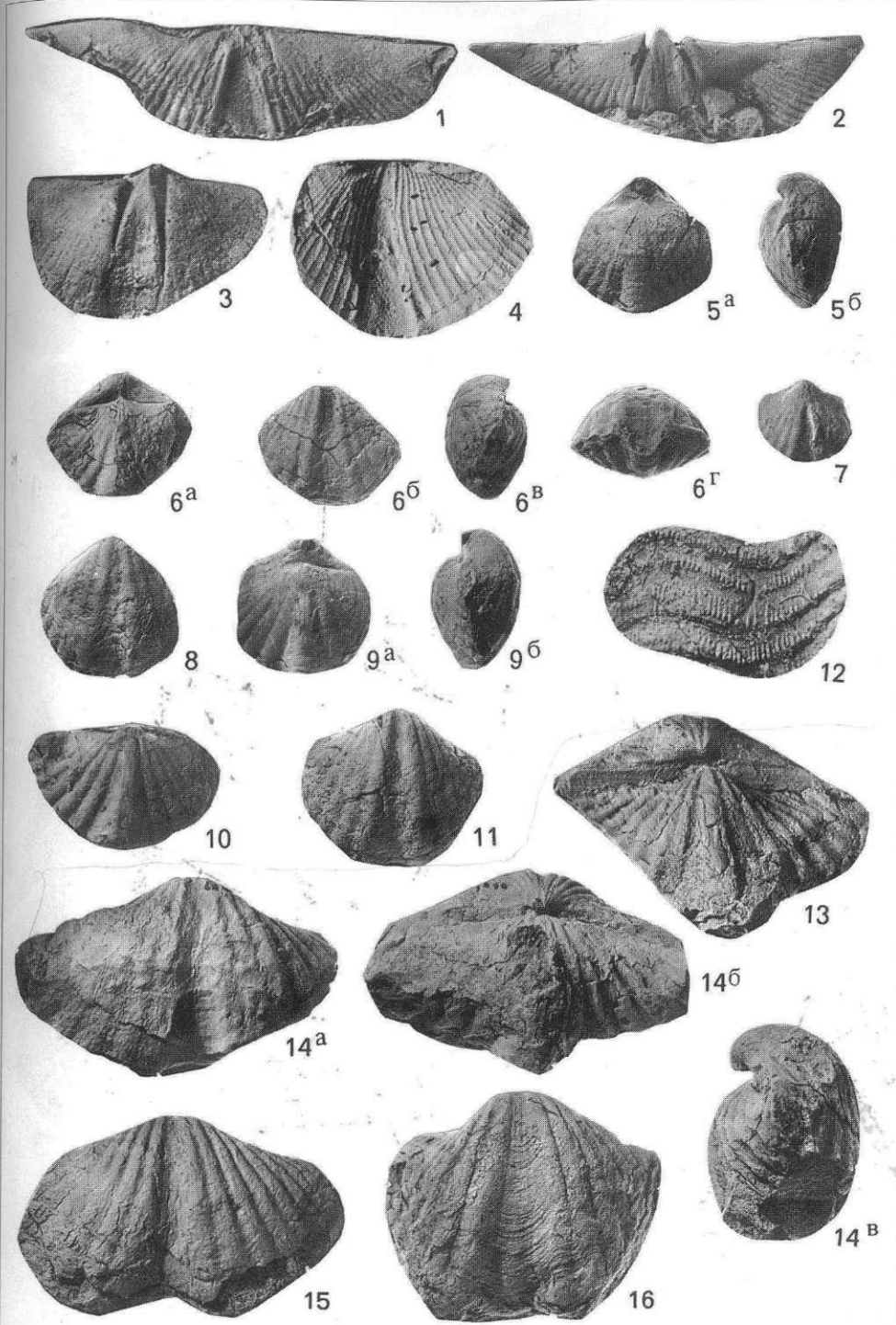


Таблица XIV

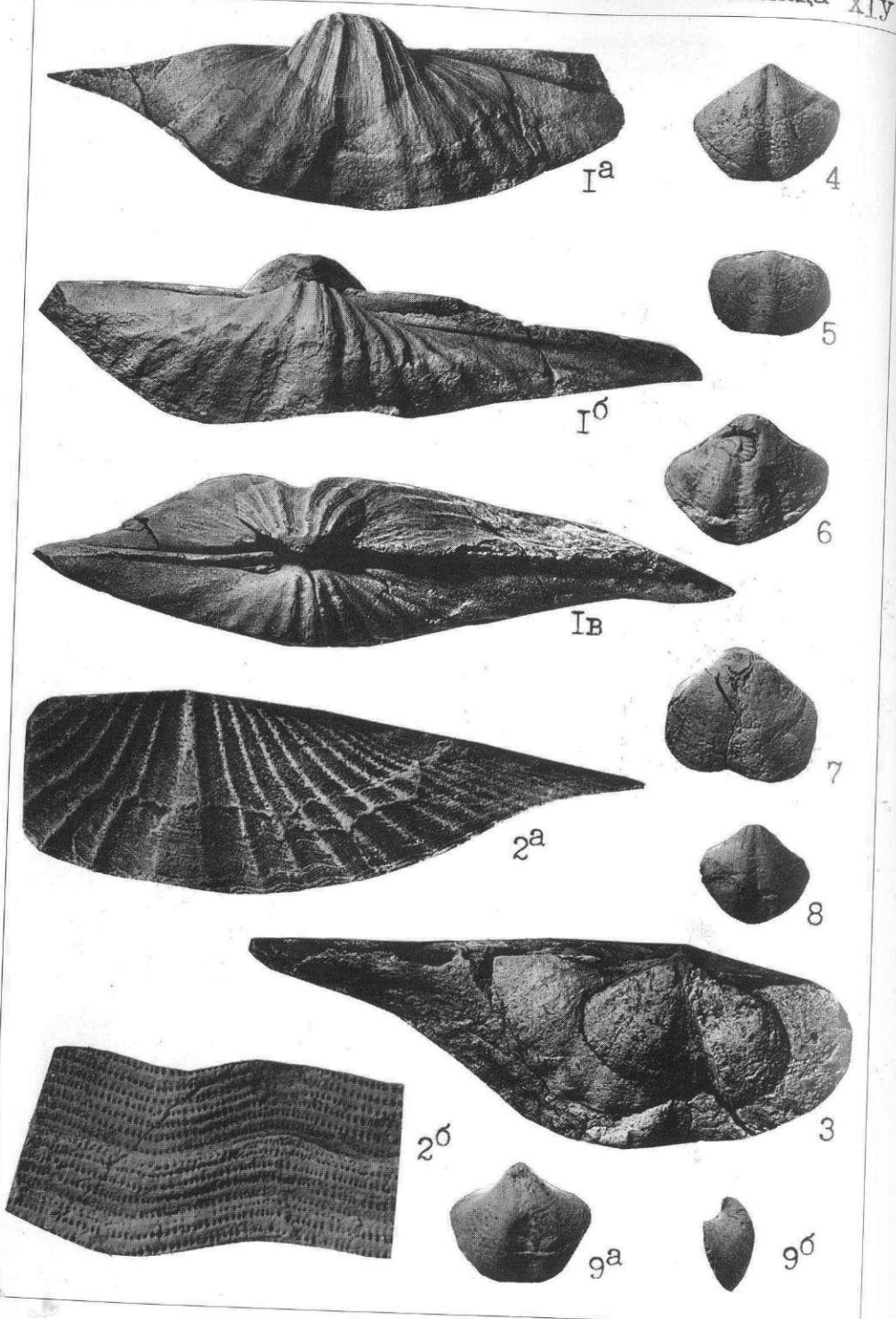


Таблица XV

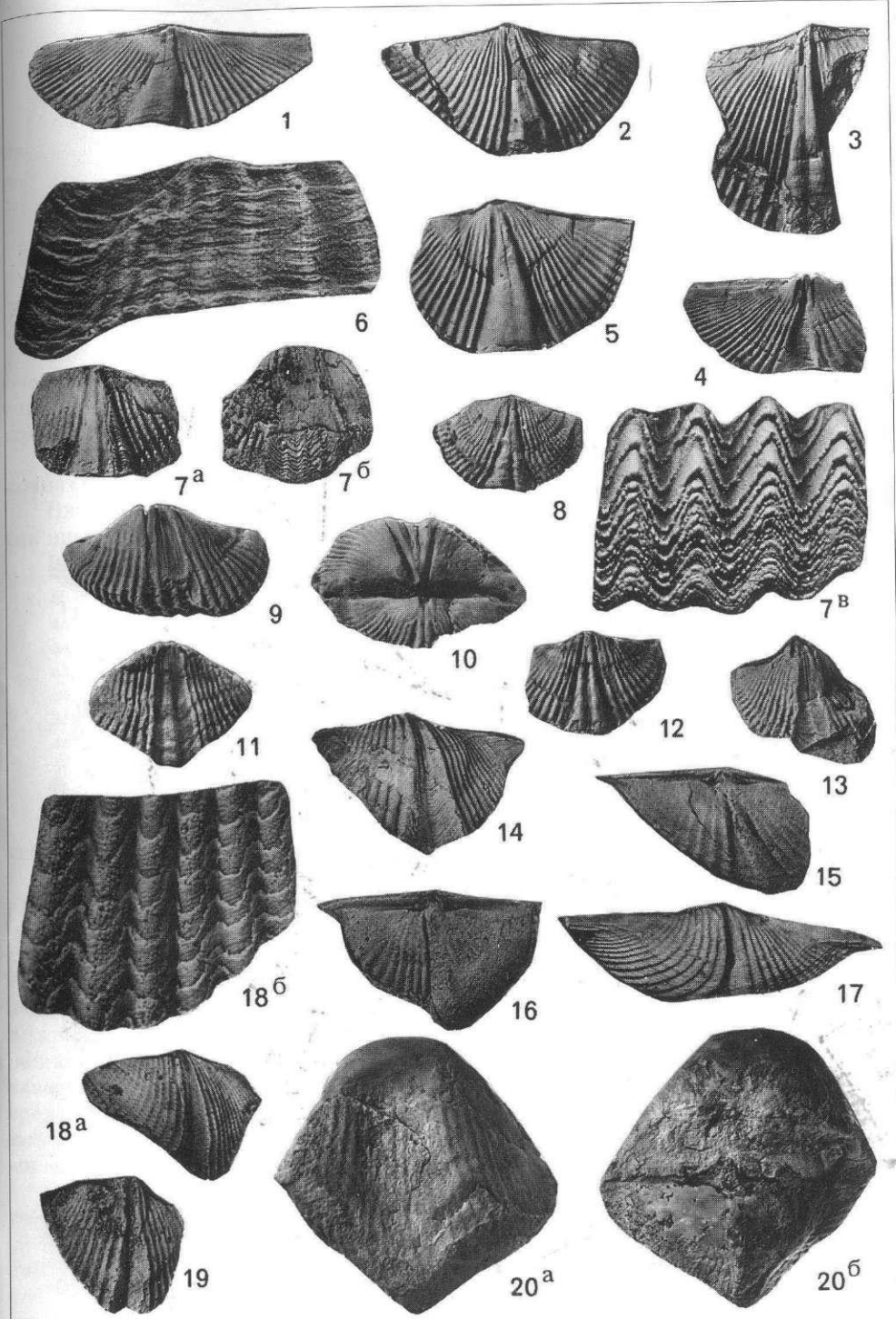
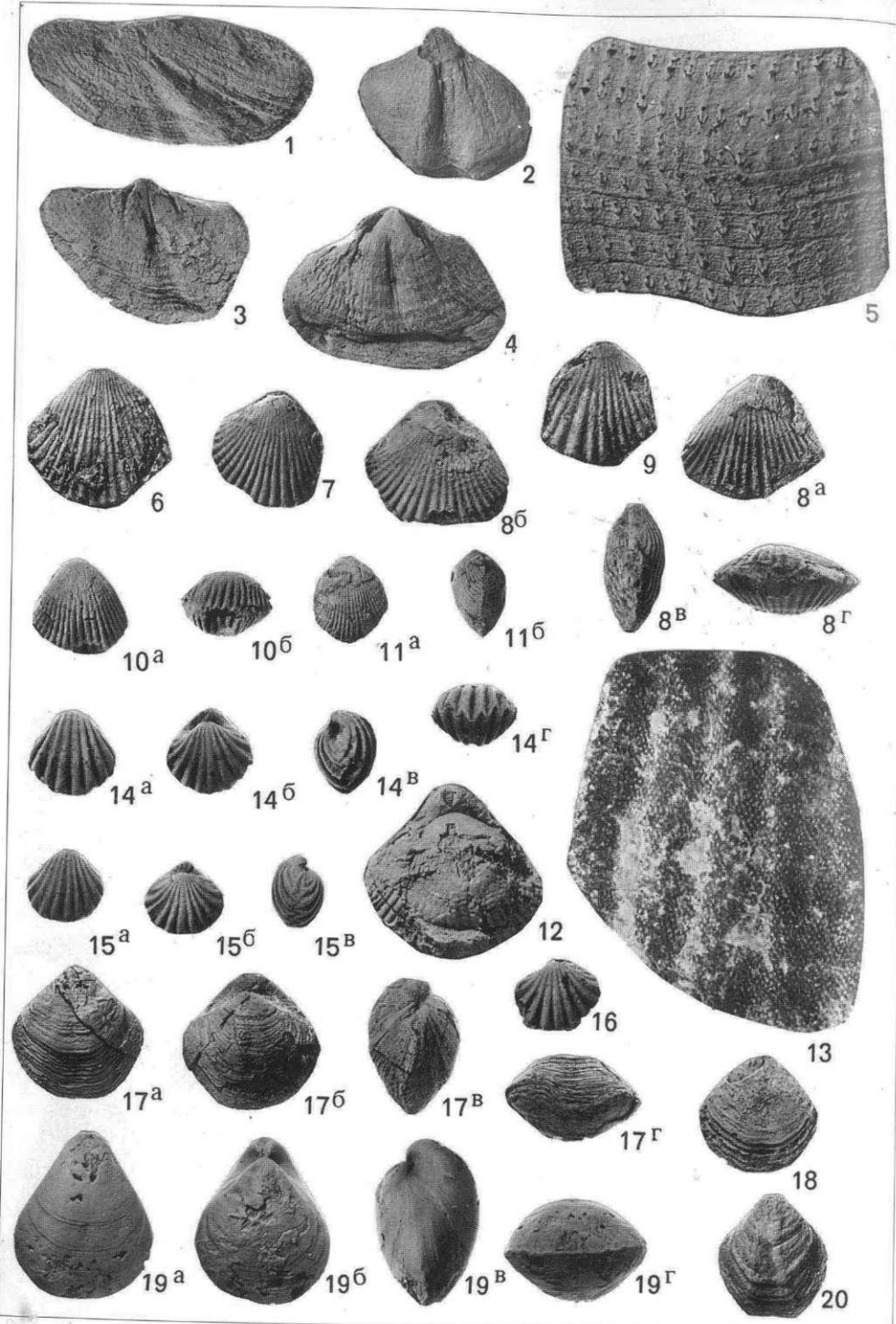


Таблица XVI

Рис. 27. *Eureticularia* sp.

Внутреннее строение брюшной створки, по пленкам ПИН, № 4427/658 (х3); Монгольский Алтай, правобережье р. Сагсай, в 1,5 км северо-северо-восточнее перевала Бугучий-Даваа; уланхусская свита (лохков).

Спинная створка меньше брюшной, слабовыпуклая, наибольшая выпуклость расположена в средней части раковины. Макушка маленькая, широкая, низкая. Седло широкое, округлое, в виде невысокой округлой складки.

Поверхность раковины гладкая. Концентрическая скульптура представлена очень тонкими линиями нарастания, вблизи переднего края раковины на 1 мм насчитывается 5–6 линий, по краю линий расположена тончайшая радиальная штриховка.

Внутри брюшной створки имеются тонкие, расходящиеся зубные пластины, на концах которых расположены зубы (рис. 27).

Внутри спинной створки замочная и круральные пластины. Замочный отросток широкий, пластинчатый. Зубные ямки мелкие.

Размеры в мм и отношения:

№ экз.	Д	Ш	Дз.к.	Д/Ш	Дз.к/Ш
4427/653	13,6	16,7	15	0,81	1,10
4427/657	14,3	17,0	15	0,84	1,04
4427/652	15,0	16,5	14	0,9	0,84
4427/651	17,9	22,9	18	0,78	0,78
4427/650	18,9	23,0	19	0,82	0,82
4427/656	12,5	23,7	—	0,52	—
4427/655	13,2	19,7	15	0,67	0,76

Возрастная изменчивость выражена в величине синуса и возвышения, которые у более мелких экземпляров слабо обозначены.

Сравнение. От наиболее близкого вида *E. indifferens* (Barrande) (Ржонницкая, 1952, с. 55), описанного из пестеревских слоев Кузнецкого бассейна, отличается в 1,5 раза большим размером раковины, меньшей вздутостью брюшной створки, более загнутой макушкой и более длинным замочным краем, у сравниваемого вида замочный край в 2 раза меньше наибольшей ширины раковины. От вида *E. elliptica* Kulkov (Кульков, 1960, с. 189, табл. VII, фиг. 3 а, б) из эйфельских отложений Салаира отличается наличием синуса и возвышения, а также более поперечно вытянутой формой раковины, а не правильно эллиптической, как у сравниваемого вида. От *E. eifeliensis* (Frech) (Biernat, 1966, с. 126, табл. 30, фиг. 13–19) из среднедевонских отложений Польши отличается менее вздутой брюшной створкой и более загнутой макушкой, чаще расположеннымными концентрическими следами нарастания.

Распространение. Нижний девон (лохков) уланхусская свита Монгольского Алтая.

Материал. 12 экз.; 2 спинные и 10 брюшных створок; Монгольский Алтай, правобережье р. Сагсай, 800 м к северу от перевала Бугучий Даваа, обн. 8, сл. 2, 3 (сборы Л.М. Улитиной, 1974 г., 1988 г.) – 10 экз.; уланхусская свита (лохков); правобережье р. Сагсай, 1700 м юго-западнее горы Цахир Дел Толгой – 2 экз., возраст тот же.

Род *Elytha* Fredericks, 1918*Elytha fimbriata* (Conrad, 1842)

Табл. XVI, фиг. 1-5

Delthyris fimbriata: Conrad 1842, v. VIII, p. 263.*Spirifer fimbriatus*: Hall et Whitney, 1858, c. 505, табл. IV, фиг. 5a,b.*Elytha fimbriata*: Наливкин, 1947, табл. XXV, фиг. 7, 8; Крылова, 1955, с. 317, табл. 5, фиг. 4; Мирюков, 1955, с. 246, табл. V, фиг. 6, 7; Ляшенко, 1959, с. 143, табл. 26, фиг. 10, 11; Модзалевская, 1969, с. 121, табл. LIII, фиг. 3-7; Бубличенко, 1974, с. 105, табл. III, фиг. 7.

Лектотип – брюшная створка, изображена Холлом (Hall et Whitney, 1858, табл. IV, фиг. 5); средний девон (слои Гамильтон) Сев. Америки, известковистые сланцы группы Гамильтон, Нью-Йорк; предложил Бубличенко, 1974, с. 106. Хранится: Американский музей естественной истории.

Дагноз. Раковина среднего размера, умеренно выпуклая, округлого очертания, синус и возвышение хорошо развитые, округлые.

Описаниe. Раковина среднего размера ($D = 15-19$ мм), слабовздутая, поперечно вытянутая ($D/W = 0.7-0.8$), округлого очертания. Замочный край короче наибольшей ширины раковины. Кардинальные углы округлые. Арея высокая, четко ограниченная, ортоклинная. Дельтирий треугольный, высотой 0,5 мм. Передний край раковины округлый, сулькатного типа.

Брюшная створка равномерно выпуклая, с наибольшей выпуклостью вблизи переднего края. Макушка высокая, слабозагнутая. Синус начинается от самой макушки, неглубокий, отчетливый, у переднего края слабо расширяется, профиль дна синуса – пологоокруглый. Язычок синуса небольшой, слабо выраженный.

Спинная створка более плоская, чем брюшная. Макушка низкая, слабо возвышается над замочным краем раковины. Арея узкая. Седло гладкое, невысокое, отчетливо обособленное с боковых сторон.

На боковых сторонах от седла и синуса насчитывается не более 5-7 широких, округлых складки, которые начинаются на некотором расстоянии от макушки. У молодых экземпляров складки заметны только вблизи переднего края раковины. Микроскульптура представлена концентрическими линиями нарастания, отчетливо выраженными только вблизи переднего края раковины. На концах этих линий расположены двуствольные иглы. На нашем материале сохранились только основания от этих игл в виде ямок. Иглы располагаются правильными рядами на 10 мм, насчитывается 16 рядов игл. Между рядами игл наблюдаются тончайшие концентрические линии в количестве 8-10 линий на 1 мм (табл. XVI, фиг. 5).

Внутри брюшной створки находятся короткие, расходящиеся зубные пластины, ограничивающие слабо выступающее мускульное поле, в макушечной части которого, на ядрах наблюдается мелкий, узкий, отпечаток септального валика, протягивающийся на длину мускульных отпечатков.

Внутри спинной створки – пластинчатый замочный отросток.

Размеры в мм и отношение:

№ экз.	D	W	D/W
4427/42	15	21	0,7
4427/15	19	27	0,7
4427/19	24	27	0,8

Сравнение. Хорошо выраженная микроскульптура у представителей *E. fimbriata* и неотчетливые складки отличают его от близкого по виду *E. undifera*, который характеризуется наличием резких складок и менее отчетливо выраженным иглами на концентрических пластинах.

Замечания. От алтайских представителей *E. fimbriata*, описанных Бубличенко (см. синонимию) монгольские формы отличаются более крупными размерами раковины и слабо выраженным септальным валиком.

Распространение. Средний – верхний девон, (слои Гамильтон) Сев. Америки; доманиковые, мантокоцеросовые слои Урала, Тимана, Арктики; бельгебашские, алчедатские слои Алтая-Саянской области; ольойской, тепловская свиты Дальнего Востока; айдарлинский, майский горизонты Казахстана; цагансаласская свита Монгольского Алтая.

Материал 14 экз., из них 6 брюшных и 8 спинных створок в ядрах и отпечатках; Монгольский Алтай, 4,5 км севернее сомона Цаган нур, устье правого борта распадка Урт-Зуух, 3,2 км северо-западнее горы Ямат (абс. отм. 2812); цагансаласская свита (нижний фран).

ОТРЯД ATHYRIDIDA

ПОДОТРЯД ATHYRIDIDINA

НАДСЕМЕЙСТВО ATHYRIDOIDEA DAVIDSON, 1881

СЕМЕЙСТВО ATHYRIDIDAE DAVIDSON, 1881

ПОДСЕМЕЙСТВО ATHYRIDINAE DAVIDSON, 1881

Род *Athyris* M'Coy, 1844*Athyris concentrica* (Buch) 1843

Табл. XVI, фиг. 17-20

Athyris concentrica: Халфин, 1932, с. 16, табл. 3, фиг. 38-42; Халфин, 1937, с. 123, табл. 8, фиг. 82a-b; Наливкин, 1951, с. 25, табл. 6, фиг. 7; Крылова, 1962, с. 87, табл. XIV, фиг. 10; Сарычева, 1952, с. 235, табл. 69, фиг. 40; Федорова, 1955, с. 45; Ляшенко, 1959, с. 213, табл. 82, фиг. 4-6; Литвинович, 1963, с. 267, табл. 55, фиг. 10-12; Литвинович, 1974, с. 124, табл. XI, фиг. 14.

Лектотип – в качестве лектотипа Д. Вайер (Weyer) и Т.А. Грунт предлагаю принять целую раковину N Mb-b. 922 из коллекции L. Buch (Grunt, 1998). Хранится в музее естествознания Zentralinstitut der Humboldt-Universität, г. Берлин.

Дагноз. Раковина среднего размера, двояковыпуклая, равномерно вздутая, поперечно-овальной или округлой формы. Длина смычного края меньше наибольшей ширины раковины. Синус и возвышение развиты слабо и заметны только с середины створки. Следы нарастания частые, резкие, линейные.

Описаниe. Раковины среднего размера ($D = 18-22$ мм), поперечно-овальной, или округленно-пятиугольной формы. Длина замочного края меньше наибольшей ширины раковины. Кардинальные углы и боковые комиссуры округлые. Передний край унипликатный.

Брюшная створка сильно взутая с наибольшей высотой, расположенной в средней части раковины. Макушка большая, загнутая, с фораменом на конце. Синус неглубокий, неясно ограниченный, с плоскоокруглым дном, начинается у макушки и заканчивается умеренно высоким язычком.

Спинная створка равномерно выпуклая, со слабо выраженным возвышением, которое становится отчетливым только вблизи переднего края, где, резко изгибаясь, очерчивает таким образом язычок синуса.

Вся поверхность раковины покрыта частыми концентрическими следами нарастания, на 1 мм насчитывается 3-8 тончайших линий. На некоторых экземплярах, во фрагментах видны пластины нарастания с бахромчатым краем из плоских игл.

Внутреннее строение изучено на ядрах брюшных створок, где видны короткие, слабо расходящиеся зубные пластины.

Размеры в мм и отношения:

№ экз.	Д	Ш	Т	Д/Ш	Д/Т	Д/Г
4427/250	13	13,5	7,0	8,0	0,97	1,8
4427/249	15,7	17	9,0	12,4	0,92	1,72
4427/247	17,5	20	11,2	15	0,87	0,75
4427/246	17,7	11	12,5	12	1,6	1,09
4427/248	17,7	19,3	10,4	16,2	0,91	0,83
4427/245	18,2	15,7	12,2	12,4	1,15	0,78
4427/243	20,5	20,4	16,7	15	1,0	0,73
4427/242	22,2	20	18,8	15,7	1,11	0,78
						1,18

Возрастные изменения. У более мелких экземпляров раковины более округлые и равномерно вздутые, у крупных – более удлиненные, брюшные створки более вздутые.

Сравнение. От *Athyris angelica* Hall, 1967, отличается слабо выраженным синусом и отсутствие складок, ограничивающих синус.

Распространение. Средний – верхний девон Русской платформы, Горного Алтая, Кузбасса, Казахстана, Монгольского Алтая.

Материал. 45 экз., из них с обеими створками – 32, спинных створок – 6, брюшных – 7. Монгольский Алтай, среднее течение р. Сагсай, 3500 м севернее Сагсай-хуре – 21 экз; холдзатийская свита (живет); левобережье р. Сагсай, 550 м северо-северо-западнее горы Хурэн Толгой – 14 экз., там же; Цаган нур, 700 м выше распадка Жаргын ам – 10 экз., хатугольская свита, зээгтийские слои (нижний фран).

ПОДОТРЯД RETZIIDINA

НАДСЕМЕЙСТВО RETZIOIDEA, WAAGEN, 1883

СЕМЕЙСТВО RETZIIDAE WAAGEN, 1883

ПОДСЕМЕЙСТВО RETZIINAE WAAGEN, 1883

Род Retzia King, 1850

Retzia tschernyschewi Peetz, 1901

Табл. XVI, фиг. 10–13;

Rhynchospirina tschernyschewi var.a: Халфин, 1932, с. 21, табл. IV, фиг. 66.

Retzia tschernyschewi: Грацианова, 1950, с. 72, табл. II, фиг. 14; 1960, с. 478, табл. D-76, фиг. 8.

Лекотип – целая раковина, описана Халфином (1932, с. 21, фиг. 66); Кузнецкий бассейн, нижний фран.

Диагноз. Раковины небольшого размера, округленно-пятиугольной формы. Макушка брюшной створки прямая, с фораменом. Синус и возвышение отсутствуют. Ребра плоскоокруглые, многочисленные.

Описание. Раковина небольшого размера ($D = 12$ – 14 мм), взутая ($D/T = 1,0$ – $1,3$), изометрическая, равносторчатая. Замочный край раковины слабоизогнутый, в $1/2$ – $1/3$ раза меньше наибольшей ее ширины, расположенной посередине длины створки. Боковые и передняя комиссуры – округлые.

Брюшная створка умеренно выпуклая, наибольшая выпуклость приурочена к $1/2$ ее длины. Макушка средних размеров, прямая или немного загнутая, прободена маленьким фораменом; зубные пластины слабо развиты. Макушечный угол составляет 50 – 60° . Синус отсутствует.

Спинная створка по выпуклости равна или немного меньше брюшной створки. Макушка маленькая, скрыта нависающей макушкой брюшной створки. Боковые склоны и передний край плавно понижаются. Седло отсутствует. Скульптура представлена простыми округло-уплощеными ребрами, начинающимися от самой макушки и постепенно расширяющимися к переднему краю. Бороздки мелкие, угловатые, в два раза уже самих ребер. На поверхности раковины насчитывается по

28–32 ребер. Отчетливо заметно точечное строение текстуры (табл. XVI, фиг. 13).

Внутри спинной створки на пришлифовках заметна замочная пластина.

Размеры в мм и отношения:

№ экз.	Д	Ш	Т	Д/Ш	Д/Т	Му
4427/260	14	14	10,2	1,0	1,37	60
4427/261	13	12,3	8,0	1,0	1,05	50
4427/262	12,2	12,6	8,0	1,0	1,5	50

Сравнение. От *R. karagandica* Nal. (Наливкин, 1937, с. 119, табл. XX, фиг. 4, табл. XXIII, фиг. 5–8), отличается отсутствием синуса, значительно большим числом ребер 28–32 против 14–18 у сравниваемого вида.

Замечания. От найденных в нижнефранских отложениях Горного Алтая, в долине реки Юстыд, монгольские формы отличаются незначительно – лишь более вздутой раковиной.

Распространение. Верхний девон; пещеркинский горизонт (фамен) Кузнецкого бассейна, Горного Алтая; зээгтийские слои хатугольской свиты (фран) Монгольского Алтая.

Материал. 12 раковин, из них с обеими створками – 5, брюшных створок – 2, спинных – 5; Монгольский Алтай, правобережье р. Сагсай, в 6,2 км северо-северо-восточнее перевала Бугучийн Даваа (абс. отм. 2210,6) – 2 экз.; карбонатно-терригенная толща (верхний девон); 13,2 км севернее сомона Цаган Нур, 700 м от устья распадка Жаргын ам – 5 экз.; хатугольская свита, зээгтийские слои (н. фран).

***Retzia ulentica* Nalivkin, 1937**

Табл. XVI, фиг. 6–9

Retzia ulentica: Наливкин, 1937, с. 119, табл. 34, фиг. 9, 10.

Retzia aff. ulentica: Литвинович, 1963, с. 291, табл. LX, фиг. 15–18.

Голотип. № 466; целая раковина, изображена Наливкиным (1937, с. 119, табл. 34, фиг. 10); Северо-Восточный Казахстан, р. Уленты, Семиз бугу, обн. 179 а₃, сульциферовые слои (фамен). Хранится: ВНИГНИ, Москва.

Дагноз. Раковина среднего размера, вынутая в длину, слабовыпуклая. Макушка небольшая, слабозагнутая. Синус и возвышение слабо выражены или отсутствуют. Ребра многочисленные, округленно-угловатые, расширяющиеся вблизи переднего края.

Описание. Раковина среднего размера ($D = 18$ – 21 мм), округленно-пятиугольного очертания, ($D/W = 0,8$ – $0,9$), слабо равномерно взутая ($D/T = 1,8$ – $2,1$). Брюшная створка слабо равномерно выпуклая ($D/T = 1,8$ – $2,1$). Брюшная немного более выпуклая, чем спинная. Боковые стороны створки полого опускающиеся. Макушка небольшая, острая, слабо загнутая или прямая. Макушечный угол составляет 90 – 100° . Замочный край раковины короткий, изогнутый, в $1/2$ раза меньше наибольшей ширины раковины, расположенной посередине ее длины. Боковые стороны и передняя комиссура – округлые. Синус широкий, низкий, едва обозначен более низкими 3–4 ребрами.

Спинная створка более плоская, чем брюшная, равномерно выпуклая. Наибольшая выпуклость расположена в примакушечной части створки. Макушка маленькая, тесно прилегающая к брюшной створке. Седло едва обозначено, ограниченное слабо выступающими более высокими ребрами. На седле насчитывается 5 ребер, которые немного шире боковых. Скульптура представлена простыми, низкими, округлыми ребрами, начинающимися от самой макушки и постепенно расширяющимися к переднему краю. Бороздки округлые, уже ширины самих ребер. На поверхности раковины насчитывается по 20–23 ребер. Точечное строение текстуры заметно отчетливо.

Внутри спинной створки на промежуточных заметах замочная пластина, количество оборотов спиралей доходит до 10.

Размеры в мм и отношения:

№ экз.	Д	Ш	Т	Д/Ш	Д/Т	Му
4427/270	18	19	11,5	0,9	1,5	100
4427/268	20	23	11	0,8	1,8	90
4427/267	21	23	10	0,9	2,1	90

Сравнение. От близкой по виду *R. karagandica* Nal. (Наливкин, 1937, с. 119, табл. 20, фиг. 4; табл. 23, фиг. 5–8) отличается в два раза крупным размером раковины, отсутствием отчетливого синуса, большим количеством ребер (20–23 против 14–18 у сравниваемого вида).

Распространение. Верхний девон (фамен); сульциферовые слои Северо-Восточного Казахстана; карбонатно-терригенная толща Монгольского Алтая.

Материал. 6 экз., из них 3 целые раковины, 2 спинных и 1 брюшная створка. Монгольский Алтай, правобережье р. Сагсай, в 6,2 км северо-северо-восточнее перевала Бугучий Даваа, (абс. отм. 2210,6); карбонатно-терригенная толща (верхний девон);

Retzia amoena Oleneva, 1998

Табл. XVI, фиг. 14–16

Retzia amoena: Оленева, 1998, с. 51, табл. 3, фиг. 13–15.

Голотип. № 4427/258; целая раковина; Монгольский Алтай, 13,2 км севернее сомона Цаган-нур, в 700 м от устья распадка Жаргын ам; хатугольская свита, зээгтийские слои (нижний фран). Хранится: Палеонтологический институт, Москва. Изображен здесь на табл. XVI, фиг. 14а–г.

Диагноз. Раковина небольшого размера, округленно-пятиугольная. Синус и седло отсутствуют. Ребра немногочисленные, на брюшной створке всегда на 1 ребро меньше, чем на спинной, по центру срединного ребра спинной створки проходит продольная бороздка.

Описания. Раковина небольшого размера ($D = 10$ – 13 мм), почти изометрическая ($D/W = 0,94$ – $0,98$), слабовздутая ($D/T = 0,92$ – $1,4$). Замочный край раковины короткий, составляет $2/3$ наибольшей ширины раковины, расположенной посередине ее длины. Боковые стороны и передняя комиссура – округлые.

Брюшная створка умеренно и равномерно выпуклая, наибольшая выпуклость приурочена к середине ее длины. Макушка высокая, острые, сильно загнутая, написающая над спинной створкой. Макушечный угол составляет 85 – 95° . Синус отсутствует.

Спинная створка вздутая, немного больше брюшной. Наибольшая выпуклость расположена в примакушечной части створки. Макушка маленькая, скрыта написающей макушкой брюшной створки. Седло отсутствует.

Скульптура представлена резкими, высокими, угловатыми ребрами, начинаяющимися от самой макушки и постепенно расширяющимися к переднему краю. Бороздки глубокие, широкие, угловатые, уже самих ребер. На поверхности раковины насчитывается 10–12 ребер, на брюшной створке во всех случаях на одно ребро меньше, чем на спинной. По центру брюшной створки проходит узкая, угловатая бороздка, ширина которой у переднего края немного больше расстояния между складками (табл. XVI, фиг. 15а). На спинной створке этой бороздке соответствует центральное ребро, ширина которого немного превышает ширину остальных ребер. В центральной части срединного ребра, у крупных раковин наблюдается отчетливая, продольная бороздка, начинаящаяся с $1/2$ длины ребра (табл. XVI, фиг. 14б).

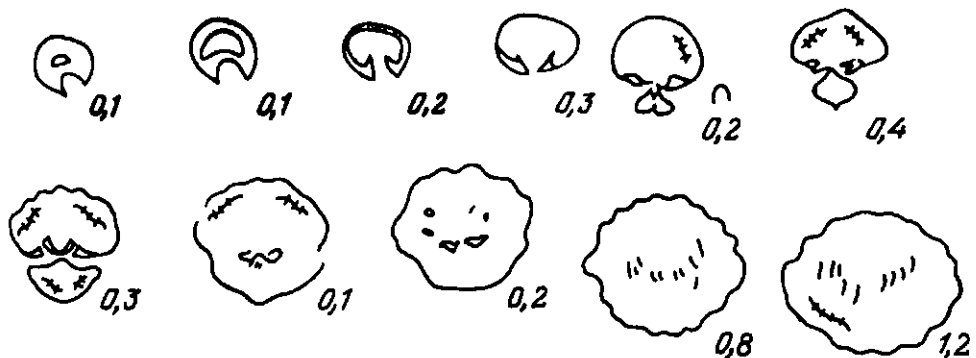


Рис. 28. *Retzia amoena* Oleneva, 1998

Внутреннее строение раковины с сочлененными створками по пленкам ПИН, № 4427/250(х1,5); Монгольский Алтай, 13,2 км северо-восточнее сомона Цаган нур, 700 м севернее от устья распадка Жаргын ам; хатугольская свита, зээгтийские слои (живет)

Внутри брюшной створки находятся короткие зубные пластины и умбоанальная трубка, прикрепленная к внутренней поверхности дельтидия (рис. 28).

Внутри спинной створки массивная замочная пластина. Число оборотов спиралей доходит до 11.

Размеры в мм и отношения:

№ экз.	Д	Ш	Т	Д/Ш	Д/Т	Му
4427/256	10,6	11,5	8	0,94	0,92	95
4427/257	11	11,2	8	0,98	1,37	90
4427/259	–	13,0	9,2	–	–	–
4427/258	13	13,5	9,2	0,96	1,41	85

Сравнение. От известных ретзиид отличается наличием бороздки, проходящей по центральному ребру спинной створки. От наиболее близкой по форме *R. karagandica* Nal. (Наливкин, 1937, с. 119, табл. XX, фиг. 4, табл. XXIII, фиг. 5–8) отличается отсутствием синуса, меньшим количеством ребер (10–12 против 14–18 у сравниваемого вида). От *R. tschermyschewi* Peetz (Петц, 1901, с. 124, табл. V, фиг. 7) отличается большим макушечным углом, сильно загнутой макушкой брюшной створки, значительно меньшим числом и более широкими ребрами (10–12 против 28–32).

Распространение. Верхний девон, фран (низы); зээгтийские слои хатугольской свиты Монгольского Алтая.

Материал. 8 экз., из них 4 целых раковины: 2 спинные и 2 брюшные створки; Монгольский Алтай, 13,2 км севернее сомона Цаган нур, в 700 м от устья распадка Жаргын ам; хатугольская свита, зээгтийские слои (нижний фран).

ЛИТЕРАТУРА

- Алексеева Р.Е. Девонские атрипиды Кузнецкого и Минусинского бассейнов и восточного склона Северного Урала. М.: Изд-во АН СССР, 1962. 196 с.
- Алексеева Р.Е. Брахиоподы и стратиграфия нижнего девона Северо-Востока СССР. М.: Наука, 1967. 161 с.
- Алексеева Р.Е. Девон Монгольской Народной Республики // ДАН СССР. 1990. Т. 313, № 1. С. 1184–1187.
- Алексеева Р.Е. Палеозоогеографические области Евразии раннего девона (по брахиоподам) // Палеонтол. журн. 1992. № 1. С. 3–13.
- Алексеева Р.Е. Биостратиграфия девона Монголии. М.: Наука, 1993. 132 с. (Тр. ССМПЭ; Вып. 44).
- Алексеева Р.Е., Аристов В.А., Горюнова Р.В. и др. Опорные разрезы отложений эмсского и эйфельского ярусов Монголии // Стратиграфия. Геол. корреляция. 1995. Т. 3, № 1. С. 44–49.
- Алексеева Р.Е., Грацианова Р.Т., Елкин Е.А., Кульков Н.П. Стратиграфия и брахиоподы нижнего девона Северо-Восточного Салаира. М.: Наука, 1970. 187 с.
- Алексеева Р.Е., Коломенский А.А., Эрлангер О.А. Раннедевонские брахиоподы из котловины Больших Озер // Беспозвоночные палеозоя Монголии. М.: Наука, 1977. С. 66 /> (Тр. ССМПЭ).
- Алексеева Р.Е., Мендбаяр Б. Ранний девон Монгольского Алтая // Ископаемая фауна и флора Монголии. М.: Наука, 1975. С. 328–333. (Тр. ССМПЭ; Вып. 2).
- Алексеева Р.Е., Мендбаяр Б., Эрлангер О.А. Брахиоподы и биостратиграфия нижнего девона на Монголии. М.: Наука, 1981. 176 с. (Тр. ССМПЭ; Вып. 16).
- Алексеева Р.Е., Эрлангер О.А. О девонских брахиоподах Монголии // Современное состояние и основные направления изучения брахиопод. М., 1989. Т. 2. С. 2–60. Деп. в ВИНИИГИ 29.05.89, № 3537-В 89.
- Алихова Т.Н. Отряд Orthidae // Основы палеонтологии: Мшанки, брахиоподы. М.: Изд-во АН СССР, 1960. С. 183–197.
- Амантов В.А., Лувсандаанзан Б., Матросов П.С. О развитии геологических структур Западной Монголии // Изв. АН СССР. Сер. геол. 1962. № 8. С. 21–35.
- Афанасьева Г.А. Новые хонетацы из девона Нахичеванской АССР // Палеонтол. журн. 1978. 1978. № 3. С. 64–72.
- Баранов В.В. Chalimochonetes – новый род девонских хонетацев (Brachiopoda) // Там же. 1980. № 1. С. 141–144.
- Бельская Т.Н. Позднедевонское море Кузнецкой котловины, история его развития, насыщенные и осадки. М., 1960. 184 с. (Тр. ПИН АН СССР; Т. 82).
- Бондаренко О.Б., Улитина Л.М. Ранне- и среднепалеозойские кораллы Монголии: (Обзор местонахождений) // Палеонтология и биостратиграфия Монголии. М.: Наука, 1976. С. 306–326. (Тр. ССМПЭ; Вып. 3).
- Бубличенко Н.Л. Некоторые новые представители брахиопод девона и карбона Рудного Алтая и Сары-Арака // Изв. АН КазССР. Сер. геол. 1956. Вып. 23. С. 93–104.
- Бубличенко Н.Л. Брахиоподы среднего и верхнего девона Рудного Алтая. Алма-Ата: Наука, 1974. 168 с.
- Бубличенко Н.Л. Кувенский ярус в девоне СССР // Нижний ярус среднего девона на территории СССР. М.: Наука, 1983. С. 32–37. (Тр. ИГИГ СО АН СССР; Вып. 562).
- Волкова К.Н. Девонские мшанки юго-восточного Алтая. М.: Наука, 1974. 181 с. (Тр. ИГИГ СО АН СССР; Вып. 199).
- Гагин М.Х., Родыгин С.А., Тимофеева О.Б. Зональное расчленение и корреляция нижних среднедевонских отложений Салаира и Северо-Востока СССР по конодонтам. Препринт. Магадан, 1987. 55 с.
- Геология Монгольской Народной Республики. Т. 1. М.: Наука, 1973. 583 с.
- Грациангер А.Б., Грацианова Р.Т., Елкин Е.А. Горный Алтай // Девонская система. М.: Недра, 1973. С. 80–95. Кн. 2. (Стратиграфия СССР).
- Грацианова Р.Т. Брахиоподы верхнего девона // Атлас руководящих форм ископаемых фауны и флоры Западной Сибири. М.: Госгеолтехиздат, 1955. Т. 1. С. 256–261.
- Грацианова Р.Т. Лентицильды (Brachiopoda) девона Саяно-Алтайской области // Среда и жизнь в геологическом прошлом. Палеоэкологические проблемы. Новосибирск: Наука, 1973. С. 95–121.
- Грацианова Р.Т. "Шухертеллы" раннего и среднего девона юга Западной Сибири: Систематическая принадлежность, элементы экологии, стратиграфическое значение // Среда и жизнь в геологическом прошлом. Поздний докембрий и палеозой Сибири. Новосибирск: Наука, 1974. С. 77–87.
- Грацианова Р.Т. Брахиоподы раннего и среднего девона Алтая-Саянской области: (Строфоменидины). М.: Наука, 1975. 106 с.
- Грацианова Р.Т., Зинченко В.Г., Кульков Н.П. Илационие девона // Биостратиграфия на палеозой Саяно-Алтайской горной области. М., 1960 (1961). Т. 2: Средний палеозой. С. 422–480. (Тр. СНИИГиМС; Вып. 20).
- Грацианова Р.Т., Талент Дж.А. Спирифериды среднего палеозоя Австралио-Азиатского региона // Геология и геофизика. 1989. № 8. С. 3–10.
- Грацианова Р.Т., Талент Дж., Языков А.Ю. К систематике и номенклатуре некоторых спириферид, важных для стратиграфии девона // Система и филогения ископаемых бесконечоногих. М.: Наука, 1987. С. 102–115. (Тр. ИГИГ СО АН СССР; Вып. 688).
- Грацианова Р.Т., Шишкова Г.Р. Состав и распространение позднедевонских и раннефризских брахиопод в азиатской части СССР и соседних регионах // Стратиграфия докембра и фанерозоя Забайкалья и юга Дальнего Востока: Тез. докл. IV Дальневосточ. регион. межведомств. стратигр. совещ. Хабаровск, 1990. С. 72–74.
- Дергунов А.Б. Структуры зоны сочленения Горного Алтая и Западного Саяна. М.: Наука, 1967. 215 с. (Тр. ГИН АН СССР; Вып. 172).
- Дергунов А.Б. Делюно-Юстынский прогиб // Тектоника Монгольской Народной Республики. М.: Наука, 1974. С. 98–107. (Тр. Совмест. Сов.-Монг. науч.-исслед. геол. экспедиции. Вып. 9).
- Дергунов А.Б., Лувсандаанзан Б. К стратиграфии отложений, выполняющих наложенные прогибы Северо-Западной Монголии. Улан-Батор: Изд-во АН МНР, 1970. (Тр. Геол. ин-та МНР; Вып. 1).
- Дергунов А.Б., Лувсандаанзан Б. Наложенные структуры Северо-Западной Монголии // Материалы науч. конф. посвящ. 30-летию геол. службы МНР. Улан-Батор: Госиздат, 1971. С. 24–48. (Тр. Геол. ин-та МНР).
- Дергунов А.Б., Лувсандаанзан Б. Основные черты строения и развития структуры Монгольского Алтая. Улан-Батор: Госиздат, 1972.
- Дергунов А.Б., Лувсандаанзан Б., Павленко А.С. Геология Западной Монголии. М.: Наука, 1980. 195 с. (Тр. Совмест. Сов.-Монг. науч.-исслед. геол. экспедиции; Вып. 31).
- Дергунов А.Б., Маркова Н.Г. Зоны Монгольского Алтая // Тектоника Монгольской Народной Республики. М.: Наука, 1974. С. 59–73. (Тр. Совмест. Сов.-Монг. науч.-исслед. геол. экспедиции; Вып. 9).
- Дубатолов В.Н. Табуляты и биостратиграфия среднего и верхнего девона Сибири. М.: Наука, 1972. 184 с. (Вып. 134; СО АН СССР ИГиГ).
- Дубатолов В.Н. Корреляция среднедевонских отложений Сибири и Ардени // Биостратиграфия пограничных отложений нижнего и среднего девона. Л.: Наука, 1982. С. 58–64.
- Дубатолов В.Н., Спасский Н.Я. Стратиграфический и географический обзор девонских кораллов. М.: Наука, 1964. 139 с.
- Дубатолова Ю.А. Морские лилии девона Кузбасса. М.: Наука, 1964. 154 с.
- Дубатолова Ю.А. Девонские криноиды хр. Тас-Таяхтах (северо-восток Салаира) // Новые данные по биостратиграфии девона и верхнего палеозоя Салаира. М.: Наука, 1967. С. 32–41.
- Дубатолова Ю.А. Стебли морских лилий томь-чумышского горизонта // Биостратиграфия пограничных отложений силура и девона. М.: Наука, 1968. С. 141–158.
- Дубатолова Ю.А. Морские лилии раннего и среднего девона Алтая и Кузбасса. М.: Наука, 1971. 159 с. (Тр. ИГиГ СО АН СССР; Вып. 124).
- Дубатолова Ю.А. Биogeографическая характеристика Алтас-Саянской провинции в раннем и среднем девоне (по материалам изучения криноидей) // Палеобиогеографическое районирование Алтас-Саянской провинции // Геология и геофизика. 1980. № 1. С. 1–12.

- онирование и биостратиграфия. Новосибирск: Наука, 1977. С. 40–63. (Тр. ИГИГ СО АН ССР; Вып. 347).
- Елкин Е.А. Закономерности эволюции дихенеллид и биохронология силура и девона. М.: Наука, 1983. 117 с.
- Елкин Е.А., Бахарев Н.К., Грацианова Р.И. и др. Стратотипические разрезы нижнего и среднего девона Салаира: Талеңгитский надгоризонт: Карбонатные фауны. Препринт Новосибирск: СО АН ССР, 1987. 193 с.
- Елкин Е.А., Грацианова Р.И., Бахарев Н.К., Желтоногова В.А. О сопоставлении схем разделения среднего девона Салаира и Урала // Средний девон ССР, его границы и ярусное расчленение. М.: Наука, 1985. С. 121–141.
- Елкин Е.А., Грацианова Р.И., Желтоногова В.А., Ким А.И. Основные биостратиграфические рубежи и подразделения нижнего и среднего девона на западе Алтае-Саянской области и их корреляция // Биостратиграфия пограничных отложений нижнего и среднего девона. Л.: Наука, 1982. С. 65–80.
- Иванов В.А., Черепнина С.К. Девонские кораллы-ругозы Западной Сибири. Томск, 1986. 136 с.
- Иванов А.Х. Геология и полезные ископаемые Кобдоского района Монгольского Алтая. М.: Изд-во АН ССР, 1953. 164 с. (Тр. Монг. комис. АН ССР; Вып. 2).
- Иванова Е.А. К систематике и эволюции спириферид (Brachiopoda) // Палеонтол. журн. 1959. № 4. С. 47–65.
- Иванова Е.А. Отряд Spiriferida // Основы палеонтологии: Мшанки, брахиоподы. М., 1960. С. 264–280.
- Иванова Е.А. Экология и развитие брахиопод силура и девона Кузнецкого, Минусинского и Тувинского бассейнов. М.: Изд-во АН ССР, 1962. 151 с. (Тр. ПИН АН ССР; Т. 88).
- Иванова Е.А. Введение в изучение спириферид. М.: Наука, 1971. 103 с. (Тр. ПИН АН ССР; Т. 126).
- Иванова Е.А. Морфология и развитие брахиопод (надсемейство *Raeckelmannellacea*). М.: Наука, 1981. 52 с. (Тр. ПИН АН ССР; Т. 195).
- Иванова Н.И., Сенкевич М.А., Стукалина Г.А. и др. Биостратиграфия нижнего и среднего девона Джунгаро-Балхашской провинции. Новосибирск: Наука, 1991. 332 с.
- Киплун Л.И. Брахиоподы нижнего девона Прибалхашья // Материалы по геологии и полезным ископаемым Казахстана: (Стратиграфия и палеонтология). М.: Госгеолтехиздат, 1961. С. 64–115.
- Караулов В.Б. О положении границы среднего и верхнего девона в Алтае-Саянской складчатой области // Изв. вузов. Геология и разведка. 1992. № 1. С. 23–28.
- Караулов В.Б. О принципах установления и прослеживания границ отделов и систем (на примере девонской системы) // Стратиграфия. Геол. корреляция. 1994. Т. 2, № 2. С. 90–95.
- Копиевич Г.В. Атлас мшанок ордовика, силура и девона Монголии. М.: Наука, 1984. 161 с. (Тр. ССМПЭ; Вып. 22).
- Крылова А.К. Спирифериды девона Волго-Уральской области // Брахиоподы девона Волго-Уральской области. М.: Госгеолтехиздат, 1955. С. 297–343. (Тр. ВНИГРИ; Вып. 88)
- Крылова А.К. Стратиграфия и брахиоподы девона Сибирской платформы. М.: Госгеолтехиздат, 1962. 108 с. (Тр. ВНИГРИ; Вып. 200).
- Кульков Н.П. О фауне брахиопод пестеревских известняков и их фациальных аналогов // Вопросы стратиграфии и палеонтологии Западной Сибири. Новосибирск, 1960. С. 153–194. (Тр. ИГИГ СО АН ССР; Вып. 1).
- Кульков Н.П. Брахиоподы соловьевинских слоев нижнего девона Горного Алтая. М.: Изд-во АН ССР, 1963. 131 с.
- Кульков Н.П. Брахиоподы и стратиграфия силура Горного Алтая. М.: Наука, 1967. 151 с.
- Лазарев С.С. Висцеральная полость, срединная септа и опорные пластинки у продуктид // Геол. журн. 1985. № 3. С. 49–58.
- Лазарев С.С. Морфология и развитие брахиопод: (надсемейство Энтелетацеа). М.: Наука, 1976. 165 с. (Тр. ПИН АН ССР; Т. 154).
- Лазарев С.С. Происхождение и систематическое положение основных групп продуктид (брахиопод) // Геол. журн. 1987. № 4. С. 41–52.
- Лазарев С.С. Система девонских брахиопод подотряда *Strophalosidina* // Там же. 1989. № 2. С. 111–115.
- Лазарев С.С. Брахиоподы и продуктиды // Материалы по геологии и полезным ископаемым М.: Наука, 1979. С. 103–111. (Т. 242).
- Литвинович Н.Н., Аксенова Г.Г., Мартынова М.В. Фауна пограничных отложений девона и карбона Центрального Казахстана. М., 1975. 142 с. (Материалы по геологии Центр. Казахстана; Т. 18).
- Литвинович Н.В., Бондаренко О.Б., Свербила Т.В. и др. Стратиграфия и фауна палеозойских отложений хребта Тарбагатай. М.: Госгеолтехиздат, 1963. 336 с.
- Литвинович Н.В., Мартынова М.В., Аксенова Г.Г. Фауна пограничных отложений девона и карбона Центрального Казахстана. М.: Недра, 1975. 143 с.
- Лувсандалэн Б., Матросов П.С. Стратиграфия и фации девонских отложений северо-западной части Монгольского Алтая // Сов. геология. 1959. № 6.
- Ляшенко А.И. Брахиоподы среднедевонских отложений центральных областей Русской платформы // Палеонтологический сборник. М.: Гостоптехиздат, 1958а. Вып. 9. С. 49–105.
- Ляшенко А.И. Брахиоподы нижнефранских отложений центральных частей Русской платформы // Там же. 1958а. Вып. 9. С. 105–157.
- Ляшенко А.И. Атлас брахиопод и стратиграфия девона Русской платформы. М.: Гостоптехиздат, 1959. 451 с.
- Ляшенко А.И. Брахиоподы и стратиграфия нижнефранских отложений Южного Тимана и Волго-Уральской нефтегазоносной провинции. М.: Недра, 1973. 278 с. (Тр. ВНИГРИ; Вып. 134).
- Мартынова М.В. Стратиграфия и брахиоподы фаменского яруса западной части Центрального Казахстана. М.: Изд-во МГУ, 1961. Т. 2. 211 с.
- Мелещенко В.С., Предтеченский Н.Н., Янов Э.Н. Межгорные владины Алтае-Саянской складчатой области // Девонская система. Т. 2. М.: Недра, 1973. С. 95–118. (Стратиграфия СССР).
- Мендбаяр Б. Среднедевонские брахиоподы из котловины Большых Озер // Ископаемая фауна и флора Монголии. М.: Наука, 1975. С. 279–286. (Тр. ССМПЭ; Вып. 2).
- Мендбаяр Б. Некоторые спирифериды из живетских отложений Западной Монголии // Палеонтология и биостратиграфия Монголии. М.: Наука, 1976. С. 350–353. (Тр. ССМПЭ; Вып. 3).
- Миронова Н.В. Раннедевонские табуляты Горного Алтая и Салаира. Новосибирск: Зап.-Сиб. кн. изд-во, 1974. 163 с. (Тр. СНИГГ и МС; Вып. 163).
- Модзалевская Е.А. Полевой атлас силурийской, девонской и раннекаменноугольной фауны Дальнего Востока. М.: Недра, 1969. 327 с.
- Наливкин Д.В. Брахиоподы верхнего и среднего девона Туркестана // Тр. Геол. ком. Н.С. 1930. Вып. 180. С. 1–221.
- Наливкин Д.В. Брахиоподы верхнего и среднего девона нижнего карбона северо-восточно-го Казахстана. М., 1937. 200 с. (Тр. ЦНИГРИ; Вып. 99).
- Наливкин Д.В. Верхний девон Горного Алтая // Материалы ЦНИГРИ. Общ. сер. 1938. Сб. 3. С. 80–92.
- Наливкин Д.В. Брахиоподы Главного девонского поля // Фауна Главного девонского поля. М.: Изд-во АН ССР, 1941. Т. 1. С. 139–221.
- Наливкин Д.В. Класс Brachiopoda // Атлас руководящих форм ископаемых фаун СССР. М.: Госгеолтехиздат, 1947. Т. 3. С. 243.
- Наливкин Д.В. Фауна верхнего и среднего девона восточного склона Башкирского Урала. М.: Госгеолтехиздат, 1951. 43 с.
- Нехорошев В.П. Тектоника и рельеф Русского Алтая // Геол. вести. 1926. Т. 5, № 1/3.
- Никиторова О.И. Стратиграфия и брахиоподы силурийских отложений Подолии. М.: Госгеолтехиздат, 1954. 214 с.
- Оленева Н.В. Новые строфомениды и хонетиды среднего и верхнего девона Монгольского Алтая // Палеонтол. журн. 1993. № 4. С. 49–55.
- Оленева Н.В. Новые виды брахиопод среднего и верхнего девона Монгольского Алтая // Там же. 1998. № 2. С. 47–552.
- Оленева Н.В. К стратиграфии девона Монгольского Алтая // Стратиграфия. Геологическая корреляция. 1997. Т. 5, № 2. 75–80 с.
- Оливер В.А., Неддер А.Е. Биостратиграфия девона по кораллам *Rugosa* в связи с обсуждением границы нижнего и среднего девона // Биостратиграфия пограничных отложений нижнего и среднего девона. Л.: Наука, 1982. С. 111–115.

- Неструев Г. Материалы к познанию фауны девонских отложений окраин Кузнецкого ультрапараллактического бассейна. М., 1901. 313 с. (Пр. геол. части Кабинета; Т. 4, вып. 2).
- Полевой атлас характерных комплексов фауны и флоры девонских отложений Минусинской котловины. М.: Госгеотехиздат, 1955. 139 с.
- Постановление Межведомственного стратиграфического комитета и его постоянных комиссий. Л.: ВСЕГЕИ, 1991. Вып. 25. 63 с.
- Решения Всесоюзного совещания по разработке унифицированных стратиграфических схем докембрия, палеозоя и четвертичной системы Средней Сибири. Ч. 2. Средний и верхний палеозой, 1978. Новосибирск: СНИИГиМС и ИГиГ СО АН СССР, 198. 129 с.
- Ржонсницкая М.А. Брахиоподы индосириферового горизонта (живетский ярус) юго-западной окраины Кузнецкого бассейна // Палеонтология и стратиграфия Кузбасса. М., 1951. С. 97–138. (Пр. ЦНИГРИ; Вып. 97).
- Ржонсницкая М.А. Спириферидаe девонских отложений окраин Кузнецкого бассейна. М.: Госгеотехиздат, 1952. 231 с.
- Ржонсницкая М.А. Брахиоподы нижнего и среднего девона Кузбасса // Атлас руководящих форм ископаемых фауны и флоры Западной Сибири. М.: Госгеотехиздат, 1955а. Т. 1. С. 244–256.
- Ржонсницкая М.А. Полевой атлас характерных комплексов фауны и флоры девонских отложений Минусинской котловины. М.: Госгеотехиздат, 1955б. 139 с.
- Ржонсницкая М.А. Биостратиграфия девона окраин Кузнецкого бассейна. Л.: Недра, 1968. 285 с. (Пр. ВСЕГЕИ; Т. 1).
- Ржонсницкая М.А. Кузнецкий прогиб и сопредельные районы Западной Сибири // Стратиграфия СССР: Девонская система. М.: Недра, 1973. Кн. 2. С. 15–55.
- Ржонсницкая М.А. Биостратиграфия девона окраин Кузнецкого бассейна. Л.: Недра, 1977. 232 с. (Пр. ВСЕГЕИ; Т. 244).
- Ржонсницкая М.А. Основные проблемы стратиграфии девона Советского Союза // Сов. геология, 1986. № 3. С. 53–65.
- Ржонсницкая М.А. Девонская система // Зональная стратиграфия фанерозоя СССР: Справочное пособие. М.: Недра, 1991. С. 48–63.
- Родыгин С.А. К вопросу о возрасте таштыпской свиты Южно-Минусинской впадины по кернам // Материалы по геологии Сибири. Томск, 1983. С. 82–84.
- Розман Х.С., Минжин Ч., Попеко Л.И. Новые данные по стратиграфии силура Сухэбаторской зоны (Южная Монголия) // Изв. АН СССР. Сер. геол. 1991. № 5. С. 22–35.
- Сарычева Т.Г., Сокольская А.П. Определитель палеозойских брахиопод Подмосковной котловины. М.: Изд-во АН СССР, 1952. 303 с. (Пр. ПИН АН СССР; Т. 38).
- Сенкевич М.А. Описание флоры девона Казахстана // Материалы по геологии и полезным ископаемым Казахстана. М.: Госгеотехиздат, 1961. Вып. 1(26). С. 29–33.
- Сенкевич М.А., Каплун Л.И. К вопросу о границе нижнего и среднего девона в Казахстане // Биостратиграфия пограничных отложений нижнего и среднего девона. Л.: Наука, 1981. С. 15–25.
- Сенкевич М.А., Каплун Л.И., Иванова Н.И. и др. Стратиграфия нижнего и среднего девона Джунгаро-Балхашской провинции // Биостратиграфия нижнего и среднего девона Джунгаро-Балхашской провинции. Новосибирск: Наука, 1991. С. 5–46.
- Сидяченко А.И. Спирифериды и стратиграфия фаменских отложений Центрального и Юго-Восточного Караганы. М.: Изд-во АН СССР, 1962. 151 с.
- Симорин А.М. Стратиграфия и брахиоподы Карагандинского бассейна. Алма-Ата: Изд-во АН КазССР, 1956. 296 с.
- Сокольская А.Н. Эволюция рода *Productella* и смежных с ним форм в палеозое Подмосковной котловины. М.: Изд-во АН СССР, 1948. 168 с. (Пр. ПИН АН СССР; Т. 27).
- Сокольская А.Н. Строфомениды Русской платформы. М.: Изд-во АН СССР, 1954. 187 с. (Пр. ПИН АН СССР; Т. 51).
- Сокольская А.Н. Отряд Strophomenida // Основы палеонтологии: Мишанки, брахиоподы. М.: Изд-во АН СССР, 1960. С. 206–220.
- Сокольская А.Н. Отряд Strophomenida // Брахиоподы и палеогеография карбона Кузнецкой котловины. М.: Наука, 1963. С. 79–104. (Пр. ПИН АН СССР; Т. 95).

- Wal 1977. Vol. 4. P. 1-176.
- Brechund T. Les Brachiopodes de Coblenzien Belge // Bull. Soc. belge geol., paleontol. et hydrog. 1970. T. 9. P. 129-188.
- Biernat G. Middle Devonian Brachiopods of the Bodzentyn Syncline (Holy Cross Mountains, Poland) // Paleontol. Pol. 1966. N 17. P. 1-162.
- Boucot A.J., Harper C.W. Silurian to lower Middle Devonian Chonetaceae // J. Paleontol. 1968. Vol. 44. N 1. P. 143-176.
- Brice D. Etude paleontologique et stratigraphique du devonien de l'Afghanistan // Mus. natl. hist. naturelle 1970. T. 2. P. 1-364.
- Brice L., Jenny J., Stampfli G., Bigey F. Le Devonien de l'Eldourz oriental: stratigraphie, paleontologie (Brachiopodes et Bryozoaires), paleogeographic // Riv. ital. paleontol. 1978. Vol. 84. N 1. P. 1-56.
- Cutterton B.D.E. Brachiopods of the Murrumbidgee Group Taemas, New South Wales // Bull. Austral. Nat. Univ. 1973. N 137. P. 1-146.
- Cooper G.A., Dutro J.T. Devonian Brachiopods of New Mexico // Bull. Amer. Paleontol. 1981. Vol. 82/83. N 315. P. 1-215.
- Crickmay C.H. Some Devonian spiriferid from Alberta // J. Paleontol. 1950. Vol. 24. N 2. P. 219-225.
- Drevermann F. Die Fauna der Unterkoblenzschichten von Oberstadtfeld bei Daun in der Eifel // Palaeontographica. 1902. Bd. 49. S. 73-120.
- Drot J. Rhynchonelloidea et Spiriferoida siluro-devoniens du Maroc pre-Saharien // Notes et memoires serv. geol. 1964. N 178. P. 287.
- Ehlers G.M., Wright J.D. The type species of *Spinocyrtia* Fredericks and new species of this brachiopod genus from southwestern Ontario // Mus. Paleontol. Univ. Mich. 1955. Vol. 13. N 1. P. 1-32.
- Ehlers G.M., Wright J.D. Francis de castelnau's essai sur le systeme Silurien de l'amerique septentrionale and the status of his *Spirifer huroniensis* // Ibid. 1957. Vol. 13. N 7. P. 175-180.
- Fenton C.L., Fenton M.A. Stratigraphy and fauna of the Hackberry stage of Upper Devonian // Conn. Mus. Geol. Univ. Mich. 1924. Vol. 1. P. 1-260.
- Grabau A.W. Devonian Brachiopoda of China // Paleontol. sinica. 1931-1933. Vol. 3, fasc. 1-4. P. 1-545.
- Greiner H. Spirifer disjunctus: Its evolution and paleoecology in the Catskill Delta. New Haven (Conn.). 1957. 75 p. (Peabody Mus. Natur. Hist. Yale Univ. Bull.; N 11).
- Grunt T.A., Racki G. Late Frasnian Athyridida (Brachiopoda) from Poland and the Late Devonian biotic turnover // Paleontol. polon. 1998. N 2, Vol. 43. P. 361-378.
- Hall J. Descriptions and figures of the fossil brachiopods of the Upper Helderberg, Hamilton, Portage and Chemung groups // Natur. Hist. N.Y., 1867. Pt 6: Paleontology, vol. 4. P. 1-428.
- Hall J., Clarke J. An introduction to the study of the genera of Paleozoic Brachiopoda. N.Y.: Geol. Surv., 1892. Vol. 8, pl. 1. 367 p.
- Hall J., Whithey J.D. Report on the geological Survey of the State of Iowa, embracing the results of investigations made during postions of the years 1855-1857 // Paleontology. 1858. Vol. 1, pt. 2. P. 473-724.
- Hamada T. Early Devonian brachiopods from the Lesser Khingan district of northeast China // Paleontol. Soc. Jap. 1971. N 15. P. 1-98.
- Harper C.W., Boucot A.J. The Stropheodontacea. Pt 1. Leptostrophidae, Eostropheodontidae and Strophonellidae / Palaeontographica A. 1978a. Bd. 161, Lfg. 1/3. S. 55-118.
- Harper C.W., Boucot A.J. The Stropheodontacea. Pt 2. Douvilliniidae, Talaeoscaleriidae, Amphistrophidae and Shaleriidae // Ibid. 1978b. Bd. 161, Lfg. 119/175. P. 120-182.
- Havlicek V. Brachiopoda of the suborder Strophomenida in Czechoslovakia. Praha, 1967. 235 p.
- Jahnke H. Fauna und Alter der Erbslochgrauwacke (Brachiopoden und Trilobiten, Unter-Devon, Rheinisches Schiefergebirge und Harz) // Gottingen Arb. Geol. Paleontol. 1971. N 9. S. 1-105.
- Kielan-Jaworowska Z. Brachiopods and conodonts from the Frasnian of the Debnik anticline southern Poland // J. Paleontol. Pol. 1979. N 39. P. 1-142.
- Kozłowski R. Les Brachioides gotlandiens de la Podolie Polonaise // Paleontol. Pol. 1929. T. 1. P. 1-249.
- Maillieu E. La faune et lage des quartzophyllades Siegeniens de Longlier // Mem. Mus. roy. hist. naturel. Belg. 1936. N 73. P. 140.
- Muir-Wood H. On the morphology and classification of the brachiopod suborder Chonetoida. L.: Brit. Mus. Natur. Hist., 1962. 132 p.
- Geol. Soc. Amer. and Univ. Kans. press. 1967. Pt H: Brachiopoda, vol. 1. P. H1-H11. 115 p.
- Pedder A.E.H. New species of Brachiopoda from the Upper Devonian of Hay River, Western Canada // Paleontology. 1960. Vol. 3. P. 212-214.
- Pitrat C.W. Spiriferidina // Treatise on invertebrate paleontology. Lawrence: Geol. Soc. Amer. and Univ. Kans. press. 1965. Pt H: Brachiopoda. P. H667-H728.
- Pocock Y. Devonian schizophoriid brachiopods from Western Europe // Paleontology. 1966. Vol. 9, pt. 3. P. 381-412.
- Poeta Ph. Anthozoaires et Alcyonaires // J. Barrande Systeme silurien du Centre de la Boheme. Praha, 1902. Vol. VII (2). P. 347.
- Racheboeuf P. Chonetace (Brachiopodes) siluriens et devoniens du sud. ouest de l'Europe // Mem. Soc. geol. miner. Bretagne. 1981. Vol. 27. P. 294.
- Schlotheim E.F. Beitrage zur Naturgeschichte der Versteinerungen in geognostischer Hinsicht // Taschenbuch fur die gesammte Minetalogie / Hrsg. von. C.C. Leonhard. Berlin, 1813. Bd. 7, Abt. 1. S. 3-134.
- Schuchert Ch., Cooper G.A. Brachiopod genera of the suborder Orthoidea and Pentameroides // Mem. Peabody Mus. Natur. Hist. 1932. Vol. 4, pt 1. P. 270.
- Scupin H. Die Spirifer Deutschlands // Palaeontol. Abh. Dames und Koken. N.F., 1900. Bd. 4, H. 3. S. 1-140.
- Sowerby J. Description of fossils from the Rheinish Provinces. Appendix // Trans. Geol. Soc. London, 1842. Vol. 6, N 2. P. 408-410.
- Stainbrook M.A. The Brachiopoda of the High Point sandstone of New York // Amer. J. Sci. 1942. Vol. 240, N 12. P. 279-890.
- Stainbrook M.A. Spiriferacea of the Cedar Valley limestone of Iowa // J. Paleontol. 1943. Vol. 17, N 5. P. 417-450.
- Stuckenbergh A. Materialen zur Kenntniss der Fauna der devonischen Ablagerung Siberiens // Mem. Imp. Acad. Sci. Saint Petersburgh. Ser. 7. 1886. T. 34, N 1. S. 1-19.
- Stumm E.C. A revision of A.W. Grabau's species of *Mucrostirifer* from the Middle Devonian traverse group of Michigan // Mem. Mus. Paleontol. Univ. Mich. 1956. Vol. 13, N 3. P. 81-94.
- Talent J.A., Yolkin E.A. Transgression-regression patterns for the Devonian of Australia and south West Siberia // Cour. Forsch.-Inst. Senckenberg. 1987. Vol. 92. P. 235-249.
- Thomas W.A., Ventress W.P.S. Early Devonian brachiopods of Oklahoma // Okla. Geol. Surv. Bull. 1963. N 94. P. 1-238.
- Tillman J.R. Variation in species of *Mucrospirifer* from Middle Devonian rocks of Michigan, Ontario, and Ohio // J. Paleontol. 1964. Vol. 38, N 5. P. 952-964.
- Treatise on Invertebrate paleontology. Lawrence: Geol. Soc. Amer. and Univ. Kans. press, 1965. Pt H: Brachiopoda, vol. 1/2. 927 p.
- Vandercammen A. Essai d'étude statistique des Cyrtospirifer du Fransien de la Belgique // Mem. Inst. roy. sci. natur. Belg. 1959. N 145. P. 1-175.
- Vandercammen A. Spiriferidae du Devonien de la Belgique // Ibid. 1963. N 150. P. 1-179.
- Warren P.S., Stelck C.R. Devonian faunas of Western Canada // Geol. Assoc. Canada. 1956. N 1. P. 1-15.
- Wedeck R. Die devonische Formation // Salomon W. Grundzuge Geol. 1925. Bd. 2, T. 1/6. S. 194-226.
- Weller S. The Mississippian Brachiopoda of the Mississippi Valley Basin // Ill. Geol. Surv. Monogr. 1914. N 1. P. 1-508.
- Williams A. North American and European strophodontids: their morphology and systematics // Mem. Geol. Soc. Amer. 1953. N 56. P. 1-67.
- Williams A., Wright A. Order Orthida // Treatise on invertebrate paleontology. Lawrence: Geol. Soc. Amer. and Univ. Kans. press, 1965. Pt H: Brachiopoda, vol. 1. P. H299-H361.

(там, где не указаны увеличения, изображения даны в натуральную величину)

Таблица I

Фиг. 1-3, 7. *Isorthis (Guersella) quadrata* Alekseeva, 1981

1 - ПИН, № 4427/11; ядро брюшной створки; Монгольский Алтай, севернее сомона Дэлюн, район горы Кошкарлыг; (верхний эмс-эйфель) хатугольская свита, кошкарлыгские слои.

2 - ПИН, № 4427/13; ядро брюшной створки; там же; 3 - ПИН, № 4427/13; ядро брюшной створки; там же; 7 - ПИН, № 4427/437; 18,5 км севернее сомона Улэгей, 500 м севернее горы Матигар, возраст тот же. 7 - ПИН, № 4427/574; ядро спинной створки (x 2), там же

Фиг. 4-6, 8-10. *Cariniferella ultinae* Alekseeva, 1990

4 - ПИН, № 4427/575; ядро спинной створки; Монгольский Алтай, юго-восточнее сомона Улэгей, верховье руч. Цаган Сала, правого притока р. Хаттугийн гол, 2,3 км восточнее-юго-восточнее горы Цаган Сала, абр. отм. 3115; хатугольская свита, зээгтийнские слои (нижний франк)

5 - ПИН, № 4427/571; ядро спинной створки; там же; 6 - ПИН, № 4427/572; ядро спинной створки; там же; 8 - ПИН, № 4427/573; ядро спинной створки; там же; 9 - ПИН, № 4427/577 - отпечаток брюшной створки; там же; 10 - ПИН, № 4427/576; ядро брюшной створки; там же

Фиг. 11, 12. *Schizophoria (Schizophoria) sp.*

11а и 11б - ПИН, № 4427/419; ядро раковины в трех положениях; Монгольский Алтай, правый берег р. Шара Гоби, правого притока р. Сагсай, 3,9 км юго-западнее от горы Ашла; обн. 11, слой 3 (сборы Л.М. Улитиной, 1974); верхнебардамгольская подсвита (верхний эмс-эйфель); 12 - ПИН, № 4427/420; обломок целой раковины; там же

Фиг. 13-16. *Schizophoria (Schizophoria) striatula* (Schlotheim), 1820

13 - ПИН, № 4427/469; 13а - ядро брюшной створки, 13б - слепок с этого экземпляра; Монгольский Алтай, 13,2 км северо-восточнее от сомона Цаган Нур, 700 м севернее от устья речки Жаргын ам, хатугольская свита, дундтолгойские слои (живет); 14 - ПИН, № 4427/471 ядро раковины со стороны брюшной створки; там же; 15 - ПИН, № 4427/472; 15 а-в целая раковина в трех положениях; Монгольский Алтай, правобережье р. Сагсай, район горы Улаан (абс. отм. 2089,5); холдзатинская свита (живет); 16 - ПИН, № 4427/478; целая раковина со стороны брюшной створки; там же

Фиг. 17-19. *Leptogonia* sp. II

17 - ПИН, № 4427/438; отпечаток наружной поверхности брюшной створки; Монгольский Алтай, 18,5 км севернее сомона Улэгей, 500 м севернее горы Матигар, хатугольская свита, кошкарлыгские слои (верхний эмс-эйфель); 18 - ПИН, № 4427/434; отпечаток наружной поверхности брюшной створки; там же; 19 - ПИН, № 4427/431 ядро спинной створки; там же

Таблица II

Фиг. 1-5. *Leptagonia sinuata* (Rzonsnitzkaja, 1937)

1 - ПИН, № 4427/436; наружная поверхность брюшной створки; Монгольский Алтай, 15,8 км западнее-северо-западнее сомона Цаган нур, севернее оз. Буратын, 250 м южнее абр. отм. 2461, хатугольская свита, дундтолгойские слои (живет); 2 - ПИН, № 4427/436; наружная поверхность брюшной створки; там же; 3 - ПИН, № 4427/432; наружная поверхность брюшной створки (x 1,5); там же; 4 - ПИН, № 4427/437; наружная поверхность брюшной створки; там же; 5 - ПИН, № 4427/432; ядро брюшной створки; там же

Фиг. 6-8. *Leptagonia* sp. I

6 - ПИН, № 4427/438; наружная поверхность брюшной створки; Монгольский Алтай, левобережье р. Сагсай, 550 м северо-северо-западнее горы Хурэн Толгой, холдзатинская свита (живет); 7 - ПИН, № 4427/441; фрагмент внутреннего строения брюшной створки со стороны переднего края, там же; 8 - ПИН, № 4427/440; фрагмент внутреннего строения брюшной створки со стороны заднего края; там же

пок с этого же ядро брюшной створки (x 2); Монгольский Алтай, юго-восточнее сомона Цаган Сала, правого притока р. Хаттугийн гол, 2,3 км восточнее-юго-восточнее горы Цаган Сала (абс. отм. 3115), хатугольская свита, зээгтийнские слои (нижний франк); 10 - ПИН, № 4427/550; фрагмент наружной скульптуры (x 5); там же; 11 - ПИН, № 4427/548; наружная поверхность брюшной створки; там же; 12 - ПИН, № 4427/540; наружная поверхность брюшной створки; там же; 13 - ПИН, № 4427/551; ядро брюшной створки; там же; 14 - ПИН, № 4427/453; 14а - ядро спинной створки; там же; 14б - слепок с этого же экземпляра

Таблица III

Фиг. 1-7. *Leptostrophiella baygimica* Alekseeva, 1981

1 - ПИН, № 4427/570; ядро брюшной створки; Монгольский Алтай, правобережье р. Сагсай, 11,5 км юго-восточнее сомона Баинту, 4 км юго-восточнее от абр. отм. 2492; нижнебардамгольская подсвита (эмс); 2 - ПИН, № 4427/571; ядро брюшной створки; 3 - ПИН, № 4427/476; фрагмент скульптуры спинной створки (x 5); 4 - ПИН, № 4427/462; 4а - отпечаток спинной створки; 4б - фрагмент скульптуры (x 5); Монгольский Алтай, 18,5 км севернее сомона Улэгей, 500 м севернее горы Матигар; хатугольская свита, кошкарлыгские слои (верхний эмс-эйфель); 5 - ПИН, № 4427/463; ядро брюшной створки; там же; 6 - ПИН, № 4427/465, ядро брюшной створки; там же; 7 - ПИН, № 4427/464; 7а - отпечаток брюшной створки (x 1), 7б - фрагмент скульптуры (x 5), там же

Фиг. 8-10. *Protoleptostrophia explanata* (Sowerby, 1842)

8 - ПИН, № 4427/562; отпечаток брюшной створки; Монгольский Алтай, р-н р. Шара Гоби, (сборы А.Б. Дергунова, обн. 40/13); верхнебардамгольская подсвита (верхний эмс-эйфель); 9 - ПИН, № 4427/563; ядро спинной створки; там же; 10 - ПИН, № 4427/561; ядро брюшной створки; там же

Таблица IV

Фиг. 1. *Protoleptostrophia explanata* (Sowerby, 1842)

1 - ПИН, № 4427/561; слепок с ядра брюшной створки; Монгольский Алтай, р-н р. Шара Гоби, (сборы А.Б. Дергунова, обн. 40/13); верхнебардамгольская подсвита (верхний эмс-эйфель)

Фиг. 2-4. *Leptostrophia* sp.

2 - ПИН, № 4427/469; 2а - целая раковина со стороны спинной створки (x 1,5); 2б - фрагмент наружной скульптуры; Монгольский Алтай, правобережье р. Сагсай, район горы Улаан (абс. отм. 2089,5); холдзатинская свита (живет); 3 - ПИН, № 4427/468; отпечаток брюшной створки; там же; 4 - ПИН, № 4427/467; отпечаток брюшной створки; Монгольский Алтай, правобережье р. Сагсай, 2 км северо-северо-восточнее от перевала Бугучийн-Даваа, обн. 10/4 (сборы Л.М. Улитиной, 1974 г.); холдзатинская свита (живет)

Фиг. 5-10. *Tsaganella plana* Oleneva, 1993

5 - ПИН, № 4427/146; отпечаток наружной поверхности спинной створки (x 2); Монгольский Алтай; 14,7 км западнее-юго-западнее сомона Цаган нур, р-н горы Хар Толгой (в.о. 2439,9); хатугольская свита, дундтолгойские слои (живет); 6 - ПИН, № 4427/209; ядро раковины; 6а - спинная створка; 6б - слепок с этого же экземпляра (x 1,5); там же; 7 - ПИН, № 4427/188; ядро спинной створки (x 1,3); там же; 8 - ПИН, № 4427/219; 8а - ядро спинной створки (x 1,5), 8б - слепок с этого же экземпляра; там же; 9 - ПИН, № 4427/206, ядро брюшной створки; 10 - голотип - ПИН, № 4427/210; 10а - ядро брюшной створки (x 1,5); 10б - слепок с этого же экземпляра, местонахождение и возраст те же

Таблица V

Фиг. 1, 4-8. *Protodouvillina matigarensis* Oleneva, 1993

1 - ПИН, № 4427/224; отпечаток наружной поверхности брюшной створки (x 1,5); Монгольский Алтай, 18,5 км северо-северо-западнее сомона Улэгей, 500 м севернее горы Матигар (абс. отм. 2469,2); хатугольская свита, кошкарлыгские слои (верхний эмс-эйфель); 4 - голотип ПИН, № 4427/310; 4а - ядро брюшной створки (x 1,5); 4б - с боку; местонахождение и возраст те же; 5 - ПИН, № 4427/225; 5а - наружная поверхность спинной створки, 5б - фраг-

ри спинной створки ($\times 1,5$), № 7 - слепок с этого же экземпляра; там же

Фиг. 2, 3. *Tropanella plana* Oleneva, 1993

2 - ПИН, № 4427/207; отпечаток наружной поверхности брюшной створки ($\times 1,2$); Монгольский Алтай, 14,7 км западнее юго-западнее сомона Цаган нур, р-н горы Хар-Толгой (абс. отм. 2439,9); хатугольская свита, дундтогойские слои (живет); 3 - ПИН, № 4427/208; отпечаток наружной поверхности брюшной створки ($\times 1,3$); там же

Фиг. 9-15. *Douvillinooides singularis* Oleneva, 1993

9 - ПИН, № 4427/290; ядро брюшной створки ($\times 1,5$); Монгольский Алтай, 4,2 км севернее сомона Цаган нур, устье правого борта распадка Урт-Зуух, 3,2 км от горы Ямаат (абс. отм. 2812); цагансаласская свита (нижний фран); 10 - голотип - ПИН, № 4427/216; 10а - ядро брюшной створки ($\times 1,5$); 10б - слепок с этого экземпляра; там же; 11 - ПИН, № 4427/211, 11а - ядро спинной створки ($\times 1,5$); 11б - слепок с этого экземпляра; там же; 12 - ПИН, № 4427/291 ядро брюшной створки ($\times 1,5$); там же; 13 - ПИН, № 4427/240; 13а - ядро спинной створки; 13б - слепок с этого экземпляра; там же; 14 - ПИН, № 4427/237; фрагмент наружной скульптуры ($\times 2$); 15 - ПИН, № 4427/292; ядро спинной створки ($\times 1,5$); там же

Таблица VI

Фиг. 1-5. *Eoschuchertella chemungensis* (Conrad, 1843)

1 - ПИН, № 4427/420; 1а - отпечаток спинной створки ($\times 1,5$), 1б - замочный отросток ($\times 5$); Монгольский Алтай, 4,2 км севернее сомона Цаган нур, устье правого борта распадка Урт-Зуух, 3,2 км северо-западнее горы Ямаат (абс. отм. 2812); цагансаласская свита (нижний фран); 2 - ПИН, № 4427/421; ядро спинной створки ($\times 2$); там же; 3 - ПИН, № 4427/412; 3а - ядро спинной створки, 3б - фрагмент микроскульптуры, там же; 4 - ПИН, № 4427/418; отпечаток брюшной створки со стороны замочного края; там же; 5 - ПИН, № 4427/419; отпечаток брюшной створки ($\times 1,5$), там же

Фиг. 6-14. *Dagnachonetes? dundensis* Oleneva, 1993

6 - ПИН, № 4427/69; отпечаток наружной поверхности брюшной створки ($\times 1,5$); Монгольский Алтай, 15,6 км южнее сомона Бугат, 2,5 км южнее горы Дунд-Толгой; хатугольская свита (живет); 7 - ПИН, № 4427/52; ядро брюшной створки ($\times 2,5$); там же; 8 - ПИН, № 4427/74, отпечаток спинной створки ($\times 1,5$); там же; 9 - ПИН, № 4427/65; ядро брюшной створки ($\times 2$); там же; 10 - голотип - ПИН, № 4427/67; ядро спинной створки ($\times 2$); там же; 11 - ПИН, № 4427/68; ядро спинной створки ($\times 2$); Монгольский Алтай, 14,7 км западнее юго-западнее сомона Цаган нур, южнее горы Хар Толгой (абс. отм. 2439,9); хатугольская свита, дундтогойские слои (живет); 12 - ПИН, № 4427/62; 12а - брюшная створка ($\times 2$), 12б - замочный отросток с этого же экземпляра ($\times 3$); 13,5 км северо-западнее сомона Улэгей, и 100 м севернее горы Хуйтен Сарвал (2093,1); хатугольская свита, зээгтийские слои (нижний фран); 13 - ПИН, № 4427/90; отпечаток спинной створки ($\times 2$); там же; 14 - ПИН, № 4427/64; ядро спинной створки ($\times 1,5$); там же

Фиг. 15-17. *Agascalosia?* sp.

15 - ПИН, № 4427/80; ядро спинной створки; Монгольский Алтай, правобережье р. Сагсай, 6,2 км северо-северо-восточнее перевала Бугучий Даваа (абс. отм. 2106,0), обн. 7, сл. 1; (верхний девон); 16 - ПИН, № 4427/82; ядро брюшной створки ($\times 3$), Монгольский Алтай, правобережье р. Сагсай, в 1 км западнее горы Цахир Дэл Толгой (абс. отм. 2081,4); там же; 17 - ПИН, № 4427/81; 17а - спинная створка, 17б - фрагмент наружной скульптуры ($\times 3$); там же

Таблица VII

Фиг. 1-6. *Chalimochonetes huhunurensis* (Alekseeva, 1977)

1 - ПИН, № 4427/505; фрагмент наружной скульптуры; 2 - ПИН, № 4427/501; брюшная створка ($\times 2$); 3 - ПИН, № 4427/504; брюшная створка ($\times 1,5$); 4 - ПИН № 4427/503; спинная створка, 4а - вид со стороны замочного края; 4б - замочный отросток с этого же экземпляра ($\times 5$); Монгольский Алтай, правобережье р. Сагсай, 800 северо-северо-восточнее перевала Бугучий Даваа; уланхусская свита (ложков); 5 - ПИН, № 4427/509; замочные иглы ($\times 5$); 6 - ПИН, № 4427/507 - спинная створка ($\times 1,5$); там же

ядро спинной створки; там же

(абс. отм. 2812);

1 - ядро спинной створки; там же; 2 - ядро спинной створки, хатугольская свита (фран); 3 - ядро брюшной створки; там же; 4 - ПИН, № 4427/86 - ядро брюшной створки ($\times 2$); там же; 5 - ядро брюшной створки; там же; 6 - ядро брюшной створки; там же; 7 - ядро брюшной створки; там же; 8 - ПИН, № 4427/86 - ядро брюшной створки ($\times 2$); там же; 9 - ПИН, № 4427/85; ядро брюшной створки; Монгольский Алтай, 14,7 км западнее юго-западнее сомона Цаган нур, южнее горы Хар Толгой (абс. отм. 2439,9); хатугольская свита, дундтогойские слои; 10 - ПИН, № 4427/83 - ядро брюшной створки ($\times 1,5$); местонахождение и возраст как у фиг. 7

Фиг. 11-18. *Caucasiproductus dissimilis* Oleneva, 1998

11 - ПИН, № 4427/24; ядро брюшной створки ($\times 1,5$); Монгольский Алтай, верховье руч. Цаган Сала, правого притока р. Хаттугий гол, 2,3 км юго-западнее горы Цаган Сала, (абс. отм. 3115); хатугольская свита, зээгтийские слои (нижний фран); 12 - ПИН, № 4427/23; ядро брюшной створки; там же; 13 - ПИН, № 4427/25; ядро спинной створки; там же; 14 - ПИН, № 4427/29 - ядро брюшной створки; там же; 15 - ПИН, № 4427/22 ($\times 1,5$), ядро спинной створки, там же; 16 - ПИН, № 4427/27; ядро брюшной створки, там же; 17 - ПИН, № 4427/30; ядро брюшной створки, там же; 18 - голотип - ПИН, № 4427/21; 18а - ядро брюшной створки со стороны заднего края ($\times 1,5$), 18б - со стороны переднего края; там же

Фиг. 19. *Wilsoniella prima* Khalfin, 1939

19 - ПИН, № 4427/522; 19а, б - целая раковина в двух положениях; Монгольский Алтай, правобережье р. Сагсай, 11,5 км юго-восточнее сомона Баинту, 4 км юго-восточнее абс. отм. 2492; нижнебардамгольская подсвита (эмс); 2 - ПИН, № 4427/521; целая раковина; там же; 3 - ПИН, № 4427/525; 3а, б - спинная створка в двух положениях; там же; 4 - ПИН, № 4427/523; спинная створка; там же

Таблица VIII

Фиг. 1-4. *Wilsoniella prima* Khalfin, 1939

1 - ПИН, № 4427/522; 1а, б - целая раковина в двух положениях; Монгольский Алтай, правобережье р. Сагсай, 11,5 км юго-восточнее сомона Баинту, 4 км юго-восточнее от абс. отм. 2492; нижнебардамгольская подсвита (эмс); 2 - ПИН, № 4427/521; целая раковина; там же; 3 - ПИН, № 4427/525; 3а, б - спинная створка в двух положениях; там же; 4 - ПИН, № 4427/523; спинная створка; там же

Фиг. 5. *Wilsoniella tchernyshevae* O. Erlanger, 1981

5 - ПИН, № 4427/524; 5а, б - неполная раковина со стороны брюшной створки в двух положениях; местонахождение и возраст как у фиг. 4

Фиг. 6. *Areella barunica* O. Erlanger, 1989

6 - ПИН, № 4427/607; 6а-в целая раковина в трех положениях, ($\times 1,5$); Монгольский Алтай, правый берег р. Шара Гоби, правого притока р. Сагсай, 3,9 км юго-западнее горы Ашила; верхнебардамгольская подсвита (в.эмс-эйфель)

Фиг. 7-8. *Eucharitina dobrovi* O. Erlanger, 1989

7 - ПИН, № 4427/87; 7а-д - целая раковина в пяти положениях; Монгольский Алтай, правый берег р. Шара Гоби, правого притока р. Сагсай, 3,9 км юго-западнее горы Ашила; верхнебардамгольская подсвита (в.эмс-эйфель); 8 - ПИН, № 4427/88; 8а-в - целая раковина в трех положениях; местонахождение и возраст как у фиг. 7

Фиг. 9-10. *Hebetoechia vagranica mongolica* O. Erlanger, 1977

9 - ПИН, № 4427/531; 9а-г - целая раковина в четырех положениях; Монгольский Алтай, правобережье реки Сагсай, 1700 м юго-западнее горы Цахир Дэл Толгой; уланхусская свита (ложков); 10 - ПИН, № 4427/532; 10а, б - целая раковина в двух положениях; там же

Таблица IX

Фиг. 1-5, 9. *Sibiratrypa vassinenensis* Rzonsnitzkaja, 1975

1 - ПИН, № 4427/592; ядро брюшной створки; Монгольский Алтай, севернее сомона Делюн, р-н горы Кошкарлыг; хатугольская свита, зээгтийские слои (нижний фран); 2 - ПИН, № 4427/595; ядро брюшной створки; там же; 3 - ПИН, № 4427/147; ядро брюшной створки; Монгольский Алтай; 14,7 км западнее юго-западнее сомона Цаган нур р-н горы Хар Толгой (в.о. 2439,9); хатугольская свита, дундтогойские слои (живет); 4 - ПИН, № 4427/594; ядро брюшной створки; местонахождение и возраст такие же, как у фиг 1; 5 - ПИН, № 4427/148; ядро спинной створки; местонахождение и возраст такие же, как у фиг. 1; 9 - ПИН, № 4427/593; ядро брюшной створки, там же

Фиг. 1–3, 13. *Cyrtospirifer schelonicus* Nalivkin, 1941

1 – ПИН, № 4427/354; ядро брюшной створки; Монгольский Алтай, 4,2 км севернее сомона Цаган нур, устье правого борта распадка Урт Зуух, в 3,2 км северо-западнее горы Ямаат, (абс. отм. 2812); цагансаласская свита (нижний фран); 2 – ПИН, № 4427/350; ядро спинной створки; там же; 3 – ПИН, № 4427/361; целая раковина ($\times 1,5$); юго-восточнее сомона Улэгей, верховье руч. Цаган Сала, правого притока р. Хаттугийн, 2,3 км юго-западнее горы Цаган Сала, (абс. отм. 3115); хатугольская свита, зээгтийнские слои (нижний фран); 13 – ПИН, № 4427/353; ядро брюшной створки ($\times 1,5$); севернее сомона Делюн; р-н горы Кошкарлыг; хатугольская свита, зээгтийнские слои (нижний фран)

Фиг. 4–8. *Cyrtospirifer verneuili echinosus* Ljaschenko, 1958

4 – ПИН, № 4427/351; ядро спинной створки; юго-восточнее сомона Улэгей, верховье руч. Цаган Сала, правого притока р. Хаттугийн, 2,3 км юго-западнее горы Цаган Сала (абс. отм. 3115); хатугольская свита, зээгтийнские слои (нижний фран); 5 – ПИН, № 4427/356; ядро спинной створки; там же; 6 – ПИН, № 4427/363; ядро спинной створки; там же; 7 – ПИН, № 4427/352; ядро спинной створки; там же; 8 – ПИН, № 4427/349; фрагмент наружной микроскульптуры ($\times 5$), там же

Фиг. 9, 10. *Cyrtospirifer tschernyschewi* Khalfin, 1933

9 – ПИН, № 4427/357; ядро спинной створки ($\times 1,5$); Монгольский Алтай, р-н южной оконечности оз. Тал нур; талнурская свита (нижний фамен); 10 – ПИН, № 4427/360; 10а – брюшная створка, 10б – со стороны переднего края ($\times 1,5$), 10в – фрагмент наружной микроскульптуры ($\times 5$); там же

Фиг. 11, 12. *Crystospirifer* sp.

11 – ПИН, № 4427/568, ядро спинной створки ($\times 1,5$); Монгольский Алтай, верховье руч. Цаган Сала, правого притока р. Хаттугийн, 2,3 км восточнее-юго-восточнее горы Цаган Сала (абс. отм. 3115; хатугольская свита, зээгтийнские слои (нижний фран); 12 – ПИН, № 4427/372 – фрагмент микроскульптуры со слепком спинной створки ($\times 5$) (табл. XIII, фиг. 4), там же

Фиг. 14. *Cyrtospirifer procumbens* Simorin, 1956

14 – ПИН, № 4427/385; ядро брюшной створки; местонахождение и возраст как у фиг. 9

Таблица XIII

Фиг. 1–4. *Cyrtospirifer* sp.

1 – ПИН, № 4427/373 ядро брюшной створки ($\times 1,5$); Монгольский Алтай, верховье руч. Цаган Сала, правого притока р. Хаттугийн, 2,3 км восточнее-юго-восточнее горы Цаган Сала (абс. отм. 3115; хатугольская свита, зээгтийнские слои (нижний фран); 2 – ПИН, № 4427/370 ядро брюшной створки ($\times 1,5$), там же; 3 – ПИН, № 4427/371 – ядро брюшной створки, там же; 4 – ПИН, № 4427/372 – слепок спинной створки ($\times 1,5$)

Фиг. 5, 9–12. *Howellella laeviplicata* (Kozlowski, 1929)

5 – ПИН, № 4427/244; 5а, 6 – целая раковина в двух положениях ($\times 1$); Монгольский Алтай, правобережье р. Сагсай, в 1700 м юго-западнее горы Цахир Дэл Толгой; уланхусская свита (лохков); 9 – ПИН, № 4427/242; 9а, б – целая раковина в двух положениях; там же. 10 – ПИН, № 4427/248; спинная створка; Монгольский Алтай, правобережье р. Сагсай, в 1,5 км северо-северо-восточнее перевала Бугучийн Даваа; там же; 11 – ПИН, № 4427/242; брюшная створка; там же; 12 – ПИН, № 4427/241 фрагмент микроскульптуры ($\times 5$), там же

Фиг. 6–8. *Howellella angustiplicata* (Kozlowski, 1929)

6 – ПИН, № 4427/245; 6а–г – целая раковина в четырех положениях; там же; 7 – ПИН, № 4427/246; целая раковина со стороны брюшной створки; местонахождение и возраст как у фиг. 5; 8 – ПИН, № 4427/243; целая раковина со стороны спинной створки; там же

Фиг. 13–15. *Euryspirifer pseudocheeziel* (Hou Hun-fe, 1959)

13 – ПИН, № 4427/70; целая раковина со стороны спинной створки; Монгольский Алтай, 13,2 км северо-восточнее сомона Цаган-Нур, 700 м севернее устья распадка Жаргын ам, хатугольская свита, дундтолгойские слои (живет); 14 – ПИН, № 3409/49; 14а–в – целая раковина в трех положениях (сборы Б. Мендбаяр, 1976); там же; 15 – ПИН, № 3409/37; целая раковина со стороны брюшной створки; там же

Таблица XIV

Фиг. 1–3. *Euryspirifer pseudochaecluel alatus* (Studenbergs, 1886)

1 – ПИН, № 4427/77; 1а–в – ядро целой раковины в трех положениях; Монгольский Алтай, 14,7 км западнее-юго-западнее сомона Цаган нур, р-н горы Хар Толгой (абс. отм. 2439,9), хатугольская свита, дундтолгойские слои (живет); 2 – ПИН, № 4427/75; 2а – отпечаток на ружной поверхности ($\times 1,5$), там же; 2б – фрагмент наружной скульптуры ($\times 5$); 3 – ПИН, № 4427/78; ядро брюшной створки; Монгольский Алтай, 15,8 км западнее-северо-западнее сомона Цаган нур, севернее оз. Буратын, 250 м южнее абс. отм. 2361; хатугольская свита, дундтолгойские слои (живет)

Фиг. 4–9. *Eureticularia* sp.

4 – ПИН, № 4427/651; брюшная створка; Монгольский Алтай, правобережье р. Сагсай, в 1,5 км северо-северо-восточнее перевала Бугучий Даваа; уланхусская свита (лохконы); 5 – ПИН, № 4427/655; спинная створка, там же; 6 – ПИН, № 4427/656; брюшная створка; 7 – ПИН, № 4427/650; брюшная створка, там же; 8 – ПИН, № 4427/653; брюшная створка; 9 – ПИН, № 4427/657; 9а – брюшная створка, 9б – с боку; Монгольский Алтай, правобережье р. Сагсай, 1700 м юго-западнее горы Цахир Дэл Толгой; возраст тот же

Таблица XV

Фиг. 1–6. *Mucrospirifer* sp.

1 – ПИН, № 4427/64; ядро спинной створки; Монгольский Алтай, западнее-юго-западнее сомона Цаган нур, р-н горы Хар Толгой (абс. отм. 2439,9) хатугольская свита, дундтолгойские слои (живет); 2 – ПИН, № 4427/59; ядро спинной створки; там же; 3 – ПИН, № 4427/61; ядро спинной створки; там же; 4 – ПИН, № 4427/58; ядро брюшной створки; там же; 5 – ПИН, № 4427/60; ядро спинной створки; там же; 6 – ПИН, № 4427/62; фрагмент микроскульптуры ($\times 5$), там же

Фиг. 7, 9. *Mucrospirifer mesacostalis tricostatus* (Rzonsnitzkaja, 1952)

7 – ПИН, № 4427/267; целая раковина; 7а – со стороны спинной створки, 7б – со стороны брюшной створки, 7в – фрагмент наружной скульптуры; Монгольский Алтай, правобережье р. Сагсай, 2 км северо-северо-восточнее перевала Бугучий Даваа; обн. 10, слой 7 (сборы Л.М. Улитиной, 1988); 9 – ПИН, № 4427/266; ядро брюшной створки; Монгольский Алтай, 13,5 км северо-восточнее сомона Улэгей, 100 м севернее горы Хутен Сарвал (абс. отм. 2093); хатугольская свита, зээгтийнские слои

Фиг. 8, 10–13. *Mucrospirifer mesacostalis* (Hall, 1843)

8 – ПИН, № 4427/424; ядро спинной створки; Монгольский Алтай, 13,5 км северо-восточнее сомона Улэгей, 100 м севернее горы Хутен Сарвал (абс. отм. 2093); хатугольская зээгтийнские слои (нижний фран); 10 – ПИН, № 4427/408; ядро раковины; там же; 11 – ПИН, № 4427/406; ядро брюшной створки; там же; 12 – ПИН, № 4427/405; ядро спинной створки; там же; 13 – ПИН, № 4427/404; ядро брюшной створки; там же

Фиг. 14–19. *Eleutherokomma rhukensis* (Brice, 1970)

14 – ПИН, № 4427/358; слепок брюшной створки; Монгольский Алтай, 4,2 км севернее сомона Цаган нур, устье правого борта распадка Урт Зуух, 3,2 км северо-западнее горы Ямаат уул (абс. отм. 2812); цагансаласская свита (фран); 15 – ПИН, № 4427/356; ядро спинной створки; там же; 16 – ПИН, № 4427/350; ядро спинной створки; там же; 17 – ПИН, № 4427/357; слепок брюшной створки; там же; 18 – ПИН, № 4427/352; 18а – слепок брюшной створки; 18б – наружная поверхность с этого отпечатка ($\times 5$), там же; 19 – ПИН, № 4427/354; ядро брюшной створки; там же

Фиг. 20. *Cyrtospirifer schelonicus* Nalivkin, 1941

20 – ПИН, № 4427/362; 20а, б – целая раковина в двух положениях; Монгольский Алтай, 4,2 км севернее сомона Цаган нур, устье правого борта распадка Урт-Зуух, 3,2 км северо-западнее горы Ямаат (абс. отм. 2812); цагансаласская свита (нижний фран)

1 – ПИН, № 4427/15; ядро спинной створки ($\times 1,5$); Монгольский Алтай, 4,2 км севернее сомона Цаган нур, устье правого борта распадка Урт'Зуух, 3,2 км северо-западнее горы Ямаат (абс. отм. 2812); цагансаласская свита (нижний фран); 2 – ПИН, № 4427/19; ядро брюшной створки, там же; 3 – ПИН, № 4427/42; ядро брюшной створки ($\times 1,5$), там же; 4 – ПИН, № 4427/14; ядро брюшной створки ($\times 2$), там же; 5 – ПИН, № 4427/19; фрагмент скульптуры ($\times 5$), там же

Фиг. 6–9. *Retzia uleentica* Nalivkin, 1937

6 – ПИН, № 4427/268; целая раковина; Монгольский Алтай, правобережье р. Сагсай, в 6,2 км северо-северо-восточнее перевала Бугучий Даваа, (абс. отм. 2210,6); карбонатно-терригенная толща (фран?); 7 – ПИН, № 4427/270; неполная раковина со стороны спинной створки; там же; 8 – ПИН, № 4427/269; 8а–г – целая раковина в 4-х положениях; там же; 9 – ПИН, № 4427/267; целая раковина со стороны спинной створки; там же

Фиг. 10–13. *Retzia tschernyschewi* Peetz, 1901

10 – ПИН, № 4427/260; 10а, б – целая раковина в двух положениях; Монгольский Алтай, 13,2 км на северо-восточнее сомона Цаган нур, 700 м севернее от устья распадка Жаргын ам; хатугольская свита, зээгтийнские слои (нижний фран); 11 – ПИН, № 4427/261; 11а, б – целая раковина в двух положениях; Монгольский Алтай, правобережье р. Сагсай, район горы Улаан (абс. отм. 2089,5); холдзатинская свита (живет); 12 – ПИН, № 4427/262; целая раковина со стороны спинной створки ($\times 2$); Монгольский Алтай, правобережье р. Сагсай, 2 км северо-северо-восточнее перевала Бугучий Даваа, обн. 10, слой 2 (сборы Л.М. Улитиной, 1988); холдзатинская свита (живет); 13 – ПИН, № 4427/263; фрагмент скульптуры ($\times 5$), там же

Фиг. 14–16. *Retzia amoena* Oleneva, 1998

14 – голотип – ПИН, № 4427/258; 14а–г – целая раковина в четырех положениях; Монгольский Алтай, 13,2 км северо-восточнее сомона Цаган нур, 700 м севернее от устья распадка Жаргын ам; хатугольская свита, зээгтийнские слои (живет); 15 – ПИН, № 4427/259; 15а–в – целая раковина в трех положениях, там же; 16 – ПИН, № 4427/256; целая раковина со стороны спинной створки; там же

Фиг. 17–20. *Athyris concentrica* (Buch, 1843)

17 – ПИН, № 4427/244; 17а–г – целая раковина в четырех положениях; Монгольский Алтай, левобережье р. Сагсай, 550 м севернее горы Хурэн Толгой (абс. отм. 1883,1); холдзатинская свита (живет); 18 – ПИН, № 4427/249; целая раковина со стороны брюшной створки; там же; 19 – ПИН, № 4427/241; 19а–г – целая раковина в четырех положениях; Монгольский Алтай, правобережье р. Сагсай, район горы Улаан (абс. отм. 2089,5); холдзатинская свита (живет); 20 – ПИН, № 4427/248; целая раковина со стороны брюшной створки; там же

ВВЕДЕНИЕ	5
Часть I	
БИОСТРАТИГРАФИЯ.....	7
Глава 1	
ИСТОРИЧЕСКИЙ ОЧЕРК	7
Глава 2	
СТРАТИГРАФИЯ ДЕВОНСКИХ ОТЛОЖЕНИЙ АЛТАЙСКОЙ ПОДЗОНЫ И ДЕЛЮНО-ЮСТЬДСКОГО ПРОГИБА.....	9
2.1. Алтайская подзона.....	14
2.2. Делюно-Юстыдский прогиб.....	23
Глава 3	
БИОСТРАТИГРАФИЧЕСКИЙ АНАЛИЗ.....	40
Глава 4	
КОРРЕЛЯЦИЯ ДЕВОНСКИХ ОТЛОЖЕНИЙ АЛТАЙСКОЙ ПОДЗОНЫ И ДЕЛЮНО-ЮСТЬДСКОГО ПРОГИБА	55
Часть II	
ОПИСАНИЕ БРАХИОПОД.....	61
ОБЪЯСНЕНИЕ ТЕРМИНОВ	61
Отряд Orthida.....	62
Подотряд Orthidicina	62
Надсемейство Enteletoidea Waagen, 1884	62
Семейство Isorthidae Schuchert et Cooper, 1931	62
Подсемейство Isorthinae Schuchert et Cooper, 1931	62
Подрод Isorthis Kozlowski; 1929	62
Подрод Tyersella Philip, 1962	62
Семейство Dalmanellidae Schuchert, 1912	63
Подрод Cariniferella Schuchert et Le Verne, 1929	63
Семейство Enteletidae Waagen, 1884.....	64
Подсемейство Schizophoriinae Schuchert, 1929	64
Подрод Schizophoria King, 1850	64
Подрод Schizophoria King, 1850	64
Семейство Strophomenida	67
Подотряд Strophomenidina	67
Надсемейство Strophomenoidea King, 1846.....	67
Семейство Leptaenidae Hall et Clarke, 1894	67
Подрод Leptagonia M'Coy, 1844	67
Семейство Stropheodontidae Caster, 1939	67
Подсемейство Leptostraphinae Caster, 1939	72
Подрод Leptostrophiella Hall et Boucot, 1978	72
Подрод Protoleptostrophia Caster, 1939	74
Надсемейство Stropheodontoidea Caster, 1939.....	75
Семейство Douvilliniidae Caster, 1939	75

Отряд Chonetida	80
Надсемейство Chonetidoidea Brönn, 1862	80
Семейство Rugosochonetidae Muir-Wood, 1962	80
Подсемейство Rugosochonetinae Muir-Wood, 1962	80
Подрод Dagnachonetes Afanasjeva, 1978	80
Подсемейство Chalimochonetinae Afanasjewa, 1988	82
Подрод Chalimochonetes Baranov, 1980	82
Отряд Productida	83
Подотряд Strophalosiida Lazarev, 1987	83
Надсемейство Strophalosioidea Schuchert, 1913	83
Семейство Araksalosiidae Lazarev, 1989	83
Подсемейство Araksalosiinae Lazarev, 1989	83
Подрод Araksalosia Lazarev, 1989	83
Подотряд Productidina Waagen, 1883	84
Надсемейство Echinoconchoidea Stehli, 1954	84
Семейство Sentosiidae McKellar, 1970	84
Подсемейство Caucasiprotinctinae Lazarev, 1987	84
Подрод Caucasiproductus Lazarev, 1987	84
Надсемейство Productoidea Gray, 1840	85
Семейство Productellidae Schuchert, 1929	85
Подсемейство Productellinae Schuchert, 1897	85
Подрод Productella Hall, 1867	85
Отряд Rhynchonellida	86
Семейство Trigonirhynchiidae Schmidt, 1965	86
Подсемейство Trigonirhynchiinae Schmidt, 1965	86
Подрод Wilsoniella Kalfin, 1939	86
Семейство Uncinulidae Rzonsnitzkaja, 1956	88
Подсемейство Hebetoechiinae Havlicek, 1960	88
Подрод Hebetoechia Havlicek, 1959	88
Семейство Eatoniidae Schmidt, 1965	89
Подрод Eucharitina Schmidt, 1955	89
Семейство Pontisiidae Cooper et Grant, 1976	90
Подрод Areella O. Erlanger, 1992	90
Отряд Atrypida	91
Надсемейство Atrypoidea Gill, 1871	91
Семейство Atrypidae Gill, 1871	91
Подсемейство Atrypinae Gill, 1871	91
Подрод Atrypa Dalman, 1828	91
Подрод Atrypa Dalman, 1828	91
Подсемейство Variatrypinae Cooper, 1978	93
Подрод Desquamatia Alekseeva, 1960	93
Подрод Desquamatia Alekseeva, 1960	93
Подрод Sibiratrypa Rzonsnitzkaja, 1975	95
Отряд Spiriferida	97
Надсемейство Spireroidea King, 1846	97
Семейство Spinocyrtidae Ivanova, 1959	97
Подсемейство Spinocyrtinae Ivanova, 1959	97
Подрод Spinocyrtia Frederiks, 1916	97
Семейство Cyrtospiriferidae Ivanova, 1959	104
Подсемейство Cyrtospiriferinae H. et G. Termier, 1949	104

Семейство Deltaidae	Питрат, 1965	
Подсемейство Cylindelloidea Pitrat, 1962		109
Род <i>Howellella</i> Kozłowski, 1946		109
Род <i>Euryspirifer</i> Wedekind in Salomon, 1925		112
Семейство Mucospiriferidae Pitrat, 1965		116
Подсемейство <i>Mucospiriferinae</i> Pitrat, 1965		116
Род <i>Mucospirifer</i> Grabau, 1931		116
Род <i>Eleutherokomma</i> Crickmay, 1950		119
Семейство Reticulariidae Waagen, 1883		120
Подсемейство <i>Reticulariinae</i> Waagen, 1883		120
Род <i>Eoreticularia</i> Nalivkin, 1930		122
Семейство Elythidae Fredericks, 1924		122
Подсемейство <i>Elythinae</i> Fredericks, 1924		123
Род <i>Elytha</i> Fredericks, 1918		123
Отряд Athyridida		123
Подотряд Athyrididina		123
Надсемейство <i>Athyridoidea</i> Davidson, 1881		123
Семейство <i>Athyrididae</i> Davidson, 1881		123
Подсемейство <i>Athyridinae</i> Davidson, 1881		123
Род <i>Athyris</i> M'Coy, 1844		123
Подотряд Retziidina		124
Надсемейство <i>Retziioidea</i> Waagen, 1883		124
Семейство <i>Retziidae</i> Waagen, 1883		124
Подсемейство <i>Retziinae</i> Waagen, 1883		124
Род <i>Retzia</i> King, 1850		124
ЛИТЕРАТУРА		128
ОБЪЯСНЕНИЯ К ФОТОТАБЛИЦАМ		136
	ОМНОХ УГ	5
	II хэсэг	
	БИОСТРАТИГРАФИИ	7
	Булэг 1	
	СУДАЛГААНЫ ТУУХ	7
	Булэг 2	
	АЛТАЙН ДЭД БУС БА ДЭЛУУН ЮСТИН ХОТГОРЫН ДЕВОНЫ ХУРДСЫН СТРАТИГРАФИИ	9
	2.1. Алтайн дэд бус	14
	2.2. Делуун Юстин хотгор	23
	Булэг 3	
	БИОСТРАТИГРАФИИЙН АНАЛИЗ	40
	Булэг 4	
	АЛТАЙН ДЭД БУС БА ДЕЛУУН ЮСТИН ХОТГОРЫН ДЕВОНЫ ХУРДСЫН ХАРЬЦУУЛАЛТ	55
	II хэсэг	
	МОР ХОЛТОНИЙ БИЧИГЛЭЛ	61
	НЭР ТОМЬЁОНЫ ТАЙЛБАР	61
	Баг Orthida	62
	Салбар bag Orthididina	62
	Дээд язгуур <i>Enteletidea</i> Waagen, 1884	62
	Язгуур <i>Isorthidae</i> Schuchert et Cooper, 1931	62
	Садбар язгуур <i>Isorthinae</i> Schuchert et Cooper, 1931	62
	Торол <i>Isorthis</i> Kozłowski, 1929	62
	Салбар торол <i>Tyersella</i> Philip, 1962	62
	Язгуур <i>Dalmanellidae</i> Schuchert, 1912	63
	Торол <i>Cariniferella</i> Schuchert et Verne, 929	63
	Салбар язгуур <i>Schizophoriinae</i> Schuchert, 1929	64
	Торол <i>Schizophoria</i> King, 1850	64
	Салбар торол <i>Schizophoria</i> King, 1850	64
	Баг Strophomenida	67
	Салбар bag Strophomenidina	67
	Дээд язгуур <i>Strophomenoidea</i> King, 1846	67
	Язгуур <i>Leptaenidae</i> Hall et Clarke, 1894	67
	Торол <i>Leptagonia</i> M'Coy, 1844	67
	Язгуур <i>Stropheodontidae</i> Caster, 1939	72
	Салбар язгуур <i>Leptostrophinae</i> Caster, 1939	72
	Торол <i>Leptostrophiella</i> Hall et Clarke, 1892	72
	Торол <i>Protoleptostrophia</i> Caster, 1939	74
	Дээд язгуур <i>Stropheodontoidea</i> Caster, 1939	75
	Язгуур <i>Douvilliniidae</i> Caster, 1939	75